

Дальневосточный научный центр АН СССР  
Тихоокеанский океанологический институт

"Утверждаю"  
Директор ТОИ ДВНЦ  
член-корр. АН СССР

Владислав Ильинцев  
"25" января 1981 г.

ОТЧЕТ О НАУЧНО-ИССЛЕДОВАТЕЛЬСКИХ РАБОТАХ  
В 33 РЕЙСЕ НИС "ПЕРВЕНЕЦ" (ЯПОНСКОЕ МОРЕ)

Научный руководитель  
доктор Г-М. Н.

И.И.Берсенев

Начальник рейса  
к. Г-М. Н.

И.К.Пущин

Владивосток  
1980

## СПИСОК ИСПОЛНИТЕЛЕЙ

Пущин И.К., к.г.-м.н., ст.научн. сотр. (разделы I, 2, 3, 4.1.1., 4.  
4.3, 5, 7, приложения 5-Т, I, 6)

Берсенев Ю.И. м.н.с. (раздел 4.2.4., приложение 6, 10-17)

Терехов Е.П. м.н.с. (разделы 4.1., 4.2., 4.3., 5, приложение 9)

Гаранько Ю.Л. инженер (раздел 3)

Коновалов Ю.И. аспирант (раздел 4.2.3.6)

Теницкий И.И. ст. инженер (разделы 3, 6, приложения 5-Т, 3-5, 7, 8)

Ващенкова Н.Г. м.н.с. (раздел 4.2., приложение 4-Т)

Антипов М.П. м.н.с (разделы 4.2 и 4.3.)

Филатьев В.П. м.н.с. (разделы 3, 5)

Липкина М.И. к.г.-м.н. ст.научн. сотр. (раздел 4.2)

При составлении разделов 4.1 и 4.2.3.6 авторы пользовались консультациями к.г.-м.н. Г.П. Леликова и м.н.с. В.Т. Съедина. Чертежные работы выполнены, в основном, И.И. Теницким и Ю.И. Берсеневым.

## РЕФЕРАТ

Отчет 153 стр., 5 табл., 6 рисунков, 5 текстовых, 18 графических приложений (карты, схемы).

ЭХОЛОТИРОВАНИЕ СЕЙСМОПРОФИЛИРОВАНИЕ, ОПРОБОВАНИЕ ГОРНЫХ ПОРОДАМИ И ПРОБООТБОРНИКАМИ; МЕТАМОРФИЧЕСКИЕ, ИЗВЕРЖЕННЫЕ И ОСАДНЫЕ ПОРОДЫ; ФОСФОРИТЫ, ЖЕЛЕЗО-МАРГАНЦЕВЫЕ ПОРОДЫ.

Изложены результаты 33 рейса НИС "Первениц" летом-осенью 1971 в Японском море, выполненного отделом геологии ТОИ ДВНЦ АН СССР

Обследованы островной склон о. Хоккайдо, материковый склон в зал. Петра Великого, возвышенности Витязя, Ямато, Криштофовича Глебова и Первеница, а также северная часть желоба Тояма; опробованы четвертичные отложения по профилям в зал. Посыста и по профилям возв. Первеница - возв. Витязя, возв. Витязя - материковый склон Приморья (в районе бух. Ольга).

Описаны рельеф и геологическое строение обследованных участков. Впервые в коренном залегании на хребте Ю. Ямато обнаружены метаморфические породы, а на С. Ямато - интрузии основного состава. На Ю. Ямато установлены палеозойские осадочные породы, которые прорываются гранитоидами. Здесь же составлен разрез нижнемеловых палеогеновых пород. На возв. Витязя подняты интрузии среднего состава. На возв. Криштофовича установлено широкое распространение докембрийских метаморфических пород. Благодаря применению пробоотборщиков новых конструкций четвертичные отложения опробованы в большую глубину. Выявлены новые участки распространения фосфоритов и железо-марганцевых пород. К отчету приложен каталог станций, батиметрические карты полигонов и другие материалы.

## О Г Л А В Л Е Н И Е

1. Введение	8
2. Аналитический обзор	26
3. Методика, организация и объем выполненных работ	35
4. Результаты геологических исследований	66
4.1. Докембрийские метаморфические и интрузивные породы	66
4.2. Стратиграфия фанерозойских осадочных и вулканических отложений	69
4.2.1. Палеозой	69
4.2.2. Мезозой	71
4.2.3. Палеоген и неоген	75
4.2.3.1. Палеогеновые-нижнемиоценовые отложения	76
4.2.3.2. Среднемиоценовые отложения	79
4.2.3.3. Верхнемиоценовые отложения	80
4.2.3.4. Плиоценовые отложения	82
4.2.3.5. Неогеновые отложения нерасчлененные	83
4.2.3.6. Неоген-четвертичные вулканогенные породы	87
4.2.3.7. Железо-марганцевые породы и фосфориты	98
4.2.4. Четвертичные отложения	104
4.3. Интрузивные породы	127
5. Результаты геофизических исследований	131
6. Результаты геоморфологических исследований	139
7. Заключение	146
8. Литература	149

## ТЕКСТОВЫЕ ПРИЛОЖЕНИЯ

1-Т. План-программа экспедиции Тихоокеанского океанологического института ДВНЦ АН СССР в Японское и Восточно-Китайское моря в 33 рейсе НИС "Первенец" в мае-июле 1979 г	154
2-Т. Изменения и дополнения к план-программе 33 рейса НИС "Первенец"	166
3-Т. Рейсовый отчет капитана	171
4-Т. Каталог станций	177
5-Т. Каталог буев	210
6-Т. Протокол испытаний пробоотборников ПГП-2 и ПГП-3	211
7-Т. Протокол испытаний пробоотборника ГСП-1М	215
8-Т. Протокол испытаний кантователя КМП-3	219

## Список текстовых приложений

- 1-Т Научная программа ЗЗ рейса НИС "Первенец"
- 2-Т Дополнения и изменения к научной программе 23 рейса НИС "Первенец"
- 3-Т Отчет капитана НИС "Первенец" по ЗЗ рейсу
- 4-Т Каталог станций
- 5-Т Каталог буев
- 6-Т Протокол испытаний пробоотборников ГСН-2 и ГГП-3
- 7-Т Протокол испытаний пробоотборника ГСН-1М
- 8-Т Протокол испытаний контователя КМП-3

## Список рисунков в тексте

- 3-1 Гидростатический пробоотборник ГСН-1М
- 3-2 Гидропоршневой пробоотборник ГГП-3
- 3-4 Телескопический наконечник колонкового набора
- 3-5 Контователь морских колонковых пробоотборников КМП-3
- 3-6 Основные этапы процесса опробования донных отложений

Список графических приложений  
(порядковый номер соответствует номеру приложения)

1. Схема ЗЭ рейса ИИС "Первенец"
2. Карта фактического материала (залив Петра Великого, возвышенность Первенца)
3. Карта фактического материала полигона 13
4. Карта фактического материала полигона 14-Г, Д
5. Карта фактического материала полигона 18-В
6. Карта фактического материала полигона 28-Г
7. Карта фактического материала полигона 29-30В  
(на 2-х листах)
8. Карта фактического материала полигона 31
9. Схематическая геологическая карта района Южного Ямато (западная часть полигона 28)
10. Поперечный профиль опробования четвертичных отложений в заливе Посьета
11. Профиль опробования четвертичных отложений от зал. Посьета до материкового склона
12. Профиль опробования четвертичных отложений от возвышенности Витязя в сторону материкового склона Приморья
13. Профиль опробования четвертичных отложений на островном склоне о. Хоккайдо (полигон 31)
14. Профиль опробования четвертичных отложений на юго-западном склоне Северного Ямато
15. Профиль опробования четвертичных отложений на западном склоне Южного Ямато
16. Профиль опробования четвертичных отложений в северной части желоба Тояма
17. Поперечные пересечения (батиметрические профили) желоба Тояма
18. Условные обозначения к картам фактического материала (приложения 2-8)

## I. ВВЕДЕНИЕ

33 рейс м/s "Первенец" проходил в Японском море с 13 июля по 2 ноября 1979 года и продолжался немногим более 74 суток без учёта времени стоянок в порту Владивосток. Основной задачей экспедиции являлось изучение геологического строения дна Японского моря в соответствии с профилем 0.50.01 /темы 01.02.Н1 и 01.04.Н/ увязанной с международными проектами "Корреляция" /проект МПГК 7 /I/41 "Граница неогена и квартера" и "Геодинамика". Научная программа рейса /приложение 1-Т/ обсуждалась Ученым Советом ТОИ, океанографической комиссией ДВИЦ и была утверждена вице-президентом АН СССР академиком А.В. Сидоренко 11 июня 1979г. Этой программой предусматривались, кроме того, исследования /г.о. геофизические/ в Восточно-Китайском море. Однако, к моменту начала экспедиции энергетическая система судна не была приспособлена для обеспечения работы геоизицеской аппаратуры, поэтому исследования в Восточно-Китайском море были отменены, а геологические работы в Японском море были расширены /см. приложение 2-Т-"Изменения и дополнения к план-программе 33 рейса м/s "Первенец", утвержденные Ученым Советом ТОИ 21 июня 1979г./.

В соответствии с программой исследований предусматривалось проведение рейса в 3 этапа, но по техническим причинам, изложенным ниже, второй этап пришлось прервать для ремонта в стационарных условиях. Таким образом, рейс выполнен фактически за 4 этапа.

Состав экспедиции менялся в рейсе /см.табл. II/.

Накануне рейса был произведен капитальный ремонт судна, но качество ремонта оказалось довольно низким, что сказалось на эффективности научно-исследовательских работ, особенно в первом этапе плавания. Из наиболее крупных неполадок отметим отказы в работе радиостанции, локатора, лебедок /кормовая лебедка не работала конца рейса/ и контроллера шпигеля. И только благодаря усилиям капитана Н.И. Парфенова, принявшего судно накануне рейса, а также, своевременной замене радиста, электромеханика и старшего механика перечисленные неполадки были в основном ликвидированы во время плавания и стоянок в порту. Но наиболее значительные потери рабочего времени были связаны с плохой работой глубоководного эхолота. По этой причине многие промерные галсы пришлось выполнять на среднем и малом ходу, а при геологическом опробовании глусина зачастую определялась на "стопах". Во втором этапе пришлось около

Таблица I

Список научного состава ЗЗ экспедиции мис "Первенец".

Ф.И.О. участников экспедиции	Организация, должность в экспедиции	Участие по этапам рейса			
		I	II	III	IV
1. Пущин И.К.	300 ТОИ, нач. экспедиц.	+	+	+	+
2. Берсенев В.И.	168 ТОИ, нач. отряда	+	+	+	+
3. Терехов Е.П.	180 ТОИ, нач. отряда	+	+	+	+
4. Аничин В.К.	168 ТОИ, инженер	+	+	+	+
5. Антипов М.А.	180 ГИН, мис	+	+		
6. Ващенкова Н.Г.	168 ТОИ, м.н.с.	+	+	+	+
7. Гаранько В.Л.	180 ПГГУ, инженер	+	+	+	+
8. Иванченко Е.В.	168 ТОИ, м.н.с.	+			
9. Казанский Б.А.	336 ТОИ, ст.н.с.				+
10. Коновалов Ю.И.	168 МГУ, м.н.с.	+	+		
11. Киселёв В.И.	-168 ТИГ, м.н.с.			+	+
12. Максименко С.Д.	- ДВГУ, лаборант	+	+	+	
13. Павлов И.И.	138 ТОИ, инженер	+	+		
14. Рябов Е.М.	162 ТОИ, инженер			+	+
15. Теницкий И.И.	138 ТОИ, инженер	+	+	+	+
16. Филатьев В.Н.	160 ТОИ, м.н.с.			+	+
17. Чарей О.Ф.	166 ТОИ, инженер	+	+	+	+
18. Чернобровкина Е.И.	168 МГУ, м.н.с.	+	+		
<b>И Т О Г О:</b>		<b>I4</b>	<b>I3</b>	<b>I2</b>	<b>I</b>

3-х суток лежать в дрейфе при попытке отремонтировать эхолот, затем прервать этап и идти во Владивосток для ремонта в стационарных условиях.

Календарный график рейса и приведён в нижеследующей таблице.

Таблица I.2.

Календарный график и расход времени в ЗЗ рейсе  
нас "Первенец".

ВИДЫ РАБОТ	Начало		Конец		Всего затр		
	дата	часы	дата	часы	сутки	часы	
		мин.		мин.		мин	
I	1	2	3	4	5	6	7

I ЭТАП.

1. Переход Владивосток-пол.  
З1 с отбором колонок четвер-  
тичных отложений 13/УП 18.55 21/УП 03.25 7 08

в том числе:

- |                              |   |    |
|------------------------------|---|----|
| - отбор колонок осадков      | I | II |
| - перемотка троса в дрейфе   | - | 06 |
| - ремонт лебёдок в дрейфе    | - | 07 |
| - встреча с т/х "Анадырьлес" | - | 05 |
| - штормовая погода           | 3 | 00 |

2. Работа на полигоне З1 21/УП 03.25 24/УП 21.22 3 17

в том числе:

- |                            |   |    |
|----------------------------|---|----|
| -постановка буёв           | - | 07 |
| -драгирование              | - | 23 |
| -отбор колонок осадков     | - | 09 |
| -экологические промеры     | - | 22 |
| -ремонт судовых механизмов | - | 07 |
| -демонтаж системы тяжёлой  | - |    |
| трубы-монтаж драги         | - | 04 |
| -штормовая погода          | - | 15 |

3. Переход пол.З1-пол.ИЗА с  
попутными рекогносцировоч-

продолжение таблицы I.2.

I	1	2	3	4	5	6	7
---	---	---	---	---	---	---	---

ными работами на участке 7.

24/УП 21.22

26/УП 13.55 I 15.30

в том числе:

-драгирование на участке 7.

- 09.55

-штормовая погода

- 22.00

4. Работы на пол. IЗA, Б 26/УП 13.55 30/УП 07.55 3 18.00

в том числе:

-постановка буёв

- 13.24

-драгирование

I II.30

-эхолотные промеры

I 03.36

-ремонт эхолота

- 03.30

5. Переход пол. IЗA, Б-

Владивосток с попутными рекогносцировочными работами на участках 8 и 15.

30/УП 07.55

4/УП 01.15 4 17.20

в том числе:

-драгирование

- 20.45

-отбор колонок осадков

- 18.53

-эхолотные промеры

- 07.42

-ремонт эхолота

- 04.10

И Т О Г О:

21 06.20

продолжение таблицы I.2.

1	2	3	4	5	6	7
---	---	---	---	---	---	---

II ЭТАП

1. Переход Владивосток-зал. Посыт/участки рекогносцировочных работ 13 и 14/. 15/УШ 24.45 16/УШ 07.30 - 07.45

2. Работа в зал.  
Посыт 16/УШ 07.30 19/УШ 17.35 3 10.05

в том числе:

-забор воды в бухте "Витязь" - 02.40  
-отбор колонок осадков на участках 13 и 14. I 06.47  
-штормовая погода I 22.23  
-переходы между бухтой "Витязь" и участками 13, 14. - 02.15

3. Переход зал. Посыт полиг. 30-30В. 19/УШ 17.35 21/УШ 16.45 I 23.10

4. Работа на полиг.  
30-30В. 21/УШ 16.45 26/УШ 19.53 5 03.08

в том числе:

-драгирование - 15.45  
-отбор колонок осадков I 00.25  
-ремонт эхолота 3 08.43

5. Переход полиг. 30-30В-Владивосток/для

продолжение таблицы I.2.

I	!	2	!	3	!	4	!	5	!	6	!	7
ремонта эхолота/. 26/УШ	I9.53	28/УШ	04.20	I	08.27							

И Т О Г О:

I2 04.35

III ЭТАП

1. Переход Владивосток-

полигр. 29-30В. 15/IX 02.00 17/IX 02.33 2 00.33

2. Работы на полигр.

29-30В. 17/IX 02.33 25/IX 19.30 8 16.58

в том числе:

-эхолотные промеры	4	I9.46
-драгирование	I	06.30
-отбор колонок осадков	-	I9.50
-геофизические ра-		
боты	-	06.30
-переходы между		
участками работ	-	08.22
-штормовая погода	I	04.00

3. Переход полигон

29-30В-полигон 28Г с  
попутными рекогносци-  
ровочными работами

на участках II, I2 25/IX 19.30 26/IX 22.I2 I 02.42

в том числе:

-работы на участках  
II, I2 /драгирование/. - 10.15

продолжение таблицы I.2.

I	II	III	IV	V	VI	VII
---	----	-----	----	---	----	-----

4. Работы на полигоне.

28Г. 26/IX 22.I2 29/IX 08.34 2 I 10.22

в том числе:

-эхолотные промеры I 13.08  
-штормовая погода - 21.14

5. Переход полигонов

28Г-Владивосток. 29/IX 08.34 1/X 01.30 I 16.56

И Т О ГО: I5 23.30

ІІІ ЕТАП

1. Переход Владивосток-полигон 29-30В. 9/X 01.40 10/X II.02 I 09.22

2. Работы на полигоне

29-30В 10/X II.02 II/X 21.30 I 10.32

в том числе:

-эхолотные промеры - 15.47  
-геофизические работы - 13.II  
-драгирование - 02.30  
-переходы между участками - 03.04

3. Переход полигон 29-

-полигон 28Г. II/X 21.30 12/X 02.10 - 04.40

продолжение таблицы I.2.

I	2	3	4	5	6	7
4. Работы на полигоне 28Г.	12/X	02.II	13/X	21.05	I	18.
в том числе:					-	01.
-эхолотные промеры					-	04.
-драгирование					-	22.
-переходы между участками работ					-	07.2
-штормовая погода					-	08.
5. Переход полигон 28Г-полигоны I4Г, Д, работы на этих полигонах и участках I6, I7, I8.	I3/X	21.05	23/X	00.55	9	03.
в том числе:						
-переходы между участками работ и полигонами					I	01.
-эхолотные промеры					2	14.
-геофизические работы					I	08.
-драгирование					I	16.
-опробование тяж. трубками					-	07.
-штормовая погода					2	03.
6. Переход полигон I4Г-полигон I8В	23/X	00.55	23/X	12.53	-	II.
7. Работы на полигоне I8В и участке рекогносцировочных работ 5.	23/X	12.53	27/X	02.20	3	13.
в том числе:						
-эхолотные промеры					2	08.
-драгирование					-	15.

продолжение таблицы I.2.

I	2	3	4	5	6	7
геофизические ра-						
боты					-	01.47
-ремонт эхолота					-	05.51
8.Переход пол. I8-						
-Владивосток с по-						
путными рекогносци-						
ровочными работами						
на участках I, 2, 3,						
4, 6, 13 и 15.	27/x	02.20	2/XI	16.30	6	I4.I0
в том числе:						
-переходы между участ-						
ками работ и во Вла-						
дивосток.					2	10.48
-геофизические работы					2	19.24
-драгирование					1	02.20
-опробование тяжёлы-					-	00.18
ми трубками						
-забор воды в бухте					-	02.50
"Витязь"					-	02.30
-штормовая погода					-	
И Т О Г О:					24	I4.50
В С Е Г О по рейсу:					74	01.15

Первый этап продолжался 21 сутки 06 ч.20мин./с 18ч.55мин. 13 июля до 01ч.15мин. 4 августа./. Уже через несколько часов пос ле выхода судна в открытое море начался шторм, который продлил ся на следования в район работ более чем на 3 суток. По пути к пе вому из запланированных полигонов была отобрана серия колонок ч ервичных отложений с использованием пробоотборников новой конст рукции. При подходе к району работ вышла из строя радио и экспед иция потеряла более пяти часов на встречу т/х "Анадырьлес", достав шему запчасти к радио. Кроме того, было потеряно более 15 часов

[REDACTED] ремонт судовых механизмов /лебедок, локатора, шпиля/. Погода с момента начала полигонных исследований улучшилась и до конца этапа была удовлетворительной /потери из-за штормовых условий за этот период составили ок. 15 часов/. Следует отметить также трудности с определением местоположения судна в северной части Японского моря. Здесь удавалось принимать только две линии системы "Лоран", пересекающиеся под острым углом, что не обеспечивало достаточной точности. Поэтому на запланированных здесь полигонах работы велись только с применением буев /всего было поставлено на 2-х полигонах 5 буев/.

Детальные работы были начаты на полигоне 31, расположенным на западной части уступа, ограничивающего с севера Центральную котловину Японского моря. Здесь была проведена батиметрическая съемка в пределах многоугольника с координатами вершин:  $44^{\circ}20' - 139^{\circ}02'$ ;  $44^{\circ}20' - 139^{\circ}14'$ ;  $44^{\circ}12' - 139^{\circ}14'$ ;  $44^{\circ}12' - 139^{\circ}22'$ ;  $44^{\circ}04' - 139^{\circ}26'$ ;  $44^{\circ}04' - 139^{\circ}10'$  и  $44^{\circ}08' - 139^{\circ}06'$ . Драгирование указанного уступа в пределах полигона 31 показало, что уступ вплоть до брови сложен неогеновыми базальтоидами, перекрытыми тонким слоем неогеновых диатомовых алевритов и четвертичных отложений. Из основания уступа подняты кремнистые породы и окремненные алевролиты, внешне сходные с аналогичными породами из палеозойских отложений Главного антиклинария Сихотэ-Алиня. На многих образцах дочетвертичных пород отмечаются хорошо выраженные зеркала скольжения. При опробовании четвертичных отложений тяжелыми трубками здесь были подняты породы, отличающиеся по степени литификации от извлекавшихся ранее кайнозойско-голоценовых пород и представляющих, вероятно, более древние слои антропогена.

Изученный на полигоне уступ редкими галсами был прослежен за пределы полигона на северо-запад до точки с координатами  $44^{\circ}24'$

138°59', в районе которой было проведено внеограммное драгирование участок 7/. Здесь из основания склона были подняты туфы как лого состава предположительно позднемелового - палеогенового возраста. выше по склону в коренном залегании были установлены алевролиты палеоген-раннемиоценового /?/ возраста.

Полигон 13 расположен на подводной возвышенности Витязя, где ранее проводились работы на двух небольших участках. Здесь была проведена батиметрическая съемка в пределах многоугольника с координатами углов: 44°00' - 138°00'; 44°06' - 138°10'; 43°57' - 138°23'; 43°50' - 138°04'; 43°53' - 137°57'; 44°00' - 137°56'. В процессе драгирования на полигоне 13 кроме ранее поднимавшихся здесь пород были установлены диориты и кварцевые диориты, прорывавшие предположительно палеозойские песчаники и алевролиты. Со склонов возвышенности тяжелыми трубками были подняты колонки четвертичных отложений. Работы на полигонах 31 и 13 были завершены почти на двое суток раньше намеченных сроков, поэтому было решено проверить опробование четвертичных отложений по профилю на запад от возвышенности Витязя. По этому же профилю были продрагированы участки в точке с координатами 44°02' - 137°41' участок 8/, где были подняты /из коренного выхода/ катаклизированные алевролиты и песчаники и фильтрированные аргиллиты. При переходе в порт Владивосток для пополнения запасов продовольствия, воды, топлива и отдыха экипажа попутно были продрагированы склоны в южной и восточной части подводной возвышенности Перенца участок 15/ с целью выяснения состава докайнозойского фундамента, установленного здесь геохимическими методами. Однако были подняты только базальтоиды и неогеновые осадки, изученные ранее, в предыдущих рейсах них "Первенец".

Стоянка в порту Владивосток затянулась с 4 по 15 августа из-за отсутствия судна ДВИЦ АН СССР, не обеспечившего во время судно дистопливом и кадрами моряков. Научный состав экспедиции использовал время стоянки для вывоза каменного материала в камнехранилище, п

реоборудования системы тяжелых трубок /кантователи были перенесены в другое, более удобное для работы место/. В это же время Е.П.Т раковин был произведен профилактический ремонт глубоководного эхолота, который в конце первого этапа исследований работал пло-

Второй этап продолжался 12 суток 04ч 25м /с 23ч 45м 15 августа до 19ч 53м 26 августа/. После оформления отхода судно пошло в бухту Витязь /зал. Посыт/ для заправки водой. Здесь выяснилось что очередной тайфун изменил направление и движется в направлении Приморья. Решено перехватить тайфун в зал. Посыт, а чтобы зря не терялось время, начали опробование четвертичных отложений в бух Рейд Паллада и по профилю от названной бухты до с. Фуругельм и далее на юг, до материкового склона /участки I3 и I4 с координатами центров соответственно  $42^{\circ}35'$  -  $130^{\circ}50'$  и  $42^{\circ}14'$  -  $130^{\circ}58'$ . Проведенные работы позволяют проследить отдельные горизонты, вскрыть в бух. Рейд Паллада буровыми скважинами вылить до материкового склона и выявить характер их фациальной изменчивости. 19 августа после того, как волнение, вызванное прошедшим тайфуном упало до 5 - 6 баллов, судно пошло для проведения работ в районе котлоба Тояма. Здесь исследования начались с драгировок и отбора колонок четвертичных отложений в пределах полигонов 30 и 30-А, где основные объемы работ были выполнены в 30-и рейсе м/s "Первенец"/участки 9 и 10 с координатами центров соответственно  $38^{\circ}39'$  -  $137^{\circ}40'$   $38^{\circ}31'$  -  $137^{\circ}42'$ / . Опробование продолжалось до 11ч10м 28 августа, когда окончательно отказал глубоководный эхолот. Попытка отремонтировать эхолот силами судовых специалистов продолжалась до 19ч 53м 26 августа и окончилась безуспешно. 28 августа в 04ч 20м прибыли в порт Владивосток.

Во Владивостоке эхолот ремонтировался специалистами ПМ-412 "Спнт", которые кончили работы 14 сентября. В этом же закоде выя-

былась возможность взять на борт геофизический комплекс ГНСИ с пневматическим разрывником/. В.П.Фильев и Б.М.Рябов /последний сотрудник отдела геофизики ТОИ/ за время стоянки смонтировали на борту указанный комплекс, включая компрессор.

Третий этап продолжался 15 суток 23ч 30м /с 02400 15 сентября до 01ч 30м 1 октября/. В этом этапе работы начались с проведения батиметрических исследований, драгирования и отбора колонок четвертичных отложений на полигонах 29-ЗОВ /северная часть желоба Тояма и прилегающая часть хребта Сев.Ямато/.

Исследованный полигон 29 - ЗОВ имеет форму сложного многоугольника с координатами вершин  $40^{\circ}50'$  -  $137^{\circ}10'$ ;  $40^{\circ}48'$  -  $137^{\circ}35'$ ;  $39^{\circ}55'$  -  $137^{\circ}57'$ ;  $39^{\circ}42'$  -  $137^{\circ}50'$ ;  $39^{\circ}00'$  -  $137^{\circ}22'$ ;  $39^{\circ}00'$  -  $137^{\circ}02'$ ;  $39^{\circ}20'$  -  $137^{\circ}00'$ ;  $39^{\circ}50'$  -  $137^{\circ}30'$ ;  $39^{\circ}50'$  -  $136^{\circ}40'$ ;  $40^{\circ}20'$  -  $136^{\circ}40'$  и  $40^{\circ}22'$  -  $137^{\circ}20'$ . Были получены новые данные о морфологии желоба Тояма, впервые подняты колонки четвертичных отложений с его дна /полигон ЗОВ/. На прилегающем полигоне вулканогенные породы, широко распространенные на других участках Сев.Ямато где они изучались ранее. Геофизические работы на полигонах 29 - ЗОВ выполнялись с большим трудом из-за частых поломок швейномашинки, воздухопровода, компрессора и преной косы. Эти работы осложнились и затягивались из-за неисправности нормовой лебедки. Известно же удалось получить серию сейсмоакустических разрезов желоба Тояма, указывающих на сложные условия его возникновения и развития.

При переходе с полигона 29 на полигон 28Г попутно были продрагированы отдельные возвышенностии /участок II и I2 с координатами центров соответственно  $39^{\circ}50'$  -  $136^{\circ}35'$  и  $39^{\circ}38'$  -  $136^{\circ}15'$ / . На участке II были подняты граниты и метаморфизованные ~~шлаки~~ алевролиты и песчаники. Здесь же в драгах отмечаются обломки неогеновых песчаников и алевролитов /последние может быть палеогеновые/, обломки фосфоритов и железо-марганцевых пород. Редкие промерные галсы на

участке II указывают, что рельеф здесь гораздо сложнее, чем показанный на карте 61011, изданной в 1977г. На участке 12 были подняты только эфузивы среднего состава;

После завершения эхолотных проходов на полигоне 28Г разыгрался несторый шторм, вызванный наступающим тайфуном. Одновременно заболел радиост и было получено распоряжение директора ТОИ доставить одного из членов экспедиции во Владивосток. Поэтому было принято решение прервать работы и идти во Владивосток.

Стоянка во Владивостоке продолжалась с 01ч 20 и 05 октября. 01ч 40м 9 октября /отцел флота ДВИЦ/ вновь несвоевременно заменили заболевшего радиоста/. Во время стоянки ремонтировался геофизический комплекс и эхолот.

Четвертый этап продолжался 24 суток 14ч 56м /с 01ч 40м 10 октября по 16ч 30м 2 ноября/. К началу этапа были ликвидированы основные поломки судовых механизмов и аппаратуры, благодаря Б.А. Казенскому заработал п/л боловодный эхолот, был отложен геофизический комплекс. На члены сотрудники экспедиции и штурманский состав экипажа на основе опыта предыдущих этапов сократили время на геологическое опробование и определение местоположения судна в 1,5-раза. Поэтому заключительный четвертый этап оказался наиболее подготовленным, хотя судно в открытом море было захвачено тайфуном "Джантина" и потеря из-за штормовой погоды в этапе составили более 2,5 суток.

Начался этап с дополнительных эхолотных и геофизических работ на полиграонах 29 - 30В, поскольку из-за плохой работы эхолота в предыдущем этапе по многим галсам качество записи было очень плохое. Этот пробел был ликвидирован частично, поскольку работы проводились в штормовых /4-5 баллов/ условиях. Затем было проведено драгирование полигона 28Г. Здесь установлено широкое развитие довольно разнообразных вулканитов умеренно кислого, среднего и основного состава. Обращает на себя внимание отсутствие в пределах полигона 28Г палеогеновых и неогеновых осадков.

При переходе на плановый полигон 14 попутно были проведены дополнительные исследования на отработанном ранее полигоне 28 / участок 16 и 17 с координатами центров соответственно  $38^{\circ}52'$  -  $134^{\circ}$  и  $39^{\circ}05'$  -  $134^{\circ}05'$ . На участке 16, расположенным на южном склоне хр. Ямато, были подняты только базальты и андезито-базальты.

На участке 17 в 28 рейсе НИС "Первенец" были установлены иловые и палеогеновые породы. В 33 рейсе здесь был выполнен сейсмоакустический разрез и проведено дополнительное драгирование, позволившее существенно детализировать стратиграфические данные.

Полигон 14Д расположен в зоне соединения Северного и Южного хребтов возвышенностей Ямато и ограничен параллелями  $39^{\circ}00'$  -  $38^{\circ}50'$  и меридианами  $133^{\circ}00'$  -  $133^{\circ}40'$ . Здесь кроме эхолотной съемки были выполнены два широтных сейсмоакустических профиля, выявившие два выхода акустического фундамента на поверхность дна. Драг с одного из этих выходов были подняты граниты и базальты, с другого - только базальты.

В процессе отработки полигона 14Д попутно был продрагирован обрыв, расположенный у восточной границы этого полигона /участок 18 с координатами центра  $38^{\circ}52'$  -  $133^{\circ}43'$ / . Здесь ранее были установлены прецессоры о палеогеновые постчаники и постгеновые диатом алевролиты с пресноводным комплексом диатомей. В 33 рейсе на участке 18 установлен состав акустического фундамента и собран дополнительный материал из перекрывающих его постгеновых отложений. Фундамент здесь сложен кристаллическими сланцами и гнейсами, интрузированные лейкократовыми гранитами - эти породы в пределах возв. Ямато в коренном залегании установлены впервые.

Полигон 14Т расположен севернее полигона 14Д в пределах за падного окончания хребта Сев.Ямато. Этот полигон "заполняет" участки между полигонами, отработанными в предыдущих рейсах НИС "Первенец" и поэтому имеет форму очень сложного многоугольника с коо-

шпагами уловов:  $39^{\circ}50' - 132^{\circ}00'$ ;  $39^{\circ}50' - 133^{\circ}23'$ ;  $39^{\circ}40' - 132^{\circ}28'$ ;  $39^{\circ}40' - 134^{\circ}00'$ ;  $39^{\circ}12' - 134^{\circ}00'$ ;  $39^{\circ}10' - 133^{\circ}50'$ ;  $39^{\circ}35' - 133^{\circ}33'$ ;  $39^{\circ}35' - 133^{\circ}33'$ ;  $39^{\circ}35' - 133^{\circ}24'$ ;  $39^{\circ}25' - 133^{\circ}24'$ ;  $39^{\circ}25' - 133^{\circ}00'$ . Здесь были проведены батиметрическая съемка, драгирование пород акустического фундамента и отборование четвертичных отложений. Из фундамента был поднят довольно разнообразный комплекс пород, которых следует отметить габброноры, установленные на возв. Яматиши рвые. В юго-западной части полигона из гор. штого выхода подняты граниты и перекрывающие их гравелитовые песчаники /предположительно палеогеновые/, содержащие обломки этих гранитов.

Полигон 18В расположен в западной части возвышенности Крыштофовича и также, как полигон 14 Г, планировался, в основном, с целью завершения новой батиметрической карты указанной возвышенности. Полигон 18В также имеет форму сложного многоугольника с координатами уловов:  $38^{\circ}45' - 131^{\circ}25'$ ;  $38^{\circ}45' - 132^{\circ}05'$ ;  $38^{\circ}05' - 132^{\circ}10'$ ;  $37^{\circ}42' - 131^{\circ}49'$ ;  $37^{\circ}49' - 131^{\circ}25'$ ;  $37^{\circ}55' - 131^{\circ}40'$ ;  $38^{\circ}20' - 131^{\circ}40'$  и  $38^{\circ}35' - 131^{\circ}25'$ . Поскольку насыщенных навигационных картах /в пределах полигона 18В/ показаны очень пологие склоны, предполагалось, что драгирование здесь будет проведено на ограниченном количестве станций. В южной части полигона выявлен кратер, местами обрывистый склон высотой более 500 м, который прослежен на расстоянии более 70 км. Драгировки этого склона показали, что он сложен метаморфическими породами, перекрытыми предположительно неогеновыми песчаниками и неогеновыми шлакомитами. В северной части полигона были подняты метаморфические породы.

Утвержденной программой предусматривалось драгирование на ряде участков южнее и западнее полигона 18В.

Участок 5 /37 33 - 131 21/ расположен на небольшой подводной возвышенности восточнее о. Ульшица. Здесь в 20 ре. се. пис "Первенец" были подняты базальты, имеющие оригинальные петрохимические харак-

теристики. В 33 рейсе необходимо было провести дополнительные сборы каменного материала. Это задание выполнено.

Участки 3 и 4 расположены в центральной части возвышенности Криктофовича /координаты соответственно  $38^{\circ}08'$  –  $131^{\circ}28'$  и  $38^{\circ}03'$   $131^{\circ}27'$ /. Здесь в предыдущих рейсах нис "Первенец" в процессе батиметрических работ были установлены удобные для драгирования склоны, но драгировки не производились. В 33 рейсе на участке 3 похищены кристаллические сланцы, а на участке 4 – базальтоиды.

Участок 2 / $38^{\circ}02'$  –  $130^{\circ}53'$ / расположен на крутом склоне в западной части возвышенности Криктофовича. Здесь в 30 рейсе драгами установлены вулканиты умеренно кислого состава и неогеновые осадки.

Участок I / $37^{\circ}57'$  –  $130^{\circ}45'$ / расположен на небольшой подводной возвышенности северо-западнее с. Ульянице, которая была выявлена во время попутного промера в 30 рейсе нис "Первенец" /на карте 61009 масштаба 1 : 500 000 эта возвышенность не показана/. Здесь драгами подняты кристаллические сланцы, предположительно <sup>палеогеновые,</sup> песчаники с обломками метаморфических пород и базальты.

С окончанием работ на участке I были завершены все предусмотренные программой исследования. Поскольку погода в это время была хорошей, несколько дней, оставшиеся до завершения рейса были использованы для геолого-геофизических исследований на резервном полигоне 21 /возвышенность Первенца/ и материковом склоне залива Петра Великого. Кроме того, по пути были проведены повторные драгировки на ранее отработанном полигоне 16 /участок 6 с координатным центром  $38^{\circ}43'$  –  $130^{\circ}13'$ /. Здесь дополнительно были собраны фосфориты.

Сейсмогравитирование, проведенное на материковом склоне залива Петра Великого и возвышенности Первенца дало дополнительный материал о глубинах залегания здесь акустического фундамента, строении неоген-четвертичного осадочного чехла и разрывных нарушений. Особу

ценность представляют собой сейсмоакустические профили в пределах полигона 22 на материковом склоне, где в 21 рейсе ицс "Первенец" был выполнен большой объем драгировок и который является опорным <sup>при</sup> решении задач, связанных со стратиграфией кайнозойских /дочетвертичных/ отложений шельфа и материкового склона. К сожалению, нестойкий шторм разыгравшийся в последний день рейса, не позволил "протянуть" сейсмоакустический профиль с полигона 22 до о. Аскольд и увязать данные 22 рейса с буровыми и геофизическими данными по внутреннему шельфу, полученные ранее разными организациями.

Основные карты, использованные в рейсе, приведены в нижеследующей таблице.

Таблица I.3.

Список карт, использованных в 33 рейсе ицс "Первенец"

карты №	Название	Масштаб	Год издания
61002	От мыса Поворотный до мыса Белкина	I:500000	1975
61011	Восточная часть возвышенности Ямато	I:500000	1976
61009	От мыса Мусудан /Балтина/ до мыса Йонгхуган /Пелиссье/	I:500000	1977
61010	От о. Ульиндо /Джелет/ до бухты Ямато	I:500000	1976
61001	От мыса Мусудан /Балтина/ до мыса Поворотный	I:500000	1974

В целом за рейс получен обширный материал по геологии и геоморфологии для Японского моря. Обработка полученных данных займет вероятно, не один год, во всяком случае на эту работу потребуется более шести месяцев - срока, в течении которого должен быть составлен научно-технический отчет по рейсу в соответствии с требованиями действующей в ДВИЦ "Инструкции". Результаты некоторых аналитических работ /микропалеонтологических, петрографических и петрохими-

ческих/, выполненных до середины марта 1980 г., в настоящем отчете учтены. Шлифы изготавливались в МГУ и ТОИ. Анализы диатомов и споро-пыльцевых комплексов из камновойсковых отложений проводились в лаборатории стратиграфии и тектоники ТОИ.

Как видно из приведенного выше списка исполнителей, основными авторами данного отчета являются участники 33 рейса. Кроме и в первичной обработке полученных материалов приняли участие Е.П. Лемиков /просмотр шлифов докайнозойских изверженных и метаморфических пород/, М.И.Липкина /изучение поднятых в рейсе фосфоритов/, М.Т.Горовая и И.Б.Цой /изучение споро-пыльцевых и диатомовых комплексов/. Анализы поднятых в рейсе фосфоритов выполнены в Приморской лаборатории ГИГХС Министерства химической промышленности.

Рейс проходил под научным руководством доктора Г.-М.И. И.И.Версенева, который продолжал консультировать авторов и при составлении данного отчета.

## 2. АНАЛИТИЧЕСКИЙ ОБЗОР

По общепринятому мнению специалистов Японское море является одним из наиболее изученных и в этом отношении успешно "конкурирует" со Средиземным, Балтийским, Северным и некоторыми другими морями, по геологии которых собран довольно обширный материал. Имеющиеся публикации по геологии, геофизике и геоморфологии Японского моря исчисляются многими десятками. Ниже мы остановимся то на тех из них, которые по своему содержанию и пространственно связаны с программой 33 рейса илс "Первенец".

2.1. По теме 01.04.Н1. - "Изучить динамику и кинематику фитогенных разломов, выяснить условия их формирования" имеются сведения в многочисленных трудах советских и зарубежных исследователей. Здесь следует отметить труды по геоморфологии дна Японского

моря В.С.Линсина /1973/ и Г.С.Хулякова /1960, 1974/, содержащие элементы морфоструктурного анализа – одного из основных методов изучения тектоники /в том числе и разрывной тектоники/ акваторий морей и океанов. В процессе ведения экспедиционных работ в 33 рейсе и составления настоящего отчета нами использовалась схема геоморфологического районирования Японского моря, предложенная В.С.Линсином.

Важные сведения по тектонике исследований в 33 рейсе участков Японского моря содержатся в работах М.Сакураи с соавторами (*Sakurai et al., 1972*), Т.В.Хильде и Д.М.Вагемана (*Hilde, Wageman, 1973*), В.Людвига с соавторами (*Ludwig et al., 1975*) и других зарубежных геологов и геофизиков. В указанных работах, в частности, рассматривается структура желоба Тояма, где нис "Первенец" в соответствии с утвержденной программой 33 рейса провел большой объем геоморфологических, геологических и геофизических исследований.

К моменту начала 33 рейса существовало две точки зрения на происхождение и развитие желоба Тояма. Сторонники первой из них (*Ludwig, Murauchi, Houtz, 1975*) считают природу желоба Тояма чисто тектонической, акцентируя это обстоятельство, что эта структура фактически является подводным продолжением известного грабена Форса-Магна /структурная связь Форса-Магна и желоба Тояма подтверждается и многими другими исследователями/. Геофизические работы, проведенные нис "Гломар Челенджер" при подготовке к бурению скважин в Японском море, в общем, как будет показано ниже, подтверждают эту точку зрения. В Советском Союзе идею тектонической /ризогенного/ происхождения и развития желоба Тояма активно поддерживает И.И.Берсенев /см. отчет о результатах исследований в 30 рейсе нис "Первенец"/. Сторонники второй точки зрения на генезис рассматриваемой структуры /М.Сакураи и др./ считают, что она образовалась за счет деятельности суспензионных потоков, а тектони-

нические процессы при этом имели подчиненное значение или отсутствуют полностью. Это мнение полностью разделяется Н.П.Васильковским, который утверждает, что "извилистая конфигурация каньонов исключает его связь с рифтогенезом и вообще с разрывной тектоникой" /Васильковский и др., 1978, стр. 151/. Приведенная цитата касается, правда, не всего желоба в целом, а только каньона /"Thoyama Channel"/, приуроченного к центральной части желоба. Однако суть этого высказывания распространяется на весь желоб. Самая часть желоба исследовалась на линии "Первенец" в 30 рейсе. Но, хотя и были проведены довольно обширные батиметрические работы и геологическое опробование, существенно новых данных по проблеме происхождения и развития этой структуры получено не было.

В 1977 г. линия "Морской геофизик" под руководством Ю.В.Петровича провел гидромагнитную съемку желоба Тояма. Полученные результаты также не позволяют однозначно ответить на вопрос о генезисе желоба /см. отчет о результатах геофизических работ в 6 рейсе линии "Морской геофизик"/.

Большой интерес представляет проблема происхождения подводных возвышенностей в Японском море, ибо эта проблема неразрывно связана с более общей проблемой – происхождения Японского моря. Как отмечалось выше, большая часть 33 рейса, в соответствии с программой, была посвящена дополнительному сбору материалов по геологии подводных возвышенностей Витязя, Ямато и Криштофовича. Кроме того работы проводились на иные бездействующих подводных вулканах в районе желоба Тояма и восточнее о. Хоккайдо.

Остановимся несколько подробнее на генезисе подводных возвышенностей, в строении которых вулканогенные породы или отсутствуют, или имеют подчиненное значение. Известны три гипотезы происхождения таких возвышенностей. Первая из них, разрабатываемая в настоящее время Н.П.Васильковским, Г.Б.Данилевым, Б.Я.

Карпом и другими исследователями (*Vasilkovskiy et al., 1966*; *Vasilkovskiy et al., 1978*; *Vasilkovskiy et al., 1971*), рассматривают их интрагеантинклинальные поднятия в геосинклинальной структуре Японского моря. По мнению Н.П.Васильковского возвышенность Криштофоначала формировалась еще в докембрии, когда область Японского моря почти целиком входила в западную часть Тихого океана. Возвышенность Ямато по Н.П.Васильковскому возникла в перми, а возвышенность Витязя – в позднем мелу-палеогене /обращает на себя внимание резкая разновозрастность по Н.П.Васильковскому указанных возвышенностей как морфоструктур, вполне возможная с точки зрения сторонников эволюционного происхождения Японского моря, но трудно объясним с позиций других, изложенных ниже гипотез/.

Многие советские и зарубежные геологи в настоящее время считают Японское море образованием эпиконтинентальным, возникшим в процессе деструкции некогда существовавшей на его месте материкивой коры. При этом рассматриваются два варианта деструкции. Согласно первому из них, применительно к Японскому морю разрабатывающему И. Минато, В.М.Ковылиным, Н.А.Строевым, Е.Н.Меланхолиной, Б.И.Васильевым /Ковылин, Строев, 1970; Меланхолина, Ковылин, 1970; Минато и др., 1968 и др./, Японское море образовалось в процессе опускания материкивой сушки с переработкой и уничтожением гранитных слоев. При этом отдельные блоки коры не опустились или опустились частично, сохранив гранитный слой. Вот такие блоки по мнению перечисленных исследователей и образуют подводные возвышенности, в том числе – возвышенности Криштофовича, Ямато и Витязя. Согласно второму варианту, ставшему особенно популярным в последние 10 – 15 лет Японское море образовалось в процессе рифтогенеза, – дрейфа Японских островов от материка. При этом отдельные блоки материкивой сушки "отставали" от основной массы тяжелой литосферы, образуя подводные возвышенности. Последняя гипотеза промышленного подводных

возвышенности в Японском море наиболее последовательно отстаивался Н.Н.Кропоткиным /1964, 1972/ и И.И.Берсеневым /1973 и др./.

Основные черты строения земной коры в районе возвышенности Криктофовича были установлены геофизическими методами в 47 рейсах пис "Витязь" /1970/. Здесь по данным Н.А.Строева, Ю.В.Шевадзина и др. исследователей /Кулинич, Строев и др., 1972/ мощность осадочного слоя колеблется от 0 до 1,5 км. Достаточно четко фиксирует гранитный слой мощностью 6 – 8 км. Мощность базальтового слоя 11,4–12,7 км. По мнению авторов гранитный слой в районе возвышенности сложен преимущественно метаморфическими породами. Приуроченность к периферии возвышенности магнитных аномалий, изгибов поверхности Моко, появление гранитного слоя, активная геоморфология с указывают на то, что возвышенность ограничена крупными разломами. В 1973–1977 годах возвышенность Криктофовича изучалась в 20, 29 и 30 рейсах пис "Первомай", во время которых в составе фундамента возвышенности были установлены гранитоиды и метаморфические породы.

Возвышенность Ямато изучалась во многих экспедициях советских и зарубежных исследователей. По геофизическим данным мощность коры в рамках возвышенности Ямато достигает 22–23 км.

• В районе северного и южного хребтов Ямато выделяются осадочный слой мощностью до 1,5 км, промежуточный /1,5–2,1 км/, гранито-метаморфический /4–5 км/ и базальтовый /до 10 км/. На отдельных участках "промежуточный" слой не отмечается, но общая мощность "наибазальтовой" толщи сохраняется в пределах 6–7,5 км. В разделе южный и северный хребты котловине гранитно-метаморфический слой отсутствует, а "промежуточный" развит спорадически. Анализ геодинамических данных по возвышенности Ямато позволил Б.И.Васильеву, Б.Я.Карпу и Ю.В.Шевадзину /1972/ сделать некоторые выводы о разрывной тектонике возвышенности. По их мнению основой строения возвышенности является чередование горст-антклиналей и грабен-синклиналей,

которые ограничены разломами северо-восточного простирания /объ и северо-западного /сдвиги/. Горизонтальные смещения по ловост ронним сдвигам достигают 15 км. С прилегающими глубоководными ловинами возвышенность Ямато по мнению перечисленных исследователей граничит по глубоководным разломам. Аналогичные разломы ограничивают также котловину, разделяющую северный и южный хребты возвышенности. В 1975 году важнейшие данные по геологии, геофизике и геоморфологии этой возвышенности были синтезированы в монографии Б.И.Васильева, Б.Я.Карна, Н.А.Строева и Ю.В.Шевальдина. Авторы пришли к выводу, что возвышенность Ямато является остатком обширной суши /материика/, некогда занимавшей большую часть современной акватории Японского моря. Однако этот вывод обоснован в монографии не достаточно, хотя соображения авторов о крупных вертикальных колебаниях отдельных блоков коры в Японском море выглядят весьма убедительно. Позже, в 1975-1978 годах, на отдельных полигонах возвышенности Ямато были проведены детальные геолого-геоморфологические исследования на с/х "Пррвенец". Среди образцов неогеновых пород, собранных в указанных экспедициях "Первена" были обнаружены озерные /или пойменные?/ осадки с пресноводными комплексами диатомей, что подтверждает предположение о выходе возв. Ямато и под уровня моря в неогене.

Возвышенность Витязя изучалась в 20 рейсе на с/х "Первена", когда было установлено присутствие в фундаменте возвышенности предположительно палеозойских песчаников и алевритов. В 1976 го в экспедиции на с/х "Каллисто" были более детально изучены первоначальные палеозойские /?/ отложения средние и кислые вулканиты, по мнению И.И.Борснега, Ю.С.Лихина и К.И.Сиговой /1978/ возвышенность Витязя с запада, юга и востока ограничена разрывами позднемелового возраста заложения. Однако природа указанных разломов, впрочем как и остальных "разрывов" в пределах акватории Японски

моря, определяется авторами только исходя из общей концепции рифтогенного происхождения этого моря. Большой интерес представляют также геофизические /НСП/ исследования японских геологов в районе возвышенности Витязя.

На акватории Приморского шельфа, материкового склона и прилегающей части абиссальной равнины по геофизическим данным выделяется серия разломов разного порядка. Наиболее полно эти материалы суммированы в отчетах геолого-геофизической службы Тихоокеанского океанологического института /Васильевский и др., 1974; Бевзеринский, 1974; Берсенев и др., 1975; Карман и др., 1977/, а также в ряде опубликованных работ /Карп, Моуравова, 1972; Кулнич и др., 1972 и др./.

В целом имеющийся в настоящее время материал по геологии Японского моря не позволяет однозначно решить вопрос о его происхождении и развитии, хотя анализ этого материала позволяет считать андезитическую природу моря наименее вероятной.

Геолого-геофизические материалы по Японскому морю были обобщены на Карте разломов СССР и сопредельных стран и объяснительном записке к ней /Берсенев, Липкин, Сигова, 1975/. В 1979 году И.И. Берсенев с успехом продемонстрировал на XIУ Тихоокеанском конгрессе в Хабаровске первую геологическую карту Японского моря масштаба 1:2500000. После издания этих сводных карт более четко обозначились пути дальнейших геолого-геофизических исследований в Японском море.

2.2. По теме О1.02.Н1 "Изучить магнитные и палеомагнитные свойства пород, составить спорные разрезы, создать палеомагнитную шкалу" /отдел геологии Тихоокеанского океанологического института/ работает над созданием стратиграфических схем кайнозойских отложений. К моменту начала 32-го рейса по этой проблеме советскими и зарубежными геологами был собран обширный материал.

Стратиграфия четвертичных отложений побережья и материкового склона у побережья Приморья изучалась Тихоокеанским океанологическим институтом /Ширков и др., 1975; Пущин и др., 1975/ и Тихоокеанской морской геолого-разведочной экспедицией ИГГУ /Мечетин и др. 1978 и др./. Полученные результаты обобщены, кроме того, в ряде отчетов ТОИ /Васильковский и др., 1974; Бевзоржини и др., 1975/ и ТОИ по результатам 15, 20, 21, 23 ре сан ше "Первонец" были разработаны основы стратиграфии палеогеновых /?/ и неогеновых отложений материкового склона у побережья Приморья /Пущин и др., 1977; Пущин и др., 1977/. Продолжение авторами стратиграфические схемы основаны, главным образом, на результатах анализа комплексов дельт, которые изучались И.Б.Ной, В.Н.Болдиревой и Л.И.Долматовой. Учитывались также результаты анализа сквиро-нильцевых комплексов /М.Т.Роваг/ и малакодавки /В.О.Савицкий/. Стратиграфия одновозрастных отложений на подводных возвышенностях изучена в целом хуже, поскольку они распространены сравнительно узко /вплоть до полного отсутствия/, разрезы их часто не полны и имеют меньшую, чем на материковом склоне, мощность. Не исключено также, что на подводных возвышенностях ранне- и среднекайнозойские отложения бронируются более поздними потоками базальтоидов.

В многочисленных экспедициях советских и зарубежных исследователей в Японском море были подняты тысячи колонок четвертичных отложений. Однако по техническим причинам только в единичных случаях удавалось поднять отложения дровяно-звериного итебистогена. Большое значение для расшифровки стратиграфии колонок в центральных частях Японского моря имело бурение скважин с судном "Гломер Мар" (Jngly e.a., 1975). Всего было пробурено четыре скважины в зоне северо-восточного замыкания возв. ямато по профилю вдоль створа последней. Скважина 299 /30°29,7' – 31°03',7'/ расположена приблизительно на выходе гребня Тояма в Центральную котловину и

всна в осадочный слой до глубины 531 м. В разрезе скважин преобладают турбидиты. Возраст отложений определялся по комплексам диатомей. Известковистый нанопланктон, планктонные фораминиферы и радиолитрии в осадках отмечаются спорадически. По мнению И. Конзути, анализировавшего диатомовые комплексы, наиболее древние отложения, вскрытые скв. 29 - позднемиоценовые /граница и плеистоценом и плиоценом проходит им на глубине 158 - 161 м/. Скважина 300 /41°02,4' - 126°00,4'/ расположенная в Центральной котловине, наиболее полная /117 м/ и характеризуется неизменным выходом керна. Наиболее древние отложения, вскрытые этой скважиной позднеплейстоценовые. Скважина 301 /40°03,8' - 134°02,3'/ также расположена в Центральной котловине /глубина до шка 3520 м/ и вда в осадки на глубину 497 м. В разрезе также преобладают турбидиты комплекса отложений /до глубины 240,5 м/ по диатомам относятся к плеистоцену-голоцену. Нижняя часть разреза /интервал 240,5 - 417 м/, датируется верхним миоценом-плиоценом. Скважина 302 /40°20,1' - 126°54,0'/ расположена на нижней части склона воззвышенности Ямато /глубина до шка 2349 м/, вошла в осадочный слой до глубины 531,5 м и имеет наиболее сложный и интересный разрез. Для этой скважины характерно отложение турбидитов. Отложения в интервале 0-39 м относятся к позднему плеистоцену, в интервале 39-71 м датируются от раннего до позднего плеистоцена, в интервале 71-352 м - поздним миоценом-плиоценом и в интервале 352-531,5 - поздним миоценом. Однако следует отметить, что в интервалах 171-190,5 м и 456,0-465,5 м отмечаются единичные формы известкового нанопланктона, характерные для позднего олигоцена. В интервале 529,4-531,5 м скважина прошла по плотным алевролитам, тонкозернистым вулканогенным песчаникам и хлоритизированным туфам. Эти породы палеонтологически не охарактеризованы, возраст их И.С. Ингли, И. Конзути и др. предполагается позднемиоценовым (*Jhgley et al., 1975*)

хотя и не отрицается более древний (до позднеолигоценового). В целом датировки вскрытых скважинами отложений нельзя признать окончательными, поскольку они базируются главным образом на анализах диатомовых комплексов. При этом отмечаются случаи, когда "диатомовые" определения возраста входят в противоречие с определениями по фораминиферам, силикофлагеллятам и нанопланктону. Кроме того, анализировавший диатомовые комплексы из скважин И.Коизуми при заключении о возрасте сопоставлял их с последними, созданными им же биостратиграфическими шкалами о.Хонсю (*Koizumi, 1977*). Однако эти шкалы обоснованы недостаточно и часто противоречат геохронологии кайнозоя Японских островов, разрабатываемой другими методами (в т.ч. и по другим комплексам ископаемых организмов).

### 3. МЕТОДИКА, ОРГАНИЗАЦИЯ И ОБЪЕМ ВЫПОЛНЕННЫХ РАБОТ

Методика геолого-геофизических исследований в рейсе в принципе не отличалась от принятой в аналогичных экспедициях на с/х "Первенец" (см. отчёты по 20, 21, 28, 30 и др. рейсам). Поэтому ниже более подробно излагаются только те аспекты методики работ, которые были специфичны для 33 рейса или не были достаточно освещены в отчётах по предыдущим рейсам.

3.1. Методика геофизических исследований (НСП) определялась использованием аппаратуры с применением в тракте излучения сжатого воздуха. Этот комплекс включал в себя набор пневмоизлучателей с необходимой арматурой опытного изготовления Раменского отделения НИИГеофизика и дизель-компрессор ДК-2 в автономном исполнении с расчётом на подачу охлаждающей воды внешним насосом. В комплекс приёма и регистрации сигнала входили: пьезосейсмографная коса на базе сейсмоприёмников ПДС-21 в шланговой (ПХВ) оболочке с длиной приёмной базы 50 м и двумя амортизационными секциями по 25 м; регистратор на базе аппарата ФАК-П и стандартный регистратор РДД из сейсмоакустического комплекса "Горизонт".

Завод-изготовитель компрессоров марки ДК-2 рекомендует организовать охлаждение за счёт стороннего насоса, ввиду малой надёжности штатного. В частности, на них "Борей" компрессор охлаждался путём сброса воды через систему гидрофора. Подобной возможности на них "Первенец" не оказалось. Попытка подвести охлаждающую воду от вспомогательного дизель-генератора привела к перегреву последнего из-за увеличения сопротивления сбросу воды. В итоге пришлось смонтировать на компрессоре его штатный насос, несмотря на его малую надёжность.

Другой проблемой, связанной с охлаждением компрессора, явилась трудность забора воды из-за борта. Потребовалось с наружной части борта опускать ниже ватерлинии водозаборную трубу. Участок этой трубы, расположенный между главной палубой и ватерлинией, был приварен на двух кронштейнах к борту судна. Нижний конец трубы (длиной около метра) оставался незакреплённым и при скорости судна более  $\frac{1}{2}$  узлов сильно вибрировал. Вибрация через корпус судна и воду передавалась на приёмное устройство эхолота и создавала сильные помехи, иногда полностью подавлявшие полезный сигнал. Кроме того, при волнении более 4-х баллов и определённых курсах судна относительно волн, водозаборный конец трубы периодически осушался, что приводило к образованию в трубе воздушной пробки. Избежать этого удалось, закрепив на водозаборном конце шланг, второй конец которого удерживался стальными оттяжками в районе киля.

Пьезосейсмическая коса находилась на верхнем мостике и спускалась и поднималась вручную бригадой из 4-5 человек. Вывод косы из кильватерной струи осуществлялся с помощью одной из шлюпбалок. Сейсмодатчик с добавленным к нему утяжеляющим грузом находился на кормовой площадке и спускался за борт с помощью лебёдки "Лэрек" (кормовая лебёдка на "Первенце" вот уже несколько лет не работает).

Предварительная интерпретация геоизических данных проводилась в ходе их поступления и использовалась при планировании геологического опробования.

**3.2. Методика геоморфологических исследований** также существенно не отличалась от аналогичных методик, принятых в предыдущих рейсах "Первенца" и в основных чертах сводилась к следующему:

Батиметрическая съёмка на полигонах, расположенных в северной части Японского моря, проводилась с помощью занюкёрных буёв. Привязки с имеющейся на борту системой "Лоран-А" в этой части моря имели большие погрешности, поскольку из-за удалённости передающих станций системы здесь удавалось получить только две линии, пересекающиеся к тому же под очень острым углом. Координаты буёв определялись как средние из нескольких (до шести) обсерваций с помощью системы "Лоран-А". Из-за погодных условий не удалось получить координаты хотя бы одного буя астрономическим методом. На полигоне I3, где выставлялось 3 буя, их взаимоположение определялось судовой РЛС "Дон". Эта же станция использовалась при ведении работ у побережья.

Измерения глубин проводились глубоководным эхолотом "Кельви Хьюз" с записью через усилитель на самописце ФАК-II. Относительная точность измерений около 5 м. Какие-либо поправки, учитывающие солёность, температуру воды и т.п., в измеренные значения глубин не вводились. Результаты измерений выносились на заранее подготовленную карту-сетку, на которой и строилась затем батиметрическая карта полигона. На эту же карту выносились буи, если они ставились, и станции геологического опробования.

**3.3. Геологическое опробование** велось драгами (до четвертичных отложений) и пробоотборниками (четвертичных отложений). Методика драгирования ничем не отличалась от применявшейся ранее и опубликованной ранее И.И.Берсеневым (1973).

В 33 рейсе было продолжено и завершено испытание пробоотборников ГСП-ІМ и ПРН-3, с помощью которых было проведено опробование четвертичных отложений на шельфе, материковом склоне, подводных возвышенностях и глубоководных впадинах. Эти пробоотборники были сконструированы для Тихоокеанского океанологического института Приморским территориальным геологическим управлении (ведущий конструктор Ю.Л.Гаранько, принимавший участие в 33 рейсе на "Первомец"). В связи с применением новых типов пробоотборников пришлось изменить и методику опробования четвертичных отложений. Ниже приводится подробное описание пробоотборников и методики работы с ними.

**3.3.1. Гидростатический** (а точнее гидростатический всасывающий) пробоотборник предназначен для опробования рыхлых отложений в глубоководной зоне шельфа.

По сравнению с первой моделью, применявшейся в ТМГРЭ ПТГУ в 1975-1978 годах (Гаранько, 1976, 1977) в конструкцию внесён ряд изменений, направленных на упрощение отдельных узлов пробоотборника, увеличение их надёжности. С целью отбора более длинных колонок грунта несколько увеличен объём цилиндра. Для облегчения разгрузки и упаковки керна применён унифицированный колонковый набор с жёсткими вкладышами и рукавом из полиэтиленовой пленки.

Схема гидростатического пробоотборника показана на рис.3.1. Пробоотборник содержит заполненный атмосферным воздухом герметичный цилиндр 1, подвижно установленный на штоке 2, в стенке которого сделаны сквозные отверстия 3 (см. рис. 3.1.а). На верхний конец штока навинчено седло 4 с закреплённым крышечным клапаном 5. Цилиндр герметизирован уплотнительными кольцами поджатыми втулками 7 и 8. Последняя снабжена резиновым кольцом

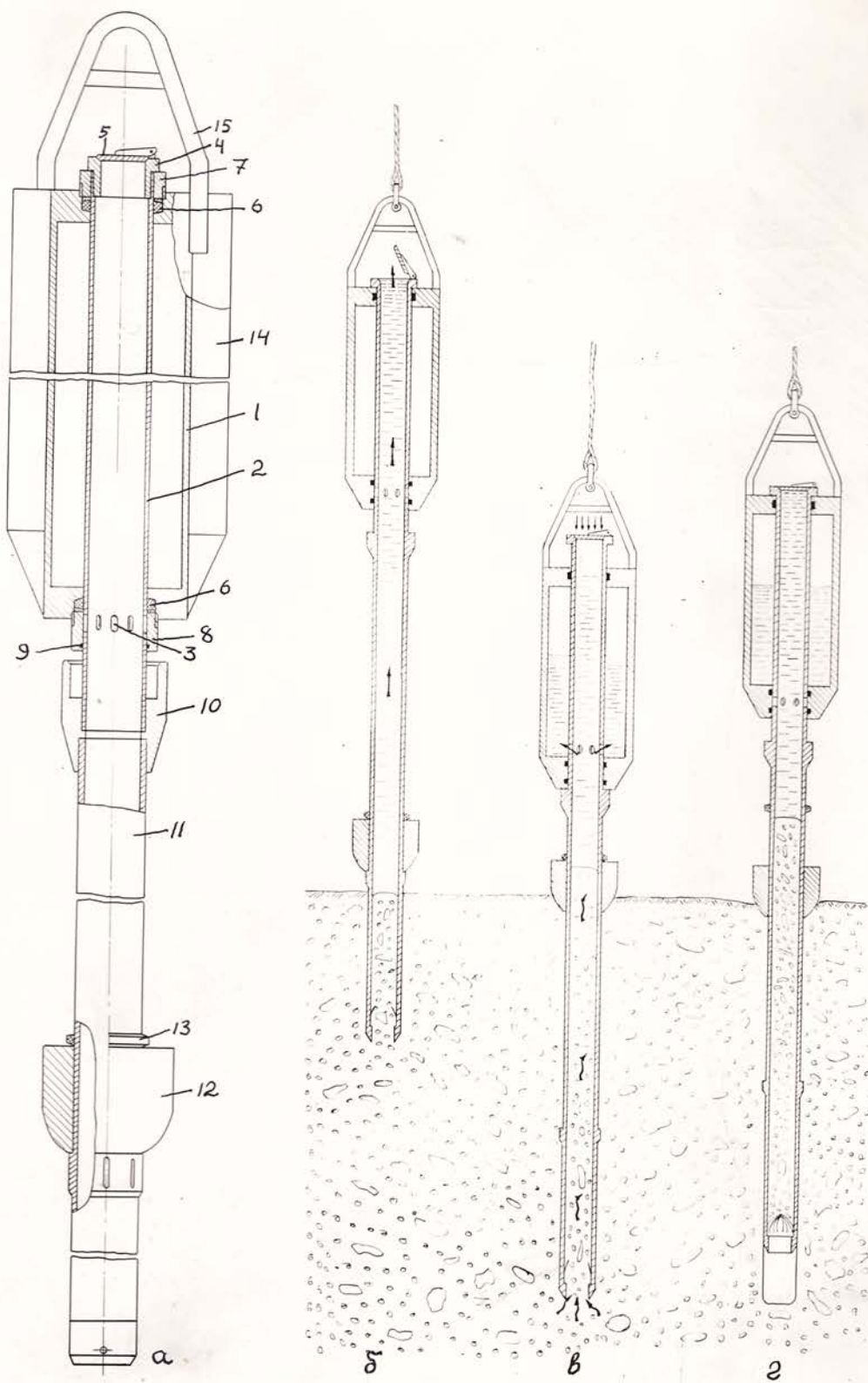


Рис. 3-І. Гидростатический пробоотборник ГСП-ІМ  
а - общий вид, б - внедрение в прямоточном режиме,  
в - внедрение в гидростатическом режиме, г - извлечение.

круглого сечения 9, закрывающим доступ в отверстия 3 воды из гидросфера. Переходником 10 шток соединен с колонковой трубой II. Для улучшения вертикальной стабилизации пробоотборника на колонковой трубе подвижно установлен груз - стабилизатор 12, п верх которого на трубу одето резиновое кольцо 13, предназначенное для фиксации глубины внедрения. Для утяжеления цилиндра к нему прикреплены балластные грузы 14. Скобой 15 пробоотборник подсоединен к тросу лебедки.

С помощью грузовой стрелы и кантователя пробоотборник переносят через борт судна и, растормозив барабан лебедки, опускают на дно. При ударе о грунт труба II вначале углубляется только за счет инерции - собственной и груза-стабилизатора 12. В этот период пробоотборник работает в прямоточном режиме: вода из колонковой трубы, приподняв клапан 5, выдавливается поступающим в трубу грунтом наружу (рис. 3.1б). Давление в полости трубы равно окружающему гидростатическому.

По мере того, как кинетическая энергия трубы и груза-стабилизатора расходуется на преодоление сил сопротивления внедрению, скорость движения трубы уменьшается. Цилиндр I, продолжая двигаться по инерции с прежней скоростью, смещается до упора в переходник 10. Перфорированный участок штока 2, оказавшись внутри цилиндра, сообщает отверстиями 3 полости колонковой трубы и цилиндра.

С этого момента пробоотборник работает в гидростатическом режиме (рис. 3.1в). Понижение давления в полости колонковой трубы до атмосферного приводит к возникновению неуравновешенного гидростатического давления, захлопывающего клапан 5 и создающего задавливающее усилие, равное произведению гидростатического давления на площадь поперечного сечения колонковой трубы. Кроме того, падение давления над отбираемой колонкой является при-

чино [возникновения восходящего фильтрационного потока поровой воды, давлением которого грунт в трубе и под её наконечником сбляется до состояния плынна. Сочетание задавливания колонково трубы гидростатическим давлением с ослабляющим действием восходящего фильтрационного потока поровой воды существенно увеличивает длину отбираемой колонки грунта.

Благодаря предварительному заглублению трубы в прямоточном режиме перекрывается верхний, наиболее обводненный слой отложений, и входное отверстие трубы удаляется от поверхности дна на расстояние, исключающее возможность прорыва свободной воды в полость трубы. Кроме того, предварительно отобранная колонка грунта создает гидравлическое сопротивление, уменьшающее растяжение колонки восходящим фильтрационным потоком поровой воды.

При подъеме пробоотборника колонковая труба в первый момент силой трения о грунт удерживается на месте. Цилиндр I перемещается вверх до упора в сепло 4, перекрывая отверстия 3 втулкой 8 и отделяя тем самым свою полость от полости колонковой трубы. Благодаря этому, при неполном внедрении трубы, когда в цилиндре остается неиспользованный объем, при подъеме пробоотборника на поверхность исключается подсос грунта из призабойной зоны, а также размык отобранный колонки окружающей водой.

При извлечении колонковой трубы её полость отделена от гидросфера (отверстия 3 и клапан 5 герметично закрыты). Вследствие этого отсутствует опасность выдавления отобранный колонки неуравновешенным гидростатическим давлением. Вакуум под колонкой возникающий при извлечении трубы из грунта с низкой водопроницаемостью (плотные илы, глины), уравновешивается таким же вакуумом над колонкой, возникающим после небольшого её смещения вниз по трубе.

Подняв на поверхность, пробоотборник устанавливают в за-

ват кантователя. После ослабления троса пробоотборник со сместившимся вниз цилиндром поворачивается в горизонтальное положение. Повернув вокруг вертикальной оси кантователя, пробоотборник переносят через борт судна и устанавливают в положение, удобное для разгрузки керна. После разгрузки пробоотборника его наклоняют трубой к палубе. Вода из цилиндра через отверстия 3 выливается по трубе наружу, причем воздушная подушка, образованная при заполнении цилиндра, ускоряет слив.

ТЕХНИЧЕСКАЯ ХАРАКТЕРИСТИКА  
ГИДРОСТАТИЧЕСКОГО ПРОБООТБОРНИКА

Оптимальная глубина погружения, м	50-200
Диаметр бурения, мм	127
Диаметр керна, мм	100
Глубина бурения, м	до 10
Объем цилиндра, л	70
Вес цилиндра, кг	400
Скорость спускания, м/сек	5-6
Длина колонковой трубы, м:	
основной	5
дополнительной длиной	5
дополнительной короткой	2,5
Габариты(при 10-метровом колонковом наборе), м	0,5x0,5x12
Вес пробоотборника, кг:	
пустого	600
заполненного	800
Результаты опробования гидростатическим пробоотборником в 33 рейсе НИС "Первенец" следующие:	
Глубина погружения, м	от 20 до 515
Количество отобранных колонок	28
Наибольшая длина колонки, м:	
в песках	4,5
в илах	4,8

Средняя длина колонки, м:

в песках	2,6
в илах	4,2

При определении средней длины колонки не приняты в расчет стационарные, где работа проводилась с нарушением требований инструкций по эксплуатации: без расторможения барабана лебедки, т. е. со скоростью 1-2 м/сек вместо положенных 5-6 м/сек (8 станций) без приостановки пробоотборника на расстояниям около 50 м от дна с целью привиса его в вертикальное положение (2 станции). Из-за этих нарушений колонки либо совсем не отбирались, либо были значительно короче обычных. Не учтены также 4 колонки, при отборе которых пробоотборник работал только в прямоточном режиме из-за большого трения штока в местах уплотнения. Это устанавливалось по отсутствию воды в цилиндре после погружения. Повторные погружения в этих же точках и работа пробоотборника в обычном для него режиме (после ослабления затяжки уплотнительных колец) дали значительно более длинные колонки, а кроме того, позволили сравнить глубину внедрения гидростатического и прямоточного пробоотборников почти в идентичных условиях (одни и те же вес, размеры, скорость опускания, глубина моря, тип грунта). В этом отношении показательны две станции.

К сожалению, в 33 рейсе не удалось проверить максимальные возможности пробоотборника в слабоуплотненных илах. Попытка отобрать длинную колонку с помощью 7-метрового колонкового набора успеха не принесла. На глубине 20 м пробоотборник попал в довольно плотный мелкозернистый песок и внедрился всего на два метра. У поднятого на поверхность пробоотборника оказалась изогнутой в районе ниппеля нижняя секция колонковой трубы. Вероятная причина — дрейф судна, вследствие чего пробоотборник извлекался под углом к вертикали. Из-за ограниченного времени и запаса колонковых труб повторные попытки наращивать колонковый набор не делали

Следует отметить, что дрейф судна во время переключения лебедки и выборки слабины троса особенно опасен на небольших глубинах (менее 100 м), где смещение от точки даже на несколько метров заметно изменяет угол наклона троса. Поэтому, если невозможно производить переключение лебедки на подъем за 3-5 секунд, необходимо удерживать судно на точке с помощью якоря или малого хода против дрейфа.

3.3.2. Гидропоршневой пробоотборник (гравитационный всасывающий) в отличие от гидростатического может с равным успехом использоватьсь на любых глубинах моря. Однако наиболее целесообразно его применение на глубине более 500 м, где в настоящее время чаще всего используют прямоточную трубку. По энергоооруженности гидропоршневый пробоотборник не имеет преимущества перед последней, но используется энергия у него более рационально, отсутствует свайный эффект, больше глубина внедрения.

Схема гидропоршневого пробоотборника ПГП-3 показана на рис. 3.2. Пробоотборник содержит открытый кверху цилиндр I, поршень II, в стенке которого сделаны сквозные отверстия 4. Снизу цилиндр закрыт крышкой 5. Герметизация подпоршневой полости цилиндра обеспечивается уплотнительными кольцами 6 и 7, поджатыми гайкой 8 и втулкой 9. В поршне сделано осевое отверстие 10, перекрытое клапаном II. Переходником 12 шток соединен с колонковой трубой 13, снабженной наконечником 14, лепестковым клапаном 15 и двумя жесткими полувкладышами 16. Для улучшения вертикальной стабилизации пробоотборника на колонковой трубе подвижно установлен груз - стабилизатор 17, лежащий на призаренном к трубе опорном кольце 18. Поверх груза - стабилизатора на трубу одето резиновое кольцо 19, предназначенное для фиксации глубины внедрения. Для утяжеления цилиндра к нему прикреплены балластные грузы 20. Сюбой 21 пробоотборник подсоединен к тросу лебед

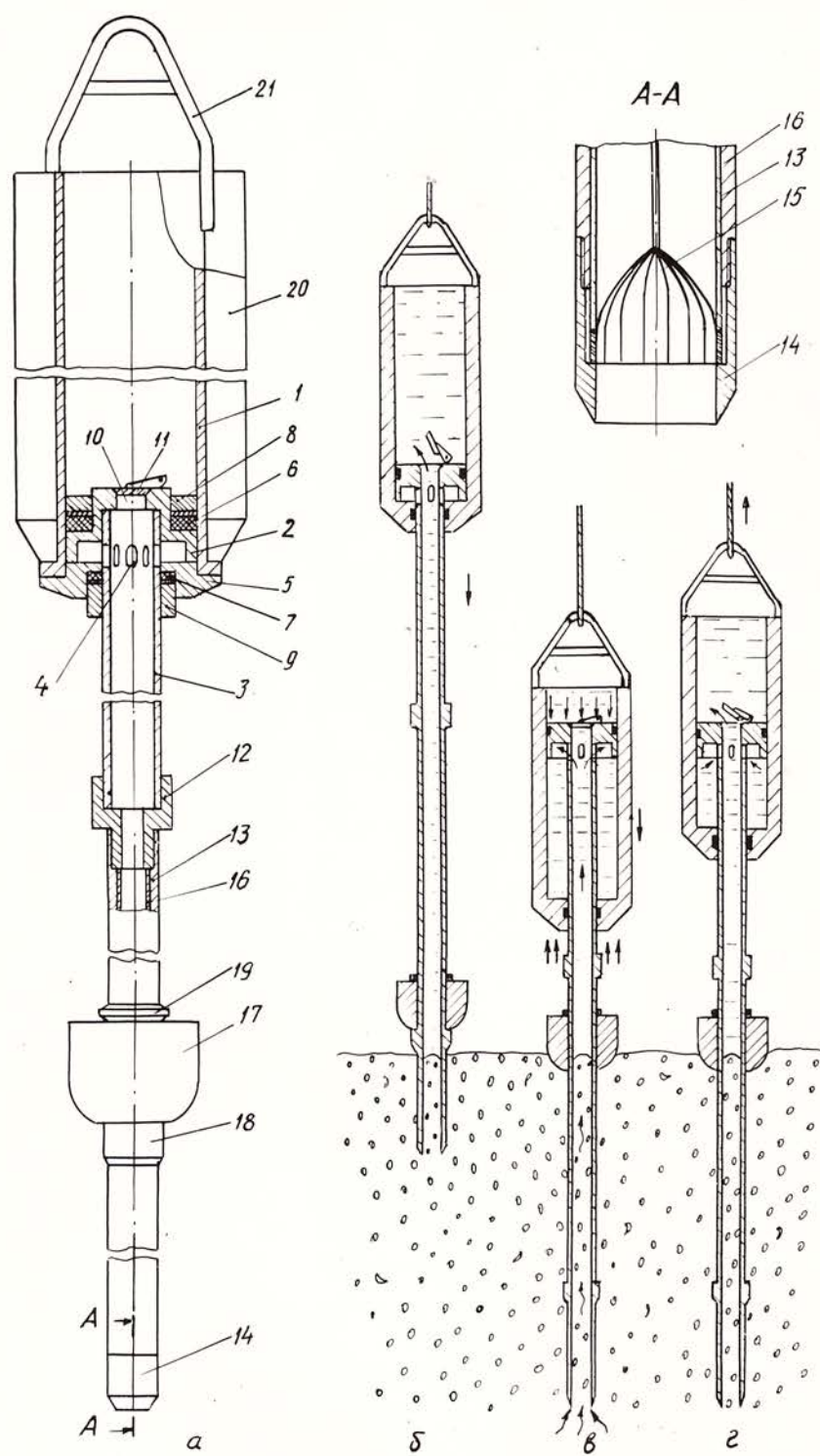


Рис.3:2 Гидропоршневой пробоотборник ПП-3

а - общий вид; б - внедрение в прямоточном режиме;  
в - внедрение в гидростатическом режиме; г - извлечение.

С помощью грузовой стрелы и кантователя пробоотборник переносят через борт судна и, растормозив барабан лебедки, опускают на дно. При ударе о грунт колонковая труба I3 вначале углубляется только за счет инерции – собственной и груза-стабилизатора I. В этот период пробоотборник работает в прямоточном режиме: вода из колонковой трубы, приподняв клапан II, выдавливается поступающим в трубу грунтом наружу, причем давление в полости трубы преобладает гидростатическое (рис. 3.2.б). По мере того, как кинетическая энергия трубы и груза-стабилизатора расходуется на преодоление сил сопротивления внедрению, скорость трубы уменьшается. Цилиндр I, продолжая двигаться по инерции с прежней скоростью, смещается относительно поршия 2 вниз, создавая в подпоршиневой полости и в сообщенной с ней полости колонковой трубы разрежение.

С этого момента пробоотборник работает в гидростатическом режиме. Понижение давления в подпоршиневой полости цилиндра и в колонковой трубе приводит к возникновению неуравновешенного гидростатического давления, которое захлопывает клапан II и создает задавливающее усилие, приложенное сверху к поршню и равное произведению его площади на разность между окружающим гидростатическим давлением и давлением в подпоршиневой полости цилиндра. Помимо такого же усилия, но приложенное снизу к крыльце цилиндра, гасит инерцию последнего (рис. 3.2.в).

Давление в подпоршиневой полости цилиндра зависит от прочности грунта. В слабых грунтах, например, в илах это давление меньше гидростатического на доли атмосферы, так как для внедрения трубы достаточно усилие в десятки килограмм. Расход кинетической энергии цилиндра на поддержание такого перепада давлений невелик и остаток её расходуется на удар цилиндра по переходнику 12. При увеличении прочности грунта, а следовательно, и усилия, нео-

ходимого для внедрения тубы, разность между давлением снаружи и внутри пробоотборника возрастает. Наибольшей величины она достигает при ударе трубы о скальный грунт. В этом случае вся кинетическая энергия цилиндра за короткий промежуток времени расходуется на создание под поршнем наибольшего объема вакуума, т. происходит амортизация удара. Поэтому в отличие от других конструкций, при ударе гидропоршневого пробоотборника о скалистое дно колонковая труба не деформируется.

В рыхлых породах перепад давлений приводит к возникновению восходящего фильтрационного потока поровой воды, давлением которого грунт в колонковой трубе и под наконечником ослабляется до состояния плытвина. При этом устраняется свайный эффект и увеличивается глубина внедрения. Для рыхлых пород величина перепада в любой глубине моря не превышает нескольких атмосфер и поэтому не может вызвать разрушение структуры отбираемой колонки.

При подъеме пробоотборника колонковая труба в первый момент силой трения о грунт удерживается на месте. Цилиндр, перемещаясь относительно поршня вверх, выдавливает из подпоршиневой полости воду через отверстия 4 и 10 наружу (рис. 3.2.р). Затем поршень упирается в крышку цилиндра и труба извлекается из грунта. В это время клапан II закрыт, благодаря чему отобранный колонка отделен от гидросфера и предохраняется от выдавливания из трубы даже в том случае, если во время извлечения под ней образуется вакуум.

#### ТЕХНИЧЕСКАЯ ХАРАКТЕРИСТИКА ГИДРОПОРШНЕВОГО ПОРОБООТБОРНИКА

Глубина моря, м	до 10000
Диаметр бурения, мм	127
Диаметр керна, мм	100
Глубина бурения, м	до 10
Диаметр поршня, мм	300

Объем цилиндра, л	70
Вес цилиндра, кг	400
Скорость опускания, м/сек	5-6
Длина колонковой трубы, м:	
Основной	5
дополнительной длиной	5
дополнительной короткой	2,5
Габариты, м	0,5x0,5x13
Вес пробоотборника, кг:	
пустого	700
заполненного	800

Гидропоршневой пробоотборник использовался на глубине до 3200 м. Всего было сделано 50 стаций, из них 20 - результативных. Отобранные колонки были представлены преимущественно илам различной плотности. Наибольшая длина колонки ~ 4,6 м, средняя 3,2 м. Пробоотборник был оснащен колонковым набором длиной 4,5 м, хотя глубина внедрения во многих случаях была больше: в грунт входила не только вся труба, но и часть цилиндра. Однако из-за неблагоприятных погодных условий, острой нехватки времени, ограниченного запаса труб, колонковый набор не наращивали. Лишь в самом конце рейса колонковый набор нарастили до 7 м, отобрав на глубине 20 м колонку мягкого ила длиной 5 м при глубине внедрения около 8 м.

Несмотря на то, что максимальные возможности гидропоршневого пробоотборника в рейсе выявлены не были, преимущество его перед прямоточной трубкой вполне очевидно: отбирались колонки в среднем вдвое более длинные.

Следует отметить, что в глубоководных отложениях, плотность которых, как правило, возрастает по мере удаления от поверхности дна, условия кернообразования лучше, а свайный эффект меньше, че-

в обводненных мягких илах мелководья. Поэтому 5-ти метровая колонка - не предел для гидропоршневого пробоотборника.

Процент "пустых" станций у гидропоршневого пробоотборника значительно выше, чем у гидростатического. Велика также разница длины колонок, отобранных в породах практически одной и той же плотности. Например, пробоотборником ПГИ-3 отбирали в мягких илах колонки длиной более 4-х метров и менее 2-х. Наиболее вероятная причина этих нарушений - невертикальное вхождение пробоотборника в грунт. По блок-счетчику невозможно определить точное расстояние пробоотборника от дна, так как накопленная погрешность счетчика может составлять на больших глубинах десятки метров. Ошибку увеличивает дрейф судна, из-за которого трос идет не вертикально вниз, а под небольшим углом к вертикали. Страховка от этих ошибок, остановку пробоотборника и его "вывешивание" производили не на 50 метрах от дна, а на 100-200 метрах, после чего лебедку растормаживали. На таком пути разгона пробоотборник может достичь скорости свободного падения (около 7 м/сек) и отклониться от вертикали самопроизвольно или под действием придонного течения. Трос в таких случаях не стабилизирует пробоотборник, а, наоборот, способствует его опрокидыванию за счет того, что, имея во много раз меньше лобовое сопротивление, обгоняет пробоотборник и тянет его головную часть вниз. О возможности троса обгонять любой прикрепленный к нему груз свидетельствуют многометровые "бороды" из свободно повисших, а затем скрученных между собой ветвей троса, которые довольно часто обнаруживаются при чрезесчур быстром спускании драг и пробоотборников. У натянутого троса таких "бород", естественно, быть не может.

По всей вероятности два таких случая имели место при работе пробоотборником ПГИ-3 (ст. 1786 и 1793), когда колонка отсутствовала, но резиновое кольцо 19 (см. рис. 3.2.) было поднято в

крайнее верхнее положение – до упора в переходник. Во время опускания на дно сместить груз-стабилизатор и находящееся над ним резиновое кольцо к головной части пробоотборника можно не иначе, как отклонив её вниз от горизонтали на угол не менее  $30^{\circ}$ . Сопротивление воды поднять груз-стабилизатор не может. Это было много раз проверено в рейсе.

Наилучшим выходом из положения было бы использование блок-счётчика с установленным на лебёдке дистанционным указателем длины, скорости и усилия троса. Такие приборы разрабатывались в Южном отделении ИО АН СССР (г. Геленджик).

3.3.3. Колонковый набор является одним из основных узлов пробоотборника. Конструктивные особенности колонкового набора во многом определяют трудоёмкость монтажных и спуско-подъёмных операций, влияют на качество получаемой колонки и время, необходимое для её извлечения.

В практике морских геологических исследований наибольшее распространение получили простейшие колонковые наборы, состоящие из трёх основных деталей: колонковой трубы, режущего наконечника и клапана-кернорваталя, чаще всего лепесткового. Для выталкивания колонки из трубы используют насос (Безруков, Петелин, 1966). Следует заметить, что давливание колонки напором воды, даже произведенное по всем правилам, т.е. снизу вверх и через поршень, не гарантирует от нарушения структуры грунта. Трение колонки по трубе неизбежно деформирует прилегающий к ней слой грунта. Кроме того, осевое скатие колонки ведёт к её уплотнению. Деформация колонки возможна также во время её приёма из трубы и упаковки. Из-за качки судна не всегда удается вовремя подставить лоток и подхватить очередной вытолкнутый из трубы кусок колонки. Особенно сложно предохранить от перемешивания слоёв полужидкие и сыпучие породы.

В разработанном колонковом наборе (рис.3.3) устранены недостатки существующих конструкций и способов извлечения колонки. Набор состоит из основной 5-ти метровой колонковой трубы 1, соединённой ниппелем 2 с наконечником 3 (рис.3.3.а). Верхний конец трубы подсоединен к переходнику 4 головной части пробоотборника. Внутри трубы установлено два полувкладыша 5, изготовленные из разрезанной вдоль на две половины стальной нержавеющей трубы (можно использовать и "ржавеющую" трубу геологоразведочного стандарта с наружным диаметром 108 мм и толщиной стенки 4,5 мм). Внутри вкладышей по всей их длине уложен рукав 6 из полиэтиленовой пленки, нижний конец которого обёрнут вокруг торца вкладышей и поджат лепестковым клапаном 7. Последний состоит из кольца с наклёпанными на его внутреннюю поверхность лепестками, изготовленными из термообработанного ножевого полотна шириной 15-20 мм и толщиной 0,5 мм (использовались изношенные полотна, взятые из швейной фабрике). Лепестковый клапан помещён в рукав 8 из плотной ткани, нижний край которого подвёрнут внутрь клапана и прижат наконечником к его кольцу. На расстоянии 1,5 м от нижнего торца колонковой трубы приварено кольцо 9 для упора груза-стабилизатора. В удлинённом колонковом наборе (рис.3.3.б) на ниппель 2 навинчена дополнительная колонковая труба 10 длиной 2,5 или 5 метров с полувкладышами 11 и ниппелем 12.

Рабочую сборку колонкового набора производят следующим образом. В лежачий на палубе полувкладыш 5, предварительно положив под него 2-3 коротких верёвки с петлями на концах, укладывают полиэтиленовый рукав 6, после чего накрывают его вторым полувкладышем и стягивают обе половины верёвками, взятыми "на удавку". Снаряжённый вкладыш, приподняв за верёвки, вставляют в колонковую трубу 1 до упора в переходник 4 и навинчивают ниппель 2. Внутрь полиэтиленового рукава, предварительно обернув его конец

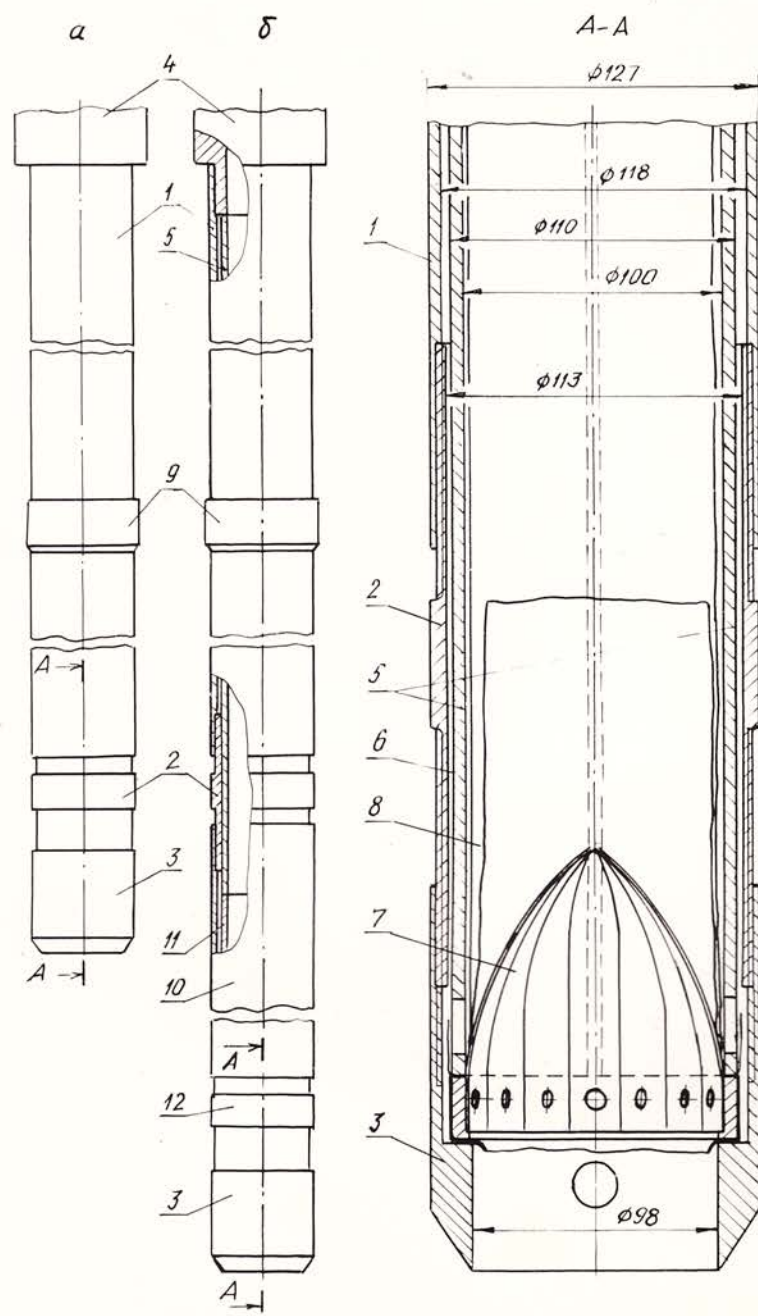


Рис.3-3. Колонковый набор пробоотборника  
а - короткий; б - удлиненный.

вокруг нижнего торца вкладыша, вставляют лепестковый клапан, одетый в матерчатый рукав 8 длиной 200-300 мм. На ниппель навинчивают наконечник 3, плотно прижимая друг к другу и к переходнику лепестковый клапан, полувкладыш, матерчатый и полизтиленовый рукава. При сборке удлинённого колонкового набора на ниппель 2 наворачивают дополнительную колонковую трубу 10 и вставляют в неё снаряжённые полизтиленовым рукавом дополнительные полувкладыши 11. Конец полизтиленового рукава обрачивают вокруг торца вкладыша, навинчивают ниппель 12, вставляют лепестковый клапан 7 и плотно сжимают всю внутреннюю оснастку наконечником 3 до упора 1 переходник 4.

При внедрении поступающая в трубу колонка грунта, раздвинув лепестки клапана и расправив полизтиленовый рукав, заполняет вкладыш. При извлечении лепестки клапана смыкаются, препятствуя выпадению колонки из трубы. Матерчатый рукав плотно перекрывает все щели между лепестками, что особенно важно при опробовании мелкозернистых песков. Потеря грунта не произойдёт даже в том случае, если во время внедрения или извлечения трубы один или несколько лепестков будут выломаны.

Разгрузку пробы производят следующим образом. Отвинчивают наконечник 3 и вынимают лепестковый клапан 7. В отверстия вкладыша вставляют шкворень и на его концы набрасывают петли верёвки. Вручную или с помощью лебёдки (тали) вытягивают вкладыш из трубы. Если усилие извлечения слишком велико, что бывает чаще всего из-за трения вкладыша о ниппель, последний вывинчивают. По мере извлечения полувкладыши стягивают между собой верёвочными удавками. Извлечённый вкладыш укладывают на палубу, освобождая от верёвок, снимают верхний полувкладыш. Не вынимая из нижнего полувкладыша упакованную в полизтиленовый рукав колонку грунта, размечают её, нанося шариковой ручкой цифры и метки на полизтилен. После этого

колонку разрезают на куски, закрывают торцы полиэтиленовыми пакетами и укладывают в деревянный ящик. При разгрузке удлинённого колонкового набора отвинчивают наконечник, извлекают дополнительный вкладыш, затем свинчивают дополнительную колонковую трубу, после чего извлекают основной вкладыш.

Использование жёстких полувкладышей и полиэтиленового рукава позволяет практически полностью устраниć деформацию колонки во время разгрузки и упаковки. Одновременно повышается производительность работ за счёт того, что нет необходимости каждый раз укладывать пробоотборник на палубу и отсоединять колонковый набор от головной части пробоотборника.

Следует отметить, что в отобранных колонках, как правило, была деформирована верхушка керна, представленная полужидкими или стыми (голоценовыми) отложениями. Деформация вызвана сопротивлением лепесткового клапана, лепестки которого, обладая довольно значительной упругостью, препятствуют поступлению полужидкого грунта в трубу, частично выдавливая его в подстилающий пласт и перемешивая с более плотными слоями.

Для устранения этого недостатка целесообразно использовать телескопический наконечник (рис.3.4), состоящий из трёх деталей муфты 13, подвижно установленной в ней втулки 14 и башмака 15, навинченного на нижний конец последней. При внедрении башмак со сопротивлением грунта смещается вверх до упора в муфту, а втулка раздвигает лепестки, свободно пропуская сквозь клапан колонку грунта. Сместить башмак вверх и раздвинуть лепестки можно и заранее, если упругость лепестков достаточна для удержания веса башмака и втулки. При извлечении трубы втулка за счёт трения башмака о грунт выдёргивается из муфты и лепестки клапана смыкают закрывая входное отверстие трубы. Наконечник подобной конструкции был испытан в 30-м рейсе м/s "Первенец" и показал хорошие

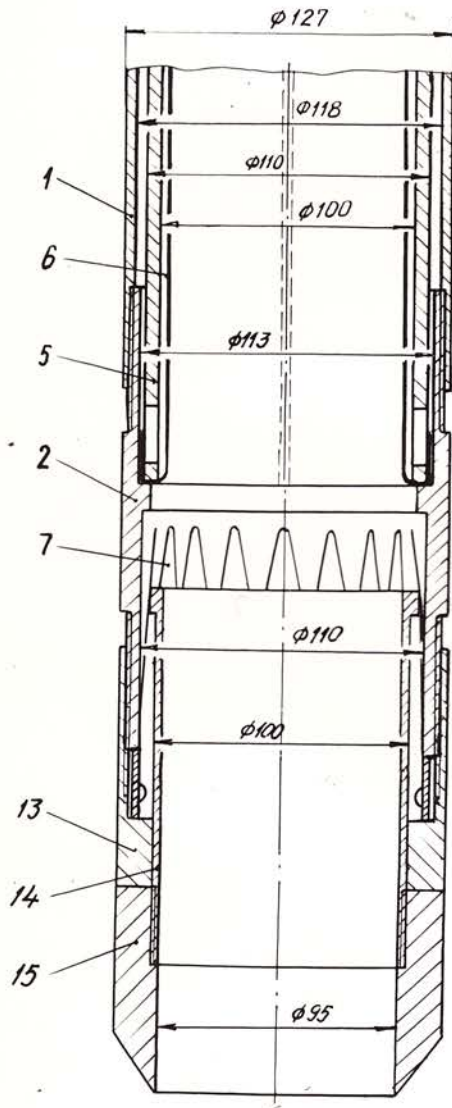


Рис.3-4. Телескопический наконечник колонкового набора

результаты.

3.3.4. При опробовании донных отложений из всего комплекса рабочих операций наиболее трудоёмкими и опасными являются вынос пробоотборника за борт и перенос его из забортного в надпалубное положение. Особенно усложняется выполнение этих операций в том случае, если длина пробоотборника превышает высоту стрелы над фальшбортом. Вынос за борт (и обратно) длинных и тяжёлых пробоотборников приходится производить с помощью двух лебёдок и нескольких оттяжек. Пробоотборник, взятый тросами лебёдок за оба конца, приподнимают с палубы на уровень фальшборта и параллельны ему, а затем, потравливая оттяжки, выводят пробоотборник за борт после чего отпускают трос, закреплённый за нижний конец пробоотборника, и переводят последний в вертикальное положение. В операции участвуют не менее 5-6 человек, причём выполнение её возможно лишь в штилевых условиях.

Необходимость снижения трудоёмкости и уменьшения опасности спуско-подъёмных операций потребовала создания специального устройства — кантователя морских колонковых пробоотборников (Гаранко, 1978).

Кантователь КМП-3 содержит (рис. 3.5.) вертикальный вал I, установленный с возможностью поворота в кронштейнах 2 и 3, снабжённых подшипниками 4,5 и 6. На верхний конец вала I одет и жёс-ко закреплен электроваклёнками патрубок 7, снабжённый фланцем 8 по окружности которого прорезано 12 пазов для пальца-фиксатора. Сочетание 12-ти пазов фланца с тремя отверстиями в горизонтальной плите кронштейна 2 позволяет фиксировать вертикальный вал через каждые 10 градусов. К патрубку 7 приварен патрубок 10, служащий опорой горизонтального вала II. На свободном конце последнего установлен захват, состоящий из неподвижного полухомута 12, закреплённого в прорези вала болтами 13, подвижного полухо-

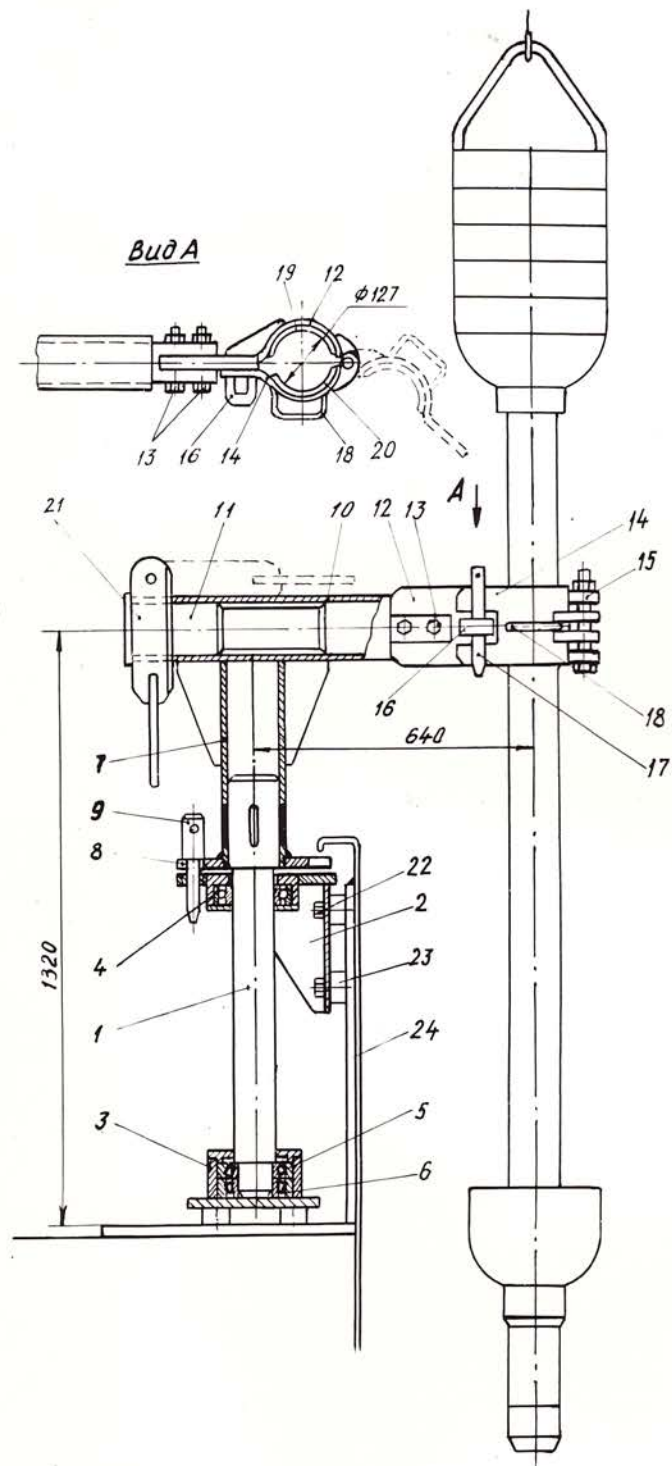


Рис.3-5. Кантователь морских колонковых пробоотборников КМШ-3

щута 14, шарнира 15, планки 16, клина 17 и скобы 18. К полукумутам прикреплены съёмные вкладыши 19 и 20, рассчитанные на закрепление трубы диаметром 127 мм. На противоположном торце вала 1 сделаны два взаимно перпендикулярных ~~также~~ паза. На патрубке 10 шарнирно закреплён затвор 21 в виде пластины, входящей в один из пазов вала и в такой же паз, сделанный в торце патрубка 10. С помощью затвора горизонтальный вал можно фиксировать через каждые 90 градусов. Кантователь болтами 22 (по четыре на каждый кронштейн) прикреплён к резьбовым втулкам 23, приваренным к подставке 24, которая в свою очередь приварена к фальшборту.

**3.3.5. Спуск и подъём пробоотборников с использованием кантователя.** Кроме кантователя при выполнении спуско-подъёмных операций используется следующее судовое оборудование: траловая лебёдка грузоподъёмностью 4 т, грузовая лебёдка грузоподъёмностью 1 т, грузовая стрела грузоподъёмностью 1 т и высотой над фальшбортом 5 м. Врейсе были проверены гидродинамические параметры пробоотборника ПГП-3: скорость свободного падения, путь разгона до этой скорости, фактический коэффициент лобового сопротивления. Установлено, что скорость свободного падения равна 7 м/сек, а путь разгона - 50 м. Фактический коэффициент лобового сопротивления получен из известной формулы:

$$P = K \rho \frac{V^2}{2} F$$

где:  $P$  - лобовое сопротивление пробоотборника, равное его весу;

$K$  - коэффициент лобового сопротивления;

$\rho$  - удельный вес воды, кг/м<sup>3</sup>;

$V$  - скорость свободного падения, м/сек;

$F$  - площадь лобовой поверхности пробоотборника, м<sup>2</sup>.

При  $P = 600$  кг,  $\rho = 1000 \text{ кг}/\text{м}^3$ ,  $V = 7$  м/сек,  $F = 0,13 \cdot \text{м}^2$  коэффициент лобового сопротивления  $K = 0,19$ , что соответствует сопротивлению тела в виде конуса с углом 20° (Идельчик, 1975).

Как уже отмечалось выше, вертикальность свободно падающего пробоотборника может нарушаться даже при наличии груза-стабилизатора. Для того, чтобы трос выполнял свою стабилизирующую функцию, скорость спуска необходимо ограничивать величиной 5-6 м/сек.

Перед спуском пробоотборник укладывают вдоль борта и на расстоянии 1,5 м от него, причём середина колонковой трубы должна находиться напротив кантователя. Грузовую стрелу устанавливают так, чтобы свободно свисающий с её блока трос проходил через захваты кантователя, развернутого в забортное положение. К пробоотборнику крепят две грузовые скобы: одну для троса траула лебёдки, а другую для гака грузовой лебёдки. На конце колонковой трубы закрепляют оттяжку, препятствующую перемещению пробоотборника к борту. Выше груза-стабилизатора на колонковой трубе крепят стропы, гами которых одевают на гак грузовой лебёдки. Кантователь разворачивают в надпалубное положение и раскрывают захваты.

Грузовой лебёдкой приподнимают закреплённый конец колонковой трубы так, чтобы её середина была выше захвата. Потравливая оттяжку, устанавливают колонковую трубу над неподвижным полукомплектом захвата (рис.3.6.-1). Грузовой лебёдкой спускают трубу в захват, захлопывают его и забивают клин, прочищая захваченную трубу. Вертикальный вал кантователя стопорит пальцем-фиксатором.

Сняв строп с гака, переводят последний к головной части пробоотборника и соединяют с грузовой скобой. Грузовой лебёдкой поднимают головную часть с палубы, поворачивая пробоотборник в горизонтальное положение (рис.3.6.-2).

Вынув палец-фиксатор, освобождают вертикальный вал кантователя. Потравливая оттяжку, поворачивают пробоотборник вокруг вертикальной оси кантователя в забортное положение (рис.3.6.-3). Оттяжку закрепляют на утке фальшборта. К пробоотборнику подсоединяют трос трауловой лебёдки. В таком положении пробоотборник

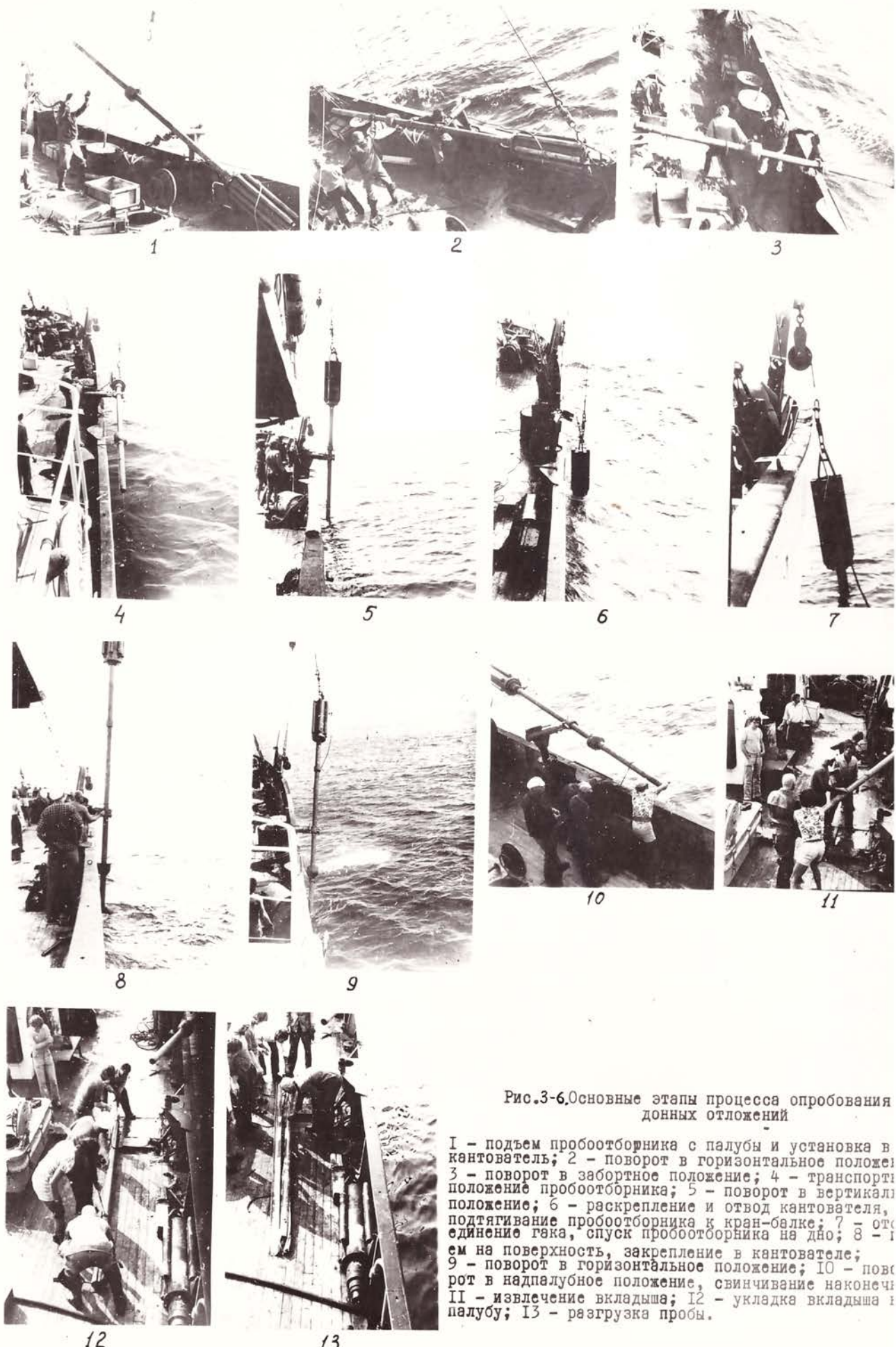


Рис.3-6.Основные этапы процесса опробования  
донных отложений

I - подъем пробоотборника с палубы и установка в кантователь; 2 - поворот в горизонтальное положение; 3 - поворот в забортное положение; 4 - транспорти положение пробоотборника; 5 - поворот в вертикальное положение; 6 - раскрепление и отвод кантователя, подтягивание пробоотборника к кран-балке; 7 - отединение гака, спуск пробоотборника на дно; 8 - подъем на поверхность, закрепление в кантователе; 9 - поворот в горизонтальное положение; 10 - поворот в надпалубное положение, свинчивание наконечника; II - извлечение вкладыша; 12 - укладка вкладыша на палубу; 13 - разгрузка пробы.

находится при переходах судна между станциями (рис.3.6.-4). Если во время перехода нужно освободить так грузовой лебёдки для каких-либо палубных работ, горизонтальный вал кантователя фиксируют затвором.

После остановки судна в заданной точке от пробоотборника отвязывают оттяжки и грузовой лебёдкой поворачивают его вокруг горизонтальной оси кантователя в вертикальное положение (рис.3.6-5)

Выбивают клин и раскрывают захват кантователя, после чего вынимают палец-фиксатор и отводят кантователь в сторону. Грузовой лебёдкой опускают пробоотборник в воду до тех пор, пока он не повиснет на тросе траловой лебёдки (рис.3.6-6).

Траловой лебёдкой подтягивают пробоотборник к блоку кранбалки и снимают так со скобы (рис.3.6-7). Установив на блок-счётчике нуль, начинают спуск пробоотборника, плавно повышая скорость до 4-5 м/сек. На расстоянии 50-100 м от дна лебёдку останавливают давая пробоотборнику возможность провиснуть на тросе в вертикальном положении, а затем продолжают спуск. На сравнительно небольших глубинах моря (до 500 м) момент внедрения хорошо заметен по слабине троса. На больших глубинах этот момент фиксируется с трудом. В таком случае даётся небольшая (50-100 м) перетравка троса для гарантированного внедрения пробоотборника.

Переключение лебёдки на подъём и выборка слабины троса должны производиться как можно быстрее, т.к. из-за дрейфа судна трос может отклониться от вертикали на угол, при котором возможен изгиб колонковой трубы. Извлечение пробоотборника из грунта производят на самой малой скорости лебёдки, внимательно следя за показаниями динамометра или ваттметра траловой лебёдки. Если усилий лебёдки недостаточно для вырыва пробоотборника из грунта, её останавливают, барабан затормаживают. Пробоотборник извлекается за счёт вертикальных перемещений судна на волне и небольшого

дрейфа. При этом необходимо периодически включать лебёдку и выбирать слабину троса. После извлечения пробоотборника из грунта его подъём производится на максимальной скорости. При появлении соответствующей марки на тросе лебёдка притормаживается и пробоотборник осторожно подтягивается к блоку кран-балки, затем к его скобе присоединяется так грузовой лебёдки.

Траловой лебёдкой опускают пробоотборник в воду до тех пор, пока он не повиснет на тросе грузовой лебёдки. После этого грузовой лебёдкой поднимают пробоотборник из воды с таким расчётом, чтобы его головная часть была выше кантователя, захват которого заранее раскрывают, а вертикальный вал освобождают. К колонковой трубе пробоотборника подводят захват кантователя, захлопывают подвижный полухомут захвата, вставляют клин и стопорят пальцем-фиксатором вертикальный вал кантователя.

Грузовой лебёдкой поднимают пробоотборник на такую высоту, чтобы его груз-стабилизатор был на уровне планшира фальшборта. Забивают клин, прочно зажимая колонковую трубу в захвате (рис.3.6-8)

Осторожно подтягивая трос траловой лебёдки и одновременно потравливая трос грузовой лебёдки, отклоняют пробоотборник от вертикали на угол порядка  $10-15^{\circ}$ . Остановив траловую лебёдку, продолжают трахить трос грузовой лебёдки. Пробоотборник за счёт веса своей головной части поворачивается вокруг горизонтальной оси кантователя и, поддерживаемый тросом грузовой лебёдки, занимает горизонтальное положение (рис.3.6.-9).

Вынув палец-фиксатор, поворачивают кантователь вокруг вертикальной оси, заводя конец колонковой трубы в наддиапубное положение, удобное для извлечения вкладыша с колонковой, и вновь фиксируют вертикальный вал кантователя. Для уменьшения раскачивания пробоотборника при переходе судна на новую станцию, пробоотборник крепят оттяжками к фальшборту.

Разгружают пробоотборник во время перехода. Отвинтив наконеч-

ник и вынув лепестковый клапан (рис.3.6.- 10) вытягивают из колонковой трубы вкладыш (рис.3.6.- 11), укладывают его на палубу (рис.3.6.- 12), снимают верхний полувкладыш, разрезают колонку на куски и перекладывают в лоток (рис.3.6.- 13). В освобождённый вкладыш закладывают новый полиэтиленовый рукав, вставляют вкладыш и лепестковый клапан в колонковую трубу и навинчивают наконечник.

С помощью кантователя спуск и подъём тяжёлых пробоотборников может производить бригада из 3-х человек вместо 5-6 человек при отсутствии кантователя. Благодаря этому на экспедиционных судах типа мис "Первенец" несложно организовать трёхсменную работу палубной команды с нормальной 8-ми часовой продолжительностью каждой смены.

3.4. Организация работ в 33 рейсе также была построена по схеме, апробированной в предыдущих рейсах мис "Первенец". Была организована постоянная вахта на эхолоте, участники которой одновременно проводили первичную обработку эхолент и строили временные графики. И.И.Теницкий большую часть рейса от вахт был освобождён и занимался составлением батиметрических карт полигонов, — основы для последующего геологического опробования. Геологическое опробование осуществлялось двумя палубными вахтами по 4 человека в каждой под руководством Е.Н.Терехова и Ю.И.Берсенева. Опробование и промерные работы чередовались так, чтобы каждый участник экспедиции был занят не более 8 часов в сутки. В периоды, когда батиметрическая съёмка на полигоне была завершена, а для геологического опробования требовалось несколько суток, организовывалась третья палубная бригада, в которую входили И.И.Теницкий, И.К.Пущин и кто-либо из сформированной ранее бригады, в которой, в таком случае, оставалось также три человека. Геологическая документация на протяжении всего рейса осуществлялась

Н.Г.Ващенковой при участии других геологов экспедиции. Во второй половине рейса, когда начались геофизические работы, организация научных исследований резко усложнилась. Это связано с тем, что во время проведения геофизических работ вышеупомянутые падубные бригады вынуждены были продолжать свои вахты, т. к. с их помощью ( из-за никудышной механизации работ в условиях нис "Первенец") опускалось за борт и поднималось на борт геофизическое оборудование. Это приходилось делать в среднем через каждые полтора часа из-за частых поломок оборудования. Но геофизики, в свою очередь, не помогали вести геологическое опробование, поскольку в это время были заняты ремонтом аппаратуры. В создавшейся ситуации пришлось организовать несколько 10-12 часовых вахт, благодаря чему ( а точнее - исключительному энтузиазму участников экспедиции ) все работы были выполнены своевременно. Здесь необходимо подчеркнуть, что неподготовленность "Первенца" к проведению геофизических работ, а также плохое техническое состояние бывшей в 33 рейсе геофизической аппаратуры резко усложнили организацию работ в целом и выполнение программы рейса потребовало весьма напряжённой работы всех участников экспедиции.

Выше уже отмечалось, что плохая работа судового оборудования ( лебёдок, радиолокатора, радио, шпилля, эхолота ) также в значительной степени нарушила ритм проведения научных исследований.

3.5. Объём работ, выполненных в 33 рейсе нис "Первенец", приводится в нижеследующей таблице 3.1.

Таблица 3.1.

## Объём выполненных работ

Всего за рейс пройдено 8093 мили.

#### 4. РЕЗУЛЬТАТЫ ГЕОЛОГИЧЕСКИХ ИССЛЕДОВАНИЙ

Как отмечалось выше, в 33 рейсе драгами и пробоотборниками были подняты разнообразные по составу и возрасту породы. Среди них присутствуют докембрийские метаморфические и интрузивные породы, палеозойские, мезозойские и кайнозойские осадочные и изверженные породы. В большинстве случаев залегание этих пород *in situ* сомнений не вызывает (однообразные по составу – в одной драге, остроугольные обломки, часто с признаками отрыва от коренных выходов).

##### 4.1. Докембрийские метаморфические и интрузивные породы

Предположительно протерозойские метаморфические и интрузивные породы были подняты в юго-западной части хребта Ю. Ямато с глубины 1200 – 1500 м (участок 16, станции 1842 – 1845), где они в коренном залегании обнаружены впервые; на возвышенности Криштофовича (полигон 18-В и участок 3, станции 1859, 1861 и 1863) и на западе этой возвышенности (участок 1, станции 1872 и 1873). В составе комплекса отмечаются гнейсы (плагиогнейсы) и амфиболиты с послойными инъекциями лейкократовых гранитов. Мощность гранитных прожилков колеблется от нескольких миллиметров до 8 – 10 см.

На возвышенности Ю. Ямато (участок 16) гнейсы представлены серыми, буровато-серыми и зеленовато-серыми среднекристаллическими разностями с хорошо выраженной гнейсовой текстурой. В составе пород отмечаются плагиоклазы (олигоклаз № 25 – 28) обычно сильно серицитизированные (образуют до 45% объема породы), кварц (до 20 объема) и роговая обманка (также до 20%), образующая удлиненные зёрна, сильно хлоритизированные и эпидотизированные, собранные в тонкие полосы.

Хлорит и эпидот, кроме того, выполняют мелкие трещинки; микроклин (до 10% объёма) – обычно свежий, решётчатый, часто с мирамикитовыми вростками. Отмечаются также апатит и рудный минерал.

Амфиболиты представляют собой тёмно-серые с зеленоватым оттенком среднекристаллические породы, состоящие из роговой обманки (до 50% объёма породы) и плагиоклаза (до 55%). Роговая обманка зелёная, обычно хлоритизирована и эпидотизирована, образует вытянутые субпараллельно ориентированные зёрна, собранные в тонкие "прослои", чередующиеся с прослойми плагиоклаза. Последний представлен андезином № 32 – 35, обычно свежим, иногда сопоритизированным.

Поднятые на участке гранитоиды – лейкократовые, светло-серые и розовато-серые, обычно среднекристаллические. В составе их преобладает микроклин (до 55% объёма), кварц образует до 30% объёма породы, плагиоклаз – до 20%. Микроклин, как правило, свежий, участками пелитизированный, обычно решётчатый. Плагиоклаз также свежий, тонко сдвойникованный (олигоклаз?). Отмечаются единичные чешуйки хлоритизированного биотита и зёрна рудного минерала. Структура основной массы гранитовая, участками письменная.

По мнению просмотревшего образцы Е.П.Леликова, описанные граниты по составу и структурным особенностям аналогичны гранитам из докембрийских комплексов возвышенности Криштофовича и Ханкайского массива.

На возвышенности Криштофовича (полигон 18-Б и участок 3) к докембрийскому комплексу отнесены гнейсы, поднятые здесь в центральной, восточной и южной частях возвышенности. Ранее аналогичные породы были установлены в одном из рейсов НИС "Первенец" в западной и северной частях возвышенности.

Гнейсы представлены серыми и тёмно-серыми среднекристаллическими биотит-амфиболовыми плагиогнейсами, сложенными кварцем,

плагиоклазом (олигоклазом № 27 - 29) и хлоритизированными биотитом и амфиболом. Темноцветные в породе распределены неравномерно обуславливая полосчатую (гнейсовую) текстуру. Структура пород гранобластовая. Здесь же в небольших количествах отмечаются лейкократовые граниты, в основных чертах аналогичные вышеописанным гранитам с возвышенности Ямато и отличающихся от последних присутствием в небольших количествах (до 5%) зелёной роговой обманки.

Для всех разностей докембрийских пород с возвышенности Криштофовича характерно развитие вторичного кварца, образующего мелкоагрегатные вытянутые в полосы скопления, а также большое количество аксессорного сфена (до 3%).

По мнению Е.П.Леликова, по особенностям состава и структур описанные породы могут сопоставляться с докембрийскими породами с Восточно-Корейской возвышенности и, с определённой долей условности, могут быть отнесены к докембрию.

К этому же комплексу, вероятно, следует отнести породы, поднятые с небольшой подводной возвышенности северо-западнее о.Ульянидо (участок I, станции 1872 и 1873, интервал драгирования 1500 - 1250). Здесь были подняты остроугольные обломки гнейсов, гранито-гнейсов и лейкократовых гранитов, аналогичных вышеописанным.

4.1.1. Завершая краткую характеристику докембрийских пород, поднятых в 33 рейсе м/s "Первенец", необходимо подчеркнуть следующие обстоятельства.

1). Впервые выявленные в коренном залегании на возвышенности Ямато регионально метаморфизованные породы указывают на весьма длительную геологическую историю развития этой возвышенности и подчёркивают сходство геологического строения фундамента возвышенности и метаморфического комплекса Хида внутреннего тектонического пояса юго-западного Корсю.

2). Выявление регионально метаморфизованных пород в центральной, восточной и южных частях возвышенности Криштофовича вкупе с данными, полученными в предыдущих рейсах нис "Первенец", показывает, что в строении этой возвышенности регионально метаморфизованные породы резко преобладают, хотя и замаскированы в некоторой части более поздними интрузиями гранитоидов, покровами неоген-четвертичных базальтоидов и неоген-четвертичными осадками. В структурном отношении возвышенность Криштофовича может быть отнесена к древним срединным массивам (или остаткам такового). Впредь мы предлагаем именовать его массивом Криштофовича.

#### 4.2. Стратиграфия фанерозойских осадочных и вулканогенных отложений

В 33 рейсе нис "Первенец" были подняты предположительно палеозойские, мезозойские и кайнозойские осадочные и вулканогенные породы. В большинстве случаев их возраст устанавливается только при сопоставлениях с аналогичными породами Приморья, реже (для кайнозойских пород) получены палеонтологические обоснования возраста. Датировки вулканогенных пород, поднятых в рассматриваемом рейсе, облегчаются довольно многочисленными данными по калий-аргоновому возрасту сходных пород, поднятых со дна Японского моря в предыдущих экспедициях советских и зарубежных исследователей.

##### 4.2.1. Палеозой

К палеозою предположительно отнесены филлитизированные аргиллиты, алевролиты и песчаники, поднятые на возвышенности Витязя и к западу от неё; ортовиковые песчаники и алевролиты, поднятые на небольшой подводной возвышенности между полигонами 28-Г и 29 (участок 12); филлиты, поднятые на полигоне 14-Г.

На возвышенности Витязя (полигон 13) палеозоем (?) датиру-

ются филлитизированные аргиллиты, поднятые на станции 1730 (интервал драгирования 2340 - 2250 м)<sup>х</sup>. Это - тёмно-серые с зеленоватым оттенком породы, плитчатые, сильно рассланцованные, с обильным серицитом по плоскостям рассланцевания. Ранее (в 20 рейсе нис "Первенец") аналогичные породы на возвышенности Витязя и поднимались совместно с песчаниками и алевролитами, образующих флишидное переслаивание. По мнению И.И.Берсенева и Е.Н.Леликова описанные породы можно сопоставлять с верхнепалеозойскими породами Приморья. Однако не исключено, что они имеют более молодой возраст, поскольку возвышенность Витязя расположена на простирации Главного синклиниория Сихотэ-Алиня, где широким распространением пользуется раннемеловой песчаноалевролитовый флиш.

Западнее возвышенности Витязя (участок 3) предположительно палеозойские отложения были установлены на станции 1733 (2470 - 2300). Здесь были подняты остроугольные обломки (с признаками отрыва от коренного выхода) сильно катаклизированные кварцитовидные песчаники и филлитизированные алевролиты. Судя по отдельным обломкам, эти породы находятся в переслаивании при мощности прослоев до 5 - 6 см. Кварцитовидные песчаники серые и зеленовато-серые, массивные, мелко- и среднезернистые, с миллиметровыми прожилками кварца. Филлитизированные алевролиты и аргиллиты серые и зеленовато-серые, сильно рассланцованные, серицитизированные, в единичных образцах с плохо выраженной слоистостью, также иногда пересекаются миллиметровыми трещинами, заполненными кварцем. Не исключено, что породы, поднятые на участке 3, аналогичны палеозойским отложениям возвышенности Витязя, но сильно видоизменены

<sup>х</sup>) далее в скобках после номера станции указывается интервал драгирования в метрах.

в зоне крупного разлома, а также процессами контактового метаморфизма.

На участке 12 была продрагирована небольшая подводная возвышенность в пределах восточных отрогов хр. В.Имато. Здесь из зоны экзоконтакта массива серых гранитоидов были подняты сильно ороговикованные алевролиты и песчаники (станции 1807 и 1808, интервалы драгирования соответственно 1500 – 1400 и 1300 – 1600 м). Песчаники серые и тёмно-серые, калькогернистые, массивные, сильно ороговикованные. Алевролиты тёмно-серые, массивные, в отдельных образцах с плохо заметной слоистостью, также ороговикованные. Палеозойский возраст этих пород принимается условно, и, возможно, будет уточнён после определения возраста прорвавших их гранитов.

На полигоне 14-Г к палеозоя также довольно условно отнесены филлиты, оторванные от коренных выходов на станциях 1850 (1250–1150) и 1851 (980 – 900). Это светло-серые (серебристо-серые) сланцеватые породы, распадающиеся иногда на сантиметровые чешуи (при толщине в первые миллиметры). Микроскопическое изучение филлитов показало, что они образовались, вероятно, по эфузивам среднего состава. Они имеют отчётливую сланцеватую структуру и состоят из тонкоагрегатной серицит-хлоритовой основной массы, в которую включены листы сосиритизированного плагиоклаза (андезина № 30 – 32). В породе обычно много мелких зёрен и пыли рудного минерала. По данным Б.И.Васильева и Н.В.Маркевича (1973) сходные по составу породы прорваны гранитоидами с K-Ar возрастом 197 – 220 млн. лет.

#### 4.2.2. Мезозой

К мезозоям отнесены осадочные породы, поднятые с северо-восточного склона хр. В.Имато с глубин 1400 – 900 м (участок 17, станции 1828, 1830, 1832 – 1834), где их возраст обоснован палеонтологически, и – в определённой степени условно – песчаники

с небольшой подводной возвышенности северо-западнее о. Уллындо (участок I, ст. 1872 - 1500-1400 м). В большинстве случаев драгами опробовались коренные выходы рассматриваемых пород.

4.2.2.1. На возвышенности Ю.Ямато (в пределах западной части полигона 28, работы на котором проводились в 28 рейсе иис "Первениц") драгированию предшествовали геофизические исследования (НСП), позволившие уточнить здесь границы выхода акустического фундамента, сложенного меловыми и палеогеновыми породами, а также получить дополнительные данные по структуре и мощности рассматриваемых отложений (приложение 9). Акустический фундамент был установлен в интервалах глубин 1470 - 800 м (по первому профилю НСП) и 1300 - 800 м (по второму профилю НСП). Учитывая пологое, близкое к горизонтальному залегание слоёв, можно оценить видимую мощность мел-палеогеновых отложений в 500 - 600 м. Поскольку в изученном разрезе верхнемеловые отложения не установлены, предполагается, что поднятые здесь конгломераты являются базальными толщами палеогеновых осадков. Не исключено, что в какой-то части поднятые конгломераты являются внутриформационными. Конгломераты отмечались на разных глубинах. Отчасти это можно объяснить разносом оторвавшихся от обнажений пород вниз по склону. Но это же обстоятельство, возможно, указывает на весьма неровный (по вертикали) контакт нижнемеловых и палеогеновых отложений. Вероятно, дальнейшие микропалеонтологические и литологические исследования помогут уточнить здесь эту границу. А пока (по мнению И.К.Пущина) нижнюю границу палеогеновых отложений условно можно проводить по подошве упомянутых конгломератов. Последние чаще отмечаются в интервале глубин 1100 - 1200 м. Таким образом, видимая мощность меловых отложений здесь около 400 м.

В составе меловых отложений на возвышенности Ю.Ямато были установлены преимущественно песчаники серые, тёмно-серые, буро-вато- и зеленовато-серые, мелко- и среднезернистые, массивные.

Реже отмечаются алевролиты серые, массивные и с плохо выраженной слоистостью. Микроскопическое изучение песчаников (шлифы 1828-I, 1833-Iв, 1834а, 1834-Іа) позволяют отнести их к аркозам или близким к этому комплексу разностям. Состав пород: кварц, полевые шпаты, обломки пород, слюды, акцессории. Кварц поликристаллический и монокристаллический, для последнего характерно волнистое погасание. Поликристаллический кварц образует очень неравномернозернистую гранобластовую структуру. Преобладают обломки угловатой формы, значительно реже встречаются полуокатанные и окатанные зёरна. Отмечаются обломки чистого кварца с равномерным погасанием – возможно вулканического происхождения. Полевые шпаты представлены плагиоклазом и калишпатом; плагиоклаз часто серицитизирован, тонкосдвойникованный (альбит-олигоклаз ?); калишпат обычно с перититами, иногда решётчатый, пелитизирован. Форма обломков угловатая, реже полуокатанная. Обломки пород представлены преимущественно угловатыми зёрнами гранитоидов и эфузивов предположительно среднего состава. Слюды в песчаниках представлены хлоритизированным биотитом и мусковитом. Для биотита характерны реликты желтовато-бурового цвета. Аксессории представлены турмалином, гранатом, цирконом. Цемент в мелкозернистых разностях песчаников обычно кварц-полевошпатовый, в крупнозернистых разностях часто мономинеральный – глауконитовый или менемин карбонатный, коррозионный.

Алевролиты по составу аналогичны вышеописанным песчаникам. Кроме того, среди обломочков пород в алевролитах отмечаются тонкозернистые карбонаты. Судя по размерам отдельных обломков, алевролиты образуют прослои среди песчаников мощностью от первых сантиметров до 10 – 15 см (возможно, и более).

Состав обломков пород и акцессорных минералов в песчаниках свидетельствует об образовании последних главным образом за счёт

пород гранитного состава, вменьшей степени - за счёт эффузивов среднего и кислого состава, роговиков и карбонатов. В общем слабая окатанность обломков указывает на незначительную транспортировку материала. По степени литификации, минеральному составу, характеру цемента и структурным особенностям описанные алевролиты и песчаники совершенно аналогичны одноимённым породам, поднятым в нескольких километрах юго-западнее в 28 рейсе нис "Первениц". В алевролитах В.С.Маркевич был обнаружен комплекс пыльцы и спор, в составе которого преобладает пыльца голосеменных (доминирует *Classopollis*). Много пыльцы *Pinuspollenites* sp., *Piceapollenites* sp., *Inaperturopollenites* sp., *Araucariacidites* sp., *Cingulatipollenites* sp., *Entylyssa* sp. sp., *Calliciasporites dampieri*. Присутствует пыльца *Podocarpidites* sp., *Dacrydium* sp., *Cedrus* sp., отмечаются единичные зёрины *Vitreisporites* sp., *Ephedripites* sp., *Monosulcites* sp. Споры малочисленны и представлены *Cingulatisporites clavus*, *Cyathidites australes*, *Laevigatosporites* sp., *Leptolepidites* sp., *Osmundacidites* sp., *Citaticosporites pseudauriferus*. Из пыльцы покрытосеменных встречены *Tricolporoltenites*, *Triporopollenites*.

По мнению В.С.Маркевич, возраст вмещающих приведенный комплекс пород раннемеловой, альбский. Аналогичные породы были подняты в 24 и 28 рейсах нис "Первениц" с хр. С.Ямато, в которых В.С.Маркевич также был установлен альбский комплекс пыльцы и спор.

На участке I (северо-западнее о.Уллындо) предположительно меловые породы были подняты на ст. 1872 (1500 - 1400 м) и представлены здесь слегка катаклизированными тёмно-серыми мелкозернистыми и среднезернистыми песчаниками с пеленой слоистостью. Микроскопическое изучение пород показало их идентичность вышеописанным песчаникам с хр. Ю.Ямато. Эти песчаники также сходны с песчаниками

с песчаниками, поднятыми в 25 рейсе нис "Первенец" с восточных склонов Восточно-Корейской возвышенности (полигон 16).

На участке 7, расположенным между полигонами 13 и 31, к верхнему мелу предположительно отнесены вулканиты, поднятые на ст. 1719 (2250 - 2400). Здесь от коренного выхода были оторваны своеобразные слоистые туфы дацитового состава. Слоистость обусловлена чередованием прослоев, сложенных обломочками различной размерности - от пелитовой и мелкопесчанитовой до псаммитовой. Обломочки образованы полевыми шпатами, кварцем и пепловыми туфами. На этой же станции драгой было поднято несколько мелких (до 6 см) обломков серых афанитовых лишаритов. Здесь же отмечено несколько угловатых обломков (до 15 см в поперечнике) зеленовато-серых андезито-дацитов, сложенных стекловатой основной массой, в которую вкраплены средние плагиоклазы.

Описанные вулканиты пока датируются поздним мелом на следующих основаниях: 1) в позднемеловой приморской свите Приморья отмечаются идентичные породы; 2) на расположенной поблизости подводной возвышенности Мусаси (в точке с координатами 44°45,05' и 140° 37, 25') аналогичные породы имеют K-Ar возраст 77,8 ± 3,9 млн. лет (*Учага et all*, 1978).

Не исключено также, что вулканиты кислого и среднего состава, поднятые нами с хр. Ю.Имато (участок 12, ст. 1810) также в какой-то части являются мезозойскими. Такое предположение основывается на том, что в 4-м рейсе нис "Каллисто" на этом хребте были обнаружены андезиты, дациты и их туфы, прорванные гранитоидами, имеющими калий-argonовый возраст 67 - 74 млн. лет (Басильковский и др., 1978).

#### 4.2.3. Палеоген и неоген

Палеогеновые и неогеновые отложения в 33 рейсе отмечены на

большинстве изученных полигонов и многих участках внеполигонного драгирования, но, как правило, поднимались единичные обломки и, за исключением хр. Ю.Имато, на обследованных подводных возвышенностях не удалось найти достаточно мощный разрез этих отложений, достойный детального обследования. Тем не менее собран материал, позволяющий существенно уточнить наши представления о распространении и составе палеогеновых и неогеновых отложений.

#### 4.2.3.1. Палеогеновые – нижнемиоценовые (?) отложения

Отложения, которые с разной степенью достоверности датируются палеогеном – ранним миоценом, в 33 рейсе были установлены на полигоне 31 и северо-западнее этого полигона (участок 7); на хр. Ю.Имато (участок 17), а также на единичных станциях драгирования на полигоне 18-Б и участке I. Во всех случаях рассматриваемые породы или оторваны от коренных выходов или подняты из свалов в непосредственной близости от обнажений.

На полигоне 31 (станция 1713, 2500 – 2400 м) были подняты аргиллиты серые и зеленовато-серые, иногда буроватые, обычно тонкостенные плитчатые, с плохо выраженной слоистостью, с растительным детритом. Часто аргиллиты содержат примесь (1 – 5%, иногда до 30%) алевритовых частиц, образованных, в основном, кварцем, реже – полевыми шпатами, слюдами и кислыми эфузивами. Основная масса сложена слабо анизотропным глинистым веществом. Породы (сравнительно с неогеновыми породами) значительно уплотнены.

На участке 7 (станции 1718 и 1719) с глубины 2550 – 2200 м подняты аргиллиты, аналогичные вышеописанным, и обломки до 15 см в поперечнике конгломератов зеленовато-серых, мелко- и среднегальчевых. Галька полуокатанная и хорошо окатанная, образована преимущественно кислыми вулканитами, которые здесь же установлены в коренном залегании. Заполнитель в конгломератах – разнозерни-

тый полимиктовый песчаник с глинистым цементом. Предполагается, что эти конгломераты являются базальными толщами палеоген-нижнеке-оценовых (?) отложений.

Возраст описанных отложений пока палеонтологически не обос-нован. Палеогеном - ранним миоценом они предположительно датиру-ются на следующих основаниях: 1) Аргиллиты с участка 7 и полигона 31 по ряду признаков (в том числе и по отсутствию в них диато-мой) аналогичны аргиллитам с полигоном 22 (приморский шельф), где они залегают на позднемеловых гранитоидах и перекрываются пале-онтологически охарактеризованными среднемиоценовыми отложениями. 2) На участке 7 аргиллиты с конгломератами в основании залегают на позднемеловых вулканитах, а на полигоне 31 выше описываемой толщи установлены среднемиоценовые отложения.

Мощность предположительно палеогеновых - нижнекеоценовых от-ложений в районе полигона 31 - участка 7 измеряется, вероятно, первыми десятками метров.

На хр. Ю. Яшато палеогеновые отложения впервые были устано-лены в 28 рейсе нис "Первенец", а в 33 рейсе здесь были проведе-ны геофизические работы и дополнительное драгирование с целью детализации разреза этих отложений (станции 1832 - 1836, интер-вал драгирования 1400 - 1000 м). Взаимоотношения палеогеновых пород с подстилающими их нижнемеловыми отложениями твёрдо не ус-становлены, но, как отмечалось выше, есть основания предполагать разрывы между этими толщами и нижнюю границу палеогеновой толщи проводить по подошве поднятых здесь конгломератов. Выше послед-них залегают алевролиты и алевронесчаники, представленные серы-ми и буровато-серыми разностями, массивными и тонкопараллельно-слоистыми, слюдистыми. Характерным для них является широкое раз-витие гидроокислов железа, которые и обуславливают тонкую слоист-

тость, неравномерно распределяясь в породе. Для алевролитов характерны также тонкие (0,05 – 0,1 мм) прослойки более крупно-зернистого материала (крупноалевритового и мелкопсаммитового). В шлифах часто отмечаются сильно измененные остатки микрофауны. Состав обломочной части постоянен: кварц, полевые шпаты, слюдя. Последняя представлена субпараллельно ориентированными листами мусковита и хлоритизированного биотита. В большинстве шлифов отмечаются единичные обломки турмалина и циркона, реже – гранатов и вулканического пепла. Цементирующая масса серицит-хлоритовая, пронитанная гидроокислями железа.

Палеогеновый возраст описанных пород обосновывается макро- и микроскопическим сходством их с породами, поднятыми в этом же районе в 28 разрезе нис "Первениц", в одной из проб которых В.С. Маркевич обнаружила и изучила спорово-пыльцевой комплекс. Для этого комплекса характерно доминирование (до 80%) покрытосеменных: *Tricolpites*, *Triporopollenites bituites*, *Polyvestibulopollenites verus*, *Triporopollenites coryloides*, *Triatriopollenites myricoides*, *Ulmoidcipes krempii*, *Carya amulatus*, *Engelhardtia cf. En. inaequalis*,

типа *Montanipollis globosiporus* единичная пыльца *Aquilapollenites*. Из голосеменных в незначительном (до 20%) количестве присутствует пыльца *Sparerturopollenites hiatus*, *Sp. polyformosus*, *Pinaspollenites sp.* Споры практически отсутствуют, *Laevigatosporites* составляет менее 2%. Возраст приведенного спектра по мнению В.С. Маркевич палеогеновый, вероятно – палеоценовый.

Судя по геофизическим данным, видимая мощность палеогеновых отложений на хр. О. Ямато (в районе участка I7) около 200 м.

К палеогену – нижнему миоцену условно отнесены также песчаники, алевролиты, гравелиты и конгломераты, установленные в единичных точках на полигоне 18-В (станции 1859 – 1500-1400 и 1861 – 2350-2200 м); на участке I (ст. 1872 – 1500-1400 м); на участ-

на 2 (ст. 1869 - 2100-2000 м); на участке 3 (ст. 1868 - 1350-1250 м); на участке 12 (ст. 1808 - 1900-1600 м). Песчаники и алевролиты, поднятые на перечисленных участках, аналогичны вышеописанным. В гальке конгломератов преобладают обычно породы, слагающие акустический фундамент (песчаники и алевролиты на ст. 1808, граниты и гранито-гнейсы на возвышенностях Криштофовича и т.д.). Степень окатанности от очень хорошей до плохой, коли-чество её в породе от 10 - 15% до 30 - 50% общего объёма. Заполнитель или полимиктовый разнозернистый песчаник или алевролит (в последнем случае галька "плавает" в заполнителе). Все упомянутые породы по степени литификации занимают промежуточное положение между известняками на возвышенностях Амато меловыми отложениями и залегающими выше миоценовыми породами.

#### 4.2.3.2. Среднемиоценовые отложения

Среднемиоценовые отложения достаточно достоверно выделяются только на полигоне 31, где они подняты на станциях 1708 (1430 - 1300), 1709 (1920 - 1800), 1710 (1520 - 1400) 1711 (1560 - 1400) и 1716 (2080 - 2000). При этом из коренного выхода эти породы были подняты только на ст. 1708. На остальных станциях были опробованы подводные осыпи.

Взаимоотношения среднемиоценовых отложений с подстилающими их здесь предположительно палеогеновыми - нижнемиоценовыми отложениями и известными здесь же кайнозойскими базальтоидами не установлены. Мощность их ориентировочно измеряется в пределах 50 - 150 м и вряд ли превышает 250 м.

Среди среднемиоценовых отложений выделяются диатомиты, туфодиатомиты и туфоаргиллиты. Диатомиты светлые, чуть желтоватые, лёгкие, с единичными ходами илоедов (диаметром 2 - 5 мм), почти нацело состоят из створок диатомей. Примесь терригенных зёрен не превышает 1 - 2% (кварц, полевые шпаты). Отмечаются также

единичные радиолярии. Туфодиатомиты в общем аналогичны диатомитам, но содержат пепловые частицы кислого вулканического стекла. Туфоаргиллиты серые с зеленоватым оттенком, слабо литифицированные, массивные, с землистым и полураковистым изломом, с бурими вытянутыми пятнами окисления, с редкими ходами илоедов диаметром до 1,5 см. Под микроскопом в тонкой глинистой массе видны редкие полуразложенные вулканические стёкла.

Описанные породы отнесены к среднему миоцену на основании их макро- и микроскопического сходства со среднемиоценовыми породами из других районов Японского моря, где их возраст обоснован палеонтологически, а также по своему стратиграфическому положению — между предположительно палеоген-нижнемиоценовыми отложениями и верхнемиоценовыми осадками, из которых на полигоне 31 изучен комплекс диатомей.

#### 4.2.3.3. Верхнемиоценовые отложения

Предварительный анализ неогеновых пород позволяет достаточно обоснованно выделять верхнемиоценовые отложения только на полигонах 13 и 31. На остальных полигонах, где поднимались сходные породы, они описаны в составе неогеновых отложений нерасчлененных.

На полигоне 13 верхнемиоценовые отложения были подняты на станциях 1720 (2150 – 2050), 1723 (2500 – 2400) и 1731 (2540 – 2400) в виде остроугольных и полуокатанных обломков. Поднятые породы слабо литифицированы представлены внешне очень сходными алевролитами, аргиллитами, туфодиатомитами и туффитами.

Алевролиты светло-серые, чуть зеленоватые, мягкие на ощупь, с редкими ходами илоедов диаметром до 5 – 7 мм, с редким рассеянным гравием андезитов (?). В составе обломочных зёрен резко преобладает кварц, в небольших количествах преобладает отмечается плагиоклазы и обломки кислых эфузивов. Цемент гли-

нистый. Характерно наличие выделений карбоната (до 10% от общего объема породы) в виде пятен неправильной формы размерами до 0,05 мм. В алевролитах содержится большое количество тонко-рассеянного обугленного растительного детрита.

Туффиты подняты только на станции 1720 в виде угловатых обломков до 10 - 15 см в поперечнике. Это зеленовато-бурые породы с редким гравием пемзы. Состав туффитов смешанный: 3 - 5% - обломочные зёра (0,1 - 0,3мм), представленные кварцем, пелитизированным полевым шпатом, реже - обломками пород; 5 - 7% - ярко-зелёные зёра глауконита неправильной формы, и основная кремнисто-глинистая масса, содержащая осколки вулканического стекла, спикулы губок, редкие остатки радиолярий и диатомей.

Туфодиатомиты светло-серые, комковатые, лёгкие, состоят из створок диатомовых водорослей и мелкого вулканического стекла (0,02 - 0,05мм). Порода имеет микропятнистую текстуру за счёт неравномерного распределения вулканического стекла. Из туфодиатомитов И.Б.Цой выделен комплекс диатомей (обр. 1731-2), характеризующийся обилием *Coscinodiscus marginatus* Ehr. и *Stephanoporus convexus* Dolm. in coll. В единичных экземплярах встречены *Actinocyclus ingens* Rattr., *Goniothecium tenuie* Brun., *Rhizosolenia mioceonica* Schrader, *Pterotheca kittoniana* var. *kantschatica* Caponov, *Stephanoporus marginata* Grunow, *S. schenckii* Kanaya, *Denticula praedimorpha* Akiba.

Последний вид является характерным видом зоны *Denticula praedimorpha* выделенной Акибой (Akiba, 1979). Эта зона соответствует верхней части зоны *Denticula lauta-D. hustedtii*.

И. Коизуми (Koizumi, 1977), внутри которой проходит граница между верхним и средним миоценом. В целом приведенный комплекс диатомей по мнению И.Б.Цой соответствует средне - позднемиоценовой зоне *Denticula lauta-D. hustedtii*.

На полигоне 31, на ст. 1713 (2500 - 2400) подняты слабо упло-

тёмные светло-серые диатомиты, очень сходные с туфодиатомитами полигона I3. В них обнаружен комплекс диатомей, соответствующий верхнемиоценовой зоне *Denticula hustedtii* ( Koizumi, 1977). Комплекс характеризуется обилием следующих видов: *Rouxia californica* Perag., *Coscinodiscus temporei* Brun, *Nitzschia reinholdii* Kanaya et Koizumi, *Rhizosolenia barbei* Brun, *Thalassiosira* sp. (aff *T. decipiens* sensu Shesh.-Por) Единично встречаются *Actinocyclus ingens* Ratfr., *Stephanorhynchus schenckii* Kanaya, *Synedra jouseana* Sheshuk.

Судя по геофизическим данным, верхнемиоценовые отложения облекают подводные склоны и мощность их измеряется первыми десятками метров.

#### 4.2.3.4. Плиоценовые отложения

Плиоценовые (?) отложения были подняты на участке 7, на станции I718 (2400 – 2200). Это серые слоистые глинистые алевролиты. По степени литификации они близки к уплотнённым илам. Слоистость обусловлена наличием тёмно-серых углефицированных прослойков мощностью в доли миллиметра. Эти прослойки образуют скопления, обуславливая более мощные (до 6 см) прослои.

На полигоне I3 к плиоцену предположительно отнесены поднятые на ст. I728 (1860 – 1800) зеленовато-жёлтые мелкогалечные конгломераты и гравийные песчаники. Галька и гравий в конгломератах составляют до 30% общего объёма породы и образованы, в основном, окатанными и полуокатанными обломками андезито-базальтов и туфов кислого состава. Заполнитель – разнозернистый полимиктовый песчаник с глинистым цементом. Породы легко разламываются руками. Глинистый цемент, занимающий до 50% общего объёма песчаников, по составу представляет собой смесь очень тонкозернистого глауконита и глинистого вещества. Глауконит присутствует также в виде округлых перестложенных зёрен (до 5% общего объёма песчаника).

Кроме того, на ст. I730 (2340 – 2250) подняты зеленовато-жёлтые

комковатые глины с редким рассеянным гравием. Вероятно глины являются аналогами цементу вышеописанных песчаников.

Возраст описанных отложений палеонтологически пока не обоснован, плиоценом они датируются на основании некоторого их сходства с палеонтологически охарактеризованными плиоценовыми отложениями материкового склона. Однако весьма низкая степень литификации не исключает более молодой (эоплейстоценовой?) возраст охарактеризованных пород.

Мощность плиоценовых отложений на полигонах 13 и 31 вряд ли превышает 100 м.

#### 4.2.3.5 Неогеновые отложения нерасчлененные

Как отмечалось выше, в 33 рейсе только на полигонах 13 и 31 установлено сравнительно широкое распространение неогеновых отложений, которые предварительно подразделены там на средне-и верхнемиоценовые и плиоценовые. На всех остальных полигонах неогеновые отложения подымались в единичных обломках, что не позволяет в короткий срок установить их возраст. Поэтому ниже приводится сводное описание неогеновых пород по упомянутым остальным полигонам.

На полигоне 14г неогеновые отложения подняты на 6 станциях с глубин от 1000 до 2400 м. Среди них преобладают комковатые и коркообразные обломки от 2-3 до 5-7 см желтовато-серовато-зеленых, буровато-зеленых, зеленовато-желтых, очень слабо уплотненных, легких глинистых пород с редким гравием. Породы имеют смешанный состав, основная масса их сложена очень тонким глинистым веществом, почти изотропным, с небольшим количеством мелких чешуек слюды. Они содержат: 5-10% обломочных зерен размером от 0,05 до 0,3-0,5 мм в основном полуокатанных, реже угловатой формы, образованных преимущественно кварцем, пелитизированным полевым шпатом и гранитоидами,

реке отмечается эфузивы среднего состава и сланцы. 9-20% образуют округлые зерна переотложенного глауконита (размером 0,05-0,6 мм), 2-3% -органические остатки (в основном спикулы губок, единичные радиолярии), 2-5% приходится на пирокластический материал (в основном в виде мелких пепловых частиц кислого вулканического стекла, реке буроватые основные стекла неправильной формы). Сюда же следует отнести и небольшое количество чистых неизмененных плагиоклазов.

В небольшом количестве на двух станциях (1852, 1857) подняты туфы - голубовато-зеленые мелкозернистые. Подняты в виде крупных обломков размером 2-6 см. Состоят они из обломков плагиоклаза и андезито-базальтов, сцементированных стекловатой массой.

Кроме того на станции 1853 (1380-1280) подняты зеленовато-серые крупнозернистые граувакковые песчаники с единичным гравием андезито-базальтов и гранитов. Для них характерно большое количество обломков эфузивов среднего состава, а также пироксенов и амфиболов. В небольшом количестве отмечается пелитизированные полевые шпаты, плагиоклазы и гранитоиды. Цемент пленочного типа, составляет 10-20%, глинистый. Песчаники очень некрепкие и в общем аналогичны подобным песчаникам на полигоне 28.

На полигоне 29 неогеновые отложения подняты почти на всех станциях с глубин от 1300 до 2200 м. Неогеновые отложения здесь покрывают склоны мелких возвышенностей. Поднятые породы очень сходны с описанными выше отложениями полигона 14г, отличаются более высоким содержанием пирокластического материала, поэтому отнесены нами к туффитам. Туффиты желто-зеленые, зелено-серые, мягкие, очень слабо литифицированные, иногда с редкими гравием пемзы. Породы имеют смешанный состав, преобладает пелитовая глинистая масса, в которой равномерно распределено кислое вулканическое стекло в виде рогулек, заноз, пузыристых обломков

неправильной формы (размером 0,05-0,15 мм, редко до 0,25 мм). Количество стекла колеблется от 2-10 до 15-20%. Примесь терригенного алевро-песчанистого материала составляет обычно 1-5%, преобладает кварц, в меньших количествах встречается пелитизированный калиевый полевой шпат и в редких зернах отмечается плагиоклаз (андезин?), пироксен, эпидот, зеленая роговая обманка, алевролиты, эффузивы. Характерно присутствие крупных (0,08-0,5 мм) спикул губок, единичных радиолярий и переотложенных зерен глауконита, которые иногда составляют 1-2%.

На нескольких станциях вместе с туффитами подняты обломки (размером от 5-8 до 15-20 см) глинисторефракторной пемзы. Пемза практически полностью замещена желтым глинистым веществом, но сохранила свой пористый внешний вид и зализистый излом.

На участке 12, - станции 1810 (2200-2000) поднято небольшое количество комковатых обломков (10-12 см в поперечнике) светло-серых тонкозернистых пепловых туфов. Туфы очень слабые, сильно пористые, пятнистые, пронизаны волосяными ходами илоедов.

На полигоне 18-В среди неогеновых пород отмечается туффиты (ст. 1861, интервал драгирования 2350-2200 м). Это серые и зеленовато-серые тонкозернистые породы, массивные, реже тонкослоистые, обычно с растительным детритом, состоящие из обломков (0,02-0,1 мм) кварца (обычно с признаками вулканического происхождения), пелитизированного полевого шпата и слюды. Всегда существует вулканическое стекло. На этой же станции были подняты туфы, аргиллиты и туфодиатомиты. Туфодиатомиты - светлые зеленовато-серые легкие породы, состоящие из смеси остатков диатомей (пресноводных), обломочных зерен, аналогичных в вышеописанных туффитах, пелитовой глинисто-кремнистой массы и редких обломков вулканического стекла. Туфы зеленовато-серые и голубовато-серые слабо литифицированные, тонкозернистые. Аргиллиты

4

аналогичные вышеописанным на полигоне 3-I и отличаются только несколько большим содержанием пеплового материала.

На участке 2 (станция 1870, интервал драгирования 1950-1800 м) к неогену отнесены пепловые туфы - зеленовато-серые и буровато-зеленые тонкозернистые породы с пятнистой текстурой. Последняя обусловлена участками до 3 мм в поперечнике, сложенными туфодиатомитом. Основная масса туфов состоит из причудливой формы пепловых частиц (размером до 0,1 мм) с единичными зернами кварца и плагиоклаза. В туфодиатомитах со ст. 1861 (обр. 1861-Ле) обнаружены пресноводные диатомеи, известные из неогеновых континентальных отложений периферии Японского моря (Приморье, Корея, Япония). Основным флористическим компонентом являются несколько видов рода *Melosira*, из которых *Melosira praeislandica* Jousé, *M. praedistans* Jousé доминируют. Субдоминирует *Coscinodiscus aff gorbunowii* Sheshuk. Единично отмечены *Symbella* sp., *Achnantes* sp., *Navicula* sp., *Tetraencyclus ellipticus* (Ehr.) Grun. Пресноводный состав диатомой флоры и массовое развитие представителей планктонного рода *Melosira* свидетельствуют об образовании отложений в озере бассейне. Хорошая сохранность диатомей, отсутствие примеси морских форм свидетельствуют об автохтонности комплекса. Средненность видового состава (отмечено 8 видов) может быть объяснена особенностями физико-химических условий осадконакопления, кратковременностью существования предполагаемого озера бассейна.

Подобный комплекс обнаружен и на Ухом Ямато (по материалам 28 рейса МС "Невенец").

Завершая описание неогеновых отложений необходимо отметить, что почти на всех полигонах (за исключением полигона 28-Г, где вообще не встречены осадочные породы) в драгах часто отмечаются обломки разнозернистых, часто гравелистых песчаников, состоящих преимущественно из обломков широко распространенных эфузивов

гислого и среднего состава. Эти песчаники не содержат остатков микроорганизмов, спор и пыльцы. По степени литификации их можно было бы датировать поздним миоценом - эоплейстоценом. При драгировании создается впечатление, что вышеуказанные туфодиатомиты с пресноводными комплексами диатомей образуют линзы и (или) невыдержаные по простиранию прослои в этих песчаниках. Таким образом, можно предположить, что описанные песчаники также образования аэральные (и.б. представляют собой аллювий).

#### 4.2.3.6. Неоген - четвертичные вулканогенные породы

В настоящее время имеются довольно многочисленные данные по петрографии, химическому составу, "абсолютному" возрасту и структурному положению кайнозойских вулканитов в Японском море. Однако все эти данные практически не систематизированы, взаимно не увязаны, т.е. схема кайнозойского вулканизма дна Японского моря не разработана. Таким образом, данные по вулканогенным породам, собранные в 33 рейсе ПИС "Первенец", привязать не к чему, да и анализ этих пород пока сводится к просмотру преобладающих разностей в шлифах. Результаты химических и геохронологических анализов еще не получены. Поэтому ниже приводится только сводное описание поднятых в рейсе вулканитов с самой приблизительной привязкой к вулканогенным образованиям, изученных в предыдущих рейсах ПИС "Первенец" и других экспедиций.

На возвышенности Витязя Чилигон 13) подняты разнообразные по составу вулканогенные породы (станции 1720-1722, 1725-1732, суммарный интервал драгирования - 2650-1400 м).

В предыдущие годы эти породы поднимались в 20 рейсе ПИС "Первенец" и 1 рейсе ПИС "Каллисто".

Поднятые на возвышенности "Витязя" вулканиты имеют весьма разнообразный состав. По петрохимическим особенностям эти породы соответствуют известняково-щелочным сериям формаций островных дуг и характеризуются пониженным содержанием  $\text{CaO}$  и  $\text{MgO}$ , но повышенным содержанием щелочей с существенной ролью калиевой составляющей при общем незначительном преобладании натрия. Не исключено, что вулканическая толща формировалась в условиях образования в пределах возвышенности гранитного слоя земной коры (Васильковский и др., 1978). Ниже приводится краткая характеристика всех разностей вулканитов, поднятых на возвыш. "Витязя".

Породы основного-среднего состава подняты как с восточного, так и с южного склона возвышенности "Витязя" в виде крупных глыб до 50 см в поперечнике и более мелких остроугольных обломков. Судя по количественным соотношениям пород в драхных пробах базальтоиды в пределах восточного склона имеют большее развитие, чем на южного.

Базальты подняты на станциях 1720, 1725, 1726, 1728. По структурно-текстурным особенностям среди них выделяются:

**Базальты пористые.** Это породы черного цвета, поры имеют размеры от первых долей мм в мелкопористых разностях и до 2 мм в крупнопористых. В некоторых образцах отмечаются более крупные пустоты, заполненные вторичными минералами зеленовато-синего, реже желтого цвета. Редкие вкраплениники представлены таблитчатыми кристаллами плагиоклазов.

**Базальты массивные порфировые.** Породы темно-серого, до черного цвета, некоторые из них с поверхности и по трещинам покрыты ярко-зеленым налетом (вероятно глауконитом). Основная масса тонкозернистая, до стекловатой, иногда поверхность свежего скола имеет шелковистый блеск. Вкраплениники редкие, представлены пирок-

сенами и плагиоклазами, размеры их 1-2 мм. В некоторых образцах среди вкрапленников отмечается желтовато-зеленый минерал - оливин (?)

Базальты афировые отличаются от прочих базальтоидов повышенной плотностью и однородной текстурой. Порода темно-серая, почти черная, видимых вкрапленников не обнаружено. Отмечается редкие поры размерами до 2 мм.

Андезито-базальты являются наиболее распространенными на изученных участках, во многом сходны с вышеописанными базальтами, отличаясь более светлой окраской. Встречены в виде лав и лавобрекчий. По всей вероятности, здесь имеет место непрерывный ряд эфузивных образований базальт-андезитового состава, среди которых можно выделить разности по текстурно-структурным признакам, как это было сделано для базальтов.

Андезито-базальты пористые. Структура пород, как правило, афировая, вкрапленники отмечены лишь в единичных образцах и представлены пироксенами и плагиоклазами. Основная масса обычно раскаристаллизована, но отмечается также и стекловатые разности. Некоторые обломки обладают зональным строением, которое подчеркивается распределением пор и миндалин. Обломки в этом случае имеют округлую форму и несут признаки шаровой отдельности. Нередко поры целиком заполнены вторичными минералами, преимущественно карбонатами и порода приобретает миндалекаменную текстуру. Отмечается образцы, подвергшиеся интенсивному пальмирализу, в результате чего обладают ярким голубовато-зеленым цветом, особенно четко выделяющимся на стенах. Некоторые глыбы обладают "ядром", сложенным массивной, практически лишенной пор породой.

Андезито-базальты массивные. Породы обладают более темной окраской, чем пористые разности. Поры и миндалины практически отсутствуют. Это темно-серые с различными оттенками (зеленоватыми, коричневатыми) плотные породы с порфировой, реже афировой

структурой. Вкрапленники представлены в основном кристаллами плагиоклаза неправильной формы. Основная масса от микрокристаллической до стекловатой, раскристаллизация базиса в некоторых образцах неравномерная. Отмечается глыбы и обломки с концентрическо-зональным строением. Снаружи они имеют тонкую стекловатую корку закаливания мощностью 1-2 см, характеризующуюся микропористой текстурой. Далее к центру следует более раскристаллизованная масса темно-серого цвета с буроватым оттенком. В центральной части порода обладает максимальной плотностью и окраска ее приобретает голубовато-зеленый оттенок. Характерна четкая граница серой окраски средних частей глыб и голубовато-зеленовато-серой центральных участков.

Породы среднего состава встречены в подчиненном количестве по отношению к основным и представлены андезитами, андезито-дацитами, дацитами, дацитовыми порфираторами, а также их туфами.

Андезиты установлены на восточном склоне возвышенности "Витязя" и имеют здесь, по-видимому, незначительное распространение по сравнению с более основными эфузивными породами, поскольку обнаружены в дражных пробах в виде единичных мелких обломков размерами до 10 см. Это серые, зеленовато-серые породы порфировой структуры с вкрапленниками плагиоклазов и, реже, пироксенов размерами до 2 мм. Текстура андезитов массивная, породы плотные.

Дациты встречены на станциях 1720, 1728 в виде мелких (до 10 см) угловатых обломков. Это породы светло-коричневого, до розоватого, иногда коричневато-сиреневого цвета. Структура породы порфировая, отмечается вкрапленники плагиоклаза. Порода, как правило, пористая, размеры пор не превышают первых десятых долей миллиметра. На стенках пор наблюдается желтоватый налет вторичных минералов.

Дацитовый порфир поднят на станции 1728 в виде небольшого уплощенного обломка размером 7 см. Это коричневато-сиреневая порода

с микрокристаллической основной массой и вкрапленниками плагиоклаза размерами менее 1 мм.

Туфы среднего состава подняты на станциях 1821 и 1730 в виде обломков различных размеров (до 25 см). Породы желтовато-зеленого, иногда сине-зеленого цвета, обломки с поверхности покрыты черным марганцовистым налетом. Среди вулканогенных пород среднего состава, распространенных на изученных участках, туфы резко преобладают, встречаются чаще и в больших количествах. Среди них выделяются в основном кристаллокластические разности с мелковзернистой псаммитовой структурой. Для большинства образцов характерна хорошо выраженная слоистость, обусловленная чередованием прослоев с обломками различной размерности от мелковзернистой (0,1 мм) до псаммитовой (1 мм). Отмечается хорошая сортировка обломочного материала в пределах прослоев. Кластический материал представлен обломками кристаллов полевых шпатов и кварца, в некоторых образцах присутствуют обломки пепловых туфов с микрозернистой структурой.

Породы кислого состава имеют подчиненное распространение. На возвышенности "Витязя" обнаружены 2 обломка липаритов (?) со следами окатанности, размерами 8 и 15 см. Порода порфировая, вкрапленники представлены плагиоклазом, кварцем, биотитом. Основная масса породы стекловатая.

Туфы кислого состава, судя по количественным соотношениям, имеют более широкое распространение. Породы лито-кристаллокластические, слоистые. Четкая параллельная слоистость обусловлена чередованием тонкозернистых и грубозернистых прослоев. Последние состоят из обломками от 1 до 15 мм, они наиболее мощные и плохо сортированные, мощность их колеблется от 2 до 5 см. Тонкозернистые прослои сложены песчанистым материалом, обычно хорошо сортированным, однородным. Мощность их не превышает 3 см, очень редко достигает

5-6 см. В последнем случае они уже не однородны и представляют собой чередование более тонких прослоев, но колебания размерности кластического материала не выходят за пределы первых долей миллиметра. Отмечаются тонкие прослои пеплового материала мощностью не более 1 мм.

Для суждения о возрасте описанных пород мы располагаем следующими данными.

1. Комплекс вулканитов кислого состава устанавливается в самой нижней части склона и учитывая весьма пологое залегание образованных вулканитами толщ, являются, вероятно наиболее древними.

2. Такое предположение подтверждается сходством кислых вулканитов с породами позднемеловой приморской свиты, а также их сходством с вулканитами, поднятыми с расположенной поблизости возвышенности Мусаси, для которых установлен калий-argonовый возраст  $77,8 \pm 3,0$  млн. лет. (Уиаза е.а., 1978).

3. Приведенным соображениям резко противоречит результат определения калий-argonового возраста липарита-дацита с возвышенности Витязя - 16 млн. лет (Евланов, Коновалов, 1978). Представляется, что надежность этого определения должна быть непроверена.

4. Калий-argonовый возраст туфов андезитов с возвышенности Витязя 24 млн. лет, а туфолов андезитов 32 и 53,2 млн. лет (Евланов, Коновалов, 1978).

5. Разальты и андезито-базальты в коренном залегании на возвышенности Витязя установлены только в верхней части склонов и пока предположительно считаются неоген-четвертичными.

На полигоне 31 при драгировании установлен комплекс вулканитов, в общем аналогичный вышеописанному комплексу на возвышенности Витязя (станции 1708-1713, суммарный интервал драгирования 2500-1150 м). Отличия сводятся к резкому преобладанию на полигоне 31 базальтоидов. Кроме того, здесь на станции 1709 подняты туфы андезито-базальтов -

угловатые обломки до 10 см в поперечнике. Это темно-серые с зеленоватым оттенком породы. Структура основной массы лito-витроклассическая, пирокласти образованы андезито-базальтами пористыми и стекловатыми. Кластический материал плохо сортирован, размерность его псаммо-исефитовая, отдельные образцы характеризуются однородной (псаммитовой) размерностью пирокласт. Поднятые на полигоне ЗI андезиты представлены массивным разновидностями зеленого ("табачного") цвета. Основная масса стекловатая, с мелкими выделениями оливина (?).

Возраст вулканитов с полигона ЗI пока устанавливается только при сопоставлении их с вулканогенными породами, установленными и предварительно изученными на возвышенностях Витязя.

На полигонах 30-А и 30-Б участки 9 и 10 были продрагированы небольшие подводные возвышности на склонах холоба Тояма (в порядке дополнения к работам, выполненным в ЗI рейсе НИС "Первенец"). Здесь на станциях 1784 (1850-1700) и 1785 (1750-1600) были подняты буровато-серые и бурье туфы и лавы среднего и кислого состава, аналогичные вулканитам, поднятым на смежных участках в ЗI рейсе НИС "Первенец". Среди туфов по данным Е.Н. Челикова (Берсенев и др., 1978) выделяются кристаллоклассические и кристалловитроклассические исефо-псаммитовые разности кислого состава. Литокласти в них образованы липаритами и, редко, - кремнистыми алевролитами. Кристаллокласти образованы полевыми шпатами. Лавы представлены андезито-дацитовыми порфирами со стекловатой слабо флюидальной основной массой, содержащей вкрапленники (до 1 мм) полевых шпатов. Кроме того, отмечаются обломки андезитовых порфиритов, основная масса которых тонкокристаллическая, участками стекловатая, с вкрапленниками (до 5 мм) таблитчатого плагиоклаза. Липаритовые порфиры сложены фельзитовой основной массой, содержащей многочисленные (до 60% общего объема

породы) вкрапленники измененных полевых шпатов и кварца. Описанные вулканиты сильно передроблены, по стенкам трещин окжелезнены.

Для сужения о возрасте описанных пород пока достаточных данных нет. По мнению многих специалистов - участников 30 и 33 рейсов НИС "Первекец", их можно сопоставить с вулканитами "формации зеленых туфов" Японских островов (олигоцен-миоцен).

На возвышенности Ямато кайнозойские вулканогенные породы пользуются очень широким распространением и неоднократно изучались здесь в экспедициях советских и зарубежных исследователей. Довольно полная характеристика этих пород содержится в сводке Б.И. Васильева с соавторами (1975). В 33 рейсе кайнозойские вулканогенные породы были подняты на участке 18 (станция 1827, интервал дренирования 770-700 м); на полигоне 14-Д (станции 1857 и 1858, интервалы драгирования соответственно 1420-1350 и 1500-1400); на полигоне 14-Г (станции 1847 и 1852, интервалы драгирования соответственно 740-700 м и 2400-2200 м); на участке 11 (станция 1805, интервал драгирования 1850-1750); на участке 12 (станция 1810, интервал драгирования 2200-2000) и на полигоне 28-Г (станции 1811-1825, суммарный интервал драгирования 1050-370 м). Поднятые на перечисленных станциях породы представлены кислыми, средними и основными разностями при преобладании последних.

Вулканиты кислого состава, представленные липаритами и их туфами, были установлены на единичных станциях на хребте Д. Ямато (полигон 28-Г и участок 12). Основная масса липаритов стекловатая, содержащая многочисленные кристаллиты, участками имеет вторичную перлитовую структуру. Вкрапленники образованы мелкими (1-2 мм реже - до 3 мм) оплавленными кристаллами плагиоклаза, калевого полевого шпата и кварца. Туфы коричневато-серые, обычно слоистые, псаммитовые и псевдо- псаммитовые, литокристаллокластические.

По мнению Б.И. Васильева, кислые вулканиты возвышенности Ямато

очень сходны с толщами краскинских липаритов Южного Приморья и могут условно датироваться эоценом-олигоценом. Однако, как отмечалось выше, в последние годы получены данные, позволяющие относить кислые вулканиты возвышенности Ямато (по крайней мере в какой-то части) к позднему мелу.

Залегающие выше вулканиты среднего и основного состава по мнению многих исследователей образуют непрерывный эволюционный ряд ~~—~~, завершающийся измияниями базальтов. По их данным (Сахно, Васильев, 1974; Васильковский и др., 1978 и др.) эти породы принадлежат известково-щелочной серии островных дуг, иногда с несколько повышенным содержанием щелочей.

Анdezиты и близкие к ним по составу разности, а также туфы анdezитов в целом аналогичны соответствующим породам, описанным выше в составе вулканогенного комплекса возвышенности Витязя. Базальтоиды возвышенности Ямато имеют обычно микропорфировую структуру с гиалопилитовой, реже-микролитовой и микродолеритовой структурой основной массы. Вкрапленники составляют не более 10% общего объема породы и представлены плагиоклазом (лабрадором № 57-60), моноклинным и (реже) ромбическим пироксеном.

Возраст вулканитов среднего и основного состава возвышенности Ямато устанавливается вполне достоверно как кайнозойский. (см. таблицу 4.1).

Таблица 4.1.

Изотопный возраст эфузивов возвышенности Ямато  
(по Б.Н. Васильеву и др., 1975)

№ № обр.	Характеристика пород	"Абсолютный" возраст (млн. лет)	
		2	3
443/1	Анdezит серый мелкокристаллический двупироксеновый		23

1	2	3
444/1	Базальт черный стекловатый оливиновый с многочисленными мелкими микролитовыми пустотами	46
444/2	Базальт черный тонкокристаллический пироксен-оливиновый с мелкими игольчатыми вкраплениниками плагиоклаза	46
444/6	Анdezит смоляно-черный стекловатый афи- ровый двупироксеновый	30
413/1	Туфобрекчия базальта	32
416	Базальт серый скорлуповатый оливин- пироксеновый	34

Как видно из вышеприведенной таблицы изяния андезитов и базальтов на возвышенности Ямато продолжались с эоцене до миоцена. Однако эту таблицу нельзя признать полной, ибо на возвышенности Ямато неоднократно поднимались характерные базальты, с которыми здесь и на других возвышенностях Японского моря связаны железо-марганцевые породы. Калий-argonовый возраст таких базальтов заключен в пределах 11-15,5 млн. лет и даже - 3,5 млн. лет (Съедин, Леликов, 1979). Таким образом, не исключено, что активный вулканизм в пределах возвышенности Ямато завершился в плиоцене - раннем плейстоцене (эоплейстоцене).

Б.И. Васильев (1975) считает, что описанные вулканиты среднего и основного состава на возвышенности Ямато могут быть подразделены на две толщи. Нижняя из них, образованная андезитами и их туфами, по его мнению аналогична кузнецковской свите южного Приморья и может условно датироваться палеоценом. Андезиты этой толщи состоят из мелких (до 0,2 мм) листов плагиоклаза и единичных зерен пироксена,

заключенных в гиалопилитовую основную массу. Туфы андезитов состоят из мелких обломков вышеописанных андезитов, обломков кристаллов плагиоклаза, кварца, будного минерала и эпидота, заключенных в сильно хлоритизированном пепловом цементе. В 33 рейсе подобные андезиты и их туфы поднимались на возвышенности Витязя совместно с неоген-четвертичными базальтоидами и, вероятно, образуют с ними единую толщу, хотя не исключено, что они залегают в основании разреза. Верхняя толща по Б.И. Васильеву, состоит из вышеописанных базальтоидов (включая также андезиты и их туфы), имеющих эоцен-миоценовый возраст.

На возвышенности Криштофовича вулканогенные породы были подняты на участке 2 (станции 1869 и 1870, интервалы драгирования соответственно 2100-2000 м и 1950-1800 м) и на участке 4 (станция 1867, интервал драгирования 880-800 м). Среди поднятых пород выделяются липариты, туфы кислого состава и базальтоиды.

Липариты были подняты на станциях 1869 и 1870 в виде угловатых обломков (оторванных от коренных выходов). Это серые, зелено-вато-серые и буровато-серые породы с четкой порфировой структурой. Большая часть вкрапленников в них представлена сплавленными трехграноватыми кристаллами калиевого полевого шпата. Размеры этих вкрапленников колеблются в пределах 1,4-2,8 мм. Кроме того, среди порфировых выделений отмечается кварц, а также сростки калишпата и пироксенов и, в единичных случаях, сростки калишпатов, пироксенов и плагиоклазов. Основная масса образована светлым и светло-коричневым стеклом, содержащим многочисленные кристаллиты.

На этих же станциях были подняты единичные угловатые обломки светло-серых кристалловиктрокластических псаммитовых туфов липаритов.

Базальтоиды были подняты на станциях 1867, 1869 и 1870, и представлены темно-серыми пористыми афировыми андезито-базальтами (?).

Подобные породы ранее (в 30 рейсе НИС "Первенец") поднимались в северной части возвышенности Криштофовича. В 33 рейсе аналогичные андезито-базальты были подняты также на небольшой подводной возвышенности несколько западнее возвышенности Криштофовича (участок I, станция 1873, интервал драгирования 1370-1250 м).

На возвышенности Глебова (участок 5) вулканогенные породы были подняты на станциях 1864 (1200-1100) и 1865 (860-760). Ранее эти породы поднимались здесь в 20 рейсе НИС "Первенец". Для базальтов возвышенности Глебова характерны крупные (до 4 мм) вкраплениники пироксена и оливина, погруженные в бурую основную массу с интерсертальной или гиалиновой структурой. Подобные базальты неоднократно, в том числе и в 33 рейсе (участок 15) поднимались на возвышенности Первенца, где их калий-argonовый возраст 12,5-3,5 млн. лет. На возвышенности Глебова кроме того были подняты обломки плотных светло-серых флюидальных пород, предварительно определенных как фонолиты.

На Восточно-Корейской возвышенности при дополнительном опробовании установленных здесь ранее фосфоритов на станции 1875 (1400-1300) из коренного выхода были подняты базальты. Это темно-серые пористые породы с порфировой структурой. Вкраплениники образованы плагиоклазом (№ 47-50), основная масса темно-бурая стекловатая с множественными кристаллитами плагиоклаза. Подобные базальты также отмечались среди неоген-четвертичных базальтоидов возвышенности Первенца и в других местах Японского моря.

#### 4.2.3.7 Ж е л е з о - м а р г а н ц е в ы е п о р о д ы и ф о с ф о р и т ы

Со многими неоген-четвертичными вулканическими постройками Японского моря пространственно и по всей вероятности генетически тесно связаны железо-марганцевые породы и фосфориты, которые впервые были установлены в предыдущих рейсах НИС "Первенец".

4.2.3.7.1 Железо-марганцевые породы в 33 рейсе были подняты на возвышенности Первенца (станции 1743-1746, суммарный интервал драгирования 2550-1500 м), на полигоне 29 (станция 1803, интервал драгирования 1800-1700 м), юго-западнее последнего полигона, на участке 12 (станция 1809, интервал драгирования 1200-1100 м) и на возвышенности Глебова (станция 1864, интервал драгирования 1200-1100 м). При этом только на полигоне 29 и участке 12 железо-марганцевые породы установлены впервые.

На возвышенности Первенца железо-марганцевые породы впервые были установлены в 20 рейсе НИС "Первенец" (Пущин и др., 1975) и изучались также в 21 рейсе того же судна (см. отчет по 21 рейсу НИС "Первенец"). Здесь И.К. Пущиным выделено 3 типа железо-марганцевых руд. К первому типу отнесены довольно рыхлые (легко разламываются руками) черные, в выветренном состоянии буроватые (за счет гидролизованных окислов железа) или зеленоватые (за счет глауконита) породы, представляющие собой сростки мелких (от нескольких миллиметров до 2-3 см) железо-марганцевых конкреций. Собственно конкреции твердые (разрушаются только молотком), с характерным внутренним строением (Пущин и др., 1975). Ко второму типу отнесены железо-марганцевые корки толщиной от нескольких миллиметров до 10-15 см, облягающие различные породы (базальтоиды и другие скальные, полускальные неогеновые породы и т.д.). Третий тип образован различными неоген-четвертичными породами, буквально пропитанными железо-марганцевым материалом, причем количество последнего иногда достигает 50-60% общего объема породы. Примером третьего типа железо-марганцевых руд могут служить туфы на склонах подводных вулканов, жерловые брекчии, сильно пористые базальты и пемзы и т.д. Имеются переходные разности между перечисленными типами руд. Исследования на других вулканических постройках в Японском море показали, что приведенная классификация железо-марганцевых руд выдерживается по

всей его акватории. Для уже проанализированных руд первых двух типов установлено высокое содержание марганца (до 42,2%) и низкое - железа (немногим более 2%). Дифрактомический анализ руд показал преобладающее распространение в их составе маршалита и ~~турмалина~~ турамитта (анализы выполнены в СВКИИ ДВНЦ АН СССР при содействии А.В. Розина). В 33 рейсе на возвышенности Первенца были подняты только тонкие (до 1,5 см) корочки железо-марганцевых пород, которые в настоящее время анализируются. Такие же корочки были подняты на участке 12 (станция 1809) и возвышенности Глебова (станция 1864).

На полигоне 29 (станция 1803) железо-марганцевые породы были подняты в виде обломков до 10-12 см в поперечнике, состоящих из мелких (до 3 см) сросшихся конкреций. Собственно конкреции твердые, на сколе с металлическим блеском, обычно скорлуповатые, реже радиально-лучистые. Промежутки между конкрециями заполнены сажисто-черным, полурыхлым железо-марганцевым материалом.

**4.2.3.7.2. Фосфориты** в 33 рейсе НИС "Первенец" были подняты повторно на вулкане Ченцова- участке в (станция 1876, интервал драгирования 1700-1600 м) и впервые установлены на участке 12 станции 1808 и 1810, интервалы драгирования соответственно 1900-1600 и 2200-2000 м) и на полигоне 14-Г (станции 1849 и 1850, интервалы драгирования соответственно 1350-1250 и 1250-1150 м).

На ст. 1876 драгой были подняты глауконитовые фосфатоносные пески, содержащие включения крупных обломков фосфоритов. Вместе с песками были драгированы плитки грубообломочных гидроэксплозивных туфов кислого состава. Обломки фосфоритов имеют округло-изометричную, угловато-изометричную, угловатую и остроугольную форму. Величина их варьирует в широких пределах, от сравнительно крупных обломков (14 x 9 x 4 см; 11 x 7 x 7 см; 10 x 6 x 5 см; 8 x 6 x 4 см; 8 x 5 x 4 см; 8 x 4 x 4 см; 8 x 3,5 x 4 см; 7 x 4 x 2 см; 6 x 5 x 2 см; 5 x 3,5 x 3 см) до мелкого щебня и песка. Преобладают остро-

угольные и угловатые обломки с темно-коричневыми полураковистыми и раковистыми блестящими поверхностями (глазированными). Эти обломки довольно крепкие массивные без заметных примесей глауконита. Округло-изометричные формы свойственны обломкам фосфоритов, содержащим до 40-50% зерен глауконита. Эти обломки менее крепкие, поверхности их матовые, бугорчатые. При ударе молотком они распадаются на округло-изометричные кусочки - отдельности, также имеющие неровные бугорчатые поверхности. Мелким частицам фосфоритов, щебенке и песку также свойственны подобные формы: округло-изометричные - для фосфоритов, обогащенных глауконитом, и остроугольные, нередко с режущими гранями - для массивных фосфоритов, несодержащих глауконита.

Окраска фосфоритов на свежем изломе от светло-бежевой до темно-коричневой. Характерна пятнистость, связанная либо с замещением фосфатом органических остатков и зерен глауконита, либо с взмучиванием и перемешиванием недостаточно литифицированного фосфатного вещества.

Содержание  $P_2O_5$  в двух образцах составляет 27,17 и 27,26%. Из двух образцов сделаны прозрачные шлифы. В шлифах видно, что фосфориты сложены почти изотропным скрытокристаллическим фосфатом, представленным, очевидно, фторкарбонатапатитом. В фосфатной массе рассеяно незначительное количество алевропелитовой примеси терригенного материала, зерна глауконита и глауконитизированные фрагменты губок и створки диатомей, глобулярный пирит, неопределенные (под микроскопом) пелитоморфные хлопьевидные образования, реликты породообразующего фито-и зоопланктона.

Среди терригенных частиц следует отметить преобладающее количество гидратированных чешуек биотита, редкие угловатые зерна волнистопогасающего кварца, единичные зерна альбита и андезина, хлорит, частицы гранитоидной породы.

Глауконит сильно фосфатизирован. Можно проследить все стадии его замещения, от почти неизмененного до полностью растворенного и замещенного фосфатом.

Для фосфоритов весьма характерна реликтовая диатомовая структура, просматривающаяся на многих участках шлифа. Фосфатизация, очевидно, протекала либо в диатомовых илах, либо в литифицированных диатомитах. Т.е. данные фосфориты являются мешасоматическими. Твердые и крепкие фосфориты после своего образования были разрушены и превращены в грубый щебень и песок. Наличие острых граней и раковистых изломов на поверхностях фосфоритовых обломков, отсутствие признаков окатанности, свидетельствуют не только в пользу эпизодичности движений, морского дна, но и в пользу взрывного характера этих движений. Обломки фосфоритов образовались, по-видимому, в результате дробления некогда существовавших на вулкане Ченцова мощных пластовых фосфоритовых залежей, которые, вероятно, были полностью уничтожены в один из этапов возбуждения активности этого вулкана.

Большой интерес представляют глауконитовые пески, содержащие в своем составе обломки и зерна описанных фосфоритов. Глауконит по отношению к фосфоритам по возрасту скорее всего более древний. В составе фосфоритов содержатся зерна глауконита, которые чрезвычайно похожи на глауконит из песка. В феврале м-це сего года в Институте океанологии АН СССР удалось посмотреть глауконит в сканирующем электронном микроскопе. Оказалось, что морфология частиц глауконита из песка и частиц глауконита из фосфоритов одинакова. Совместное нахождение глауконита с содержащими фосфоритами и глауконита в одном осадке можно объяснить их неоднократным подводным перемывом и переотложением. Т.е. фосфатоносный глауконитовый песок на северном склоне вулкана Ченцова образовался скорее всего в результате неоднократного подводного размыва и переотложения

разновозрастных минералогических ассоциаций. Этот процесс мог повторяться в разные отрезки геологического времени столько раз, сколько раз пробуждалась подводная вулканическая активность горы Ченцова. С каждым импульсом сейсмической активности эти смешанные пески неизбежно должны были спускаться все ниже по склону вулкана, а на более высоких уровнях могут сохраняться останцы материнских пород.

Глауконитовые фосфатоносные пески перекрыты более молодыми чрезвычайно маломощными грубообломочными гидротермально измененными подводными кислыми туфами. Они слагаются обломками пемзы, скементированными водонасыщенным мягким глинистым веществом с высоким показателем преломления. Плитки этих туфов имеют мощность 4–6 см. На нижней (лежащей на дне) стороне плитки (подошве) видны песчинки глауконита и зерна фосфоритов. Верхняя поверхность (омываемая придонной водой) ямчатая, образованная за счет вымывания обломков пемзы из цементирующего вещества. Цемент туфов дает слабую реакцию на фосфор. Содержание  $P_2O_5$  равно 0,31%.

На ст. 1808 (участок 12) были подняты три лепешковидные плитки фосфоритов размером 15 x 11,5 x 1 см; 18 x 6 x 1,5 см; 5 x 3,5 x 1,5 см, уточняющиеся к краям, и один угловатый обломок фосфорита 6 x 4 x 3 см. Поперечный распил плиток выявил реликты слоистости первичной породы, по которой прошла фосфатизация. На свежем изломе фосфориты имеют бежевую окраску, изменяющуюся к поверхности плиток на более темную с зеленоватым оттенком. В бинокулярную лупу видны очень мелкие дендритовидные выделения гидроокислов марганца. Из одного образца сделан химический и прозрачный шлиф. Содержание  $P_2O_5$  в этом образце 30,64%.

Фосфорит сложен неравномерно раскристаллизованным и неравномерно анизотропным фосфатом, по-видимому, фторкарбонатапатитом.

Фосфатная масса изобилует микропустотами разнообразной формы. Многие пустоты приурочены к полостям многочисленных створок крупных центрических форм диатомей и камерам единичных раковин фораминифер, находящихся в фосфорите в реликтовой форме. Хорошо видно, что фосфат выстилает стенки этих органических остатков в виде корочек толщиной 0,005-0,01 мм, сложенных неиндивидуализированными кристалликами веерообразногасающего лучистого фосфата. Позднее часть пустот была выполнена черными гидрокислами марганца. В краевых зонах образца, у поверхности плиток наблюдается глауконитизация фосфорита, имеющая вид "пятнистой пропитки". Глауконит проникает не только в видимые под микроскопом полости, но и образует пигментную примесь в краевой зоне образца, толщина которой измеряется 1-1,5 миллиметрами.

Таким образом, фосфатообразование протекало в органогенном осадке или в литифицированной органогенной породе, в составе которой главную роль играли панцири и створки диатомовых водорослей с подчиненным значением раковин фораминифер.

#### 4.2.4. Ч е т в е р т и ч н ы е      о т л о ж е н и я

В ходе 33 рейса было выполнено 74 результативных станций опробования четвертичных отложений. Из них 2 - прямоточными трубами ПТ, 17 - шельфовым пробоотборником ГСП-1 м и остальные - глубоководными пробоотборниками ПГП-2 и ПГП-3.

Пробоотборники ПГП-2 и ГСП-1 м позволяют поднимать колонки керна диаметром 98 мм. Использование вкладышей из стали исключает деформацию при извлечении керна из трубы, а применение полизтиленовых труб из пленки предохраняет керн от высыхания, деформации полужидких и мягких осадков, чужеродного загрязнения и в значительной степени уменьшает загрязнение нижележащих горизонтов материалом верхних. Деформация керна при внедрении пробоотборников зависит

от консистенции осадков, но и в полужидких - мягких осадках, судя по горизонтальной слоистости, деформируется только внешняя часть керна до 25 мм от края. В плотных осадках деформация уже почти не наблюдается.

Ни в одной колонке не отмечено явных признаков не вертикального внедрения пробоотборника. Во многих колонках имеются явные факты, указывающие на вертикальное внедрение пробоотборников, независимо от конструкции. Ниже, при описании наклонных границ и слоев дается угол между границей (слоем) и перпендикуляром к оси колонки.

При описании колонок часто говорится о консистенции осадка. Под ней подразумевается степень мягкости отложений. Ее подразделяют на:

полужидкую - осадок расплывается;

мягкую - не расплывается, легко режется ножом, продавливается пальцем;

плотную - с трудом режется ножом; пальцем с усилием можно сделать небольшое углубление;

очень плотную - с большим трудом режется ножом, пальцем не продавливается,

В тексте слово "консистенция" иногда заменялось словом "плотность". Опробование проводилось: в заливе Посьета, на материковом склоне вблизи о. Фуругельма, на основании материкового склона северного Приморья, на возвышенностях Витязя и Богорова, на островном склоне о. Хоккайдо (пол. 31), в желобе Тояма и на западных склонах возвышенностей Ямато.

В заливе Посьета были выполнены два профиля из 3 и 4 станций, параллельных ранее пробуренному (1977 г.) профилю из трех скважин в 3 и 5 км от последнего (приложение № 2). Помимо этого была сделана станция № 1877 непосредственно над скв. I-a (глубина до

дна 18,5 м). Эта станция дополнила разрез скважин, так как при бурении верхний горизонт 0-6,5 м поднять не удалось. Разрез станции 1877 представлен морскими отложениями фландрской трансгрессии голоцене. К сожалению, из-за аварии верхний горизонт водонасыщенных жидких илов мощностью около 20 см (возможно до 1 м) поднять не удалось. Отложения представлены алевро-пелитом (20-250 см), пелитом (250-470 см) и алевритом (470-495 см). Характерной особенностью разреза является резко неравномерное распределение ракуши: - 20-95 см единичная; 95-117 -2 прослоя из обломков крупных толстостенных пелиципод; 117-160 см - ракуши мало; 160-175 см прослой из битой мелкой ракуши, целые небольшие гастropоды; 176-190 см - единичная толстостенная ракуша; 190-250 см - скопление битой ракуши различных видов; 250-297 см редкие мелкие обломки толстостенной ракуши; 297-470 см - скопление ракуши, составляющей 60-70% от всего объема интервала 470-495 см - незначительное количество мелких обломков. По степени сохранности, размерам обломков и видовому составу раковин интервал 297-470 см также подразделяется на 5 слоев. Данная станция имеет большое значение, так как из поднятого здесь керна удалось отобрать 11 проб на радиоуглеродный анализ.

Профиль станций в бухте Рейд Наллада залива Посьета, от мыса Острено к мысу Неизменному, в 3 км к юго-востоку от профиля скважин, так же вскрыл морские предположительно голоценовые отложения (Приложение 10). Разрезы отложений на станциях в различной степени отличаются друг от друга, что объясняется удаленностью от берегов - от 500 до 2000 м и различным расположением относительно микроформ рельефа дна, от которых зависит осадкообразование. Станция 1748, расположенная вблизи п-ова Краббе,

в районе максимальных на данном профиле глубин - (24 м) вскрыла разрез сходный с вышеописанным на ст. 1877. Ракуша здесь распространена также неравномерно, но не в столь значительных количествах. Длина колонки 370 см.

Станция 1749, расположенная в центральной части профиля (глубина до дна 21,5) вскрыла алевро-пелиты с неравномерно распространенной ракушей мощностью 240 см. Ниже они переходят в пески среднезернистые, лейкократовые илистые с единичными мелкими обломками ракуши. Общая длина колонки 270 см. Станцией 1751, расположенной в 500 м от мыса Острено, вскрыт более сложный разрез предположительно голоценовых отложений. Он представлен чередованием песков, преимущественно мелкозернистых, илистых (три горизонта), и алеврита (два горизонта). В конце нижнего песчанистого горизонта появляется гравий и галька различной степени окатанности. В двух верхних горизонтах ракуша единичная, ниже ее количество резко возрастает, распространена неравномерно.

От бухты Рейд Паллада перпендикулярно материковому склону сделан профиль из 16 станций (приложение II). Семь из них расположены на шельфе, остальные на материковом склоне. Во всех колонках поднятых на шельфе верхний горизонт представлен песком мощностью от 10 см (ст. 1757) до 80 см (ст. 1756). Песок хорошо сортированный, среднезернистый, лейкократовый, илистость различная. Во всех колонках в песке обнаружена ракуша. Ее количество и видовой состав различны. Граница с нижележащим горизонтом во всех колонках резкая.

В колонке 1855, глубина 27 м, расположенной между мысами Дегера и Суслова на выходе из бух. Рейд Паллада под вышеуказанным песчаным горизонтом на глубине 24 см залегает алевропелит, постепенно переходящий книзу в крупный алеврит. В интервале

74-75 см встречен горизонтальный прослой илистого плохо сортированного, в основном, среднезернистого песка с небольшим количеством обломков тонкостенной ракуши (до 6 мм) плохой сохранности. Общая длина колонки 94 см. Особого внимания эта колонка заслуживает в связи с очень плотной консистенцией осадков, не свойственной голоценовым осадкам. Можно предположить, что это плейстоценовые отложения.

При рисовке изобат по отметкам глубин по морской карте № 769, залива Посьета, масштаба 1:50 000; на выходе из бух. Рейд Паллада по оси бухты выявляется возвышенность. Объяснить ее образование современными гидродинамическими процессами невозможно. Взятая на ней станция 1755 указывает на предположительно плейстоценовый возраст возвышенности. Исходя из изложенного можно предполагать, что при более низком уровне моря эта возвышенность отделяла акваторию бухты Рейд Паллада, превращая ее в лагуну.

В следующей колонке 1756 (глубина 36 м) под описанными выше илистыми песками расположена монотонная толща хорошо сортированных среднезернистых желтых не илистых песков с большим количеством преимущественно целых створок тонкостенных пелиципод двух видов. В нижней части встречаются обломки створок мактр. Общая длина колонки 290 см.

Колонки 1757 (глубина до дна 79 м, длина 500 см) и 1759 (глубина до дна 88 м, длина 225 см) вскрыли морские предположительно голоценовые отложения. На ст. 1757 они представлены крупным алевритом, а на ст. 1759 - алевро-пелитом. В обеих колонках по всему разрезу встречается ракуша. Распределена она неравномерно. В ст. 1757 толстенные обломки мидий, устриц и пектеков перемежаются с мелкими обломками тонкостенных раковин. В ст. 1759 обломки толстостенных раковин не отмечены. Помимо ракуши на ст. 1759 имеется растительный детрит, сконцентрированный в редких горизонтальных буровато-

коричневых прослояк мощностью до 1 см.

Между этими колонками расположена ст. 1758 (глубина 78 м, длина 445 см). Под горизонтом песка здесь залегает пелит с редкими темными (до черных) органогенными прослоями. В интервалах 165, 266 и 380 см отмечен растительный детрит. В отличие от описанных выше колонок на ст. 1758 единичная ракуша отмечена только в интервалах 280-300 и 360-390 см. Ракуша мелкая 2-3 мм, тонкостенная. Это указывает на иные, предположительно лагунные условия формирования вмещающих пород.

По заключению к.г.-м.н. Е.Г. Щвеева, сделанном на основании представленных ему остатков макрофaуны, верхний горизонт, вскрытый станциями 1755, 1756, 1757, 1758, 1759 и представленный песком, формировался в условиях открытого побережья. Залегающий под ним песчаный горизонт, вскрытый на ст. 1756, содержит фауну, характерную для мелководного залива. Отложения интервала 10-450 см колонки 1757 сформировались в глубоководной части залива, о чем свидетельствует состав отмеченных в этом интервале раковин. Нижняя часть (450-500 см) этой колонки, а так же отложения в интервалах 20-450 и 30-225 см колонок 1758 и 1759 содержат эстуарно-лагунные раковины.

В нижней части шельфа, вблизи бровки подняты две колонки 1760 и 1761. Станцией 1760 (глубина 180 м, длина колонки 5 см) расположенной дальше от материкового склона, поднят крупный алеврит с остроугольными обломками пористого базальта 2,5 x 4 x 5 см. Одна из сторон обломка обожрана. Поднятый крупный алеврит является, по-видимому, продолжением распространенного на шельфе песчаного горизонта. Станция - 1761 (глубина 180 м, длина колонки 435 см), представлена монотонным мелким алевритом с единичными обломками разложившейся древесины (до 6 мм) и редкой, преимущественно тонкостенной ракушей хорошей сохранности; встречаются целые раковины.

В интервале 85-95 см подняты 4 обломка до 3 см грубозернистого кварц-полевошпатового песчаника.

Верхняя часть материкового склона в месте пересечения его профиля имеет сложное строение. На глубинах 250-300 м идет крутой (около  $15^{\circ}$ ) склон, постепенно выполаживающейся книзу. На глубине 480 м он осложнен повышением до 420 м. Ниже идет ровный склон крутизной  $17^{\circ}$ . На глубине 1100 м он выполаживается до  $7^{\circ}$ . Материковый склон опробован до глубины 1360 м.

В верхней части материкового склона, вблизи бровки поднята колонка 1763 (глубина 238 м, длина 220 см) имеющая следующее строение:

0-12 см - песок мелко-среднезернистый илистый с единичной мелкой галькой;

12-25 см - пелит с микролинзами песка (до 2 см) мелкозернистого, сильно илистого. Границы линз постепенные.

В конце интервала - редкая кварцевая дресва (до 5 мм);

25-30 см - пелит со значительной примесью (около 25%) песка мелко-среднезернистого;

30-220 см - пелит. Песок отсутствует. В интервалах 35 и 45 см заполненные ходы илоедов. В интервале 30 см обломки гастроподы, 95 см - обе створки хорошей сохранности тонкостенной пелициподы. Плотность материала незначительная.

Ниже, на глубине 304 м (станция 1764) поднятая колонка, длиной 442 см. Осадки здесь представлены пелитом, который по цветовым оттенкам и текстурным особенностям можно разделить на 7 прослоев. В интервалах 7 и 50 см встречены единичные гравилинки разложившегося известняка диаметром 8 мм. В интервалах 40 и 110 см встречены мелкие, до 15 мм, обломки тонкостенных пели-

ципод плохой сохранности. На выложенном участке материкового склона, на глубине 420 м, отобрана колонна 1765 длиной 312 см предположительно, голоценовых морских отложений имеющая следующее строение:

0-20 см - алевро-пелит темно-серый;

20-24 см - песок мелкозернистый илистый серовато-зеленый. Верхняя граница резкая, прямая, наклонена к оси трубы под углом 15-20°, нижняя граница постепенная, горизонтальная;

24-147 см - алевро-пелит зеленовато-серый;

147-312 см - алевро-пелит с частыми (через 1,5-4 см) микрослоями крупно-алевритовой фракции.

Ракуша встречена только в интервале 47 см. Она представлена несколькими обломками (до 3 мм) тонкостенных пелиципод. В интервале 147 см встречена часть скелета (4 позвонка) камбалы (?). Сохранность костей хорошая. Консистенция осадков мягкая.

На крутом участке склона взяты две колонки - 1766 (глубина 515 м, длина 74 см) и 1767 (глубина 840 м, длина 90 см) предположительно средне-верхнелейстоценовых морских отложений и имеющих сходное строение. Они сложены пелитом серым, зеленовато-серым, очень плотным. В обеих колонках имеется редкая очень тонкостенная мелкая ракуша. Особого внимания заслуживает тот факт, что верхняя кромка керна в обеих колонках наклонена под углом 30° (1767) и 40° (1766) к оси колонки. Наличие слабозаметной горизонтальной (перпендикулярной к оси керна) полосчатости в колонке 1766 противоречит предположению, что пробоотборники воткнулись не вертикально. Окисленная, более желтая поверхность верхней керна со следами ходов ипоедов (в ст. 1766 многочисленные ходы диаметром 1-2 мм при глубине проникновения в грунт до 5 мм; в ст. 1767 - единичный ход диаметром 5 мм, противоречит предположению, что верхние горизонты керна при отборе были вымыты из пробоотборника.

В колонках 1768 (глубина 1150 м) и 1770 (глубина 1360 м) подняты сравнительно монотонные отложения, представленные пелитом.

В ст. 1768 (длина керна 387 см) на 340 см имеется наклонная под углом  $20^{\circ}$  граница смены оттенков серовато-зеленого пелита. На этой же границе наблюдается скачкообразное уплотнение осадка.

В целом осадок мягкий. На ст. 1770 (длина керна 200 см) плотность <sup>плотной</sup> возрастает постепенно, достигая консистенции. Вблизи ст. 1770 расположена ст. 1769 (глубина 1350 м), на которой поднято около 20 г песка лейкократового разнозернистого слабоилистого с дресвой и гравием (до 30% всей массы). Гравий и дресва состоят из кварца, мелкозернистого песчаника и слабо диагенезированных алевролитов.

Во всех колонках, поднятых на шельфе и материковом склоне, цвет осадков серый или серовато-зеленый, иногда темно-серый, до черного. Текстуры простые - массивная, неяснополосчатая и неясно- пятнистая, реже полосчатая. Пятнистость и полосчатость объясняется, как правило, включениями органических остатков, придающих осадкам более темную до черной окраску.

От возвышенности Витязя в сторону побережья северного Приморья, между пос. Пластун и пос. Ольга, выполнен профиль из семи станций (приложение 19). Одна из них (1734) взята у привершинной части склона небольшой возвышенности, расположенной между возв. Витязя и материковым склоном. Основание материкового склона опробовано шестью колонками на глубинах от 2920 м до 1170 м.

В районе профиля склон сравнительно круто, в среднем под углом  $7^{\circ}$ , повышается от 3300 м до 2150 м, где резко вылаживается до  $2^{\circ}$ . На глубине 1400 м он становится еще пологе - менее  $1^{\circ}$ .

Колонка 1734 имеет сравнительно сложное строение:

0-34 см - пелит зеленовато-серый, текстура массивная;

39-40 см - постепенное увеличение зернистости до песка мелко-зернистого, зеленовато-серого, илистого. В основании горизонта

много гравийки до 4-5 мм в диаметре;

40-55 см - пелит зеленовато-серый, светлый, текстура массивная. Верхняя граница четкая, ровная, горизонтальная;

55-76 см - песок разнозернистый, преимущественно крупнозернистый, сильно илистый с большим количеством мелкого гравия. В основании горизонта с галькой (до 4 см). Галька и гравий хорошо окатанные. Нижняя граница четкая.

76-138 см - пелит голубовато-серый, светлый. Текстура неясно- пятнистая. В интервале 95-100 отмечается большое количество пирокластики в виде алевритовых зерен. Нижняя граница резкая, неровная;

139-141 см - пелит бурый массивный. Нижняя граница резкая, горизонтальная;

141-177 см - аналог интервала 76-139. Горизонт.

150-153 - обогащен пирокластическим мелкоалевритовым материалом. Границы горизонта резкие, горизонтальные. Плотность осадков увеличивается к концу колонки до мягкой - плотной.

В нижней (крутоей) части материкового склона взяты две колонки 1735 и 1736, имеющие в целом сходное строение. Верхний горизонт мощностью 17 (ст. 1735) и 20 см (ст. 1736) составляет пелит буровато-зеленовато-желтый, светлый, текстура массивная (ст. 1735) и неясно-пятнистая (ст. 1736), обусловленная более желтыми пятнами, нечетко оконтуренными, горизонтально вытянутыми. В колонке 1736 на поверхности кромке керна лежит несколько обломков алевролитов слабодиагенезированных, ржаво-коричневого цвета. Нижняя граница горизонта на ст. 1735 постепенная, на ст. 1736 - резкая, неровная, наклоненная под углом 10°.

Ниже залегает пелит более темный, желтовато-зеленовато-серый.

Текстура неясно- пятнистая, обусловленная расплывчатыми пятью более светлой, как в вышележащем горизонте, окраски. Мощность этого горизонта 4-5 см. Нижняя граница четкая, ровная. Следов окисления на границе не отмечено. Ниже залегает пелит зеленовато-серый, более темный, чем вышележащие горизонты. Текстура массивная (ст. 1735) и неяснопятнистая (ст. 1736), обусловленная темными и более светлыми голубоватыми пятнами, иногда четко оконтуренными (6 x 10 мм), овальной формы<sup>ж)</sup>. В ст. 1736 на 116 см встреченена небольшая (30 x 4 x 5 мм) линза крупного алеврита, в котором преобладают темноцветные минералы. На ст. 1735 ниже этого горизонта, мощностью 78 см, залегает пелит, аналогичный описанному в интервале 0-17 см, но несколько более плотный. Верхняя граница этого слоя горизонтальная, ровная. Вскрыта мощность его 20 см. Общая длина колонки 1735-110 см. В колонке 1736 горизонт, аналогичный горизонту 100-120 см, колонки 1735 отсутствует. Общая длина этой колонки 150 см. Основной особенностью описанных колонок является очень большая плотность осадков, что сразу дало возможность предполагать их значительный возраст. → отличие от вышеописанных колонок 1706, 1703, 1704, 1705 (рис. 4.2.4-4) отложения в колонках 1735 и 1736 монолитны. Здесь отсутствует неоднородность материала по плотности.

ж) Не исключено, что описанные Ю.И. Берсеневым "пятна" являются переотложенными обломками неогеновых пород, которые и содержат приводящийся ниже миоценовый комплекс диатомей, а возраст осадков в целом гораздо моложе - в пределах эоплейстоцена - среднего плеистоцена (примечание И.К. Пущина).

И.Б. Цой изучалась диатомовая флора в образцах 110-100; 100-95, 35-27 и 15-10 ст. 1735. По ее заключению: "Выделенные диатомовые комплексы отличаются хорошей сохранностью, разнообразием и обилием диатомей. Комплексы диатомей, содержащиеся в этих образцах, практически аналогичны. Наблюдаемые изменения в численности отдельных видов (*Actinoptychus undulatus*, *Thalassionema nitzschoides* var. *obtusum*, *Coscinodiscus aff. vetustissimus*) могут быть объяснены скорее экологическими факторами нежели различным возрастом. Не вызывает сомнения миоценовый возраст, диатомовой флоры. Высокой численностью во всех образцах характеризуется миоценовый вид *Goniothecium tenue*. Часто встречается вид *Stephanoporus schenckii*, более характерный для среднего миоцена *Denticulopsis aff. hyalina*. Из других стратиграфически характерных для миоценовых видов следует отметить присутствие *Actinocyclus ingens*, *Coscinodiscus temporei*, *C. vetustissimus*, *Rouxia californica*, *Synedra jouscana*, *Hemiaulus polymorphus*, *Thalassiosira manifesta*, *Pterotheca kittoniana* v. *kantzschatic*". Для всех образцов характерны силикофлагеллаты. В 8 км выше по склону от ст. 1736, на перегибе склона, на глубине 2145 м взята колонка 1737, длиной 350 см, имеющая следующее строение:

0-155 см - чередование слоев от пелита до крупного алеврита. Цвет серовато-зеленовато-желтый. Местами наблюдается значительное количество песчинок, в верхней части колонки единичный гравий и галька. В интервале 40-42 см горизонт песка разнозернистого, преимущественно крупнозернистого, илистого, с большим количеством гравия. Этот горизонт очень напоминает горизонт 39-40 см на ст. 1734. Нижняя граница резкая, в целом горизонтальная, неровная; 155-294 см - чередование пелита с алевритом, как в вышележащем интервале, но окраска пород зеленовато-голубовато-серая. По всему

интервалу отмечается единичный гравий, в интервале 155-170 см - значительное количество песчинок, гравий и галька хорошей окатанности. Нижняя граница наклонена под углом около  $20^{\circ}$ , нечеткая - смешение материала;

294-302 см - пелит зеленовато-серовато-бурый, текстура массивная. Нижняя граница прямая, четкая, горизонтальная;

302-325 см - аналог интервала 155-294 см. Нижняя граница сравнительно резкая, горизонтальная;

325-331 см - алеврит мелкий с большим количеством гравия и гальки до 1,5 см, хорошей окатанности, цвет буровато-серый;

331-355 см - продолжение, гравий единичен.

Расположенная в 8 км выше по склону от ст. 1737 колонка 1738 (глубина до дна 1915 м, длина 385 см) имеет отличное от ст. 1737 строение:

0-7 см - пелит буровато-серый, текстура пятнистая, нижняя граница постепенная;

7-98 см - алевро-пелит зеленовато-серый, текстура неясно-полосчатая. В середине интервала единичная галька (15 см);

98-102 см - пелит переслаивание микрослоев (0,1-1 мм) темно-зеленого, светло-буровато-зеленого и серого цветов. Границы интервала четкие, горизонтальные;

102-109 см - пелит буровато-зеленый, темный, почти массивный - едва заметная тонкая слоистость. Нижняя граница четкая, горизонтальная;

109-287 см - аналог интервала 7-98 см. В интервале 121-197 см очень интересная текстура - проникновение на 55 см вглубь неясно-горизонтально-полосчатой толщи извилистой субверикальной полосы пелита шириной 3-4 см из вышележащего интервала (109-121 см), отличающегося более темной, пятнистой окраской. Нижняя граница резкая, наклонена под углом  $35^{\circ}$ ;

287-300 см - аналог интервала 102-109 см, нижняя граница горизонтальная. Примечательно, что в вышеописанной колонке 1737 на этой же глубине встречен схожий горизонт с наклонной верхней и горизонтальной нижней границами;

300-346 см - аналог нижней части интервала 121-197 см;

346-366 см - аналог интервалов 102-109 и 287-300 см. Микрослоистость в нижней части имеет угол наклона около  $30^{\circ}$ , в центральной части до  $45^{\circ}$ , затем выплаживается вверху до  $20^{\circ}$ . Верхняя горизонтальная граница срезает эту микрослоистость. Нижняя граница интервала параллельна микрослоистости - наклон около  $30^{\circ}$ . На границе охристый слой мощностью 2-5 мм;

366-385 см - аналог интервалов 121-197 и 300-346 см.

Исходя из вышесказанного по внешним признакам можно выделить три полных сходных ритма (7-109; 109-300; 300-366 см), перекрытых сверху (желтым слоем (7 см) современных осадков.

В колонке 1740, взятой в 22 км выше по склону от ст. 1738, на глубине 1395 м наблюдается более четко выраженное ритмичное чередование слоев. Выделяются ритмы 40-168; 168-305; 305-380 см. Нижний ритм вскрыт не до конца, а верхний (0-50 см) находится в начальной стадии формирования. Верхняя часть ритмов представлена пелитом голубовато-серым, мощностью от 50 до 100 см. Ниже залегает более темный, зеленовато-серый пелит мощностью от 12 до 20 см. Текстура слоев неясно- пятнистая. Переходы между слоями внутри ритма обычно постепенные, границы между ритмами резкие, горизонтальные. По всей колонке, особенно в нижней части ритмов, наблюдается значительное количество алевритовых, реже песчанистых частиц. В нижних частях ритмов единичный гравий и галька. В интервале 60 см обнаружена целая пелиципода (обе створки).

В расположенной на пологой части склона (углом менее  $1^{\circ}$ ), в 16 км от ст. 1740, на глубине 1170 м колонка 1741 вскрыта разрез осадков мощностью 440 см, представленных чередованием слоев пелита различных, преимущественно серовато-зеленых оттенков мощностью от 8 до 147 см. Всего выделяется 13 слоев. Границы между слоями, в основном, постепенные, исключение составляет четкая горизонтальная прямая граница на 269 см. Ниже этой границы (на 275 см) наблюдается выклинивание к осевой части колонки двух "клиньев" той же окраски, что и в интервале 249-269 см. Ритмичной слоистости в колонке не наблюдается. В нижней части колонки (со 160 см) встречается единичная мелкая галька и гравий.

В интервале 207-305 см наблюдается большое количество фораминифер.

Консистенция осадков в колонках 1737, 1738; 1740 и 1741 мягкая с незначительным постепенным уплотнением к нижней части.

Островной склон о. Хоккайдо. В отличие от выпуклого материкового склона северного Приморья островной склон о. Хоккайдо в районе расположения станций опробования (полигон № 31, приложения № 13 и 8) имеет в нижней части вогнутый, а выше (3000-1500 м) - прямой профиль. Крутизна его в месте расположения станций 1703-1706 составляет  $13^{\circ}$ . На склоне отобраны 4 колонки.

Верхняя колонка 1703 (глубина 1490 м, длина 170 см) имеет строение сходное с ранее описанной колонкой 1736. Верхние 3 см представлены пелитом бурого массивного мягким предположительно голоценового возраста. Нижняя граница резкая, неровная, горизонтальная. Ниже залегает пелит, очень плотный, испещренный трещинами диагенеза, делящими осадок на остроугольные отдельности (1-3 см в поперечнике). Трещины заполнены размягченным осадком того же цвета, что и отдельности. Так как в колонке нет горизонтальной слоистости или полосчатой текстуры нельзя полностью отрицать, что эти плотные осадки не являются переотложенными. Цвет

осадков различен: 3-20 см - светлый, желтовато-зеленовато-серый; 20-27 см - продолжение, но с буроватым оттенком; 27-170 см - зеленовато-серый, темный; верхняя граница резкая, горизонтальная, неровная. Текстура интервалов 3-20; 20-27 - массивная; 27-170 - неяснопятнистая, обусловленная темными редкими пятнами (1 пятно на 10-20 см длины плоскости среза керна). Пятна обусловлены продуктами разрушения обломков пемзы, сохранившейся в центральной части некоторых пятен. Максимальная величина обломков пемзы - 13 мм. Ниже по склону от ст. 1703, на ст. 1706 (глубина 19-10 м) взята колонка длиной 217 см. Ее разрез значительно отличается от вышеописанной колонки 1703. Мощность предположительно голоценовых и плейстоценовых отложений здесь достигает 157 см. Они представлены чередованием маломощных (до 10 см) слоев пелита и алевро-пелита, различающихся, в основном, цветовыми оттенками зеленовато-серых и голубовато-серых тонов. Границы преимущественно постепенные реже четкие, иногда наклонные (47, 103 см). В верхней части можно выделить ряд ритмов с уменьшающейся мощностью 9-40; 40-59; 59-76; 76-82; 82-85; 85-89. Обращает на себя внимание значительное количество неравномерно распределенных пемзы и широкластики в виде крупноалевритовых частиц. Встречаются также крайне неравномерно распределенные, в основном единичные, дресва, щебень, гравий и галька. В интервале 95-98 см помимо обломков пемзы различной величины встречаются обломки различной степени окатанности предположительно миоценовых осадков, описанных в колонке 1703. Ниже залегает горизонт (98-103 см) сильно обогащенный (около 10%) пемзой крупностью от кр. песка до мелкого щебня. На границе 103 см наблюдается по-видимому, значительный перерыв в осадконакоплении о чем говорит изменение в характере осадков, резкая граница и скачок в увеличении плот-

ности. Характерной особенностью интервала 103-157 см является наличие двух горизонтов (111-116 и 129-134), состоящих почти нацело из предположительно миоценовых обломков, схожих с нижним горизонтом ст. 1703. Обломки различной величины, в основном 3-10 мм, реже до 20 мм, остроугольные, скементированы размягченным пелитом того же цвета, что и обломки. Среди описанных обломков встречаются единичные обломки пемзы. Границы этих горизонтов резкие, горизонтальные. В окружающем горизонты алевропелите много мелкой пирокластики. Ниже 157 см залегает толща предположительно миоценовых осадков, вскрытая мощность их 60 см. Обломки пемзы отсутствуют. Исходя из обилия в средней части колонки пемзы и пирокластики можно предполагать, что во время образования этих осадков в данном районе происходила активизация вулканической деятельности, которая привела к землетрясениям и оползневым явлениям, сформировавшим горизонты 111-116 и 121-134 см. Не исключено, что нижняя часть колонки (157-217) является также переотложенной.

Ниже ст. 1706, на глубине 2350 м, взята колонка 1705 длиной всего 45 см, имеющая следующее строение:

0-5 см - щебень, дресва и песок, скементированные мягким пелитом, светло-желтым;

5-17 см - продолжение, но пелит почти исчезает, появляется большое количество глауконитового песка. Встречено несколько плохо-окатанных галек базальтоидов до 25 мм в диаметре;

17-32 см - продолжение, но глауконитовый песок замещается пелитом. В обломочном материале резко преобладают плохо-средне-окатанные обломки миоценовых (?) обломков много галек базальтоидов не выветренных, хорошо окатанных до 40-50 мм диаметром.

40-45 см - отложения предположительно миоценового возраста, аналогичные интервалу 157-207 см колонки 1706.

На глубине 3020 м, ниже по склону от ст. 1705, взята колонка 1704, длиной 100 см. Строение ее верхней части (~30 см) напоминает интервал 17-32 см колонки 1705. Ниже залегают, по-видимому, не переотложенные миоценовые (?) осадки, аналогичные вскрытым в интервале 27-170 см ст. 1703, но пемза в них отсутствует.

И.Б. Цой изучала диатомовую флору ст. 1703 (160-170; 30-60; 3-20); ст. 1704 (90-100; 7-30); ст. 1706 (205-217; 150-157; 140-145). По ее заключению в ст. 1706: "Комплект диатомей, обнаруженный в интервале 205-217 принадлежит к зоне *Denticula kantschatica*".<sup>0</sup> Об этом свидетельствует вид - индекс *Denticula kantschatica*. И появление ряда видов рода *Thalassiosira*, среди которых высокой численности достигает только *Thalassiosira aff decipiens*. Присутствие таких типично миоценовых видов как *Goniothecium temne*, *Symatotheca weissflogii*, *Rouxia californica* позволяют предполагать, что комплекс соответствует верхнемиоценовой части зоны *Denticula kantschatica*. В интервалах 150-157 и 140-145 комплексы диатомей аналогичны вышеописанному". В ст. 1703 "комплексы диатомей сходны с комплексами выделенными из колонки 1706, по аналогии с предыдущими их можно отнести к верхнемеловой части зоны *Denticula kantschatica*". В ст. 1704 "комплекс диатомей в интервале 90-100 соответствует зоне *Denticula hustedtii* (верхний миоцен). Найдки *Nitzschia rolandii* свидетельствуют о том, что это скорее самая верхняя часть зоны *Denticula hustedtii*. Комплекс диатомей в интервале 7-30 отличается от предыдущего более богатым видовым составом, но по руководящим видам практически аналогичен".

В.С. Пушкарь анализировавший диатомовую флору содержащуюся в аналогичных осадках на возвышенностях Витязя считает их миоценовыми. Но как отмечалось выше, не исключено, что диатомовые комплексы заключены в переотложенных в плейстоцене (?) обломках плиоценовых пород.

С подножья склона (гл. 3460 м) однотипна колонка 1702, 362 см. Она сложена пелитом образующим слои различной мощн., отличающиеся по цвету и текстурным особенностям. В колонке различаются две части - 0-106 и 106 - 362 см. В верхней части преобладают тонкие (до 15 см) слой преимущественно зеленовато-серых оттенком с зачастую наклонными границами. Нижняя часть колонки более монотонная, преобладают голубовато-серые оттенки. В интервалах 182-183 см прослой песка среднезернистого, хорошо сортированного, кварцевого. В интервале 271-273 см слой песка мелко-среднезернистого, илистого, темного. По всей колонке много фораминифер. Консистенция осадков мягкая, постепенно возрастающая к концу колонки. Текстуры неяснополосчатая, массивная и неяснояятнистая. Возраст осадков, вскрытых колонкой, вероятно не превышает 40-50 тыс. лет.

На северном хребте возвышенности Ямато были взяты три станции (на западном склоне в южной части возвышенности). Склон здесь прямой, крутизна 10°. Опробовался интервал глубин 1550-2080 м (приложение 14).

Колонка 1855, взятая в верхней части склона, имеет сравнительно простое строение:

0-4 см пелит зеленовато-бурый массивный с единичными фораминиферами (окисленный слой). Нижняя граница четкая;

4-25 см - пелит зеленовато-серый, текстура пятнистая, нижняя граница постепенная;

25-75 см - алеврит мелкий, в средней части интервала - крупный. По всему интервалу песчинки и единичный гравий до 4 мм. Гнезда крупнозернистого слабоилистого песка (30-32 см) и мелко-зернистого глинистого песка (48-50 см). Нижняя граница наклонная, извилистая с перемешиванием;

75-387 см - пелит темный, зеленовато-бурый. Текстура в интер-

вале 75-133 см - массивная, 133-200 см неяснослойстая, 200-387 см - неяснопятнистая. По всему интервалу большое количество спикул губок.

Осадок сравнительно быстро уплотняется от мягкого (0-4 см) состояния до плотного (75 см). Ниже изменение консистенции незначительное. Интересной особенностью данной колонки является вертикальный прямой ход илоеда, идущий по осевой части колонки в интервале 75-170 см. Ход хорошо заметен, так как заполнен алевритом интервала 25-75 см. Диаметр хода 6 мм.

В 2,5 км ниже по склону на глубине 1820 м взята колонка 1856, являющаяся наиболее представительной на данном профиле. В колонке выделяются две различных по своему строению части - 0-290 и 290-460 см. Верхняя часть представлена ритмично чередующимися слоями пелита. В верхней части ритма цвет зеленовато-голубовато-серый, ниже зеленовато-серый. В основании ритма наблюдается потемнение осадков. Текстура - пятнистая и неяснопятнистая. Границы между ритмами постепенные. Выделяются ритмы - 7-49; 49-110; 110-180; 180-263; 263-290 см. Нижняя часть колонки (290-460 см) представлена алевро-пелитом голубовато-серым, светлым. В верхней части интервала гравий и единичная галька пемзы (до 3 см), гнезда крупного алеврита - пирокластики (?). Текстура массивная. Консистенция осадков постепенно изменяется от мягкой в верхней части до плотной - очень плотной в нижней.

Колонка 1854 взята в 2,5 км ниже по склону от ст. 1856, на глубине 2000 м. Верхняя часть этой колонки (0-22 см) представлена полужидким пелитом темным, зеленовато-серым. На поверхности колонки - единичная галька пемзы буроватого цвета. Под этим слоем лежит слой пелита светло-серого мягкого с высоким содержанием фораминифер (22-52 см). Текстура пятнистая. Границы слоя горизонтальные, резкие. Ниже залегает ритмичная пелитовая толща сходная с верхней частью колонки 1856. В интервале 210 см

наблюдается прослой пирокластики и обломков пемзы до 2 мм.

Примечательно, что на верхней границе этой толщи наблюдается резкий переход консистенции осадков от мягкой к плотной - очень плотной.

На южном Ямато были отобраны 3 колонки (приложение 12). Две из них (1838 и 1839) взяты на северо-западном склоне возвышенности, а третья (1846), у основания западного склона. Склон в районе расположения колонок имеет сложный, в целом выпуклый профиль. Крутизна его в верхней части, где расположены стации  $-7^{\circ}$ , ниже до  $17^{\circ}$ . У основания крутизна склона составляет  $>7^{\circ}$ . Колонка 1839, взятая на глубине 810 м имеет длину всего 30 см. Строение ее следующее:

0-5 см - переслаивание песка среднезернистого слабоилистого с крутым алевритом, темноцветным. В верхней части редкий гравий. Нижняя граница резкая, наклонная;

5-12 см - алевро-пелит зеленовато-серый с микролинзами до 30 мм крупного алеврита. Много очень крупных (до 1 мм) фораминифер. Нижняя граница постепенная;

12-16 см - алеврит темный, зеленовато-серый с хорошо окатанным гравием пемзы и других пород (до 20-30% общего объема). В алеврите много спикул губок. В нижней части интервала встречен хорошо окатанный обломок ( $3 \times 3 \times 4$  см) пелита очень плотного голубовато-серого, окисленного с поверхности (возможно неогенового) и единичная галька песчаника ( $3 \times 2 \times 2$  см).

Нижняя граница условная - резкое увеличение крупности частиц;

16-30 см - песок мелкозернистый лекократовый, переходящий ( $\approx 25$  см) в гравелистый, в верхней части - с микролинзами или-стого песка (до 3 см). В нижней части интервала гравий занимает до 50% всего объема. Он в основном кварцевый, различный,

преимущественно плохой, степени окатанности. Здесь же гальки неогенового (?) пелита до 3 см.

Расположенная ниже по склону колонка 1838 (глубина 940 м) имеет несколько иное строение. Верхняя ее часть 0-45 см - аналог вышеописанной колонки 1839, но с уменьшением фракций осадков. Кроме того в ней отсутствуют обломки неогеновых (?) осадков. Ниже (45-135 см) залегает мелкий алеврит с микролинзами мелко-зернистого песка, переходящий в нижней части интервала в мелко-среднезернистый песок, слабоизвестный с микролинзами алеврита. По всему интервалу много обломков спикул губок (длиной до 30 мм). В интервале 116 см - единичная дресва.

Взятая у основания склона (глубина 1650 м) колонка 1846 представлена чередованием слоев пелита с голубовато-серой и зелено-вато-серой окраской различной интенсивности. Всего выделяется 36 слоев. Мощность их от 3 до 72 см. Ритмичность в распределении слоев не отмечена. Границы между слоями преимущественно постепенные. Резкие горизонтальные границы отмечены в интервалах 26; 74; 91; 200. В интервалах 374 и 415 см наблюдается четкие, но извилистые границы. Текстура пелита преимущественно неляснопяталистая, реже массивная и пятнистая. В интервале 230-400 см редкие мелкие (2-5 мм) обломки пемзы. В интервале 370-374 см скопление гравилин пемзы. В интервалах 145, 270-342, 590-591, 310-312, 400-415 см значительное количество пирокластических частиц - мелкий алеврит. В интервалах 74-91 и 150-162 см отмечено большое количество мелких фораминифер, а на 91 см обломок очень тонкостенной раковины (3 x 3 мм).

Консистенция осадков в этих колонках различная - в 1839 - между мягкой и плотной; в 1838 - в интервале 0-45 см - между мягкой и плотной, ниже плотная. В колонке 1846 консистенция мягкая, с очень постепенным уплотнением книзу.

Через желоб Тояма в ходе рейса были сделаны 4 профиля по 3-5 станций каждый (приложения 16, 17). Все станции за исключением ст. 1775 ( $10^{\circ}$ ), расположены на пологих (до  $1-2^{\circ}$ ) участках склонов желоба или на его днище.

На южном профиле с днища подняли (ст. 1779) около 400 г песка разнозернистого и алеврита. Преобладает мелкозернистый песок и крупный алеврит (частицы 0,05-0,1 мм) не илистый полимиктовый кварцевый, темноцветных (биотит, роговая обманка и т.д.) мало. Незначительное количество крупных песчинок - обломки сланцев. Радиолярии и фораминиферы отсутствуют. Найдена всего 1 створка диатомовых водорослей. Встречаются обрывки водорослей (1-2 мм).

В более северном профиле на станции 1774 поднято около 200 гр разнозернистого не илистого преимущественно мелкозернистого (0,1-0,15 мм) песка лейкократового, состоящего из кварца и биотита (около 5%). Кварц двух модификаций - остроугольный со стеклянным блеском и матовый со сглаженными углами. Редкие темноцветные представлены, в основном, роговой обманкой. Крупные песчинки - обломки сланцев. Диатомеи и радиолярии не отмечены, найден всего 1 обломок фораминиферы. Встречается большое количество обломков стеблей и листьев водорослей (до 2 мм).

На самом северном профиле колонкой 1799 (глубина 3190 м) получен несколько иной, более представительный разрез отложений днища желоба (приложение 16):

0-45 см - пелит зеленовато-серый, светлый, текстура массивная. В интервалах 36, 40; 44 - слабоаклонные ( $5-7^{\circ}$ ) прослойки более темного пелита и мелкого алеврита, разорванные вертикальным смещением амплитудой до 4 мм. В интервале 13-30 см тонкие (5-6 мм) слои и микролинзы песка разнозернистого, в основном -

крупнозернистого, лейкократового глинистого. Эти слои ориентированы как горизонтально, так и под углом (до  $35^{\circ}$ ). Границы их прямые или извилистые. Консистенция пелита между мягкой и твердой. Нижняя граница интервала резкая, прямая, горизонтальная;

45-140 см - песок средне - крупнозернистый лейкократовый слабоизвестный серый, преимущественно кварцевый.

Многочисленные колонки, взятые на склонах желоба представлены пелитом с единичными маломощными (до 5 см) прослойками алеврита, преимущественно кварцевого. Все колонки имеют сложное строение, обусловленное частым переслаиванием, преимущественно маломощных (5-20 см) слоев пелита; отличающихся окраской и текстурными особенностями. Границы между слоями как резкие так и постепенные, как прямые горизонтальные, так наклонные и извилистые. Ритмичность в расположении слоев, как правило, не отличается. Гравий и галька в колонках не отмечены. Почти во всех колонках наблюдаются слои с большим количеством фораминифер, в основном планктонных. Текстуры различные - пятнистая, неяснопятнистая, полосчатая, неяснополосчатая и массивная. Помимо этих простых текстур встречаются сложные текстуры, образование которых трудно объяснимо. Особенно это характерно для колонки 1801. Здесь в интервале 100-130 см например, наблюдается следующая картина - большое количество пятен (до 70 мм) пелита с четкими границами, отличающиеся оттенками серого цвета, образуют как бы мозаику. В нескольких пятнах имеется параллельная микрослоистость зеленовато-коричневого цвета, оканчивающаяся на границах пятен. Вероятно, что все эти микрослои во всех пятнах лежат строго горизонтально. Большинство границ слоев в колонке 1801 наклонены в одну сторону под углами  $15-45^{\circ}$ , преобладают углы  $30-40^{\circ}$ . Эти границы

иногда (126-140, 260-270 см) срезают горизонтальную микрослоистость. В интервале 126-200 см наблюдаются гидротектониты - темно-серые до черного органогенные микрослои мощностью до 4 см здесь деформированы вертикальными или наклонными нарушениями амплитудой до 5 см. Причем каждый микрослой деформирован по-своему - не параллельно нижележащему.

Консистенция осадков во всех колонках, отобранных на склонах желоба, за исключением ст. 1772, взятой на вершине вала, огаймляющего желоб, мягкая с незначительным уплотнением к низу. Возраст осадков, поднятых в этом районе вероятно не превышает 30-40 тыс. лет. (нижние горизонты ст. 1772 возможно древнее).

Из всего вышесказанного можно сделать вывод, что условия и скорости седиментации во всех описанных районах различны. Колонки взятые в одном районе, но на различных элементах рельефа или даже участке склона зачастую несопоставимы. Мощности одновозрастных отложений резко изменяются в зависимости от крутизны поверхности дна. Поэтому при отборе проб четвертичных отложений необходимо учитывать рельеф дна, так как построенные без его учета геологические и литологические карты четвертичных отложений будут в значительной степени не соответствовать действительности.

#### 4.3. Интрузивные породы

Интрузивные породы кислого и среднего состава были подняты с южных склонов возвышенности Витязя (полигон 13) и на нескольких станциях возвышенности Ямато (полигон 14-Г, 14-Д, участок 12).

На возвышенности Витязя еще в 20 рейсе ИМС "Первениц" были установлены контактово метаморфизованные песчаники и

алевролиты, что послужило основанием для предположения о присутствии здесь интрузивных пород (Берсенев и др., 1975). Это предположение подтвердилось в 33 рейсе, во время которого здесь на станциях 1728 (1860-1800 м) и 1729 (2030-1950 м) были подняты гранодиориты и их эндоконтактовые фации. На обеих станциях гранодиориты оторваны от коренных выходов.

Гранодиориты среднекристаллические, биотит-роговообманковые, обычно порфировидные, иногда полосчатые за счет обособленного распределения темноцветных минералов, собранных в субпараллельно ориентированные полосы и линзы. Порфировидные выделения (до 2,5 мм) образованы сильно социтизированным плагиоклазом. В основной массе плагиоклаз более свежий, представлен андезином ~ 30-35, иногда зональным. Общее количество плагиоклаза в породе 30-35%. Кварц довольно свежий, образует 25-30% общего объема породы. Темноцветные (зеленая роговая обманка и биотит) обычно хлоритизированы, составляют до 35% породы. С темноцветными ассоциируются редкий минерал и апатит. Отмечаются единичные ксеноморфные зерна решетчатого микроклина. Структура пород гипидиоморфозернистая, гранитовая.

Совместно с описанными гранодиоритами драгами подняты их мелкокристаллические разности и диоритовые порфиры. Последние вероятно представляют жильи эндоконтактовые фации или генетически связанную с гранодиоритами жильную серию.

Возраст гранитоидов с возвышенности Битязя устанавливается как мезозойский (позднемеловой?) только на основании сходства их по составу и структурным особенностям с позднемеловыми интрузивными породами Приморья.

На возвышенности Ямато интрузивные породы довольно разнообразны. Здесь они ранее поднимались в многих экспедициях советских и японских исследователей. Месяющиеся данные по интрузивным

породам возвышенности Ямато обобщены в работах В.И. Васильева и Н.В. Маркевича (1973), Е.Н. Леликова и В.И. Васильева (1974), В.И. Васильева и др. (1975) и Н.Н. Васильковского и др. (1978). В 33 рейсе ИИС "Первенец" были получены дополнительные данные о распространении интрузий гранитоидов на возвышенности Ямато и, кроме того, впервые в коренном залегании здесь были установлены интрузии среднего состава.

На участке 12, расположенном в северо-восточной части возвышенности Ямато, граниты были подняты на станциях 1804 (1750-1600 м), 1806 (1400-1300 м), 1807 (1500-1400 м) и 1808 (1900-1600 м), причем на станциях 1806 и 1807 граниты были оторваны от коренных выходов. Это серые, в выветренном состоянии с зеленоватым оттенком, среднекристаллические породы, состоящие из кварца (около 20%), плагиоклаз (до 50%) и роговой обманки (до 30%). Из акцессориев отмечены апатит и рудный минерал. Структура гипидиоморфозернистая, гранитовая. Плагиоклаз (олигоклаз № 26-28) образует таблитчатые зерна, обычно соссюритизированные. Роговая обманка зеленая, хлоритизированная. На станции 1807 были подняты единичные обломки гранодиорита, отличающегося от описанных гранитов более основным плагиоклазом (№ 30-32), повышенным содержанием амфиболя (до 40%) и пониженным - кварца (до 10%). Кроме того, в гранодиоритах отмечаются редкие чешуйки хлоритизированного биотита и политизированные зерна калиевого полевого шпата. На станции 1805 было поднято несколько угловатых обломков кварцевого диоритового порфирита, имеющего порфировую структуру и диоритовую структуру основной массы. Вкрапленники образованы призматическими зернами андезина (№ 32-35) и реже, сильно хлоритизированной роговой обманкой. Основная масса сложена плагиоклазом, промежутки между зернами которого выполнены кварцем. Последний составляет до 15% общего объема породы.

Описанные гранитоиды макро- и микроскопически аналогичны гранитоидам с возвышенности Ямато, которые Б.Н. Васильев выделяет в составе "четвертого комплекса". Данные о возрасте этих пород противоречивы. Е.П. Леликов считает, что они аналогичны гранитоидам с возвышенности Криштофовича, где из изотопный возраст 110-102,5 млн. лет (ранний мел). Сходные гранитоиды (также с возвышенности Ямато) по данным японских геологов имеют возраст 220, 215 и 195 млн. лет (Васильев, Маркевич, 1973), и по этой характеристике соответствуют позднепермским гранитоидам южного Приморья. На участке 12, как было отмечено выше, описанные гранитоиды четко метаморфизуют предположительно палеозойские песчаники и алевролиты.

На полигоне 14-Г (станции 1849 и 1850, интервал драгирования соответственно 1350-1250 и 1250-1150 м) были подняты диориты, входящие, вероятно, в единый интрузивный комплекс с вышеописанными гранитоидами, образуя одну из ранних фаз этого комплекса. Диориты представлены темно-серыми с зеленоватым оттенком среднекристаллическими разностями, состоящими из соссюритизированного плагиоклаза - андезина № 30-32 (до 60%), хлоритизированной и эпидотизированной роговой обманки (до 40%) и кварца (до 10%). Рудный минерал составляет до 2% общего объема породы. Описанные диориты на полигоне 14-Г прорывают предположительно палеозойские филлиты.

На этом же полигоне, на станции 1853 (1380-1280 м) были подняты розовые граниты, описанные Б.Н. Васильевым в составе "второго комплекса" пород возв. Ямато. Для этих гранитоидов по данным Е.П. Йашкова и Б.Н. Васильева (1974) характерно разнообразие фаций (граниты порфировидные и пегматоидные, плагиограниты, гранит-порфиры). Преобладающей разностью являются среднекристаллические лейкократовые разности (именно такие граниты и были подняты на ст. 1853). В составе их преобладает

олигоклаз частично замещающийся альбитом (до 60% общего объема породы). Калиевый полевой шпат обычно пелитизированный, с ленточными перфитами, составляет до 25% породы. На долю кварца приходится до 20% объема. Отмечаются редкие чешуйки мусковита. На этой же станции вместе с описанными гранитами были подняты грубо-зернистые гравелистые песчаники, содержащие обломочки этих гранитов. По ряду косвенных данных песчаники предположительно датируются палеогеном. По мнению Б.Н. Леликова и Б.И. Васильева (1974) розовые граниты "имеют некоторые сходство с позднеюрскими гранитами западного Приморья. Б.И. Васильев и др. (1975) в очерке геологического развития возв. Ямато относит эти граниты к позднему палеозою, хотя в этой же публикации авторы приводят результаты определения калий-органового возраста трех образцов розовых гранитов с возвышенности Ямато: 136, 110 и 128 млн. лет. Таким образом, время внедрения розовых гранитов, как и других интрузивных пород на дне Японского моря, четко не определено.

#### РЕЗУЛЬТАТЫ ГЕОФИЗИЧЕСКИХ ИССЛЕДОВАНИЙ

В 33 рейса было проведено непрерывное сейсмофилирование по ряду профилей на шельфе и материковом склоне залива Петра Великого, на возвышенности Червенца, в районе желоба Тояма и в небольшом количестве - на возвышенности Ямато. Проведенные работы не дали каких-либо принципиально новых данных, хотя отдельные результаты заслуживают рассмотрения.

В заливе Петра Великого наиболее ценная информация получена при пересечениях материкового склона и прилегающих областей глубоководной впадины (см. приложение 2).

Профиль 160-161 выполнен в западной части залива Петра Великого с выходом из глубоководной котловины в область шельфа. В начальной части профиля (в области часовых отметок 04-30-08-00) на глубинах 250-1000 м ниже поверхности дна уверенно прослеживается

поверхность акустического фундамента. По мере движения в сторону глубоководной впадины она испытывает постепенный подъем на 500 м в области 06-00 отметки, а затем вновь погружается до первоначального уровня. При приближении к подошве материкового склона, поверхность акустического фундамента плавно поднимается до временных глубин 2 и здесь почти обнажается на поверхности дна. Одновременно в самой толще акустического фундамента начинают проявляться отдельные элементы-границы пликативных структур.

На поверхности акустического фундамента, заполняя его неровности, лежит толща осадков несущая в себе большое количество акустических границ. Эта толща имеет весьма неравномерную мощность (от 250 до 800 мс) и прокизана многочисленными мелкими дислокативными нарушениями, иногда уходящими в толщу акустического фундамента.

Профиль 163-164 отработан в юго-восточном направлении от острова Фурунгельма до выхода в глубоководную котловину. На профиле верхняя граница акустического фундамента четко прослеживается от зоны шельфа вплоть до котловины. Она равномерно спускается в пределах временных отметок 1 - 3 с и представляет собой единую поверхность, лишь изредка нарушенную незначительными сбросами. Внутри толщи акустического фундамента на глубине от 2 до 5 с наблюдаются отдельные небольшие отражающие границы, дугообразной формы, имеющие выгиб в зоне бровки шельфа в сторону подошвы склона, а у подошвы материкового склона - в обратную сторону. Наиболее резонно предположить, что эти границы принадлежат докайнозойским пликативным структурам внутри акустического фундамента.

На эродированной поверхности акустического фундамента залегает стратифицированная толща более молодых осадочных образований. Их мощность колеблется в пределах от первых десятков до 750 мс с тенденцией убывания в сторону подошвы материкового склона. Однако, у самой подошвы мощность их возрастает, вероятно за счет оползне-

вых явлений. Далее по профилю, уде в ложе котловины, осадочный чехол вновь приобретает стратифицированный облик и равномерно наращивает мощность до 700-800 мс по мере того, как поверхность акустического фундамента опускается все ниже, доходя до отметки 4 с. Профили 164-165 и 166-167 выполнены в направлении с юго-запада на северо-восток (от котловины до краевой части шельфа). В целом они являются меридионально симметричными профилем +63-164, поэтому характер проведения между акустических границ на всех трех профилях подобен. Характерным для этих профилей является наличие еще одной акустической границы в толще акустического фундамента, регистрируемой на участке профиля от подножья материкового склона до краевой части шельфа. Отражающая способность ее незначительна и прослеживается она отдельными участками. Взаимоотношение этой границы с поверхностью современного акустического фундамента такое же, как последнего с поверхностью дна, т.е. она более крутое уходит на глубину и теряется на глубине в области 6 с.

Профиль 167-168 расположен в центральной части залива Петра Великого в направлении с северо-запада на юго-восток от краевой части шельфа до ложа глубоководной котловины. Поверхность акустического фундамента в пришельфовой части профиля четко не прослеживается и определяется лишь по ослаблению проникающей энергии излучения и соответственно ослабленным отражениям. Но к средней части материкового склона поверхности акустического фундамента начинает проявляться более четко из-за уменьшения мощности перекрывающих ее осадков и прослеживается далее по профилю вплоть до ложа котловины. Начиная от середины материкового склона и до его подножья эта граница выходит на поверхность дна и мелкими уступами спускается в сторону котловины.

Лишь на отдельных участках ее перекрывают незначительные по мощности и протяженности покровы более молодых осадочных образований. У подножья материкового склона поверхность акустического фундамента погружается под осадки глубоководной котловины и далее перекрывается чехлом этих осадков мощностью 0,5 м. Характер акустической границы при этом, как и на предыдущих профилях, не изменяется при переходе из области шельфа и материкового склона в область глубоководной котловины.

Перекрывающий акустический фундамент осадочный чехол представляет собой стратифицированную толщу мощностью от первых миллисекунд до 500 мс в котловине и 100мс в верхней части материкового склона и на бровке шельфа. Осадки этой толщи заполняют неровности в поверхности акустического фундамента. Обращает на себя внимание весьма резкая акустическая граница в начальной части материкового склона, лежащая несогласно с остальными акустическими границами в этой толще. Наиболее вероятно, что своим происхождением она связана ложу промоины, врезающейся здесь в толщу осадков.

Таким образом, рассмотрев в комплексе характер профилей, пересекающих материковый склон и прилегающие к нему участки глубоководной котловины, можно отметить следующее. Подавляющее большинство профилей (наиболее качественных и поэтому уверенно интерпретируемых) однозначно показывает, что толща акустического фундамента, лежащего в области континентального склона, начиная от бровки шельфа, разделяется на отдельные блоки вертикальными разломами. По линиям этих разломов внешние блоки оседают в сторону глубоководной котловине, иногда с наклоном оси блоков в сторону последней. Амплитуда этого опускания блоков по отношению к вышестоящим самая различная и колеблется

в пределах IPP-500 м. Значительно колеблется также и величина самих блоков. В самих блоков иногда наблюдаются разломы второго и третьего порядков, дробящие их на более мелкие блоки также смещенные относительно друг друга. Разломы имеют самое различное простирание. На профиле 155-156 отмечается еще одна характерная особенность в поведении акустических толщ. На фоне общей тенденции погружения акустического фундамента возникает его подъем на величину 1-1,25 с в виде двух плотно сомкнутых антиклинальных сооружений, образующих в разрезе двухвершинное поднятие с седловиной между ними. Эта седловина заполнена осадочными образованиями не имеющими четких акустических границ, а вся структура в целом перекрыта чехлом хорошо стратифицированных осадочных образований согласно облекающих поверхностей фундамента. В целом все сооружение весьма сходно с классическим разрезом эруптивного аппарата с кольдерой, возвышающимся на 600-700 м над общим уровнем дна в этом районе. Учитывая данные других геофизических исследователей, проведенных в этом районе (гравиметрия и гидромагнитометрия), можно с достаточной долей уверенности предположить, что на профиле 155-156 мы имеем разрез вулканического конуса.

На возвышенности Первенца, которая в утвержденной программе значилась как запасной полигон, было сделано несколько профилей ПСП (приложение 2). На всех профилях, захватывающих краевые части возвышенности и примыкающей к ней глубоководной котловины, акустический фундамент просматривается четко. В области котловины он залегает горизонтально под осадочным слоем мощностью 1,25 м. На примыкающих с юга участках глубоководной котловины непосредственно на фундаменте залегает слабостратифицированная толща мощностью 0,25 сек. Выше лежит толща акустически прозрачных осадков мощностью 0,4 сек. Разрез венчается четко слоистой толщей мощностью 0,6 с. В пределах возвышенности поверхность

акустического фундамента весьма неровная, верхняя его граница в пределах "выступов" выходит к поверхности дна. Слоистая толща здесь залегает между "выступами" фундамента и характеризуется сокращенной мощностью (от 0 до 0,4-0,5 сек.). Драгировки "выступов" фундамента, сделанные в 20, 21 и 33 рейсах НИС "Первенец", показали, что они сложены базальтоидами.

В районе гидротехногенного желоба Тояма (полигон ЗО-В) удалось довольно качественно сделать семь профилей АСП, ориентированных в целом вкрест простирания желоба (приложение 7). На всех этих пересечениях отчетливо фиксируется слоистая толща кайнозойских отложений, которая по отдельным, наиболее четко выраженным отражающим границам может быть подразделена на ряд подтолщ (по крайней мере - две: предположительно палеоген-миоценовую и плиоцен-четвертичную). На большей части всех профилей внутренние отражающие границы слоистой толщи ориентированы субгоризонтально (параллельно поверхности дна) или изогнуты над неровностями акустического фундамента, причем в последнем случае по мере приближения к поверхности дна первичный изгиб границ постепенно нивелируется. Общая временная мощность слоистой толщи заключена в пределах от 0,9 секунд (над участками прогиба акустического фундамента) до 0,2-0,3 секунды (над выступами акустического фундамента). В ряде случаев, преимущественно под осевой частью желоба, в слоистой толще отмечается нарушение сплошности отражающих границ, причем временная амплитуда относительного смещения слоев измеряется первыми сотыми долями секунды. В отдельных случаях такие разломы выходят на поверхность дна и выражены в микрорельефе последнего. Часто эти нарушения прослеживаются до поверхности акустического фундамента, но характер записи не позволяет однозначно утверждать, что они проникают глубже, продолжаясь в породах фундамента.

Поверхность акустического фундамента на всех профилях довольно расплывчата и обычно дешифрируется с трудом. Это объясняется, вероятно, достаточно высокой степенью литификации пород, залегающих в основании слоистой толщи и по этому признаку приближающихся к породам акустического фундамента. Поверхность фундамента или ровная, ориентированная горизонтально (профиль 74), или волнистая, иногда с резкими выступами (профиль 64, - вулканическая постройка?). В настоящее время, как отмечалось выше, есть две гипотезы о происхождении и развитии желоба Тояма. Сторонники первой из них утверждают, что желоб своим происхождением обязан деятельности суспензионных потоков. Согласно второй точке зрения желоб Тояма является выражением в рельефе дна системы разломов. Проведенные в ЗЗ рейсе исследования позволяют совместить обе точки зрения. По нашим представлениям желоб действительно возник в тектонически активной зоне и его положение и конфигурация во многом определяются разрывными нарушениями. Это подтверждается следующими факторами: 1) на ряде профилей к осевой части желоба приурочены зоны дробления пород, выявляемые геофизическими (НСП) методами; 2) при драгировании склонов желоба в З0 и ЗЗ рейсах НИС "Первенец" неоднократно поднимались сильно передролленные с зеркалами скольжения породы; 3) мощности слоев осадочной толщи по мере приближения к "каньону" в центральной части желоба обычно возрастают и непосредственно в зоне "каньона" слои несколько "задраны" вверх. Подобное явление вероятно можно объяснить только приняв следующую схему геологического развития. На первых стадиях здесь в зоне растяжения, происходило проседание морского дна, которое частично компенсировалось осадками. При этом мощность последних, как это обычно бывает, возрастила от склонов развивающейся депрессии к ее центральным частям. На последующих стадиях тектонического развития, направленность которого не изменилась, произошел разрыв сплошности слоев в приосевой

части желоба с образованием "каньона" (" 5) как отмечали многие исследователи, например ( 1973), желоб Тояма является продолжением наземной тектонической депрессии Фроса Магна.

С другой стороны, в 33 рейсе получены данные, позволяющие утверждать, что на поздних этапах развития желоба Тояма важную (если не решающую) роль сыграли суспензионные потоки. Это подтверждается следующими фактами: 1) каньон в центральной части желоба морфологически очень похож на русло реки, - инициализирует (при этом важно заметить, что на поворотах внутренние, выпуклые, берега-плоские, а внешние, вогнутые-круты, обрывистые), иногда, оседенно в северной ("придельтовой") части желоба отмечается деление каньона на несколько "проток" с образованием "островов"; 2) при опробовании четвертичных отложений трубками было установлено, что на склонах желоба (кстати, очень пологих) залегают глинистые осадки, а в его "русле" - только грубозернистые, часто гравелистые пески; 3) на некоторых профилях НСИ хорошо видно, что осевой каньон врезан в слоистую толщу, причем отражающие горизонты в последней совершенно не нарушены и прослеживаются с одного склона каньона на другой на одном уровне. Ниже "тальвега" желоба слои прослеживаются также непрерывно.

На возвышенности Ямато НСИ проводилось на северном склоне южного хребта (западная часть полигона 2<sup>б</sup>, участок 17) и в пределах полигона 14-Д, расположенного во владиме между северным и южным хребтом возвышенности.

На участке 17 НСИ проводилось с целью выявления места, наиболее благоприятного для драгирования с целью изучения разреза мел - палеогеновых отложений, которые здесь входят в акустический фундамент (Васильев и др., 1975). Всего на этом участке

было выполнено два профиля ПСР (приложение 9), положение акустического фундамента хорошо просматривается на обоих и подтверждилось драгировками. На одном из профилей (15.50-17.17) фундамент выходит на поверхность в интервале глубин 1470-800 м, на втором профиле (17.77-18.42) - в интервале 1300-800 м. Кроме мел-палеогеновых отложений в состав акустического фундамента на участке 17 входят также вулканогенные породы, образующие, вероятно, покровы общей мощностью в первые десятки метров. Залегающие выше слоистые неоген-четвертичные породы также характеризуются незначительной мощностью (0-20 м) в пригребневой части профиля, в прилегающей межгорной котловине мощность осадков достигает 1000 м (если принять скорость распространения звука в них - 2000 км/сек.).

На полигоне 14-Д также пройдено 2 профиля в субширотном направлении, на которых хорошо дешифрируются слоистая кайнозойская толща, залегающая на очень неповном акустическом фундаменте. Временная мощность слоистой толщи колеблется здесь от 0,8 сек на участках прогибов поверхности акустического фундамента до 0 сек и на участках выхода фундамента на поверхность. Какие-либо отражающие границы внутри акустического фундамента не дешифрируются.

## 6. РЕЗУЛЬТАТЫ ГЕОМОРФОЛОГИЧЕСКИХ ИССЛЕДОВАНИЙ

В процессе составления батиметрической основы для геологического спробования на полигонах были получены новые данные по геоморфологии дна изученных участков. В большинстве случаев геоморфологические исследования являлись продолжением аналогичных работ, проведенных ПСС "Первенцом" в предыдущих рейсах (полигоны 13, 29, 30 и 14Г и Д, 18В). И только на полигоне 31 геоморфологические исследования были начаты впервые в 33 рейсе. При состав-

лении батиметрических карт были использованы также данные АСН, выполненного в небольших объемах на полигонах 30В и 14Д. Ниже приводится краткая геоморфология всех изученных в ЗЗ рейсе полигонов.

Полигон 13 (приложение 3) охватывает юго-западную часть возвышенности Витязя, расположенную на северной границе Центральной котловины Японского моря. Вершина возвышенности представляет собой платообразную поверхность, наклоненную на юго-запад под углом 1-3°, местами - до 5°. Глубины над вершиной колеблются в пределах от 1300-1400 в северной и северо-восточной частях возвышенности до 1500-1700 в южной части. Поверхность вершины расчленена ложбинами шириной до 2-3 км и глубиной 50-100 м. Устья этих ложбин концентрируются преимущественно у западной окраины вершины. В южной части описанная поверхность осложнена небольшим возвышением (относительное превышение 150-200 м), вытянутым в широтном направлении на 5-6 км при ширине 2-3 км.

Склоны возвышенности асимметричны. Западный склон пологий (1-2° в нижней части и до 10° - в верхней); слабо выпуклый, в центральной части рассечен пологой ложбиной шириной около 5 км. Южный и юго-восточный склоны значительно круче (15-20°, в верхней части - до 30°), также выпуклые и рассечены пологими ложбинами шириной до 3 км. Подножия склонов четкие, на глубине около 3100 м они контрастно сочленяются с поверхностью Центральной котловины.

Полигон 14Г (приложение 4) расположен на северном хребте возвышенности Ямато. В юго-восточной части полигона несколькими галсами пересечена равнина межгорной котловины между северным и южным хребтами возв. Ямато. Поверхность этой равнины на глубине около 2050 м резко сочленяется с крутым (10-25°), местами обрывистым склоном, имеющим северо-восточное простирание. Ровка склона

размыта расположена на глубине 1000-1100 м. Описанный склон ограничивает выровненную поверхность шириной 30-40 км, простирающейся также в северо-восточном направлении. Глубины в западной части поверхности 800-900 м, в восточной - около 1000 м, т.е. поверхность слабо наклонена на востоке (точнее на юго-восток).

В центральной части полигона отмечен уступ высотой около 400 м, имеющий северо-северо-восточное простижение. Уступ крутой (до  $40^{\circ}$ ), местами обрывистый; разделяет описанную выше выровненную поверхность от сходной поверхности, но расположенной на глубинах 1600-1700 м. Последняя в южной и западной своих частях осложнена небольшими (ширина 4-6 км, длиной 10-16 км) поднятиями, возвышающимися над выровненной поверхностью на 150-300 м. Простижение этих поднятий субмеридиональное.

В западной части полигона последняя из описанных выровненных поверхностей на глубине около 1600 м плавно переходит в склон, который на глубине около 3000 м также плавно сочленяется с прилежащей глубоководной котловиной. Склон вытянут в субмеридиональном направлении, довольно извилистый, в верхней части крутой (до  $40^{\circ}$ ), местами обрывистый, в нижней части относительно пологий ( $2-4^{\circ}$ ).

Полигон 14Д (приложение 4) расположен между южным и северным хребтами возвышенности Ямато. Большая часть площади полигона занята равнинной межгорной котловиной, расположенной здесь на глубинах 1600-1800 м. В восточной части полигона намечается желобообразный прогиб поверхности котловины шириной около 12 км, ориентированный в северо-восточном направлении, параллельно простианию подножия северного склона южного хребта Ямато. Относительная глубина "желоба" около 100 м.

В центральной части полигона над поверхностью котловины возвышаются две небольшие горушки, с вершинами на глубине 1400 м.

В западной части полигона поверхность котловины на глубине около 1700 м плавно переходит в склон, который до глубины 2000 м имеет крутизну 3-5°. В интервале глубин 2000-2500 крутизна склона увеличивается до 10-15°, а с глубины 2500 склон вы полаживается и также плавно переходит в поверхность прилежащей глубоководной котловины.

Полигон 18-В (приложение 5) охватывает восточную часть возвышенности Криштофовича. В северной части полигона расположена слабо наклонная (1-2°) на северо-восток поверхность, глубины над которой колеблются 1900-2200 м. Ширина поверхности в пределах полигона 25-30 км. В западной части эта поверхность осложнена двумя отрогами хребта, расположенного в центральной части возвышенности Криштофовича. Оба отрога вытянуты в северо-восточном направлении и возвышаются над поверхностью на 400-600 м. Отроги разделены покрытообразной долиной, которая продолжается в пределах описанной поверхности, где глубина ее 50-100 м, а ширина колеблется в пределах 0-15 км.

Южная часть полигона занята плосковершинной возвышенностью, являющейся также отрогом хребта Криштофовича, но более крупным, чем вышеупомянутые.

Выровненная вершина возвышенности оконтуривается приблизительно по изобате 1000 м. Много-восточная часть ее опущена на 300-400 м, образуя наклонную террасу шириной 1-12 км. Верхняя часть этой террасы расположена на глубине около 1300 м, нижняя - около 1500 м. Северный и восточный склоны возвышенности крутые (5-10°, участками - до 30°), слабо выпуклые, расчлененные мелкими ложбинами. Бровка и подножие склонов преимущественно хорошо выражены, контрастные; подножия расположены на глубине 2000 м (северный склон) - 2500 м (восточный склон). Бго-восточный склон возвышенности более пологий (3-5° в верхней части, 20° -

в нижней), также выпуклый, с плохо выраженной бровкой и подножием, расположенным также на глубине около 2500 м.

Полигон 28-Г (приложение 6) расположен в восточной части хребта южного Ямато. Основную часть полигона занимает привершинная часть упомянутого хребта, состоящая из серии отдельных возвышенностей с превышениями над разделяющими их "седловинами" 300-350 м.

Форма отдельных возвышенностей изометрическая или слабо вытянутая преимущественно в северо-западном и субмеридиональном направлениях. Подножия их ограничиваются изобатами 600-700 м, вершины 400-500 м. Минимальные глубины на вершинах 330-350 м. Вершины обычно уплощенные, иногда с ненурообразными скалами высотой до 15 м. Ширина отдельных возвышенностей по изобате 700 м колеблется в пределах 8-15 км, а размеры привершинных площадок по изобате 400 м колеблются в пределах 2,5-5 км. Слоны возвышенностей обычно пологие ( $2-10^{\circ}$ ), в привершинной части более крутые ( $25-35^{\circ}$ ), с отдельными обрывами высотой до 40 м.

В пределах полигона 28-Г расположены верховья подводных долин, широко развиты на обоих склонах хребта Ю. Ямато. На исследованном участке эти долины имеют корытообразную форму, слабо вогнутый продольный профиль. Ширина долин по изобате 1000 м колеблется в пределах 4-7 км. Слоны пологие, (первые градучи, редко - до  $15^{\circ}$ ), ровные или слабо выпуклые, рассеченные мелкими поперечными ложбинами.

Полигон 29-ЗОВ (приложение 7) охватывает восточную окраину хребта Ю. Ямато и северную часть желоба Тояма.

В пределах хребта Ю. Ямато отмечен сильно расчлененный рельеф с относительными превышениями отдельных возвышенностей над разделяющими их подводными долинами до 700 м. В целом здесь закартирован фрагмент основного хребта Ю. Ямато и два его восточных

отрога. Основной хребет прослежен на расстоянии около 35 км в западной части полигона. Хребет простирается в северо-северо-восточном направлении. Также ориентирован и две слагающие его возвышенности имеющие по изобате 1900 м ширину 5 и 9 км и длину 10 и 12 км. Вершины возвышенностей уплощены, минимальные глубины здесь 1700 м. Западный склон хребта в целом пологий ( $3-5^{\circ}$ ), на отдельных участках (в верхней части) более крутой (до  $15^{\circ}$ ), с отдельными практически вертикальными обрывами высотой до 100 м. Подножие западного склона весьма расплывчато и расположено на глубине около 2550 м.

Отмеченные на полигоне 29-30В два отрога основного хребта отходят от последнего на восток и простираются в субширотном направлении на расстоянии 35 и 60 км. Подножия их в восточной части очень четкие и расположены на глубине 2700-2900 м. Склоны их довольно крутые ( $5-15^{\circ}$ , участками - до  $25^{\circ}$ ), выпуклые, рассеченные небольшими ложбинами. Привершинная часть отрогов выположена. Минимальные глубины здесь 1600-1700 на северном отроге и 1900-1800 м - на южном. Разделяющая отроги подводная долина шириной около 15 км по изобате 2500 м, имеет корытообразную форму. Приустьевая часть этой долины непосредственно примыкает к желобу Тояма.

Желоб Тояма на полигоне 29-30В прослежен на расстоянии около 230 км. В изученной части ширина желоба заключена в пределах 40-50 км. Склоны его очень пологие (около  $1^{\circ}$ ) и в ряде мест осложнены небольшими обособленными подводными возвышенностями - вулканическими постройками. К центральной части желоба приурочен небольшой, но очень отчетливо выраженный своеобразный каньон, именуемый в японской литературе " " (среди геологов - участников 33 рейса ИАС "Первенец" было в ходу название "осевой каньон", которое мы и будем употреблять ниже, при его описании). В южной изученной части (до широты  $40^{\circ}00'$ ;) общее

простирание желоба и его осевого каньона северо-восточное, около  $50^{\circ}$ . В северной части общее простирание меняется на северо-западное,  $330\text{--}340^{\circ}$ . В плане осевой каньон очень извилистый. Наиболее крутые ( $80\text{--}100^{\circ}$ ) изгибы каньона отмечаются через каждые 25-30 км, менее крутые ( $20\text{--}30^{\circ}$ ) - через каждые 10-15 км, местами через 4-5 км. Радиус кривизны достигает 5-3 км. Поперечный профиль осевого каньона в южной части преимущественно треугольный, в северной части - коры "ообразный". На крутых поворотах внешний склон каньона крутой, часто обрывистый, внутренний склон в этих местах пологий, иногда с четко выраженной террасовидной площадкой. В единичных случаях каньон раздваивается, а затем вновь сливается, образуя "острова". Характерной особенностью осевого каньона является превышение его бровки над прилегающей частью днища желоба. Эта форма микрорельефа несколько напоминает прирусловые валы, но, как было показано выше, отличается от последних происхождением (см. раздел "Результаты геофизических исследований"). Глубина вреза осевого каньона 100-150 м, длиже его в южной части полигона располагается на глубине 2570 м, в северной части - на глубине 3285 м. Уклон тальвега неравномерный: от 1-2 м до 6-7 м на километр. Склоны каньона довольно крутые ( $10\text{--}15^{\circ}$ , иногда до  $30^{\circ}$ ). Часто на склонах фиксируются обрывы высотой 30-100 м. Ширина каньона по его бровке колеблется в пределах от 3-5 км до 8-12 км.

Полигон 31 (приложение 8) расположен в северной части Японского моря, на северо-восточном склоне Центральной котловины. Большая часть полигона занята склоном, прослеженным на расстоянии около 30 км. Склон в южной и центральной частях полигона имеет приблизительно  $44^{\circ}15'$ , простирание его плавно

меняется на северо-западное. Бровка склона довольно четкая, расположена на глубине около 1150 м, подножие расплывчатое, глубина около 1150 м, подножие расплывчатое, глубина здесь около 350 м. Склон в верхней части слабо выпуклый или прямой, крутизна его здесь 20-25°, в нижней части - слабо вогнутый, крутизной 10-15°. У подножия склона отмечено желобобразное понижение дна Центральной котловины. Относительно последнего этот желоб имеет глубину около 250-300 м, ширина его в средней части по изобате 3400 м - 3 км.

В юго-западной части полигона отмечена выровненная поверхность, осложненная мелкими, различно ориентированными ложбинами. Северо-западная часть этой поверхности расположена на глубине 1100-1300 м, а юго-восточная часть - на глубине 1700-1800 м. Между этими уровнями фиксируется, довольно контрастный склон (Приразломный?) высотой около 400 м.

#### ЗАКЛЮЧЕНИЕ

Все работы, предусмотренные утвержденной программой ЗЗ рейса и дополнениями к ней выполнены. Сверх программы проведены рекогносцировочные исследования на ряде участков в северной части Японского моря, на возвышенности Ямато и в заливе Петра Великого. В ходе работ собран обширный, в значительной части новый материал по геологии дна Японского моря. Основные геологические результаты следующие:

1. На подводной возвышенности Витязя завершены полигонные геологические и геоморфологические исследования. В процессе драгирования здесь, кроме установленных ранее пород, впервые были подняты интрузивные породы.

2. Установлено, что в северной части Японского моря породы докайнозойского фундамента прослеживаются далеко на запад

от побережья материка и, вероятно, смыкаются с аналогичными породами Японских островов.

3. Собран дополнительный материал по геологии желоба Тояма, позволяющий по-новому решать проблему его происхождения и развития.

4. На возвышенности Ямато впервые в коренном залегании установлены регионально-метаморфизованные породы и интрузии среднего состава. В северо-восточной части возвышенности (между полигонами 28-Г и 29) также в коренном залегании выявлены граниты. На северном склоне Южного хребта составлен разрез мел-палеогеновых отложений.

5. Установлено определяющее значение в геологическом строении возвышенности Криштофовича регионально метаморфизованных пород.

6. Составлены разрезы четвертичных отложений с использованием пробоотборников новых конструкций. Получены существенно новые данные по стратиграфии и литологии антропогена на шельфе и материковом склоне залива Петра Великого, а также на некоторых подводных возвышенностях.

7. Выявлены новые участки распространения фосфоритов и собран дополнительный материал по фосфоритам, установленным ранее на вулкане Ченцова.

В ходе ЗЗ рейса в широких масштабах были проведены испытания пробоотборников новых конструкций и отработана методика опробования четвертичных отложений этими пробоотборниками. По сравнению с применявшимся ранее в ТОИ прямоточными трубками пробоотборники новых конструкций позволяли получать колонки осадков в среднем в два раза длиннее и в два раза толще. Большую помощь во внедрении новых пробоотборников в практику научных исследований оказал Ю.Л. Гаранько - конструктор этих приборов, участник ЗЗ рейса.

Предварительный анализ полученных в прошедшем рейсе данных позволяет сделать следующие рекомендации о некоторых направлениях дальнейших геологических исследований в Японском море:

- 1) Необходимо продолжить работы в северной части Японского моря и в первую очередь по субширотному разрезу, проходящему приблизительно через возвышенность Витязя. Безусловно полученные по этому разрезу данные существенно дополнят наши представления о происхождении и развитии Японского моря.
- 2) Необходимо провести полигонные работы на возвышенностях, расположенных между полигонами 28-Г и 29. Рекогносцировочные работы, проведенные здесь в ЗЗ рейсе, показали, что рельеф дна этого участка гораздо сложнее, чем изображенный на навигационных картах, а в геологическом строении участвуют докайновые осадочные породы и прорывающие их гранитоиды. Кроме того, здесь отмечаются неогеновые осадки, вулканогенные породы, железо-марганцевые и фосфоритовые руды.

Начальник ЗЗ рейса АМС "Первениц"

К. Г. - М. Н.

/И. К. Пущин/

## ЛИТЕРАТУРА

## А. ОПУБЛИКОВАННАЯ

Безруков П.Л., Петелин В.П. Руководство по сбору и первичной обработке проб морских донных осадков. В кн. Методика морских геологических исследований. Труды Института океанологии АН СССР, 1960, т. 34, с. 81-III.

Берсенев И.И. Опыт геологической съёмки материкового склона в пределах акватории залива Петра Великого (Японское море). В кн. Вопросы геологии дна Японского моря. Владивосток, 1973, с. 140-142.

Берсенев И.И., Ю.И. Берсенев, Е.П. Леликов, Ю.С. Липкин, И.К. Пущин, Е.П. Филатьев, Е.П. Терехов. Новые данные о геологическом строении дна Японского моря (по материалам 20-го рейса пис "Первенец"). В кн. Геология окраинных морей Тихого океана. Владивосток, 1975, с. 3-14.

Берсенев И.И., Липкин Ю.С., Сигова К.И. Разломы котловины Японского моря. В кн. Геология дна Японского и Филиппинского морей. Владивосток, 1978, с. 99-118.

Васильев Б.И., Маркевич Н.В. О геологическом строении возвышенности Ямато (Японское море). В кн. Вопросы геологии дна Японского моря. Владивосток, 1973, с. 58-65.

Васильев Б.И., Карп Б.Я., Строев П.А., Шевалдин Ю.В. Строение подводной возвышенности Ямато (Японское море) по геофизическим данным. Из-во МГУ, М., 1975, с. 1-96.

Васильковский Н.П., Безверхний В.Л., Деркачёв А.И., Евланов Ю.Б., Карп Б.Я., Коновалов Ю.И., Марков Ю.Д., Пискунов Б.И., Строев П.А., Филатьев В.П., Хведчук И.И., Шевалдин Ю.В. Основные черты геологического строения дна Японского моря. М., "Наука", 1978, с. 1-264.

Гаранько Ю.Л. Использование гидростатического давления для внедрения в донные отложения колонковых пробоотборников большого диаметра. В кн. Технические проблемы изучения минеральных ресурсов шельфа дальневосточных морей. Владивосток, 1977, с. 209-224.

Гаранько Ю.Л. Кантователь морских колонковых пробоотборников. Авт. св. СССР, № 21В49/02, 1978.

Гаранько Ю.Л. Опыт применения гидростатического пробоотборника для опробования донных отложений. В кн. Техника и технология геолого-разведочных работ. М., 1976, № 21, с. 1-12.

Еланов Ю.Б., Коновалов Ю.И. О вулканических комплексах подводных структур северной части Японского моря. В кн. Геология дна Японского и Филиппинского морей. Владивосток, 1978, с. 19-22.

Идельчик И.Е. Справочник по гидравлическим сопротивлениям. М., "Машиностроение", 1975.

Карп Б.Я., Моуравова Е.А. Строение земной коры Японского моря. В кн. Геофизические исследования в Японском море. Владивосток, 1972, с. 9-16.

Ковылин В.М., Строев Н.А. К проблеме образования впадины Японского моря (по геофизическим данным). В кн. Междунар. геол. конгресс, XXI сессия, доклады советских геологов. Палеонтология, морская геология. М., "Наука", 1976.

Кулинич Р.Г., Строев Н.А., Шевелдин В.В., Шаяхметов Р.Б., Ковылин В.М. О строении земной коры в западной части Японского моря. В кн. Геофизические исследования в Японском море. Владивосток, 1972, с. 24.

Леликов Е.П., Васильев Б.И. О гранитах подводной возвышенности Ямато (Японское море). В кн. Вопросы геологии и геофизики окраинных морей северо-западной части Тихого океана. Владивосток, 1974, с. 48-51.

Липкин Ю.С. Геоморфологическое районирование котловины Японского моря. В кн. Вопросы геологии дна Японского моря. Владивосток, 1973, с. 36-48.

Марков Ю.Д., Евсеев Г.Л., Карапуза Л.П., Троицкая Т.С., Царько Е.И., Чернобровкина Е.И. Голоценовые и верхнеплейстоценовые отложения Уссурийского залива. В кн. Геология окраинных морей Тихого океана. Владивосток, 1975, с. 127-143.

Меланхолина Е.М., Ковылин В.М. Тектоническое строение Японского моря. Геотектоника, 1976, № 4, с. 72-87.

Мечетин А.В., Рязанцев А.А., Карапуза Л.П., Гвоздева И.Г., Царько Е.И. О стратиграфии верхнеплейстоценовых и голоценовых отложений прибрежной зоны шельфа восточной части залива Петра Великого. В кн. Палеонтология и стратиграфия кайнозойских отложений Японского и Филиппинского морей. Владивосток, 1978, с. 84-89.

Минато М., Горай М., Фунакаси М. Геологическое развитие Японских островов. М., "Мир", 1968, с. 1-719.

Пущин И.К., Берсенев И.И., Берсенев Ю.И., Леликов Е.П., Терехов Е.П. О находке железо-марганцевых конкреций в северо-западной части Японского моря. В кн. Геология окраинных морей Тихого океана. Владивосток, 1975, с. 94-95.

Пущин И.К., Берсенев И.И., Берсенев Ю.И., Голубева Л.В., Карапулова Л.П. Верхнеплейстоценовые и голоценовые отложения материко-вого склона у побережья южного Приморья. В кн. Геология окраинных морей Тихого океана. Владивосток, 1975, с. 61-74.

Пущин И.К., Берсенев И.И., Долматова Л.М., Липкина М.И. Неогеновые отложения материко-вого склона у побережья Приморья. В кн. Геология окраинных морей Тихого океана. Владивосток, 1975, с. 35-45.

Пущин И.К., Болдырева В.Н., Ващенкова Н.Г., Горовая М.Т., Савицкий В.О., Цой Й.Б. Новые данные по стратиграфии неогеновых отложений материко-вого склона у побережья Приморья. В кн. Геологические исследования в окраинных морях северо-западной части Тихого океана. Владивосток, 1977, с. 77-90.

Сахнов Г., Васильев Б.И. Базальтоиды дна Японского моря. В кн. Вопросы геологии и геофизики окраинных морей северо-западной части Тихого океана. Владивосток, 1974, с. 52-55.

Съедин В.Т., Леликов Е.П. Базальтоиды центральной и юго-западной части Японского моря. В кн. Новые данные по геологии дальневосточных морей. Владивосток, 1979, с. 103-120.

Худяков Г.И. К происхождению донного рельефа впадины Японского моря. В кн. Вопросы геологии и геофизики окраинных морей северо-западной части Тихого океана. Владивосток, 1974, с. 17-25.

Hilde T.W., Wagoner J.M. Structure and origin of the Japan Sea. In: The Western Pacific island arcs, marginal seas, geochemistry. N.Y. (Gran-Russak Co.), 1973, p. 415-434

Honza E. (ed.) Geological Investigation of the Okhotsk and Japan Seas of Hokkaido. June-July, 1977, (CH77-3 cruise). Cruise Report H11, Geol. Survey, Japan, 1978, p. 72

Ingle J.C., Karig D.E., Bouma A.H., Ellis H., Haile H., Koizumi I., Ling H.Y., Mac Gregor J., Casey H., Ujiie H., Watanabe T., White S.M., Yasui M. In: In. Rep. of the DSDP, vol. XXXII. Washington, 1975, p. 23-468.

Koizumi I. Diatom biostratigraphy in the North Pacific region. Intern. Congress on Pacific Neogene Stratigraphy, 1-st, Tokyo, Proceedings, 1977, p. 235-253

Ludwig W., Murauchi S., Houts R. Sediments and structure of the Japan Sea. - Bull. Geol. Soc. Amer., 1975, v. 86, N5, p. 651-664.

Sakurai M., Taguchi H., Nagano M., Uchida M., Hamamoto F. Submarine geological structures and submarine canyons in the area north of Toyama Bay. - J. Geol. Soc. Jap., 1972, v. 78, N9, p. 475-484.

Vasilkovsky N.P., Khudyakov G.I., Kulakov A.F. To the origin of the Japan and Okhotsk Seas. - The eleventh Pacific Science Congress, Abstracts of paper, related with Geology and Scientific Information, Museum. Proceedings, v. 10. - Science Council of Japan, Tokyo, 1966, p. 2.

Vasilkovsky N.P., Udintsev G.B., Karp B.Y., Mouravova E.A. Japan sea - relict of Ocean. - Island arcs and marginal Sea. Tokai Univ. Press, Sudzuoka, 1971, p. 57-64.

Yuasa M., Tamaki K., Nishimura K., Honza E. Welded tuff dredged from Musashi bank, Northern Japan Sea and its K-Ar age. Journal of the Geological Society of Japan, v. 81, N7, July 1978, p. 375-377

#### Б. ФОНДОВАН

Берсенев И.И., Берсенев Ю.И., Леликов Е.П. и др. Отчет о геолого-геофизических исследованиях в 20 рейсе НИС "Первенец" (Японское море). Фонды ТОИ ДВНЦ АН СССР, Владивосток, 1974, 112 с.

Берсенев И.И., Берсенев Ю.И., Ващенкова Н.Г. и др. Отчет о геологических исследованиях в 7 (24) рейсе НИС "Первенец" (Японское море). Фонды ТОИ ДВНЦ АН СССР, Владивосток, 1975, 62 с.

Берсенев И.И., Ващенкова Н.Г., Леликов Е.П. и др. Отчет о геологических исследованиях в 25 рейсе НИС "Первенец" (Японское, Восточно-Китайское и Филиппинское моря). Фонды ТОИ ДВНЦ АН СССР, Владивосток, 1976, 61 с.

Берсенев И.И., Берсенев Ю.И., Башенкова Н.Г. и др. Отчет о геологических и гидрографических исследованиях в 28 рейсе НИС "Первенец" (Японское и Восточно-Китайское моря). Фонды ТОИ ДВНЦ АН СССР, Владивосток, 1977, 115 с.

Безверхний В.Л. Отчет о результатах геоакустических, магнитометрических и гравиметрических работ на япономорском шельфе (р-и заливов Сяухэ и Ольги) по договору с ТОИ ДВНЦ АН СССР. "Южморгео", Тихоокеанская экспедиция. Южно-Сахалинск, 1974, 50 с.

Васильковский И.П. и др. Отчет по теме "Комплексное геологогеофизическое изучение шельфа и континентального склона зал. Петра Великого". Фонды ТОИ ДВНЦ АН СССР, Владивосток, 1974.

Ковылин В.М. и др. Отчет о научных исследованиях в I-м рейсе НИС "Каллисто". Фонды ТОИ ДВНЦ АН СССР, Владивосток, 1974.

Липкин Ю.С., Уткин И.В., Гванов Ю.В. и др. Отчет о научных исследованиях во 2 (4) геолого-геофизическом рейсе НИС "Каллисто". Фонды ТОИ ДВНЦ АН СССР, Владивосток, 1976, 144 с.

Пущин И.К., Леликов Е.П., Берсенев Ю.И. Отчет о результатах геологических исследований в 21 рейсе НИС "Первенец". Владивосток, 1974, 25 с.

## Приложение I-Т

"Утверждаю"  
 Вице-президент АН СССР  
 академик А.В. Сидоренко

11 июня 1979 г.

ПЛАН - ПРОГРАММА

экспедиции Тихоокеанского океанологического  
 института ДВНЦ АН СССР в Японское и Восточно-  
 Китайское моря в 33 рейсе НИС "Первенец"  
 в мае-июле 1979 г.

"Согласовано"  
 Начальник ГС ТОФ  
 капитан 1 ранга Г.Ф. Баранов  
 "20 февраля 1979 г."

"Согласовано"  
 Председатель секции  
 геологии, геофизики и  
 геохимии океана  
 академик А.В. Пейзэ

## I. Основная задача экспедиции

Основной задачей экспедиции является изучение геологического строения дна Японского моря и трога Окинава в Восточно-Китайском море по проблеме 0.50.01, темы 01.02.01, 01.04.01, увязанным с международными проектами "Корреляции" (проект МИГК 73/1)41 "Граница неогена и квартера") и "Геодинамика", а также по проблеме 0.74.01, тема 05.05.к7 ("Палеосооceanология").

### I. I. Обоснование работ

Решение большинства вопросов, поставленных перед отделом морской геологии ТОИ ДВНЦ по проблеме 0.50.01 на текущую пятилетку в пределах дна окраинных морей Тихого океана возможно лишь при наличии сведений о их геологическом строении, а также крупно- и среднемасштабных батиметрических карт. До 1973 г. для Японского и Восточно-Китайского морей имелись данные об общем характере строения земной коры, полученные по единичным геофизическим профилям, а рельеф дна был отражен на мелкомасштабных навигационных картах схематично, а для многих районов - неправильно.

Отсутствие данных о геологическом строении и рельефе подводных возвышенностей позволило ряду исследователей (Н.Н. Васильковский и др.) считать глубоводные впадины указанных морей, как реликты Тихого океана, а подводные возвышности - как молодые, развивающиеся геоактиклинальные структуры. Другие исследователи рассматривали впадины окраинных морей с позиции гипотез базификации, рифтогенеза или новой глобальной тектоники.

Для сбора фактического материала о геологическом строении и рельефе дна Японского и Восточно-Китайского морей ТОИ ДВНЦ (ранее - Тихоокеанским отделением Института океанологии АН СССР) ежегодно проводились экспедиции, преимущественно на НИС "Первенец". В результате получены очень важные данные о геологическом строе-

ним и рельефе дна указанных морей в пределах отдельных подводных возвышенностей, вулканических построек, материковых склонов и желоба Тояма. Целью данной экспедиции является продолжение начатых ранее исследований.

**I.2.** Конкретными целями экспедиции являются:

**I.2.1.** Изучение разрезов голоценовых и верхнеплейстоценовых отложений путем отбора колонок и донных осадков пробоотборниками новых конструкций.

**I.2.2.** Изучение зоплейстоценовых и неогеновых отложений путем отбора проб горных пород драгированием и изучением условий их залегания непрерывным сейсмопрофилированием (НСП).

**I.2.3.** Изучение донеогенового консолидированного (акустического) фундамента подводных возвышенностей путем драгирования.

**I.2.4.** Изучение отдельных морфоструктур на основе средне- и крупномасштабных батиметрических карт, составляемых по эхолотным промерам и профилям НСП.

**I.3.** Основные этапы работ экспедиции

**I.3.1.** Общая продолжительность экспедиции 70 суток. Продолжительность автономного плавания судна до 25 суток, следовательно, экспедиция состоит из трех этапов с двумя заходами: в Хиннам и Вонсан (КНДР).

Первый этап: Владивосток-переход в северную часть трога Окинава, работа в троге Окинава, переход в порт Хиннам, стоянка в порту, всего 27 суток.

Второй этап: Хиннам - переход с отбором проб до желоба Тояма, работа в желобе Тояма, работа на Северном Ямато, переход в порт в Вонсан, стоянка в порту, всего 25 суток.

Третий этап: переход в северо-восточную часть Японского моря (полигон ЗI), работа на полигонах ЗI, I3 (возвышенность Витязя), всего 18 суток (приложение 1,2).

## 2. Техническое обеспечение работ.

Экспедиция выполняется на НИС "Червонец" водоизмещением 460 т, мощность главного двигателя 300 л.с., главный дизель-генератор 100 к.в. Судно оснащено РНС "Доран", РЛС "Дон", радиопеленгатором, глубоководным эхолотом Кельвин-Кьюз, траловой лебедкой грузоподъемностью 10 т., лебедками МК 1,2 и 0,2, аппаратурой сейсмоакустического профилирования типа "Спаркер" (находится в наладке). Скорость хода судна при 320 об./мин. - 8 узлов (при благоприятной погоде).

Оборудование судна позволяет устанавливать за jakiренные буи при глубине до дна до 1000 м, драгировать до глубин 220 м, отбирать колонки четвертичных отложений с глубин до 5000 м, выполнять профили НСП при глубинах до 1000-1500 м. Таким образом, судно пригодно для выполнения всех запланированных работ в Японском и Восточно-Китайском морях.

## 3. Структурная организация экспедиции.

Начальник экспедиции - зав. лабораторией стратиграфии и текtonики ТОИ ДВНЦ, доктор г.-м.н. Берсенев Игорь Ипполитович.

Общая численность экспедиции 14 человек. Экспедиция состоит из двух отрядов: геофизического (5 человек) и геологического (8 человек).

Геофизический отряд обеспечивает круглосуточную вахту на глубоководном эхолоте, вахту при геофизических работах, исправность эхолота и геофизической аппаратуры, составляет батиметрические карты полигонов, ведет текущую обработку геофизических материалов. Начальник геофизического отряда ст. инженер Чирва Сергей Владимирович.

Геологический отряд выполняет палубные работы: установку и снятие буев, драгирование, отбор колонок четвертичных отложений пробоотборниками, ведет документации образцов горных пород, следит за исправностью инструментов, тросов и т.д.

Начальник геологического отряда мл. научный сотрудник Коновалов Михаил Иванович.

4. Сведения по выполняемым работам.

4.1. Изучение четвертичных отложений выполняется для реконструкции палеосквозногических условий Японского и Восточно-Китайского морей (температуры, солености и др. параметров вод) на основе отбора колонок с последующим литолого-геохимическим, физическим и микропалеонтологическим анализом.

Отбор колонок производится четырьмя приборами: гидропоршневым пробоотборником ПГР-2, обеспечивающим отбор колонки диаметром 120 мм, длиной до 4-5 м, гравитационным пробоотборником ПГР-1 диаметром 203 мм и длиной отбора колонки до 3 м, пробоотборником - аналогичной конструкции ПГР-2 для отбора осадков длиной колонки до 1 м и прямоточной трубкой ПТ диаметром 110 мм длиной 2,5-3,0 м.

Первые два прибора применяются с трашовой лебедки, два последних - с лебедки МК 1,2.

В первом этапе рейса при переходе от Владивостока до Корейского пролива, при благоприятной погоде, отбираются пробы донных осадков приборами ПГР-2 (10 станций) и ПТ (5 станций) преимущественно вдоль меридиане  $131^{\circ}30'$ . В троге Окинава изучаются четвертичные отложения по 4 пересечениям от северной его части до траверза арх. Окинава с расстоянием между профилями 100-150 миль. Интервал между станциями будет зависеть от условий работы. На участках сильных струй течения Курошио отбор проб невозможен. В среднем на каждом профиле будет сделано по 3 станции ПГР-1 и ПГР-2 (приложение 3).

Во втором этапе проводится отбор проб при переходе Вонсан-полигон 30 (желоб Тояма) по галсу между пунктами с координатами  $38^{\circ}34'$  с.ш.  $129^{\circ}45'$  в.д. -  $38^{\circ}35'$  с.ш.  $137^{\circ}30'$  в.д. По этому галсу будет выполнено 6 станций ПГР на подводных возвышенностях, 9 станций ПГР-2 и 5 ПТ на возвышенностях и во впадинах.

В днище желоба Тояма планируется одна станция ПГИ, 2-ПТ и на прилегающих к нему с востока и запада участка трога Тояма по одной станции НГИ и 2-ПТ с каждого.

В северо-восточной части возвышенности Ямато (на полигоне 29) будет выполнено 3 станции НГИ и 3-НГР-2.

В третьем этапе на переходе Вонсан-полигон ЗI будет взято по 5 проб приборами НГР-2 и ПТ. На полигонах ЗI и 13 планируется выполнить по 5 станций НГИ и НГР-2.

#### 4.2. Геологические исследования.

В результате экспедиций, выполненных ТОИ ДВИЦ и другими организациями, выяснены основные черты геологического строения и морфоструктура дна Японского и Восточно-Китайского морей и изучены в среднем масштабе ряд подводных возвышенностей. Однако, фрагментарный характер полученных данных не позволяет составить даже мелкомасштабные геологические, тектонические, палеогеографические и другие карты дна указанных морей, необходимые для решения ряда тем по проблемам 0.50.01 и 0.74.01. В данном рейсе будут проведены исследования на 6 полигонах (приложение 4).

В первом этапе проводятся работы в троге Окинава в районе полигона II. Этот полигон изучался в 28 рейсе НИС "Первенец". Полигон имеет площадь 2520 м<sup>2</sup> и ограничен координатами 26°10' - 26°35' с.ш., 124°50' - 125°34' в.д. На полигоне проведены эхолотные промеры, драгирование и составлена батиметрическая и геоморфологическая карта. В данном рейсе планируются профили НСП, что облегчит корреляцию станций драгирования, составление схематической стратиграфической колонки.

При переходе от полигона II в Аянам, при благоприятной погоде, будет проведено драгирование на полигоне 12 (координаты 29°54' - 30°10' с.ш., 128°07' - 128°43' в.д.). Этот полигон изучался

в 30 рейсе, но работы не были завершены из-за недостатка времени.

Во втором этапе работы проводятся в пределах желоба Тояма (полигон 30-В), в северо-восточной части Южного хребта Ямато (полигон 28-Г) и в северо-восточной части возвышенности Ямато (полигон 29). Желоб Тояма является уникальной морфоструктурой дальневосточных морей. Он прослеживается от одноименного залива о. Хонсю до Центральной котловины почти на 600 км. Желоб был пересечен несколькими профилями НСП, выполненными американской экспедицией на б/с "Гломар Челленджер", в 30 рейсе ИИС "Первенец" обследован участок 112 км в его южной части. Единого мнения о его происхождении нет. Считалось, что он образовался в результате размыва дна мутьевыми потоками, авторами отчета по 30 рейсу высказана гипотеза его тектонической (рифтогенной) природы, а мутьевые потоки имеют второстепенное значение. В рейсе изучение желоба будет продолжено. На южном участке, в пределах полигона 30 (координаты  $38^{\circ}30'..38^{\circ}40'$  с.ш.,  $137^{\circ}25'..137^{\circ}45'$ ) со дна желоба будут отобраны колонки прибором НПН (см. раздел 4.1.) и проведено драгирование его крутых склонов.

Морфоструктура желоба к северу от полигона 30-Б в пределах площади:  $39^{\circ}15'..40^{\circ}40'$  с.ш.,  $137^{\circ}0'..138^{\circ}0'$  в.д., будет изучаться на полигоне 30-В промерными галсами, проходящими преимущественно поперек желоба через 6 миль.

В северо-восточной части возвышенности Ямато ранее, в 29 рейсе "Первенца", проведены исследования лишь на одном полигоне, площадью 412 км<sup>2</sup>. В данном рейсе планируется батиметрическая съемка полигона 29 в пределах площади, ограниченной координатами  $39^{\circ}50'..40^{\circ}20'$ ,  $136^{\circ}40'..137^{\circ}30'$ . Галсы прокладываются через 3 мили со сгущением до 1,5 мили на участках сложного рельефа. Галсами пересекается возвышенность до подножия ее склонов. Крутые склоны при глубинах менее 2000 драгируются. Промеры на полигоне 29 будут увязаны

с промерами полигона 30-В.

Полигон 28-Г будет разбит в восточной части южного хребта Ямато. В этом районе работы не производились. В 30 рейсе "Первенца" при маршрутном промере на платообразной поверхности возвышенности были обнаружены подводные скалы (кекуры). Здесь будет разбит полигон в пределах координат  $39^{\circ}25\text{--}39^{\circ}40$  с.ш.,  $135^{\circ}20\text{--}136^{\circ}0$  в.д. На полигоне будут пройдены промерные галсы и галсы НСП через 3-6 миль, затем установлен за jakiоренный буй, пройдены промерные галсы через 1-2 мили и продрагированы кекуры.

В третьем этапе работы проводятся в северо-восточной части Японского моря на полигонах 31 и 13. Полигон 31 будет разбит на безымянной банке с отметкой 160 м и ее юго-западном склоне в районе, ограниченном координатами  $44^{\circ}15\text{--}44^{\circ}30$ ,  $139^{\circ}10\text{--}139^{\circ}30$ . Ранее геологические исследования здесь не производились. На полигоне планируется эхолотные промеры, сейсмопрофилирование, драгирование, отбор колонок четвертичных отложений.

Полигон 13 охватывает южную часть возвышенности Витязя и ее склоны до края абиссальной равнины и находится в пределах координат:  $43^{\circ}50\text{--}44^{\circ}10$ ,  $137^{\circ}50\text{--}138^{\circ}30$ . В этом районе ранее были обследованы два небольших участка на западном и юго-восточном склонах возвышенности и установлено сложное геологическое строение этой морфоструктуры.

#### 5. Ожидаемые результаты работ.

В результате выполнения работ, предусмотренных настоящей программой, будет получен фактический материал по геоморфологии и геологии ряда морфоструктур. В Японском море будет завершено изучение подводной возвышенности Витязя и желоба Тояма в масштабе 1:200 000, продолжено изучение возвышенности Ямато, начато изучение возвышенностей и его северо-восточной части.

В троге Окинава (Восточно-Китайское море) завершено изучение траверза от островов Тайра, Наконасима (арх. Токара) до материального склона и продолжено изучение траверза к северо-востоку от островов Секиби, Мицко.

Эти данные позволяют начать составление геологических и др. карт мелкого масштаба дна Японского моря и схематических карт трога Окинава, необходимых для отчетов по темам, предусмотренным на конец текущей пятилетки.

#### 6. Отчетность.

После окончания экспедиции в месячный срок составляется информационный отчет и рейсовый отчет капитана, которые представляются в Океанографическую комиссию АНЦ и в Центр морских геологогеофизических данных (Рига, Лача 5). Материалы эхолотных промеров в месячный срок представляются в Отдел гидрографии ТОФ.

Научно-технический отчет экспедиции представляется в течение 6 месяцев в Центр морских геологических данных (226318, Рига, Дацплеша, 13).

7. Участие иностранных ученых и международные связи в рейсе не предусматриваются.

Председатель Президиума,  
академик

П.А. Шило

Директор ТОИ  
член-корреспондент АН СССР

В.И. Ильин

*Комиссия берега  
Д.Д. Дудин*

(Приложение 2  
к приложению 1-Т)

## Расчет времени работы экспедиции

Н/п	Наименование операции	Расстояние (миль)	Суток	Работы на станциях	Всего (суток)
I	2	3	4	5	6
<u>I этап</u>					
I. Переход Владивосток-тропок					
1. Окинава	830	4,3	1,4		5,7
2. Галсы в тропе Окинава	560	3,0	2,5		5,5
3. Работа на полигоне II	-	-	3,5		3,5
4. Переход полигон II - пол. 12	290	1,5	-		1,5
5. Работа на полигоне 12	-	-	0,5		0,5
6. Переход полигон 12 - Хиннам	730	3,8	-		3,8
	2410	12,6	7,9		20,5
7. Стоянка в порту Хиннам	-	-	-		2,5
8. Резерв на штормовую погоду	-	-	-		4,0
Всего:					27,0
<u>II этап</u>					
I. Переход Хиннам - полигон 30					
2. Работа на полигоне 30, 30-А	-	-	1,5		1,5
3. Работа на полигоне 30-Б	-	-	2,5		2,5
4. Переход полигон 20-Б -					
полигон 29	30	0,1	-		0,1
5. Работа на полигоне 29	-	-	5,0		5,0
6. Переход полигон 29 пол. 28-Г	30	0,1	-		0,1
Работа на полигоне 28-Г	-	-	3,0		3,0
Переход полигон 28-Г - порт					
Вонсан	380	2,0	-		2,0
	940	4,7	14,5		19,2
Стоянка в порту Вонсан	-	-	-		2,8
Резерв на штормовую погоду					3,0
Всего:					25,0

1	2	3	4	5	6
<u>III этап</u>					
1. Переход Вонсан - полигон 31		620	3,3	1,0	4,3
2. Работа на полигоне 31		-	-	4,0	4,0
3. Переход полигон 31 - пол. 13		40	0,2	-	0,2
4. Работа на полигоне 13		-	-	2,8	2,8
5. Переход полигон 13 - Владивосток		330	1,7	-	1,7
		990	5,2	10,8	16,0
Резерв на штормовую погоду		-	-	-	2,0
Всего					18
Итого:		4340	22,5	33,2	70

## Приложение 3

Расчет времени по отбору колонок четвертичных  
отложений

№ № п/п	Район работ	Число станций. Прибор				Всего	Треб. суток
		БГИ	БГИ_1	БГИ_2	ИТ		
<u>I. Переход Владивосток-</u>							
1. Корейский пролив		-	-	10	5	15	1,4
2. Трог Окианава		-	12	12	-	24	2,5
3. Переход Аянам - пол. 30	6	-	6	5	-	17	2,5
4. Мелоб Тояма, пол. 30-А	3	-	-	4	-	8	1,5
5. Мелоб Тояма, пол. 30-В		-	-	8	-	8	0,6
6. Полигон 29	3	-	3	-	-	6	1,0
7. Переход Вонсан-пол. 31		-	-	5	5	10	1,0
8. Полигон 31, 13		5	-	5	-	10	1,2
Всего		17	12	41	27	97	12,0

(Приложение 4  
к прилож. 1-Т)

## Расчет времени работы на полигонах

№ п/п	Район работ, № полигона	Золотные промеры		Н С И		Драгирование		Всего суток
		миль	суток	миль	суток	число станц.	суток	
1	Троп Окинава, полигон 11	90	0,5	250	3,0	-	-	3,5
2	Троп Окинава, полигон 12	15	0,1	8	0,1	3	0,3	0,5
3	Желоб Тояма, пол. 30-В	320	1,7	30	0,2	-	-	1,9
4	Возв. Ямато, пол. 29	450	2,5	48	0,5	6	1,0	4,0
5	Южный хребет Ямато, полигон 28-Г	190	1,0	48	0,5	10	1,5	3,0
6	С-В часть Японского моря, пол. 31	380	2,0	48	0,5	5	1,0	3,5
7	Возв. Витязя, пол. 13	380	2,0	70	0,8	10	2,0	4,8
ИТОГО:		1825	9,8	492	5,6	34	5,8	21,2

Примечание: в зависимости от конкретных условий объем работ на  
полигонах может быть изменен, вплоть до исключения.

Лачальник экспедиции,

Д. Г-Ме. Н.

И. И. Берсенев

4 декабря 1976 г.

Кошелев Борис  
Д. Г-Ме. Н.

## Приложение 2-Т

"Утверждаю"

Директор ТОИ ДВНЦ АН СССР  
член-корреспондент АН СССР

В.И. Ильин

21 мая 1979 г.

Изменения и дополнения к план-программе  
33 рейса НИС "Первенец"  
(май-июль 1979 г.)

В связи с тем, что на судне "Первенец" аппаратура для сейсмоакустического профилирования не установлена, соответствующие исследования выполняться не будут. По этой причине предусмотренные план-программой работы первого этапа в Восточно-Китайском море из план-программы исключаются. В первом этапе проводятся исследования в Японском море на двух полигонах: 14 и 18.

Полигон 14 (возвышенность Сев. Ямато) изучался в 24 (полигон 14), 28 (полигон 14-А) и 30 (полигон 14-В) рейсах НИС "Первенец". В результате были получены важные материалы о геологическом строении северо-западной и южной частей возвышенности, разделенных неисследованным участком площадью 2700 км<sup>2</sup>, ограниченным координатами 39°10' - 39°50' с.ш., 133°00' - 134°00' в.д. В данном рейсе на этом участке, названном полигоном 14-Г, планируется провести эхолотные промеры в среднем через 3 мили со сгущением до 1,0-1,5 миль на площадях со сложным рельефом морского дна и драгирование крутых склонов.

Геологическое строение зоны сочленения Северного и Южного Ямато имеет большое значение для выяснения истории их геологического развития. Рассматриваемая зона, названная полигоном 14-Д, ограничена координатами 38°50' - 39°00' с.ш., 133°00' - 133°40' в.д. и имеет

площадь 1300 км<sup>2</sup>. На полигоне будут проведены работы по методике, указанной для полигона 14-Г. Всего на полиграхах 14-Г и 14-Д ориентировочно будет выполнено 450 миль эхолотных промеров и 20 станций драгирования. Расчетное время работы 7,5 суток.

Полигон 18 (возвышенность Криштофовича) изучался в 20 (полигон 18-А), 27 и 30 (полигон 18-Б) рейсах НИС "Первенец". В результате составлена батиметрическая карта масштаба 1:200 000, охватывающая возвышенность Криштофовича, кроме ее восточной части. Драгирование проведено на юго-западном (полигон 18-А) и северо-западном (полигон 18-Б) участках возвышенности Криштофовича и юго-восточном окончании возвышенности Уллындо. В данном рейсе планируется завершить эхолотную съемку возвышенности Криштофовича на полигоне 18-В площадью 2300 км<sup>2</sup> в пределах координат 37°45' - 38°35' с.ш., 131°25' - 132°15' в.д. по методике, аналогичной описанной выше. Драгирование будет проводиться на полигоне 18-В и на площади, изучавшейся в 27 рейсе НИС "Первенец" в следующих районах: 1 - на хребте северного склона возвышенности Уллындо (37°50' - 38°00' с.ш., 130°00' - 130°20' в.д.); 2 - на западном склоне возвышенности Криштофовича (37°50' - 38°10' с.ш., 130°50' - 131°00' в.д.); 3 - в центральной части этой возвышенности (38°00' - 38°20' с.ш., 131°00' - 131°30'); 4 - на полигоне 18-В; 5 - на вулкане Глебова (37°30' - 37°35', 131°20' - 131°25' в.д.). Всего на полиграхах 17, 18 ориентировочно планируется выполнить 200 миль эхолотных промеров и 20 станций драгирования. Расчетное время работы 9 суток.

В соответствии с изложенным, изменяются объемы работ, указанные в приложениях 2,3,4 план-программы. Районы работ первого этапа указаны в приложении 1, расчет времени работы экспедиции в первом этапе приведен в приложении 2.

При условии успешного выполнения программы на полигонах 14, 18, 28, 29, 30 и экономии времени будут проведены исследования на резервном полигоне 21.

Полигон 21 (возвышенность Первенца) ограничен координатами  $41^{\circ}35' - 42^{\circ}15'$  с.ш.,  $132^{\circ}07' - 132^{\circ}45'$  в.д. В 20 и 21 рейсах ИЛС "Первенец" проводились исследования на небольшом участке, ограниченном координатами:  $41^{\circ}42' - 41^{\circ}49'$  с.ш.,  $132^{\circ}17' - 132^{\circ}25'$  в.д.

В данном рейсе планируется провести эхолотные промеры галсами по азимутам  $90 - 270^{\circ}$  в среднем через 3 мили со сгущением до 1,2 миль на участках со сложным рельефом. Драгирование будет проведено на крутых склонах возвышенности с целью выяснения геологического строения консолидированного фундамента и характера осадочного чехла. В районе драгирования, при необходимости, устанавливается за jakiоренный буй и проводятся эхолотные промеры через 1-1,5 мили.

Зав. лабораторией стратиграфии  
и тектоники д.Ге.-М.И.

/ И.И. Версенев/

15 мая 1979 года

## Расчет времени работы экспедиции

Н/п п/п	Наименование операции	Расстоя- ние (миль)	Суток	Работа на станциях	Всего (суток)
1	2	3	4	5	6
I этап					
1	Переход Владивосток- полигон З1 с отбором проб трубками	500	4,2	-	4,2
2	Работа на полигоне З1	-	-	4,0	4,0
3	Переход пол. З1 - пол. 13	40	0,2	-	0,2
4	Работа на пол. 13	-	-	6,5	6,5
5	Переход пол. 13 - Влади- восток	330	1,7	-	1,7
		870	6,1	10,5	16,6
	Резерв на штормовую погоду	-	-	-	3,4
	Стоянка в порту Владивосток				5,0
	Всего				25
II этап					
1	Переход Владивосток- пол. 30	380	2,0	-	2,0
2	Работа на полигонах 30, 30-А	-	-	2,5	2,5
3	Работа на пол. 30-В	-	-	2,5	2,5
4	Переход пол. 30-В - пол. 29	30	0,2	-	0,2
5	Работа на пол. 29	-	-	5,0	5,0
6	Переход пол. 29-пол. 28-Г	30	0,2	-	0,2
7	Работа на пол. 28-Г	-	-	3,0	3,0
8	Переход пол. 28-Г-Владивосток	300	1,6	-	1,6
		740	4,0	13,0	17,0
	Резерв на штормовую погоду				3,0
	Стоянка в порту Владивосток				5,0
	Всего				25

I	2	3	4	5	6
III этап					
1 Переход Владивосток - полигон 14-Г с отбором проб трубками	210	2,5	-	2,5	
2 Работа на полигонах 14-Г, 14-Д	-	-	7,5	7,5	
3 Переход пол. 14-Д-18-В	80	0,5	-	0,5	
4 Работа на пол. 18-В	-	-	8,0	8,0	
5 Переход пол. 18-В -Владиво- сток с отбором проб трубками	320	2,0	-	2,0	
	610	5,0	15,5	20,5	
Резерв на штормовую погоду					4,5
Всего					25,0
Итого	2220	15,1	39,0	75	

Примечание: в зависимости от конкретных условий объем работы на полигонах может быть изменен, вплоть до исключения.

Начальник экспедиции

К.Г.-М.Н.

/И.К. Пущин/

Изменения и дополнения к план-программе 33 рейса НИС "Первенец"  
утверждены Ученым Советом ТОИ 21 июня 1979 г.

Ученый секретарь ТОИ

К.Ф. - М.Н.

А.В. Алексеев

Комиссия Сертификации  
Приема судов

Рейсовый отчет  
капитана НИС "Первенец" Парфенова Н.И. по  
рейсу № 33

Задача рейса: Основной задачей рейса экспедиции является изучение геологического строения дна Японского моря. Работы проводятся в северо-восточной части Японского моря на полигонах 31 и 13. Полигон 31 разбит на банке с отметкой 160 м и ее юго-западном склоне в районе, ограниченном координатами 44° град. 15°-44° град. 30 мин. 139° град. Ю - 139° град. 30 мин. На полигоне планируются эхолотные промеры, драгирование, отбор колонок четвертичных отложений. Полигон 13 охватывает южную часть возвышенности Витязя и ее склоны до края абиссальной равнины. Здесь будет получен фактический материал по геоморфологии и геологии ряда морфоструктур. На полигонах 30-Б, 29, 28-Г находящихся соответственно в северо-восточной части Южного хребта Ямато и в северо-восточной части возвышенности Ямато. На этих полигонах будут отобраны колонки приборами НПИ, проведено драгирование, составлена батиметрическая карта с привязкой к бую. На полигоне 30-В промерные галсы проходят поперек желоба через 6 миль. На полигоне 29 галсы прокладываются через 3 мили со сгущением до 1,5 мили на участках сложного рельефа. Промеры на полигоне 29 будут связаны с промерами полигона 30-В. Полигон 28-Г будет разбит в восточной части Южного хребта Ямато. Будут пройдены промерные галсы, установлен зажоренный буй и продрогированы кекуры. На полиграхах 14-Г, 14-Д ориентировочно будет выполнено 450 миль эхолотных промеров и 20 станций драгирования. На полигоне 18-В площадью  $2500 \text{ км}^2$  планируется завершить эхолотную съемку, драгирование. На переходах между полигонами будут отобраны колонки трубками. На полигоне 21 планируется провести эхолотные промеры галсами 90-270 град. через 3 мили, на сложных участках 1,5 млн.

Драгирование на крутых склонах с целью выяснения геологического строения консолидированного фундамента и характера осадочного чехла.

Задачи экипажа: Задачей экипажа является обеспечение безаварийного плавания судна, бесперебойной работы всех механизмов и устройств. Надежной работы электронавигационных и штурманских приборов. Обеспечена максимально-возможной точности в определении места судна и течного удержания судна на заданном курсе, своевременное выполнение требуемых руководителем работ маневров на полигонах. Содержать в хорошем техническом и санитарном состоянии судно. Поддерживать деловой контакт с научными сотрудниками, прилагая максимум умения и старания для успешного выполнения научной план-программы. Обеспечение и поддержание на судне должного порядка и высокого уровня трудовой дисциплины. Не иметь нарушений правил по Технике Безопасности и безопасности мореплавания.

Подготовка к рейсу: Судно мною было принято 21 июня 1979 г. в порту Владивосток и в этот же день вышли в рейс на 10 дней для проведения работ в Амурском Заливе. 01 июля пришли в порт. В рейсе обнаружилось много неполадок в механизмах приборах не устранных во время ремонта. Приступили к устранению о нарушенных дефектов, а заодно и получению снабжения, продуктов, топлива, воды и оформлению санитарных документов. Устранив вышеперечисленные дефекты к 13 июля судно имея на борту полный бункер топлива и воды 13 июля 1979 г. в 19-00 вышли в рейс. В составе экспедиции находилось 14 научных сотрудников и 16 членов команды. Команда не доукомплектована двумя матросами.

Условия и район плавания. 13 июля 1979 г. "НИС "Первенец" вышел из порта и взял курс на возвышенность "Первенец". Погода штормовала, поэтому 14 и 15 июля судно следя носом на волну

продвигалось очень медленно и подомло на возвышенность Первенец 16.07.79 г. В 04.00 начали постановку первой трубы. Далее следуя на полигон 13 и 31 производили отбор грунта трубками. 18.07. обнаружили, что "ДЭРОК" не работает. Оказалось, что на заводе не соединили на болты вал двигателя и лебедки, а механики судна не проверили. Начали устранять не исправность. 19.07.79 г. судно прибыло на полигон 13 где и начале работы, включая полигон 31. Эхолотные промеры, взятие трубок, драгирование, постановка буев, ОМС по "Дерану" и поставленным буям-производилась вплоть до 30 июля-79 г. 30.07 сняли буи и последовали вдоль свала в взятием колонок трубками, в сторону возвышенности "Первенец", 01.08 подошли на полигон 21 с-ка. Первенец. Начали эхолотные промеры и драгирование 03.08 и 12.00 закончили работу и снялись в порт 04.08 в 01.30 оформили приход в порту Владивосток. В порту судно простояло до 15.08. по причине отсутствия дизтоплива, неукомплектованности кадрами команды. 2-пом.к-на, нач. радиостанции прибыли на судно 14.08. Буфетчика прибыла 15.08. в 15.00. 15 августа получили продукты и снялись. В рейс в 23-45 местного времени, имея на борту полный бункер воды, топлива, продуктов. Команды 17 человек, научных сотрудников 13 человек. Выйдя из порта судну пришлось зайти в залив Посыт. Укрыться от тайфуна "Ажууди". С улучшением погоды 18 августа судно снялось с якоря и взяло курс на банку Ямато на полигоны 29,30-А. 21.08 в 16.00 начали работы на полигонах. 23.08 с 12.00 работы прекращены в связи полемкой глубоководного эхолота. Начали ремонт с привлечением всех специалистов. Отремонтировать не смогли на совещание принято решение сниматься в порт для ремонта эхолота. 25.08. в 20.00 снялись в порт Владивосток 28.08 в 04.00 встали на якорь в ожидание оформления прихода. В порту ремонт эхолота производился силами ПМ-412 "Опыт" и был закончен 14 сентября. Во время 12-ти дневного рейса судовая холодильная камера не смогла держать минусовую температуру и была испорчено

мясо. Составлен технический акт о непригодности холодильника. Заменить до рейса не было возможности. 15 сентября в 02-30 судно снялось с якоря и последовало на полигоны 29.30 В. С 17 сентября до 29.09 производились следующие работы: эхолотные промеры, промеры сейсмокосей, составление батиметрических карт, драгирование. 29.09 начали штормовать. В 16-00 получена радиограмма от директора института Ильичева В.И. о снятии в порт. Необходимо доставить на НИС "Каллисто" научного сотрудника Павлова. 30.08. геофизики отработали с сейсмокосом на морском свale залива Петра Великого. В 17-00 снялись в порт. 01 октября в 01-40 встали на якорь для оформления прихода властями. 2-й рейс ходило команды 18 человек, научных сотрудников 11 человек. В порту судно простояло до 08 октября, в связи с отчетно-выборными партийными собраниями, ожидания паспорта и/сотрудника и замены начальника радиостанции, 08.10.79 г. оформили отход и после 00-00 09.10 снялись в рейс, имея на борту 17 человек команды, 12 человек научных сотрудников, и полный запас бункера и воды 10.10 Начали работы. С 10 октября по 23 октября эхолотирование эхолотом и сейсмокосой, драгирование, взятие трубок проводилось на полигонах 30-В, 29, 28-Г, 14-Г и 14-Д. 19,10 штормовали, уходили от тайфуна "ТИР" 23 октября пошли на полигон 18-В, где по 28.10 провели эхолотные съемки, драгирование, взятие трубок. После чего снялись на север в районе морского овала залива Петра Великого для проведения геофизических работ в сейсмокосой. 30.10 в 04-00 начали промеры с координат 42 град. 00 мин. северная и долготой 130 град. 40 минут восточная, в сторону залива Посьет и с Посьета по морскому овалу на северо-восток, а далее на возвышенность "Первенец". После произвели отбор колонок трубками на морском склоне залива Петра Великого 02 ноября 79 г. и в 08-00 снялись в порт Владивосток. Где в 16-00 2 ноября встали на якорь для оформления прихода. Таким образом 33-й рейс НИС "Первенец" окончен. План-программа полностью выполнена.

Работа экипажа по выполнению задач рейса  
и состояние дисциплины

В основном работа экипажа оценивается положительно. Задачи поставленные перед ним выполнены полностью, но с большими трудностями, так как люди бесконтрольно находились девять месяцев в заводе на ремонте, что привело к падению трудовой дисциплины и ответственности за порученное дело. Ремонт судна провели не качественно. За время рейса штурманский состав обеспечил всеми возможными средствами ОМС, буев, станций драгирования по РЛС "Ларек" и РЛС "ДОН". Нарушение трудовой дисциплины имел Э пом. к-на Моргун Л.Г. Машинная команда в начале рейса со своими обязанностями справлялась плохо. Выявленные многочисленные не доделки устранили после вмешательства капитана. Старший механик Шкуратов, 2-й механик Вялков, электромеханик Смирнов, ст. моторист Ваганов в любом случае доказывали, что это не их работа и не ихняя вина в поломках. Так в заводе не была поставлена пружина на лебедку "Ларек" Не провернута муфта соединения вала двигателя с лебедкой - пришлось это делать в море. Не работал контролер шпилия. Не сделано в заводе: осушительная система, реверсивный механизм главного двигателя, газовыхходы АЦ-1 и др. И только своевременная замена этих людей позволило наладить нормальную работу механиков и выполнить план-программу. Все эти товарищи наказаны в дисциплинарном порядке. Руководству ОНФ необходимо учесть их заслуги в дальнейшем. Начальник р/станции Зезулькин со своими обязанностями не справился. Вышел из строя передатчик, отказывался помочь н/сотрудникам проложить кабель для ФАКа. Наказан дисциплинарно и заменен после первого этапа. Рядовой состав со своими обязанностями справлялся полностью. В данный период на судне организовался дружный и сплоченный коллектив, которому по плечу решать любые задачи.

Политико-массовая работа в общественные  
мероприятия

В начале рейса на судне работало 6 коммунистов к-и Парфенов, нач. экспедиции, Пущин И.К. З-й пом. Моргун Л.Г. - секретарь, 2-й пом. Жулаков Ю.П., 2-й мех. Киселев А.В. и/сотр. Антипов М.П. и 5 комсомольцев. На общесудовом собрании судна были избраны судя хозкомиссия, редколлегия в которые вошли представители от сотрудников и команды. На партсобрании избран секретарь и намечены мероприятия на весь первый период рейса. Во втором периоде секретарь партгруппы Моргун Л.Г. был переизбран. Секретарем избран Антипов М.П. В последнем этапе в связи уходом с судна Антипова М.П. секретарем партгруппы был избран 2-й мех. Киселев А.В. В рейсах постоянно проводились собрания, занятия, техучеба, лекции. В библиотеке получена худлитература, в кинопрокате взято 43 художеств. фильмы. Выпускалась стенная газета. Моральному течению жизни судна мешала частая смена людей среди команды, а также и/сотрудников. В общем политко-массовая работа и общественные мероприятия находились в удовлетворительном состоянии.

Замечания и предложения

1. Неудовлетворительная работа ОК, ОИМФ, за рейс сменилось 3 радиста, 3-электромеханика, 3-буфетчицы, 2-вторых пом. капитана, матросы в основном радисты-практиканты. Смена, как правило проходит в день отхода.

2. Поданные с моря заявки не выполняются.

3. Судно морально а особенно физически устарело.

Предложения: Улучшить работу ОК, к заявкам необходимо относится со всей серьезностью. Судно использовать, только в прибрежном плавании, могут быть печальные последствия.

Капитан НИС "Первенец"  
Ю ноября 1979 г.

Н.И. Парфенов

*Конч ведма* *Одиссеи*

Приложение 4-Т

Каталог станций

№ п/п	№ станицы	полиг. или профили	прибор	глубина	координаты числитель - ширина изменателъ - длина	геоморфо- логическая приязька	Краткая характеристика пород		Предпо- лагаемый возраст
							1	2	
1	2	3	4	5	6	7	8	9	
I 1683	I	ПГИ-2	3276 м	42°11,5' 133°32,0'	равнина	0-90 см - зелено-серый алевро-пелит;			
2 1684	-II-	-II-	2530 м	42°09,7' 133°42,3'	склон возмыщен- ности	щебень, дресва базальта; обломки слабопластичных нео- генных отложений и ~200 г голоценовых илов.			
3 1685	-II-	-II-	3270 м	41°59,4' 133°47,2'	равнина восточ- нее возвы- шеннос- ти	0-248 см - зелено-серый алевро-пелит, в кон- це бурая глина			
4 1686	-II-	-II-	2730 м	41°59,8' 134°03,0'	равнина	0-70 см - буро-серый алевро- пелитовый или; 70-415 см - голубовато- серый массивный алевро- пелитовый ил.			

	1	2	3	4	5	6	7	8	9
5	1687	I	III-2	3590	m	<u>42°05,5'</u> 134°27,2'	Равнина	0-94 см - буро-серый алевро-пелит, переходящий в зелено-серый	
6	1688	-"	-"	3620	m	<u>42°24,0'</u> 135°15,9'	-" -	24-250 см - зелено-серый алеврит.	
7	1689	-"	-"	3400	m	<u>42°39,1'</u> 136°21,5'	-" -	0-380 см - алевро-пелит с прослоями более темного глауконитового(?) пелита	
8	1690	-"	-"	2300	m	<u>42°29,7'</u> 136°15,3'	Склон возышени- ности	Поднятая глыба (коренные в которые вру- бились трубы) андезито-базальта, также щебень и дресва того же состава.	
9	1691	-"	прямо- точная	3670	m	<u>43°03,8'</u> 137°13,9'	рavнина	0-50 см - буро-серый алевро-пелит, переходящий в голубовато-серый пелит	
10	1692	-"	-"	3670	m	<u>43°26,7'</u> 137°56,4'	-" -	0-50 см - бурый пелит 50 - 145 см - зелено-серый ритмичный алевро-пелит	
11	1693	I	ПГП-2	3475	m	<u>43°46,0'</u> 138°09,2'	основа - ниe мате- рикoвого склона	0 - 365 см - серый алевро-пелит	
12	1694	IZ-A	-"	3020	m	<u>43°50,8'</u> 138°07,0'	нижняя часть материко- вого склона	0 - 370 см - голубовато-серый алевро-пелит	

	1	2	3	4	5	6	7	8	9
13	1695	13-A	НПИ-2	3280	III	<u>43°49,0'</u> 138°12,2'	разнина	0 - 380	- голубовато-серый или
14	1696	-" -	-" -	1950	III	<u>44°05,3'</u> 138°03,0'	пологий склон возможен-	0 - 283 см	
15	1697	-" -	-" -	2110	III	<u>44°05,0'</u> 138°01,3'	-" -	0 - 300 см	
16	1698	-" -	-" -	2500	III	<u>44°00,5'</u> 137°55,8'	-" -	0 - 398 см	
17	1699	II	-" -	3070	III	<u>44°05,0'</u> 138°34,4'	пустыня		
18	1700	-" -	-" -	3110	III	<u>44°03,1'</u> 138°34,8'	-" -	0 - 405 см - голубовато-серый алевро-пелит	
19	1701	-" -	-" -	3460	III	<u>44°05,5'</u> 138°53,4'	-" -	0-100 см - буровато-серый пелит, переходящий в голубовато- серый пелит	
20	1702	-" -	-" -	3470		<u>44°05,4'</u> 139°01,2'	-" -	100-400 см - голубовато-серый пелит, есть ритмы чистоты	
								0-362 см - сверху буровато-серый пелит, далее голубовато-серый пелит.	

179

1	2	3	4	5	6	7	8	9
21	1703	31	ПП-2	1490	н $\frac{44^{\circ}08,5'}{139^{\circ}12,7'}$	Склон	0-170 см - плотный (0-30 сутминок) иц	
22	1704	-n-	-n-	3020	$\frac{44^{\circ}07,6'}{139^{\circ}08,4'}$	Склон	0-100 см - плотный ил (0-50 - гравелит)	
23	1705	-n-	-n-	2350	$\frac{44^{\circ}07,41'}{139^{\circ}10,1'}$	Склон	0,6 м сильно уплотненный алеврит с гравием и галькой, и мелкими обломками неоге- новых пород	
24	1706	-n-	-n-	1910	$\frac{44^{\circ}07,75'}{139^{\circ}11,73'}$	Склон	0 - 219 см - алевритовый ил	
25	1707	-n-	-n-	1320-	$\frac{44^{\circ}10,23'}{139^{\circ}12,4'}$	верхняя брюшка склона	Ил и галька	
26	1708	-n-	-n-	1430-	$\frac{44^{\circ}09,04'}{139^{\circ}12,2'}$	- n -	Анделито-баазиты серые сильно порис- тые; андезито-базальты темно-серые массивные порфировидные; крудообло- ющие лавобрекчи андезито-базальтов; светло-серые тоно зернистые туффиты с зеркалами скольжения; кремнистые породы; диатомовые алевролиты.	

	1	2	3	4	5	6	7	8	9
27	1709	31	драга	1920-1800	<u>44°09,25'</u> 139°11,1'	склон	Анdezито-заальты темно-серые по рифровидные; андезито-заальты серые с зелено-ватым оттенком, пористые; заальт темно-серый стекловатый; ла вобрекции анdezито-заальтов; туфы анdezито-заальтов исамито-псеудито зые; щебень голубово-серых, корич- невато-серых кремнистых пород; голубово-серые слабо окремен- ные алевролиты; желтоватые некрепкие диатомовые алевролиты.		
28	1710	-n-	-n-	1520-1400	<u>44°10,13'</u> 139°11,9'	верхняя брюхина склона	Ил и галька; один обломочек глинистого алевролита.		
29	1711	-n-	-n-	1560-1400	<u>44°09,5'</u> 139°11,9'	-" -	Темно-серые порфировые со стекло- ватой осноной известнико-вистые ба заальтоиды; шарообразные известнико-вистые стяжения ( $\varphi 5$ ; 2 см); кремнистые породы темно-зеленные; светло-серые окременные алевролиты и аргиллиты; слабо уплотненные песчано-глинис- тые алевролиты; и галька.		
30	1712	-n-	-n-	1210-1150	<u>44°11,5'</u> 139°13,9'	брюхина склона	Ил и галька; пять угловистых обломочков андези- то-заальтов		

	1	2	3	4	5	6	7	8	9
31	1713	31	драга	2500-2400	<u>44°08,7'</u> 139°09,45'	склон	андезито-базальты серые пористые и массивные порфировидные; лавобрекчию андезито-базальтов; темно-серые плотные базальты; темно-серые с зелено-ватным оттенком трещиноватые хрупкие породы; серые, зелено-вато-серые ультенитные аргиллиты с растительным дегритом; слабо уплотненные светлые, буровато-серые, серо-зеленые алевро-пелиты; окатанные обломки дигитовых алевролитов; галька преимущественно базальтогидров, реже кислых и умеренно-кислых эфузивов; щебень кремнистых пород.		
32	1714	-n-	-n-	1290-1200	<u>44°06,45'</u> 139°20,2'	верхняя бронва склона	Ил и галька		
33	1715	-n-	-n-	1600-1500	<u>44°07,85'</u> 139°16,45'	кругой склон	Ил и галька		

1	2	3	4	5	6	7	8	9
34	1716	31	драга	2080-2000	<u>44°02', 8'</u> 139°11, 7'	кругой слон	один уплощенный обломок диатомового алевролита	
35	1717	-n-	-n-	2500-2400	<u>44°006, 4'</u> 139°10, 5'	-" -	драга оторвана	
36	1718	31-4	-n-	2400-2200	<u>44°26, 4'</u> 138°59, 2'	-" -	серые слабо уплотненные слоистые алевролиты; конгломераты с хорошо окатанной галькой преимущественно оквар- ионанных пород и разнозернистых песчанистых цементов;	
							темно-серые с зелено-затем оттен- ком уплотненные алевро-аргиллиты с расщепительным дистрибути- желтовато-зеленые песчанистые алевролиты.	
37	1719	-n-	-n-	2550-2400	<u>44°21, 2'</u> 138°59, 8'	-" -	серые с зелено-затем оттенком слабо песчанистые аргиллиты; зеленые псевдо-иссаммитовые иристально-полластические туфы кисло- го состава; зелено-вато-голубовато-серые по р- фиоридные вулканиты среднего(?) состава;	
							полускатанные обломки светлых кислых эфузивов; один угловатый обломочек светло- серых тонах зернистых алевролитов;	
							галька.	

183

			1	2	3	4	5	6	7	8	9	
38	1720	13-А	драга	2150-2050	$\frac{43^0 56,2}{138^0 15,5}$	круты склон	Светло-серые очень слабо уплощенные диатомиты; зелено-вато-буроватые алевролиты; песчаники диатомовые; один обломок серых аргиллитов; плит- чатые обломки тонко зернистых массив- ных пород дайкового комплекса сред- него состава; черные плотные базаль- ты; мелкопористые черные базальты; серые порфировидные андезиты; полу- окатанные обломки туфов(?) кислого состава; хорошо окатанная галька	-"	-"	-"	-"	-"
39	1721	-" -	-" -	2000-1950	$\frac{43^0 56,4}{138^0 15,6}$	-"	Светлые серо-вато-зеленые слоистые туфы кислого состава; слабо литици- фицированные грубозернистые плохо сортированные туфлиты; несколько хорошо окатанных и полу- окатанных галек кварцевых и извад- коплевошатовых щрффиров.	-"	-"	-"	-"	-"
40	1722	-" -	-" -	2450-2100	$\frac{43^0 56,2}{138^0 16,1}$	-"	Стекловатые, пористые и массивные тепло-серые андезито-базальты;	-"	-"	-"	-"	-"
41	1723	-" -	-" -	2500-2400	$\frac{43^0 56,2}{138^0 16,2}$	-"	Светлые желто-вато-зеленоватые мягкие диатомовые алевролиты	-"	-"	-"	-"	-"
42	1724	-" -	-" -	2700-2600	$\frac{43^0 55,9}{138^0 16,5}$	круты склон	Драга пустая	-"	-"	-"	-"	-"
43	1725	-" -	-" -	2650-2550	$\frac{43^0 55,9}{138^0 16,3}$	-"	Интенсивно измененные, трещиноватые, сильно окжелезненные, пористые андезито-базальты.	-"	-"	-"	-"	-"

1	2	3	4	5	6	7	8	9
44	1726	13-Б	драга	1550-1400	<u>43054,4</u> 13806,8	круты склон	Ил и галька (~ 5-10% от общего объема); два уполоватых обломка кирпично- красных пористых базальтов. общего объема).	
45	1727	-" -	-" -	1700-1600	<u>43054,1</u> 13807,3	-" -	Ил и галька (~ 5-10% от общего объема).	
46	1728	-" -	-" -	1860-1800	<u>43053,9</u> 13808,2	-" -	Зеленовато-серые диориты; слабо рассланцованые; зеленый алевролит; пемент - диктозомый алевролит; зелено-желтые эпигоралечинко- вые слабонасыщенные континенты; зеленые литокластические туфы; галька.	
47	1729	-" -	-" -	2030-1950	<u>43053,7</u> 13807,9	-" -	Серые мелкозернистые диориты порфириты;	
48	1730	13-Б	-" -	2340-2250	<u>43053,2</u> 13807,0	-" -	туфы кристаллокластические, серо-зеленые псефито-псаммитовые темно-зеленые хлоритовые (?) сланцы диатомовые глины!	
49	1731	-" -	-" -	2540-2400	<u>43052,8</u> 13807,2	-" -	Галька	Две обломочки андезита-базальта Галька

	1	2	3	4	5	6	7	8	9
50	I732	13-Б	драга	1520-1400	<u>44°03,1'</u> 138°04,8'	кругой склон	Галька различного состава		186
51	I733	внё- поли- гона	-и-	2470-2300	<u>44°02,6'</u> 137°41,5'	-и-	Зеленовато-серые, серые кварциты Темно-серые, черные метаморфизо- ванные алевролиты		
						Галька			
52	I734	III про- филь	трубка	2980	<u>44°03,7'</u> 137°31,2'	разница	0 - 200 см		
53	I735	III	ПГП-2	2920	<u>44°05,7'</u> 137°22,6'	-и-	0-90 - пелитовые иллы 90-110 см - желтовато-серый, очень плотный ил.		
54	I736	13-Б	-и-	2445	<u>44°05,7'</u> 137°20,1'	-и-	0 - 1,5м - серый пеллит, в верхней части темно-серый		
55	I737	-и-	-и-	2145	<u>44°06,0'</u> 137°17,5'	-и-	0 - 1,00м - желт.-серый пеллит с единичн. гравием, слабой плотностью.		
								1,00 - 2,00м - голубой-серый, слабой плотности ил.	
								2,00 - 3,55м - голубой-серый пеллит с единичным гравием.	

	1	2	3	4	5	6	7	8	9
56	I738	I3-Б	ШГИ-2	1915	<u>44°06,0'</u> 137°14,5'	пологий узал	0-3,88м- голубовато-серый пелит		
57	I739	-" -	-" -	1479	<u>44°07,5'</u> 137°20,0'	пологий склон	пустая		
58	I740	-" -	-" -	1395	<u>44°09,0'</u> 137°01,0'	-" -	0-3,800м- голубовато-серый пелит, в верхней части бурый.		
59	I741	-" -	-" -	1170	<u>44°11,0'</u> 136°50,0'	-" -	0-4,420м- голубовато-серый пелит.		
60	I742	возыш. Первенца	драга 21	2670-2550	<u>41°42,0'</u> 132°14,9'	склон возы- шеннос- ти	Три малосеньких обломка (2-4 см); туф; диатомовый алевролит и стекловатый базальт (?).		
61	I743	-" -	-" -	2650-2500	<u>41°43,1'</u> 132°13,8'	-" -	окатанные обломки (2-4 см) зеленовато- серых глинистых диатомовых алевро- тов;		
							подлокатные обломочки измененных базальтов,		
							корочка Fe-Mg пород; три гальки.		
62	I744	-" -	-" -	1800-1700	<u>41°43,2'</u> 132°19,9'	-" -	мелкие корочки Fe-Mg пород; сильно измененные андезито-зальты; галька.		
63	I745	-" -	-" -	1650-1500	<u>41°43,7'</u> 132°20,3'	-" -	корочки Fe-Mg пород, один обломочек зальта, галька.		

	1	2	3	4	5	6	7	8	9
63	1745	возмущ. перевина 21	права	1650-1500	<u>41°43,7'</u> <u>132°20,3'</u>	склон восточн-	корични Fe-Mn пород, один обломо-		
						ности	чек базальта, гравия		
64	1746	-n-	-n-	2550-2400	<u>41°43,4'</u> <u>132°32,0'</u>	-n-	несколько окатанных обломков диатомитов Fe-Mn пород		
65	1747	-n-	-n-	2460-2350	<u>41°57,2'</u> <u>132°41,0'</u>	-n-	Светлые зеленовато-серые диатомиты; выветренные песчаники(?) выше трещине тусклы один угловатый обломок кварца полевошпатовой породы; два угловатых обломка (5-7 см) базальта		
66	1748	Профиль I-п- трубка паралл.-но проф. по стенкам базальта.	Шельфо-	24 II	<u>42°35,33'</u> <u>130°52,42'</u>	ровное дно дельфа	0-3,7 II - песчан-		
67	1749	-n-	-n-	-n-	21,5 II	<u>42°39,6'</u> <u>130°51,2'</u>	0-2,7 - алеврит		
68	1750	-n-	-n-	-n-	15,5	<u>42°34,1'</u> <u>130°50,35'</u>	глубь 2.-серого крупного алеврита		

	1	2	3	4	5	6	7	8	9
69	1751	Профиль I пан- тографи- ческое устройство в зале. Послед-	Шельфо- вая трубка проф. по скр. в зал.	17,5	<u>42°34,33'</u> <u>130°50,12'</u>	шельф	$\sim 1,5$ м крупный алевролит, разноцветный песок.		
70	1752	-" -	-" -	21	<u>42°34,75'</u> <u>130°51,48'</u>	шельф	$\sim 2,2$ м - пеллит с ракушей, в конце пеллитоцен (?)		
71	1753	-" -	-" -	24	<u>42°34,7'</u> <u>130°52,3'</u>	шельф	50 см песка с ракушей		
72	1754	-" -	-" -	24	<u>42°34,98'</u> <u>130°53,5'</u>	" -	50 см песка с ракушей		
73	1755	-" -	-" -	27	<u>42°32,85'</u> <u>130°54,95'</u>	" -	$0,7$ м $Q_{\bar{U}}$ + $Q_{\bar{W}}$ (?)		
74	1756	-" -	-" -	36	<u>42°30,55'</u> <u>130°58,7'</u>	" -	$\sim 2,7$ м керна ( $Q_{\bar{U}}$ )		
							Образец взят в ~ 2 м от поверхности дна.		
							1754 При аварийных работах с тросом в т. <u>42°34,47'</u> <u>130°58,10'</u> поднят алевро-пелик.		

								9
1	2	3	4	5	6	7	8	
75	1757	Продолж I пла- тформы проф. по свр. в зар.	ICH-II	79	42°26,9' 131°03,2'	шебък	5,0 м	
76	1758	-"	-"	78	42°24,4' 131°00,5'	-"	4,5 м	
77	1759	-"	-"	88	42°22,5' 130°58,7'	-"	2,2 м	
78	1760	-"	-"	180	42°17,5' 130°58,7'	-"	примыкающая к югу - I обломок (плохое окатывание и эпизодическое + 5 см зернистого юга)	
79	1761	-"	-"	180	42°17,3' 130°59,1'	брюшка шебъка	4,5 м	
80	1762	-"	-"	230	42°16,4' 130°57,3'	Материко- вый склон	0,15 м	
81	1763	-"	-"	238	42°16,5' 130°59,1'	-"	2,2 м	
82	1764	-"	-"	304	42°15,9' 130°59,1'	-"	4,5 м	

	1	2	3	4	5	6	7	8	9
83	1765	заяв. Посев	IV-II-III	420	<u>42°15,2'</u> <u>130°59,4'</u>	Шагерниковый склон	кери ~ 3,5 м ( $Q_{\bar{m}}$ )		
84	1766	-n-	-n-	515	<u>42°14,8'</u> <u>130°59,5'</u>	-n-	кери 0,75 м ( $Q_{\bar{m}}$ )		
85	1767	-n-	III-3	840	<u>42°14,8'</u> <u>130°58,6'</u>	-n-	~ 30 см - пениц ( $Q_{\bar{m}}$ ) (возможно верхняя часть разните).		
86	1768	-n-	-n-	1150	<u>42°11,7'</u> <u>130°58,5'</u>	-n-	~ 4,5 м.		
87	1769	-n-	-n-	1350	<u>42°11,3'</u> <u>130°57,0'</u>	-n-	Горсть дресвыника		
88	1770	-n-	-n-	1360	<u>42°12,0'</u> <u>130°55,9'</u>	-n-	кери ~ 2 м ( $Q_{\bar{m}}$ )		
89	1771	30-Б	-n-	1860	<u>38°37,0'</u> <u>137°46,3'</u>	разните	0-85 см - верхн. часть вылетела - при подъеме. 85-180 см - кери был разбия на отдельн. куски.		
90	1772	-n-	-n-	1810	<u>38°37,7'</u> <u>137°43,7'</u>	-n-	0-3,0 м(нижние 2 м - $Q_{\bar{m}}$ , самый ниж еще плотнее)		

	1	2	3	4	5	6	7	8	9
91	1773	30-Б	ШП-3		2326	$\frac{38^0 38,2'}{137^0 39,3'}$	дно желоба	трубка пустая	
92	1774	-n-	-n-		2330	$\frac{38^0 39,5'}{137^0 40,0'}$	-n-	Горсточка полимитового песка	
93	1775	-n-	-n-		2030	$\frac{38^0 38,0'}{137^0 39,0'}$	склон подводной возвышен- ности	Керн 4,5 м	
94	1776	-n-	-n-		1850	$\frac{38^0 39,9'}{137^0 37,3'}$	-n-	Керн 1,4 м	
95	1777	-n-	-n-		1890	$\frac{38^0 34,3'}{137^0 37,6'}$	-n-	0-3,67 м	
96	1778	-n-	-n-		1850	$\frac{38^0 35,0'}{137^0 43,0'}$	-n-	0 - 2 м	
97	1779	-n-	-n-		2290	$\frac{38^0 31,5'}{137^0 42,0'}$	-n-	горсть песка	
98	1780	-n-	-n-		1900	$\frac{38^0 34,9'}{137^0 42,0'}$	-n-	трубка пустая	

	1	2	3	4	5	6	7	8	9
99	1781	30-А	Луга	1880-1800	<u>38°33,7'</u> 137°42,6'	склон небольшой	Ил и песчано-кальцник (2-4 см) получистых обломков желто-зато-		
100	1782	-" -	-" -	2250-2100	<u>38°30,0'</u> 137°45,0'	" -	" -	" -	
101	1783	-" -	-" -	2100-2000	<u>38°30,5'</u> 137°44,0'	" -	Серые слабо уплотненные алевролиты, голубовато-серые песчанистые алевролиты		
102	1784	-" -	-" -	1850-1700	<u>38°31,5'</u> 137°40,0'	" -	Обломки до 10 см эфузивов в глифах основного(?) среднего состава. Хорошо окатанная галька.		
103	1785	30-Б	-" -	1750-1600	<u>38°39,3'</u> 137°37,3'	" -	Большое количество обломков (до 20-25 см) шлаковидных, коркообразных, квари- глауконитовых пород; хорошо окатанная галька.		
104	1786	30-В	НП-3	2450	<u>39°13,4'</u> 137°12,2'	равнина	горсть ила		
105	1787	-" -	-" -	2560	<u>39°11,1'</u> 137°15,1'	Днище желоба Тонна	трубка пустая		
106	1788	-" -	-" -	2560	<u>39°11,1'</u> 137°15,1'	" -	горсть песка		

	1	2	3	4	5	6	7	8	9
107	1789	30-B	ППН-3	2415	<u>39°11,6'</u> 137°16,4'	равнина	2 м.	$Q_{\bar{IV}}$ - пемз	
108	1790	-" -	-" -	2490	<u>39°11,7'</u> 137°14,6'	склон желоба	4,5 м;	пемз - $Q_{\bar{IV}}$	
109	1791	-" -	драга	2700-2600	<u>39°46,8'</u> 137°35,2'	-"	Пустая		
110	1792	-" -	-" -	2750-2600	<u>39°46,3'</u> 137°35,2'	-"	Диатомовые алевролиты светло- серые с зелено-ватными оттенками; коричневато-серые уплотненные алюкритистные диатомовые глины; темно-серые эзерод-чешуйчатые глины		
111	1793	-" -	ПГН-2	2760	<u>39°46,0'</u> 137°34,0'	склон желоба	трубка пустая		
112	1794	-" -	-" -	2670	<u>39°47,5'</u> 137°36,8'	-"	-" -		
113	1795	-" -	-" -	2050	<u>40°21,8'</u> 137°19,8'	склон подводной воздвиженки	Пустая		

195

	1	2	3	4	5	6	7	8	9
114	1796	30-B	драга	1900-1700	<u>40°21,1'</u> 137°19,2'	склон подводной возвышен- ности	андезито-базальты темно-серые, плотные, массивные; пористые зеленовато-серые андезито-базальты; кирпично-красные мелкопористые базальты; зелено-вато-серые кристаллические и пластические псаммито-псефитовые туфы сливанного состава; светло-серые тонко зернистые туфиты (?); Fe-Mn корочки.		
115	1797	-n-	-n-	1800-1600	<u>40°21,1'</u> 137°17,5'	-n-	Балуны андезито-базальтов анал. ст. 17%		
							Два обломка светлых пепловых туфов.		
116	1798	-n-	-n-	3190-3140	<u>40°25,9'</u> 137°33,2'	-n-	Пустая		
117	1799	-n-	штп-3	3190	<u>40°25,3'</u> 137°34,0'	днище желоба	1,4 м; песок р/з, в верхней части - пелик		
118	1800	-n-	-n-	3050	<u>40°25,7'</u> 137°34,7'	склон желоба	2,4 м; пелик		
119	1801	-n-	-n-	3030	<u>40°24,8'</u> 137°32,8'	-n-	3,1 м; пелик		

1	2	3	4	5	6	7	8	9
120	1802	29	драга	1850-1760	<u>40°07,6'</u> 137°16,2'	силои желоба	Пустая	
121	1803	-" -	-" -	1800-1700	<u>40°06,5'</u> 137°16,2'	Светло-серые уплотненные алеври- тозные или; зелено-вато-желтые песчанистые алевролиты; один уг- ловатый обломок серого плотного андезита-базальта. <i>Fe-Mn</i> сажистые корочки и мел- кие юнирции.		
122	1804	-" -	-" -	1750-1600	<u>40°07,7'</u> 136°54,6'	Желтовато-зеленоватые слабо уплотненные песчанистые алевролиты с рассеянным гравием; серые пористые андезито-базальты; один угловатый обломок среднезер- нистого лиорита (?); светло-желтые мягкие глиноподобные образования, вероятно вторичные по андезито-базальти (?).		
123	1805	-" -	-" -	1850-1750	<u>39°57,4'</u> 136°37,1'	Серые пористые андезито-базальты; слабо уплотненные зеленовато-серые песчанистые алевролиты; сильно окварцированная темно-серая порода; светло-желтые глиноподобные породы анал. ст. 1804		

	1	2	3	4	5	6	7	8	9
124	1806	29	драга	1400-1300	$\frac{39^0 50,5'}{136^0 36,0'}$	склон желоба	Граниты лейкохратовые и зелено- вато-серые роговообманиловые; один обломок спиревато-серого дацитта; черные фиолетовые сланцы; светло-серые диатомовые туфы.		
125	1807	-n-	-n-	1500-1400	$\frac{39^0 48,7'}{136^0 34,5'}$		Серые шенкозернистые блютитовые граниты; мако-красные и серые кварциты;	Fe-Mn юрги	
126	1808	-n-	-n-	1900-1600	$\frac{39^0 44,3'}{137^0 32,7'}$		Зеленовато-серые мелкозернистые песчаники с рассеянным гравием; желтовато-зеленные глинистые туфоалевролиты; серые юргонитоморфы; зеленовато-серые кислые туфы; зеленовато-серые средне-, мелко- зернистые тучопесчаники; серые, буровато-серые кварциты, темно-серые отоговикованые алевролиты, босфориты, андезито- базальты;	Fe-Mn юрокки. 0,5% FeO - 30,64% P2O5	

1	2	3	4	5	6	7	8	9
127	1809	29	драга	1200-1100	$\frac{39^{\circ}38,5'}{136^{\circ}14,8'}$	галька, гравий, Fe-Mn корки		
128	1810	между 28-Г 30-В	драга	2200-2000	$\frac{39^{\circ}39,7'}{136^{\circ}48,2'}$	Зелено-серые сильно пористые (до пемзовых) андезито-дашти (?); туфобрикеты и глинистоприванные туфы того же состава; светло-серые, зеленовато-серые туфо-диатомиты и туфоалевролиты; один угловатый обломок серого гранит-порфира; два причудливых обломочка, вероятно, слепки раковин дисторзорой.	198	
129	1811	28-Г	-" -	730-650	$\frac{39^{\circ}36,8'}{136^{\circ}02,4'}$	Серо-зеленые, коричневато-серые дацитовые порфирь (?); галька.		
130	1812	-" -	-" -	950-900	$\frac{39^{\circ}29,8'}{135^{\circ}56,0'}$	Галька и один угловатый обломок темно-серого андезито-базальта.		
131	1813	-" -	-" -	1050-950	$\frac{39^{\circ}36,0'}{136^{\circ}03,6'}$	Коричневато-серые, вишнево-серые слабо пористые породы видимые эндэзиты; серые, зеленовато-серые квадратные порфирь; небольшое кол-во гальки.		

1	2	3	4	5	6	7	8	9
132	1814	28-Г	драга	530-500	<u>39°30,6'</u> 135°50,6'			
133	1815	-" -	-" -	515-500	<u>39°28,9'</u> 135°49,2'			
134	1816	-" -	-" -	440-370	<u>39°28,1'</u> 135°42,2'			
135	1817	-" -	-" -	490-450	<u>39°26,0'</u> 135°40,2'			
136	1818	-" -	-" -	550-500	<u>39°28,4'</u> 135°40, 2'			
137	1819	-" -	-" -	1050-950	<u>39°38,0'</u> 135°38,8'			
138	1820	-" -	-" -	1100-1000	<u>39°39,4'</u> 135°34,4'			

19

Мелкие полуокатанные обломки энз.ст.  
андезитов и выветренных  
туфов; галька

Горсть щебеник зеленых вывет-  
ренных туфов и андезитов  
(анал. обр. 1813/1)

Два полуокатанных обломочка  
андезитов (анал. обр. 1813/1)

Два полуокатанных обломка  
темно-серых андезито-базальтов;  
несколько галек

Темно-серые массивные андезито-  
базальты; плотные массивные темно-  
серые роговики; плотные краснова-  
тые базальты; галька.

Горсть гальки; два обломочка,  
слабо литифицированных песчани-  
ков; два обломочка темно-серых  
андезито-базальтов и кусочек  
пемзы.

Галька, щебень андезитов(?)

	1	2	3	4	5	6	7	8	9
139	1821	28-Г	драга	1050-950	<u>39°39,0'</u> 135°34,6'				
140	1822	-" -	-" -	680-600	<u>39°28,8'</u> 135°33,9'				
141	1823	-" -	-" -	600-550	<u>39°27,1'</u> 135°32,2'				
142	1824	-" -	-" -	700-650	<u>39°33,0'</u> 135°27,8'	слой изви- шности			
143	1825	-" -	-" -	450-400	<u>39°33,2'</u> 135°21,4'	" -			
144	1826	п. - 3. часть II-28	-" -	1330-1200	<u>38°54,8'</u> 134°31,3'	" -			
145	1827	-" -	-" -	770-700	<u>38°54,5'</u> 134°13,5'	" -			
146	1828	-" -	-" -	1050-1000	<u>39°04,4'</u> 134°02,3'	" -			

200

Слабо литифицированное зелено-  
вато-серые песчаники, конкре-  
ции фосфорита (?); галька

Темно-серые ороговинованные (?)  
андезито-базальты и роговики

Порфировидные андезиты алан. 1813/1.  
рого вики и щебень зеленых туфов,  
галька.

Темно-серые андезито-базальты;  
зеленый ороговинованный (?)  
песчаник; галька.

Глыбы и щебень андезитов и  
их туфов

Флиодальные дацитовые лавы

Зеленные крепкие среднезернистые  
песчаники; грубообрикристаллические гра-  
вийно-галечники из песчаников;  
галька и обломочки пемзы.

1	2	3	4	5	6	7	8	9
147	1829	Ю-3 часть II-28	драга	1580-1480	<u>39°05,2'</u> 134°01,8'	слой во взышен- ности	Галька (одна галька с примазкой песчанистого цемента)	
148	1830	-" -	-" -	1470-1400	<u>39°04,5'</u> 134°01,5'	-" -	Гравийный очень некрепкий песча- ник; зеленовато-серые глинистые песчаники очень слабо лити- фицированные; серый крепкий песчаник.	
149	1831	-" -	-" -	1410-1300	<u>39°04,0'</u> 134°00,7'	-" -	Щебень сильно измененных эфузивов, галька.	
150	1832	-" -	-" -	1400-1300	<u>39°04,6'</u> 134°02,0'	-" -	Очень крепкие кварцевые песчаники от шелко- до средне зернистых бурых; буро-серые до зелено-вато-серых; серые до коричневато-серых тонко- параллельно слойстые алевролиты; серо-зеленные разнозернистые слабо сцепленитированные песчаники; зелено-серые слабо литицирован- ные глинистые песчаники	
151	1833	-" -	-" -	1300-1200	<u>39°04,3'</u> 134°01,3'	-" -	Крепкие светло-серые песчаники крупно-, средне зернистые; точко зернистые серые трещиноватые алевролиты;	
							средне зернистые серо-зеленные слабо сцепленитированные песчаники; полудуихлые разнозернистые песчаники с редким гравием;	
							небольшие обломочки контгломерата с крепким песчанистым цементом.	

	1	2	3	4	5	6	7	8	9
152	1834	0-3 ЧАСТЬ П-28	драга	1200-1150	<u>39°03,9'</u> <u>134°01,1'</u>	склон возвышен- ности	желто-бурые крепкие средизер- нистые песчаники; темно-серые слойстые алевролиты; полурыхие зеленые плохо сортиро- ванные песчаники; половинчатый обломок андезита- ба за尔та;		
153	1835	-" -	-" -	1150-1100	<u>39°03,7'</u> <u>134°01,1'</u>	-" -	Крепкие серые мелкозернистые песчаники; слабо симметричные зеленовато- буро-серые среднезернистые песчаники; серые полихромные алевролиты; серо-зеленый слабо литифицирован- ный алевро-песчаник; номера (?) .		
154	1836	-" -	-" -	1100-1000	<u>39°03,6'</u> <u>134°01,2'</u>	-" -	Полурыхие коричневато-зеленые разнозернистые песчаники; крепкие контамераты; светло-серые слабо литифицирован- ные тонкозернистые песчаники.		
155	1837	-" -	-" -	900-800	<u>39°03,3'</u> <u>134°01,3'</u>	-" -	Глины и щебень андезита-ба за尔та; зеленые слабо cementированные разнозернистые песчаники; крупная галька гранитоидов, эфузи- вов среднего состава и пемзы.		
156	1838	-" -	ПП-3	940	<u>39°03,7'</u> <u>134°01,2'</u>	склон хр. Д. Янето	I, 35 км // песок, алеврит		

	1	2	3	4	5	6	7	8	9
157	1839	II-3 часть II-28	ПП-3		810	<u>38°03,0'</u> 134°01,0'	Слонов хр. Р.Ишато	0,3 м, дресва, р/з песок	
158	1840	-n-	дрога	1650-1600	<u>38°55,0'</u> 133°43,0'	-n-	Светло-серые уплотненные листо- волные алевро-песчанистые илы; галька		
159	1841	-n-	-n-	1600-1500	<u>38°55,1'</u> 133°43,0'	-n-	Галька и обломки пемзы		
160	1842	-n-	-n-	1350-1250	<u>38°53,0'</u> 133°41,9'	-n-	Коричневато-зеленые полурыхлые грубозернистые песчаники; светлые желтовато-зелено-ватные точечно зернистые губы; андезито-базальты; конгломерат (?); цебень амфиболитов и выветрелых гранито-гнейсов.		
161	1843	-n-	-n-	1300-1200	<u>38°53,0'</u> 133°41,9'	-n-	Серые андезито-базальты; выщелоченные алевро-изолиты (?); цебень гранито-гнейсов и амфиболитов; пемза и галька.		



	1	2	3	4	5	6	7	8	9
167	1849	14-Г	драга	1350-1250	<u>39°38,3'</u> 133°25,0'	склон	Рябые зелено-белые инохристаллические габбро; тонкоклассчатые темно-серые сланцы; темно-серый кварцевый пирофир; диатомовый туфоалеврит с сед.гравием; слепок раковины двусторонки.		
168	1850	-"	-"	1250-1150	<u>39°38,1'</u> 133°24,3'	-"	Светло-серые тонкозернистые сланцы; необычайно габбройдов (анал. 1849/1); кварц-полевой сланец (?); один обломок фосфорита (?); обуровлено-зеленые глинистые алевролиты;		
169	1851	-"	-"	-	980-900	<u>39°37,6'</u> 133°26,0'	-"	Сланцы анал. 1850/1; галька.	
170	1852	-"	-"	-	2400-2200	<u>39°39,2'</u> 133°05,6'	-"	Сиреневато-серые порфировые андезито-дациты (?); красноватые андезиты; голубовато-зеленые измененные туфы (?)	
171	1853	-"	-"	-	1380-1280	<u>39°24,8'</u> 133°10,3'	-"	Розовато-серые средние-, крупнозернистые граниты; алевро-лессочные сланцы диатомиты; галька.	

	1	2	3	4	5	6	7	8	9
172	1854	14-Г	ПГП-3	2080	$\frac{39^{\circ}25,9}{135^{\circ}05,8}$	сион зо повышен- ности	3,3 м; $Q_{III}$ ; верх ~ 50 см $Q_{IV}$ ;		
173	1855	-n-	-n-	1550	$\frac{39^{\circ}25,6}{133^{\circ}08,0}$	-n-	3,87 м; $Q_{II}$ ~ 3 м; поверху чистого $Q_{IV}$ ;		
174	1956	-n-	-n-	1820	$\frac{39^{\circ}25,6}{133^{\circ}07,0}$	-n-	1 м вверху - алеврит; - m/z песок 0 ~ 4,35 м; $Q_{III}$ + ~ 50 см $Q_{IV}$		
175	1857	-n-	лара	1420-1350	$\frac{39^{\circ}59,5}{133^{\circ}15,0}$	-n-	Темно-серые плотные базальты; светлые слабо литифицированные песчаные туфы (?); галька гранитов, андезита- базальтов; пемза.		
177	1859	18-3	-n-	1500-1400	$\frac{38^{\circ}20,0}{131^{\circ}33,5}$	Ложекратовое крупное, среднезернистое гравий; чешуйчатое (долето во- серые гнейсы белые флюидальные лимарии; окатанные и угловатые (разбитые гальки?) кварциты и кремнистые породы;	темно-серые плитчатые алевролиты; конгломерат с железистым цементом; светло-серые слабые песчанистые алевролиты; пемза.		
178	1860	-n-	-n-	1620-1500	$\frac{38^{\circ}24,0}{131^{\circ}41,4}$	Шебень тиолько-гранитов; ярко-зеленая глауконитовая глина (?); серая пемза; стекловатый базальт			

1	2	3	4	5	6	7	8
179	1861	18-B	драга	2350-2200	$\frac{38^{\circ}07,8}{1320\text{--}10,3}$	склон возвышен- ности	зелено-вато-серые, коричне-вато- серые уплотненные алевриты с рас тительным детритом; и слоистые алевро-несланники; желто-вато-зелено-ватые глинистые дилатомиты и дилатомито- туфопесчаники; шебенъ гнейсовъ анал. 1859/3; немаза
180	1862	бульян в озле 0°.	—II—	1250-1100	$\frac{37^{\circ}32,1}{1310\text{--}19,9}$	склон бульяна	Пустая
181	1863	—II—	—II—	1350-1300	$\frac{37^{\circ}33,5}{1310\text{--}21,1}$	—II—	Пустая
182	1864	—II—	—II—	1250-1100	$\frac{37^{\circ}33,0}{1310\text{--}21,4}$	—II—	Светлые желто-вато-зелено-ватые слабо лигнифицированные гравелилы, цементирующая масса — диатомовый туфъ (? алевролит); пемза; окатанные обломки стекла- тих базальто-в; Fe-Mn ко рочки.
183	1865	—II—	—II—	260-260	$\frac{37^{\circ}33,6}{1310\text{--}21,3}$	—II—	Легкая мелкогранистая пемза; шлаковидные сильно пористые базаль- тоиды; конгломерато-гравелилы с кремни- хелезистым цементом; тонкослоистые светло-серые пемзо- ты; пиньчатые темно-серые алевролиты.

I	2	3	4	5	6	7	8	9
184	1866	18-B	драга	2080-1900	$\frac{37^044,6}{131^033,8'}$	Илы; $Fe-Mn$ юрочки, один обломочек песчаника (неогенового)		
185	1867	воззв. Кришто- Фовича	-" -	800-800	$\frac{38^002,7}{131^027,1'}$	Слабо уплотненные глинистые сланцы; алевролиты, насыщенные обломками пемзы; щебень андезита-базальтов		
186	1868	-" -	-" -	1350-1250	$\frac{38^007,2}{131^022,6'}$	Бело-зеленые кристаллические сланцы; гравелиты (обломки пемзы с cementированные туфодиатомитом); стекловатый базальт; один обломок конгломерата с железистым цементом		
187	1869	-" -	-" -	2100-2000	$\frac{38^003,0}{130^052,0'}$	Серые, зеленовато-серые липаритовые породы; темно-серые андезитобазальты, крупные зернистые туфы и туфогравелиты.		
188	1870	-" -	-" -	1950-1800	$\frac{38^001,0}{130^054,5'}$	Серо-зеленые мягкие диатомовые алевролиты с рассеянным гравием; серые, стекловатые кислые эфузивы и их туфы; темно-серые андезито-базальты; пемза.		
189	1871	-" -	-" -	1270-1150	$\frac{37^057,0}{130^017,1'}$	Обломки пемзы, пропитанной гидроокислями $Fe-Mn$ и один обломок гранитоида		

I	2	3	4	5	6	7	8	9
190	1872	драга	1500-1400	<u>37°58,0'</u> 130°15,3	Гранито-гнейсы; контглюмераты с крепкими цементом; крепкие темно-серые песчаники; серо-зеленые плитчатые алевролиты; буровато-зеленый некрепкий средне- зернистый песчаник; пемза.			
191	1873	-" -	1370-1250	<u>37°56,9'</u> 130°08,0'	Щебень гранитоидов и пемза.			
192	1874	16-Д	-" -	1900-1800	<u>38°43,2'</u> 130°14,3'	Буроватые глинистые алевролиты; пемза		
193	1875	-" -	-" -	1400-1300	<u>38°42,6'</u> 130°12,4'	Шлако видные зелено-черные кварц- глауко нитовые породы; щебень андезито-базальтов; пемза, $Fe - Mn$ корочки; галька		
194	1876	-" -	-" -	1700-1600	<u>38°44,0'</u> 130°12,3'	Гравелиты, состоящие в основном из обломков пемзы, спементированных желто-зелено-черной тонко зернистой массой;		
						Фосфориты $\alpha_{\text{ф.}} 1876 - 27,26 \% P_2O_5$		
195	1877	зал. рейд Паллада	ШГ-3	19	<u>42°36,1'</u> 130°50,5'	Пустая дно залива		

Составила: Вещенкова Н.Г.

## Приложение №1

Уриал бүсв

Нр № уриал года	Номи- на	П о с т а н о в к а Глуби- ца	К о о р д и н а т ы		С ю ё м к а б у я	
			Всёго время- ни	Широта Долгота	Дата	Начало конец всего времени
36	31	21/УИ 16-20	13-40	2-20	1130 44°11.0	139° 13.5 22/УИ 19.05 20-30 1-25
37	31	23/УИ 12-00	13-43	1-43	1175 44°08.6	139° 13.3 24/УИ 19.47 21-20 1-37
33	13	26/УИ 13-55	15-23	2-33	1630 43°56.8	138° 15.2 23/УИ 14.00 17.00 3-00
39	13	23/УИ 12-00	14-00	2-00	1370 43°54.9	133° 06.5 29/УИ 22-51 23-51 1-10
20	13	23/УИ 17-00	19-55	2-55	1610 44°00.1	139° 01.1 30/УИ 04-30 07-55 3-25

26

## Приложение 6-Т

"Утверждаю"

Заместитель директора  
Тихоокеанского  
океанологического  
института ДВНЦ АН ССР  
по научной работе

В.А. Акуличев

"19 марта 1980 г.

"Утверждаю"

Главный инженер Приморского  
территориального  
геологического управления

Е.И. Бедокуров

"12" марта 1980 г.

## ПРОТОКОЛ

2 ноября 1979 г.

г. Владивосток

## Комиссия в составе:

председатель - нач. 33-го рейсе ПЛС "Первениц" ТОИ И.К. Пущин  
члены комиссии: 1) нач. отряда ТОИ Е.Н. Терехов

2) нач. партии ПТГУ А.Г. Асеев

3) нач. отряда ПТГУ Ю.Л. Гаранько

назначенная приказом по Приморскому территориальному геологическому управлению № 2074 от 18.09.1979 г., согласованным с Тихоокеанским океанологическим институтом, провела предварительные испытания гидропоршневых пробоотборников моделей ПГП-2 и ПГП-3 в соответствии с программой и методикой предварительных испытаний ПГП-3.00.00 ПМИ в период с 16 июля по 1 ноября 1979 г.

В результате предварительных испытаний комиссия установила:

Раздел 1. Результаты проверки соответствия состава и комплектности изделия конструкторской документации.

Представленные на испытаниях опытные образцы гидропоршневых пробоотборников соответствует сборочным чертежам ПГП-2.00.00 СБ\_ПГП-3.00.00 СБ, спецификациям ПГП-2.00.00 и ПГП-3.00.00.

Пробоотборники полностью укомплектованы запасными частями и инструментом в соответствии с инструкцией по эксплуатации ПГП-3.00.00ИЭ

Раздел 2. Данные и результаты испытаний согласно программе о методике испытаний.

Гидропоршневыми пробоотборниками отбирали пробы донных осадков на глубине моря от 840 до 3600 м.

С 16 июля по 1 августа опробование вели гидропоршневым пробоотборником модели ПГП-2. Было сделано 30 станций, из них 25 - результативных. Отобранные колонки представлены илами различной плотности. Наибольшая длина колонки 4,5 м, средняя длина колонки 3 м.

С 19 августа по 1 ноября глубоководное опробование производили гидропоршневым пробоотборником модели ПГП-3. Было сделано также 30 станций, из них 21 результативных. Породы те же самые, илы различной плотности. Наибольшая длина колонки 5 м, средняя длина колонки 3,2 м.

Раздел 3. Общая оценка показателей изделия по результатам испытаний и соответствия требованиям технического задания.

#### A. Оценка надежности

Конструкция пробоотборников надежные, обладает достаточной прочностью и долговечностью. Во время испытаний были три случая удара пробоотборника о твердый грунт с отбором дресвы, гальки, валунов. Демпфирующее действие поршня исключало удар цилиндра по колонковой трубе, предохраняя ее от деформации.

#### B. Технико-экономические показатели

Использование гидропоршневых пробоотборников взамен прямосточных трубок позволило повысить качество и производительность работ за счет следующих факторов:

1) Длина отбираемой колонки в среднем вдвое больше, чем у прямосточной трубы такого же веса, что вдвое повышает производительность по метражу.

2) Применение жесткого разрезного вкладыша и полизтиленового рукова позволяет разгружать пробоотборник, не вынимая его из контователя и не отвинчивания колонковую трубку от головной части пробоотборника. Благодаря этому экономится около 20 минут на каждой станции. Кроме того, повышается качество отобранных хрупких проб, поскольку при извлечении колонки ее структура не нарушается.

3) Гидропоршневой пробоотборник позволяет практически полностью исключать поломки колонковых труб при внедрении, снизив тем самым потери времени на устранение аварий.

В. Оценка трудоемкости и удобства монтажа и эксплуатации

За время испытаний дважды производилась переконсервация гидропоршневых пробоотборников с полной их разборкой. Монтаж и демонтаж пробоотборников удобен и легко выполняется с помощью инструмента, указанного в инструкции по эксплуатации.

Г. Оценка соответствия требованиям техники безопасности

По сравнению с прямоточной трубкой гидропоршневой пробоотборник не создает повышенной опасности для обслуживающего персонала. Использование колонкового набора с разрезным жестким вкладышем позволило исключить одну из наиболее опасных и трудоемких операций - укладку пробоотборника на палубу для разгрузки пробы.

Раздел 4. Выявленные недостатки:

А. Устраненные в процессе предварительных испытаний

Из-за некачественной сварки (в РММ ПТГУ) поршень ПГН-3.00.02 после 12 станций разорвался по сварке. Дефект устранили после окончания второго этапа рейса, повторно сварив детали поршия двумя швами.

Б. Подлежащие устраниению перед приемочными испытаниями

1) Недостаточна прочность колонковой трубы в районе резьбы, вследствие чего при извлечении из грунта 7-метрового колонкового набора труба согнулась. Резьбовые участки труб необходимо усилить с помощью втулок, приваренных снаружи.

2) Наблюдалась сильная коррозия и быстрая поломка лепестков клапана-кернорвателя, бывшего в работе. В инструкции по эксплуатации следует отметить необходимость промывки в пресной воде, смазки машинным маслом и хранения отдельно от пробоотборника всех лепестковых клапанов, бывших в работе.

В. Подлежащие устраниению при корректировке документации для изготовления установочной серии

Из-за недостаточной обтекаемости крышки цилиндра при извлечении пробоотборника ПГН-3 из грунта и подъеме на поверхность было 4 случая зацепа троса за крышку.

Необходимо сделать крышку более обтекаемой. Под болты, крепящие крышку и цилиндр, необходимо сделать в крышке гнезда с таким расчетом, чтобы головки болтов не выступали над крышкой.

Раздел 5. Результаты проверки соответствия испытываемого изделия конструкторской документации с учетом изменений, внесенных в процессе испытаний

Опытные образцы соответствуют требованиям технического задания, рабочим чертежам и инструкции по эксплуатации.

Раздел 6. Выводы и предложения.

1) На приемочные испытания представить гидропоршневой пробоотборник модели ШГП-Э, имеющий больший объем цилиндра и отбирающий более длинную колонку.

2) Станции, где работа проводилась с соблюдением правил инструкции по эксплуатации, следует зачесть в объем приемочных испытаний.

Председатель комиссии -

И.К. Пущин

Члены комиссии:

Е.Н. Терехов

А.Г. Асеев

Ю.Л. Гаранько

Комиссия Верма



"утверждаю"

Заместитель директора  
Тихоокеанского  
океанологического  
института ДВНЦ АН СССР  
по научной работе  
В.А. Акуличев

" " марта 1980 г.

"утверждаю"

Главный инженер  
Приморского  
территориального  
геологического  
управления

К.И. Бедокуров

12 марта 1980 г.

## ПРОТОКОЛ

2 ноября 1979 г.

г. Владивосток

Комиссия в составе: председатель - нач. 33-го рейса НИС "Первомай"  
ТОИ - И.К. Пущин

члены комиссии: 1. нач. отряда ТОИ - Е.П. Терехов  
2. нач. партии НГГУ - А.Г. Асеев  
3. нач. отряда НГГУ - Ю.Л. Гаранько

назначенная приказом по Приморскому территориальному геологическому  
управлению № 207-А от 18.09.1979 г., согласованным с Тихоокеанским  
океанологическим институтом, провела предварительные испытания  
гидростатического пробоотборника ГСП-1М - в соответствии с програм-  
мой и методикой предварительных испытаний ГСП-1М.00.00ПМП в период  
с 16 по 19 августа 1979 г. В результате предварительных испытаний  
комиссия установила:

Раздел 1. Результаты проверки соответствия состава и комплект-  
ности изделия конструкторской документации.

Представленный на испытания опытный образец гидростатического  
пробоотборника соответствует сборочному чертежу ГСП-1М.00.00 СБ и  
спецификации ГСП-1М.00.00.

Гидростатический пробоотборник полностью укомплектован запас-  
ными частями и инструментом в соответствии с инструкцией по  
эксплуатации ГСП-1М.00.00 ИЭ.

Раздел 2. Данные и результаты испытаний согласно программе и  
методике испытаний.

Гидростатическим пробоотборником отбирали пробы донных осадков  
на глубине моря от 20 до 515 м. Всего сделано 50 станций (включая  
станции 10-дневного пробного рейса); из них 28 - результативных.

Наибольшая длина колонки: в песках - 4,5 м; в илах - 4,8 м. Средняя длина колонки в песках - 2,6; в илах - 4,2 м.

На двух станциях провели сравнительные испытания гидростатического пробоотборника и прямоточной трубы, причем в качестве последней использовали этот же гидростатический пробоотборник, но с жестко закрепленным на штоке цилиндром. В результате подтвердились данные испытаний первой модели гидростатического пробоотборника (1976 г.): в песчаных отложениях гидростатический пробоотборник по глубине внедрения в 5 раз превосходит прямоточную трубку такого же веса.

Раздел 5. Общая оценка показателей изделия по результатам испытаний и соответствия требованиям технического задания.

#### A. Оценка надежности

Конструкция пробоотборника в целом надежна, обладает достаточной прочностью и долговечностью. Небольшой объем работ на глубинах выше 200 м (5 станций) не позволил однозначно оценить степень растяжения колонки восходящим фильтрационным потоком поровой воды грунта.

#### B. Технико-экономические показатели

Использование гидростатического пробоотборника взамен прямоточной трубы повышает производительность работ за счет следующих факторов:

1) Длина отбираемых в песчаных отложениях колонок в среднем в 5 раз больше, чем у прямоточной трубы такого же веса, т.е. производительность по метражу повышается в 5 раз.

2) Применение жесткого разрезного вкладыша и полиэтиленового рукава позволяет разгружать пробоотборник, не вынимая его из контейнера и не отвинчивая колонковую трубу от головной части пробоотборника. Благодаря этому экономится около 20 млн. на каждой станции. Кроме того, повышается качество отобранных проб, поскольку при извлечении колонки ее структура не нарушается.

#### B. Оценка трудоемкости и удобство монтажа и эксплуатации

За время испытаний дважды производилась переконсервация пробоотборника с полной его разборкой. Монтаж и демонтаж пробоотборника удобен и легко выполняется с помощью инструмента, указанного

в и струкции по эксплуатации. Небольшие затруднения были при извлечении штока из цилиндра, так же из-за коррозии нерабочего участка штока его наружный диаметр увеличился на 2-3 мм.

#### Г. Оценка соответствия требованиям техники безопасности

По сравнению с прямоточной трубкой гидростатический пробоотборник не создает повышенной опасности для обслуживающего персонала. Использование колонкового набора с разрезным жестким вкладышем позволило исключить одну из наиболее опасных и трудоемких операций - укладку пробоотборника на палубу для разгрузки пробы.

#### Раздел 4. Выявленные недостатки:

##### А. Устранившиеся в процессе предварительных испытаний

В опытном образце имелся дефект изготовления, допущенный ЭПСМ "Опыт": отсутствовала пробка ГСП-ИМ.00.12 в днище цилиндра, имелось гладкое отверстие в верхнем торце цилиндра. После обнаружения дефекта в отверстие забили деревянную пробу, а по возвращению во Владивосток отверстие заварили.

##### Б. Подлежащие устраниению перед приемочными испытаниями

1) Недостаточна прочность колонковой трубы в районе резьб, вследствие чего при извлечении из грунта 7-метрового колонкового набора труба согнулась. Резьбовые участки труб необходимо усилить с помощью втулок, приваренных снаружи.

2) Наблюдалась сильная коррозия и быстрая поломка лепестков клапана - кернорраталя, бывшего в работе. В инструкции по эксплуатации следует отметить необходимость промывки в пресной воде, смазки машинным маслом и хранения отдельно от пробоотборника всех лепестковых клапанов, бывших в работе.

##### В. Подлежащие устраниению при корректировке документации для изготовления установочной серии

Из-за коррозии нерабочего участка штока ГСП-ИМ.00.01 наружный диаметр этого участка увеличился на 2-3 мм. Необходимо уменьшить диаметр нерабочего участка штока на 3 мм.

Раздел 5. Результаты проверки соответствия испытуемого изделия конструкторской документации с учетом изменений, внесенных в процессе испытаний

Опытный образец соответствует требованиям технического задания, рабочим чертежам и инструкции по эксплуатации.

Раздел 6. Выводы и предложения.

- 1) Гидростатический пробоотборник ГСП-ТМ может быть представлен на приемочные испытания.
- 2) Станции, где работа проводилась с соблюдением правил инструкции по эксплуатации, следует зачесть в объем приемочных испытаний.

Председатель комиссии:

И.К. Пущин

члены комиссии:

Г.П. Терехов

А.Г. Асеев

Ю.Л. Гаранько

Копия верна

Д.Д. Дубровин

"утверждаю"

Заместитель директора  
Тихоокеанского  
океанологического  
института ДВНЦ  
АН СССР  
по научной работе

В.А. Акуличев

19 марта 1980 г.

"утверждаю"

Главный инженер  
Приморского  
территориального  
геологического  
управления

Е.И. Бедокуров

12 марта 1980 г.

### ПРОТОКОЛ

2 ноября 1979 г.

г. Владивосток

Комиссия в составе:

председатель - нач. 35-го рейса АМС "Первенец" ТОИ - И.К. Пущин  
члены комиссии:

1. нач. отряда ТОИ - Е.П. Терехов
2. нач. партии ПТГУ - А.Г. Асеев
3. нач. отряда ПТГУ - Ю.Е. Гаранько

назначенная приказом по Приморскому территориальному геологическому управлению № 207а от 18.09.1979 г., согласованным с Тихоокеанским океанологическим институтом, провела предварительные испытания кантователя морских колонковых пробоотборников КМП-3 в соответствии с программой и методикой предварительных испытаний КМП-3.00.00.ПМП в период с 16 июля по 1 ноября 1979 г.

В результате предварительных испытаний комиссия установила:

Раздел 1. Результаты проверки соответствия состава и комплектности изделия конструкторской документации.

Представленный на испытания опытный образец кантователя морских колонковых пробоотборников соответствует сборочному чертежу КМП-3.00.00.СБ и спецификации КМП-3.00.00.

Раздел 2. Данные и результаты испытаний согласно программе и методике испытаний.

С помощью кантователя КМП-3 производился спуск и подъем тяжелых

морских колонковых пробоотборников моделей ПГП-2, ГСП-ИМ и ПГП-3 (вес каждого пробоотборника 600-700 кг, длина 7-10 м) в следующей последовательности и объеме:

Пробоотборник ПГП-2 - 30 станций;

Пробоотборник ГСП-ИМ - 19 станций;

Пробоотборник ПГП-3 - 30 станций

Общий объем работ с кантователем (79 станций) значительно превосходит объем, предусмотренный программой предварительных испытаний.

### Раздел 3. Общая оценка показателей изделия по результатам испытаний и соответствия требованиям технического задания

#### A. Оценка надежности

Надежность основных узлов кантователя (горизонтального и вертикального валов, подшипниковых узлов, кронштейнов и их креплений к борту судна) удовлетворительна. Кантователь испытывался в достаточно жестких условиях: в 1-м и 2-м этапах пробоотборники по несколько суток во время переходов находились в кантователе, даже в штормовую погоду. При этом кантователь испытывал, кроме статических, значительные динамические нагрузки.

#### Б. Технико-экономические показатели

Применение кантователя позволило повысить производительность работ за счет следующих факторов:

1) При одной и той же численности палубной команды (не более 10 человек) наличие кантователя дало возможность организовать работу в 3 смены - по 3 человека в бригаде, а без кантователя работа могла проводиться лишь в 2 смены - по 5 человек в бригаде.

2) Уменьшилось количество нерабочих (штормовых) дней: с помощью кантователя можно работать при волнении моря до 4-х баллов, а без кантователя - до 2-х баллов.

#### В. Оценка трудоемкости и удобства монтажа и эксплуатации

Кантователь компактен, хорошо вписывается в габариты практически любого экспедиционного судна. Повторный монтаж (демонтаж) кантователя занимает не более 20-30 минут.

Работа с кантователем удобна, легко осваивается членами буровой бригады, не требуя специальных навыков; затраты физических усилий - в пределах нормы.

#### Г. Оценка соответствия требованиям техники безопасности

Жесткое крепление пробоотборника в кантователе в самом начале спуско-подъемных операций (при подъеме с палубы или с поверхности воды) значительно повышает безопасность перемещения пробоотборника в забортное или надпалубное положение по сравнению с применявшимися ранее способами выполнения этих операций.

#### Раздел 4. Выявленные недостатки:

##### А. Устраненные в процессе предварительных испытаний

1) При опробовании кантователя перед началом рейса были выявлены неудобство и недостаточная прочность захвата в виде одновиничного варнирного ключа. В РММ НПГУ был изготовлен и установлен на кантователь новый захват из двух соединенных варниром полукомутов и клинового затвора.

2) Недостаточна прочность секторов на торце горизонтального вала. В I-м этапе рейса несколько секторов погнулись, а во 2-м этапе 3 деформированных сектора выломались. К 3-му этапу в ЭПСМ "Опыт" ДВИЦ изготовили новый вал с 4-я секторами, прочность которых повысилась вдвое, деформация секторов была устранена.

Удобство работы с кантователем не ухудшилось, так как первоначальная фиксация горизонтального вала через  $45^{\circ}$  оказалась излишней. Достаточно фиксировать его через  $90^{\circ}$ , т.е. при вертикальном и горизонтальном положениях пробоотборника.

3) Фиксация вертикального вала через  $50^{\circ}$  оказалась недостаточной, так как усложнялось достижение положения, удобного для разгрузки пробоотборника. После окончания I-го этапа рейса по фланце кронштейна просвердили два дополнительных отверстия под палец-фиксатор, позволяющих фиксировать вертикальный вал через каждые  $10^{\circ}$ .

##### 5. Подлежащие устранению перед приемочными испытаниями

При забивке клина участок подвижного полукомута, испытывающий давление клина, разгибался до соприкосновения с неподвижным полукомутом. Поэтому труба пробоотборника в захвате плотно не зажима-

лась. Кроме того, гладкая поверхность вкладышей не обеспечивала достаточного трения о поверхность колонковой трубы. Вследствие этих недостатков при вертикальном положении пробоотборник проскальзывал в захвате и его приходилось удерживать с помощью канрового каната, прикрепленного одним концом к колонковой трубе, а другим - к фальшпорту.

Необходимо увеличить жесткость подвижного полукомута, а вкладыши захвата сделать с насечкой (резьбой) и закалить.

В. Подлежащие устраниению при корректировке документации для изготовления установочной серии

Имелась остаточная деформация от усилий среза и смятия на пальце - фиксаторе и в отверстиях обоих соединяемых пальцем фланцах.

Необходимо увеличить диаметры пальца-фиксатора и отверстий в соединенных им фланцах; толщину последних сделать не менее 20 мм.

Раздел 5. Результаты проверки соответствия испытываемого изделия конструкторской документации с учетом изменений, внесенных в процессе испытаний

Конструкция кантователя в целом соответствует требованиям технического задания, рабочим чертежам и инструкции по эксплуатации. Значительно изменена конструкция захвата.

Раздел 6. Выводы и предложения

- 1) Кантователь морских колонковых пробоотборников КМП-3 может быть представлен на приемочные испытания.
- 2) Выполненные сверх программы станции зачет в объеме приемочных испытаний.

Председатель комиссии:

И.К. Пущин

Члены комиссии:

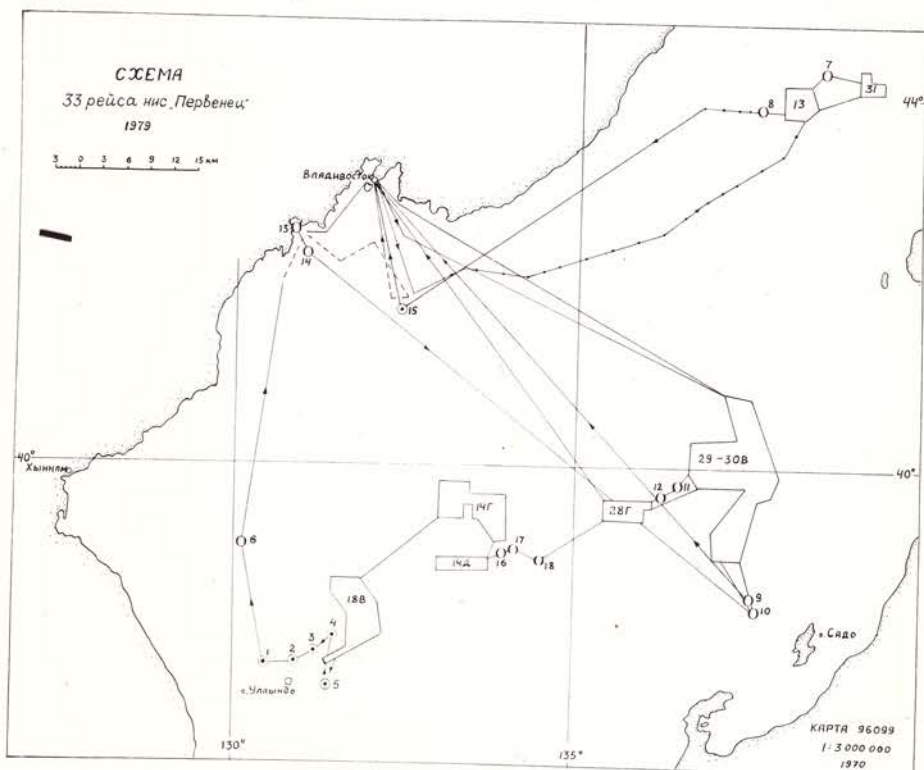
Г.П. Терехов

А.Г. Асеев

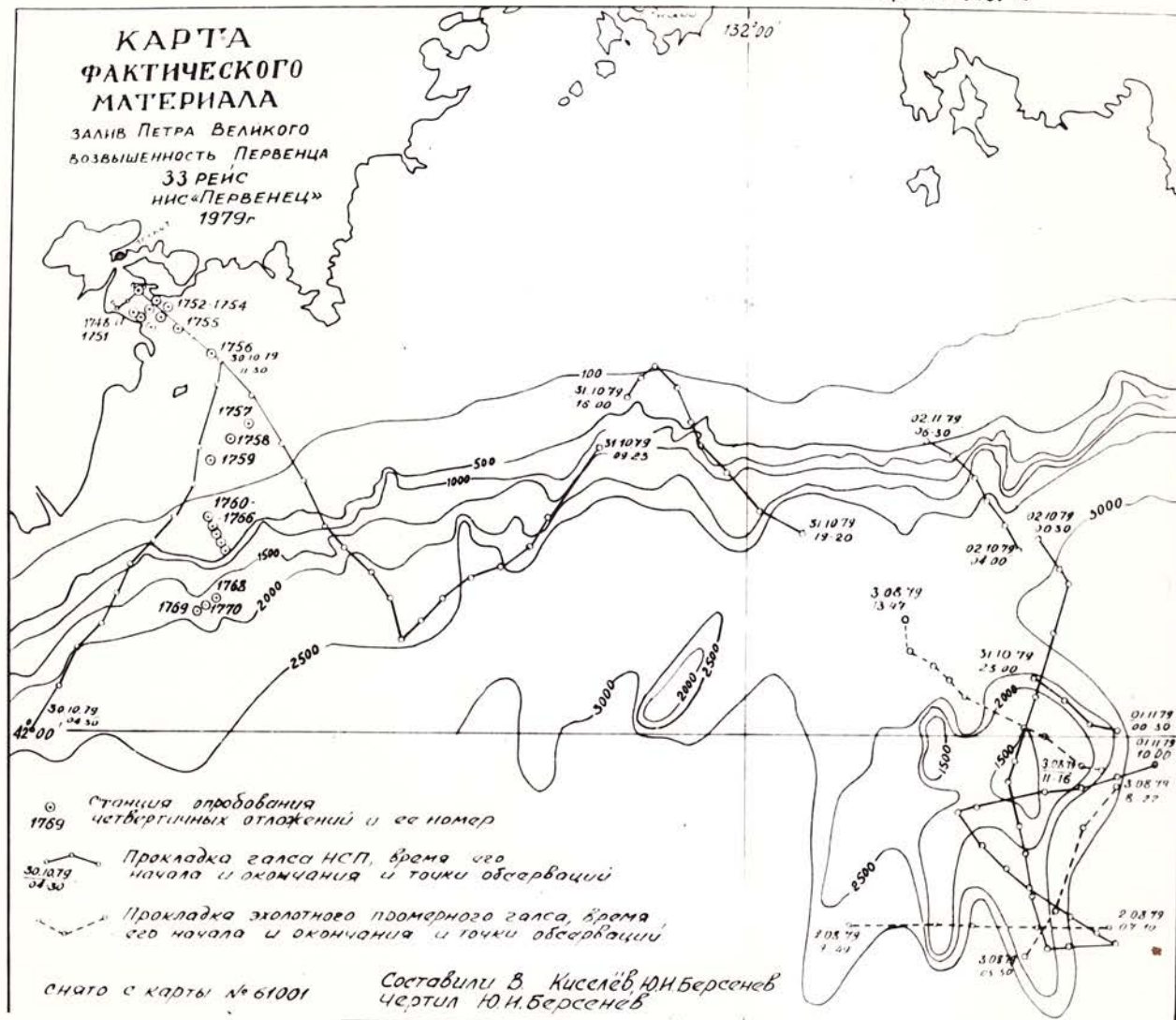
Ю.Л. Гаранько

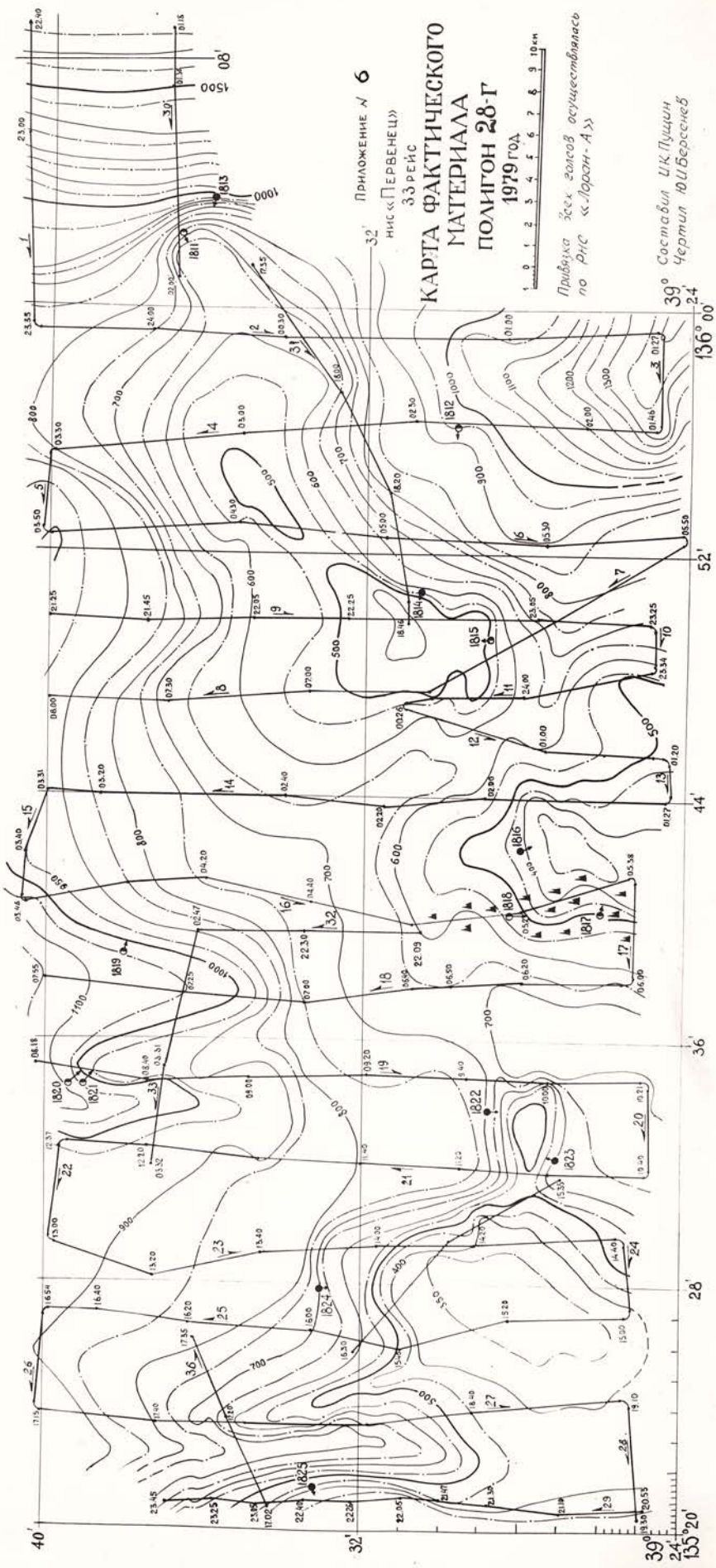
*Комиссия берта  
Гаранько*

Приложение 1

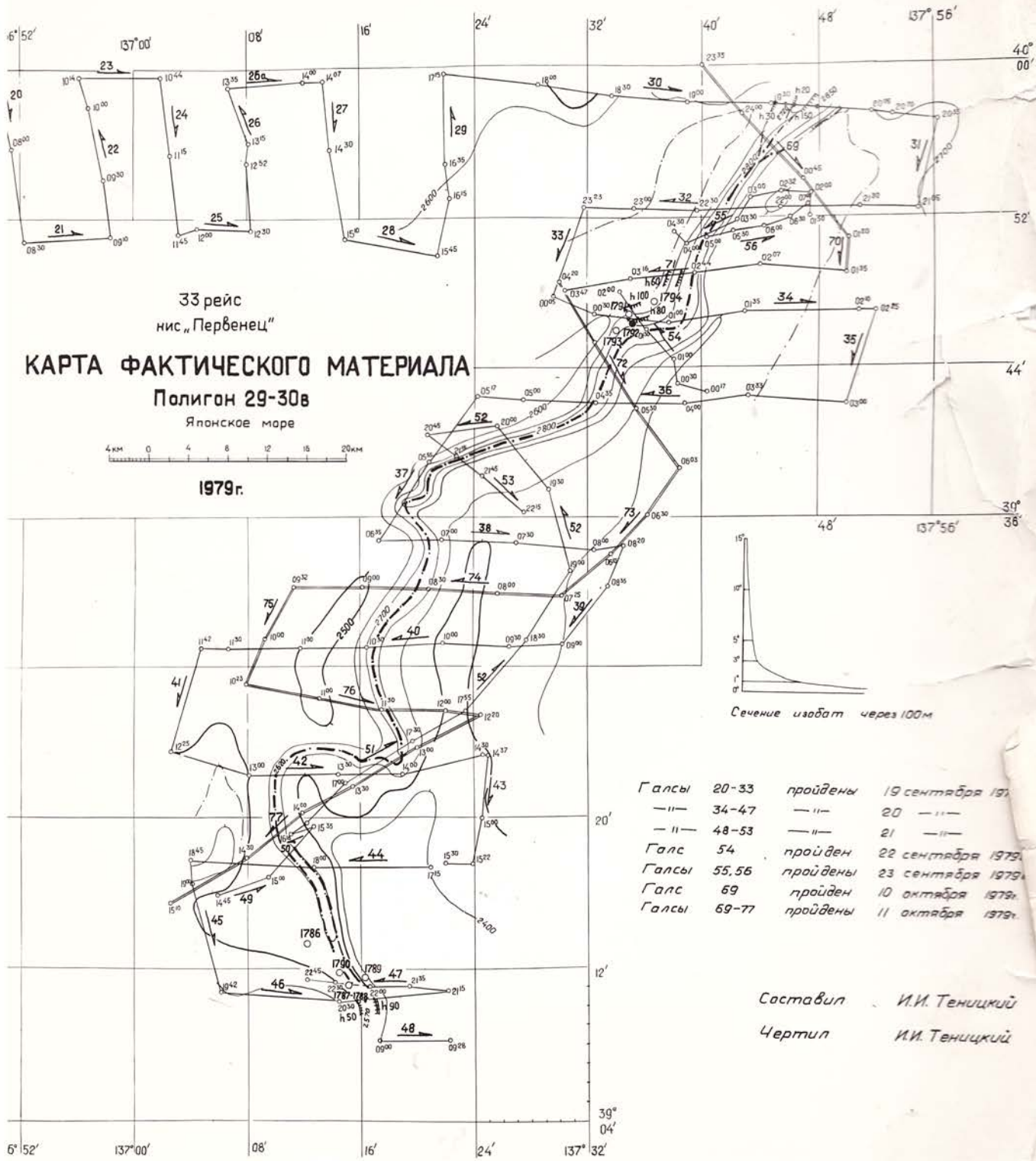


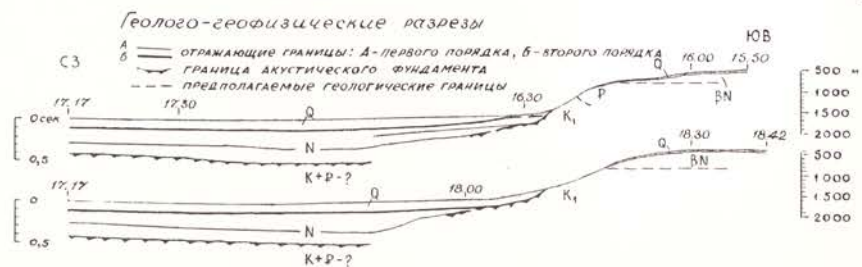
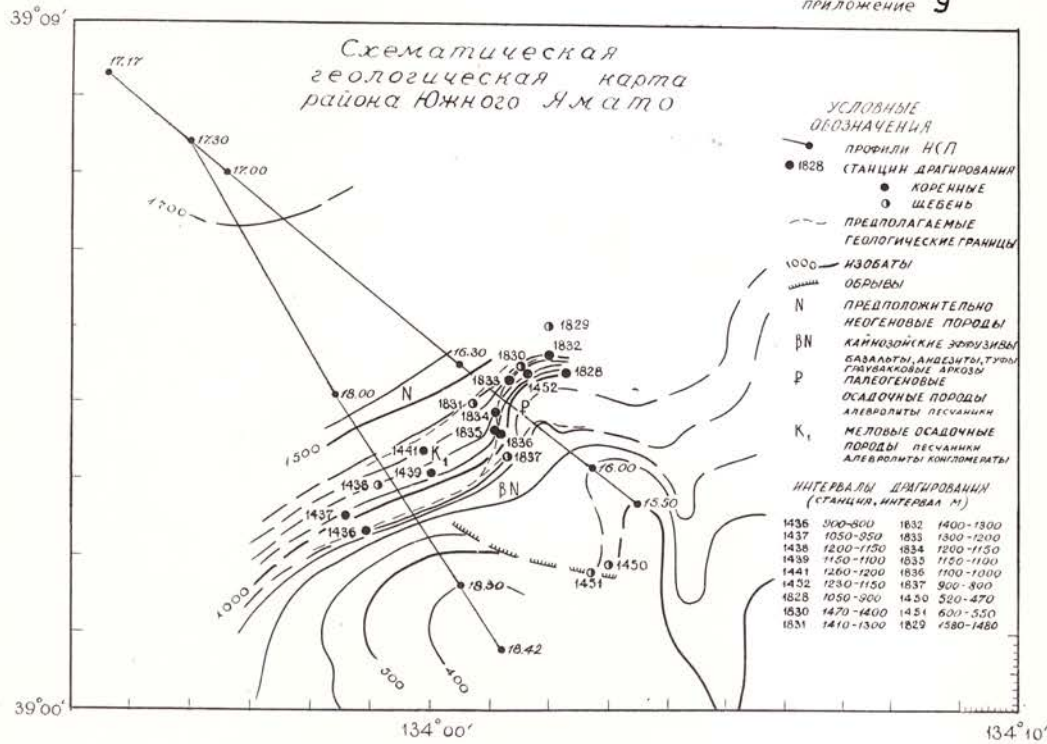
Прилож. 2





Приложение № 7  
лист 2

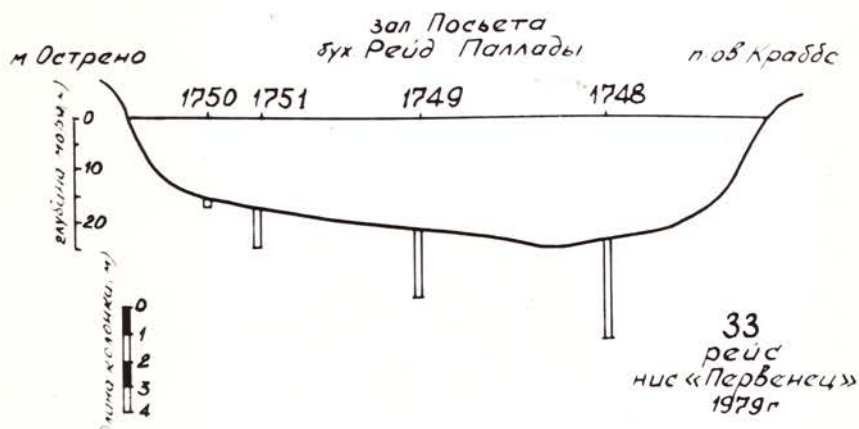




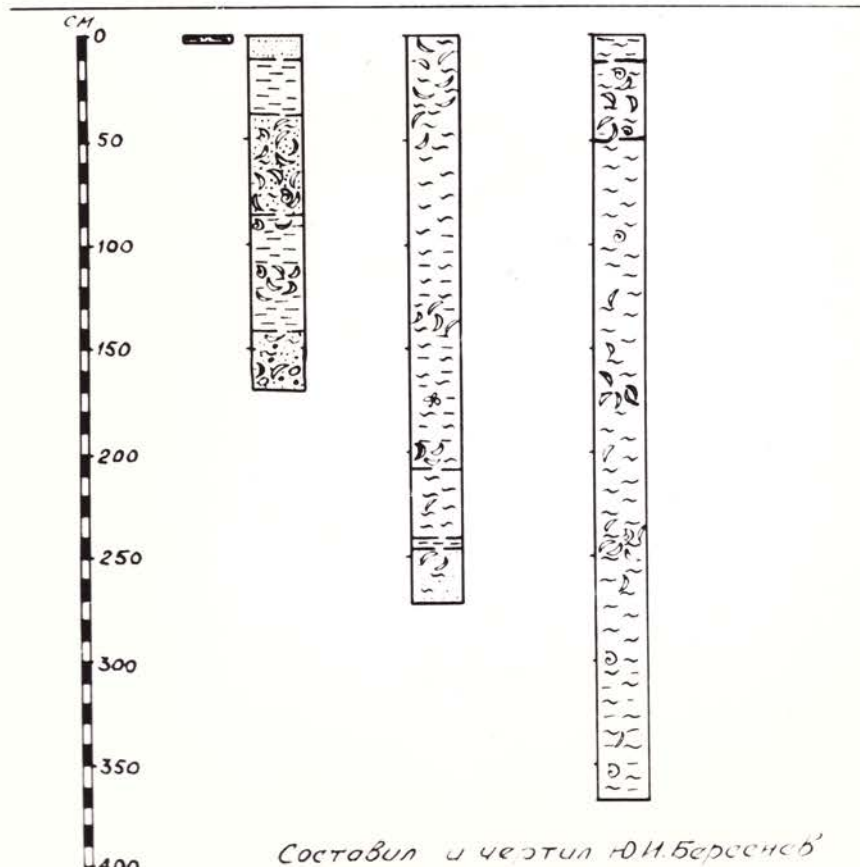
Приложение 10

Поперечный профиль  
определения четвертичных отложений  
в зал Посытого

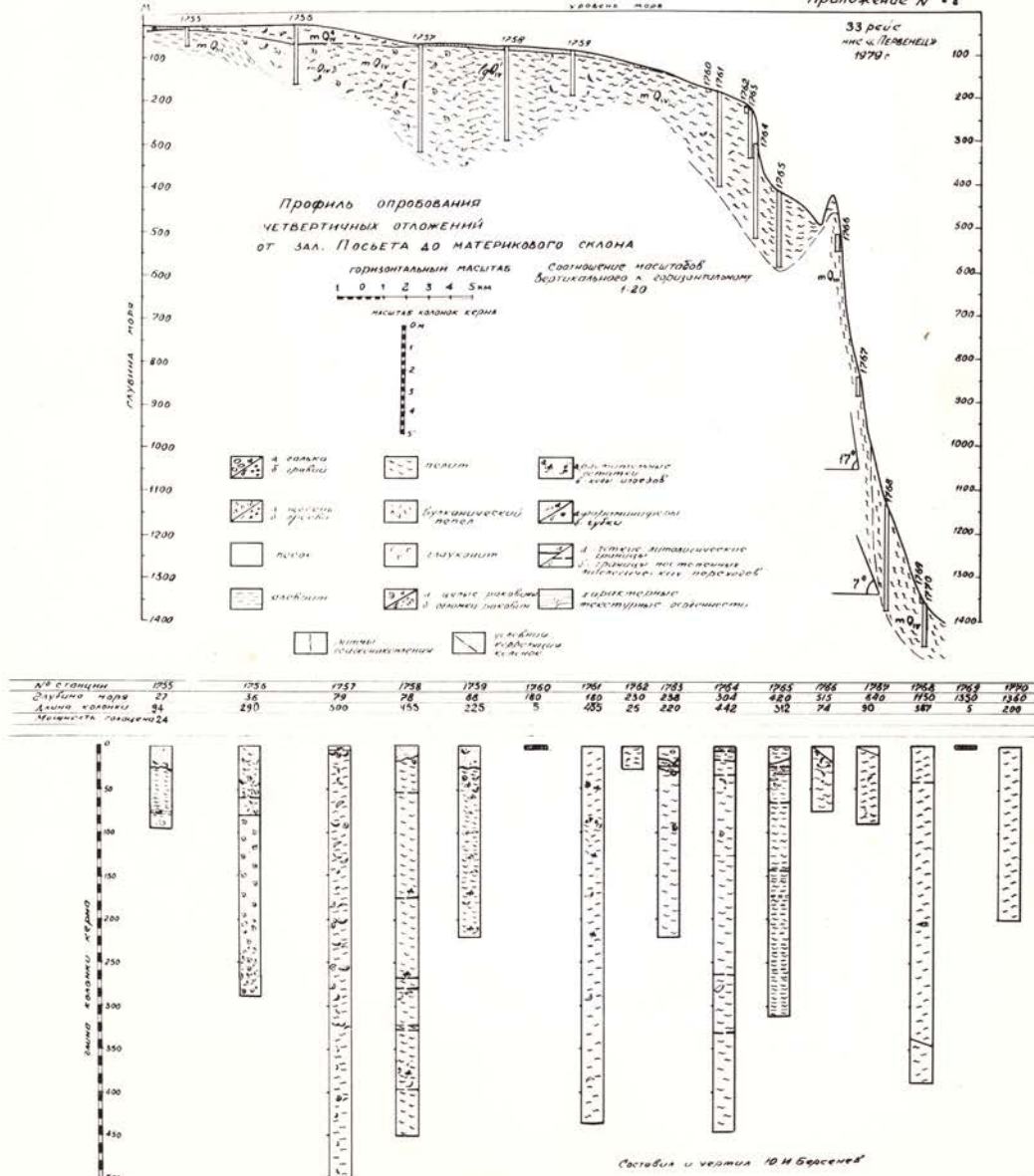
1 0 1 2 3 4 5 км



Номер станции	1750	1751	1749	1748
Глубина моря	15,5	17,5	21,5	24
Длина колонки	170	270	370	

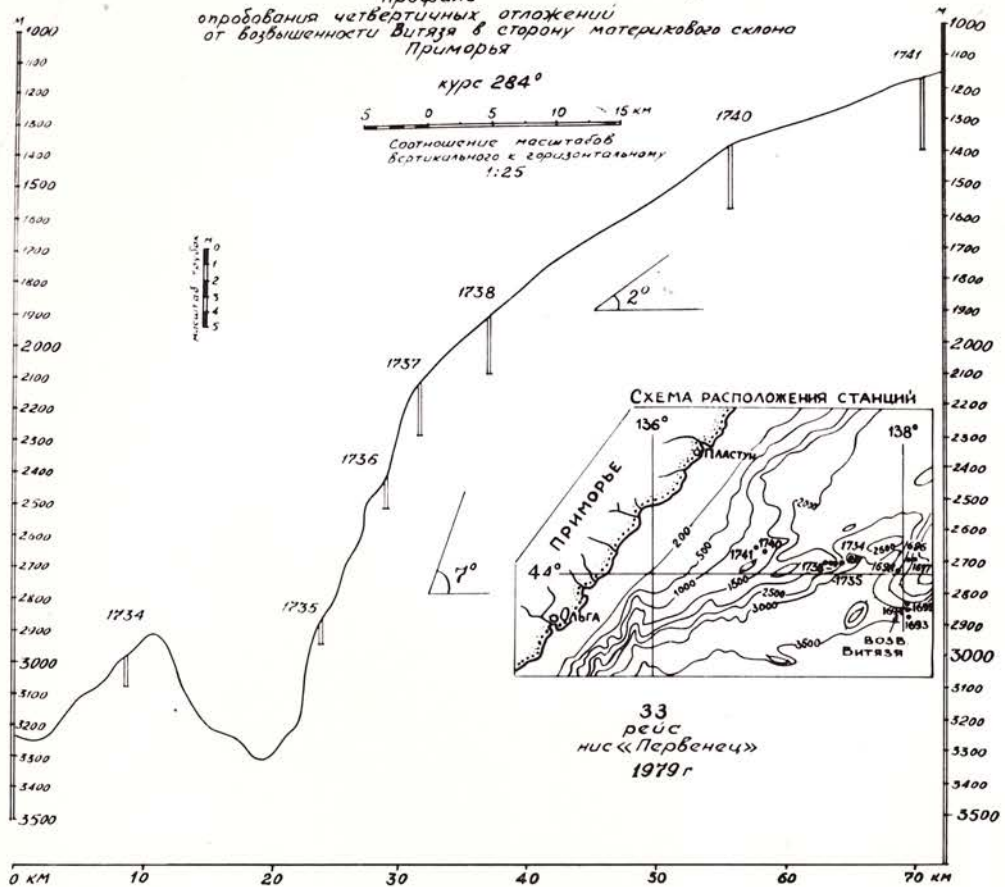


## *Приложение N 11*

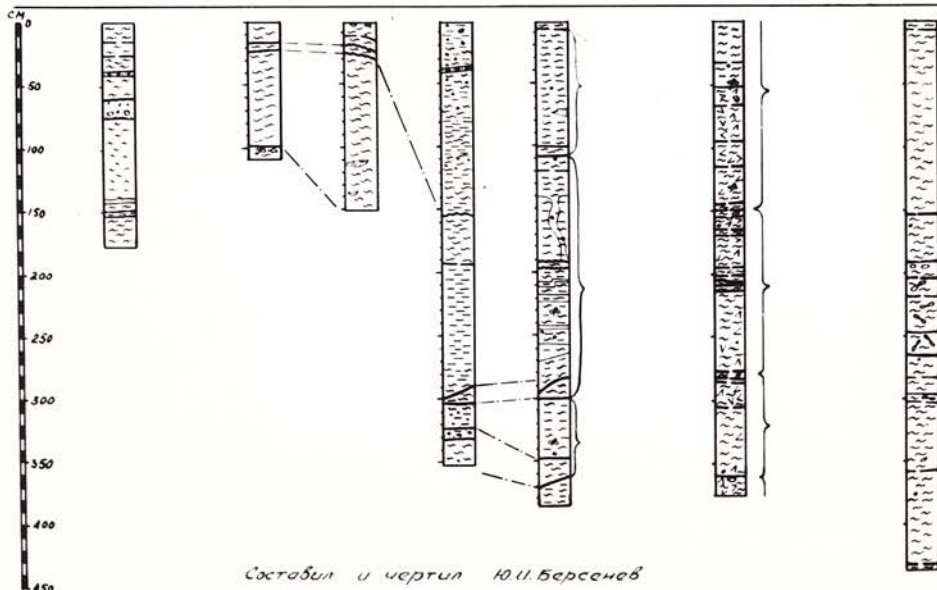


Приложение № 12

Профиль  
опробования четвертичных отложений  
от возвышенности Витязя в сторону материкового склона  
Приморья

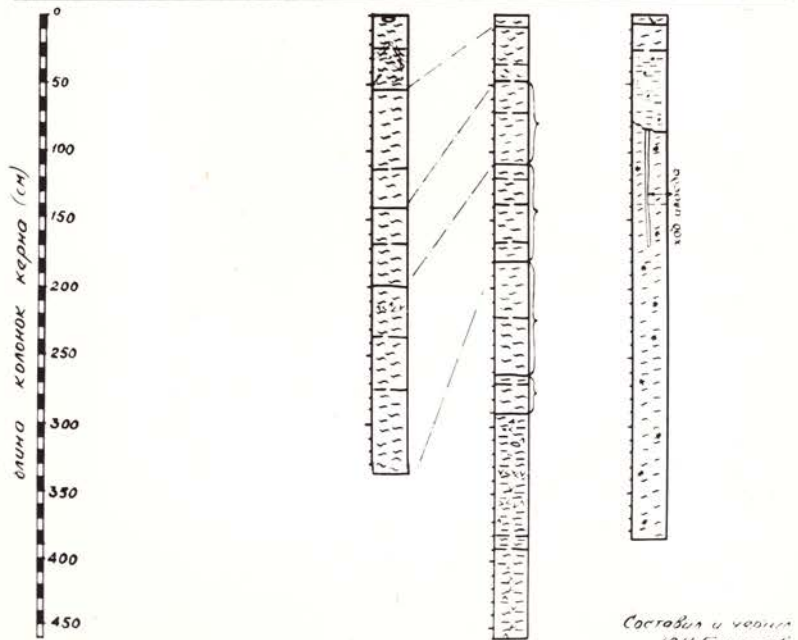
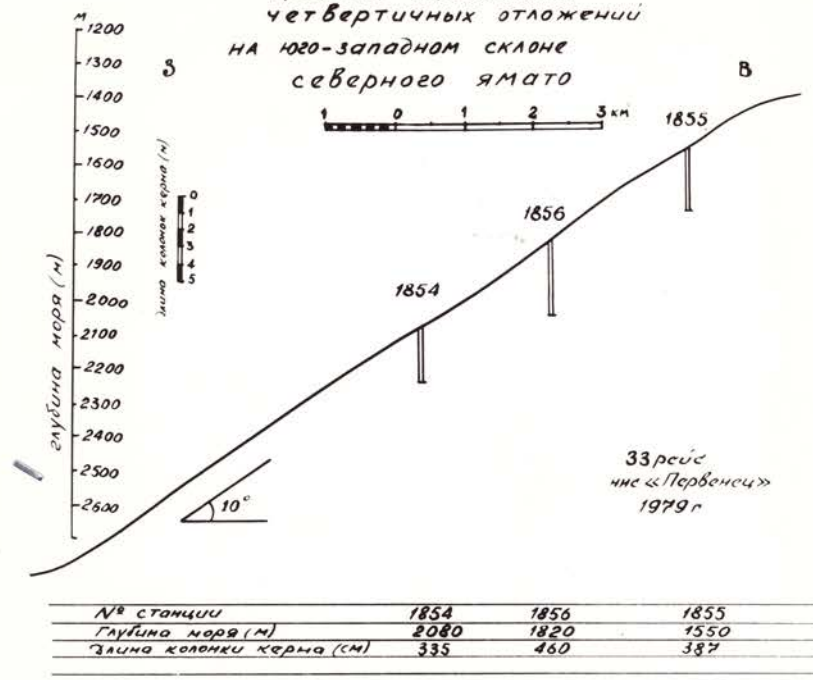


Номер	1734	1735	1736	1737	1738	1740	1741
Год	1979	1980	1980	1980	1980	1985	1985
Глубина м	2980	2920	2445	2145	1915	1595	1120



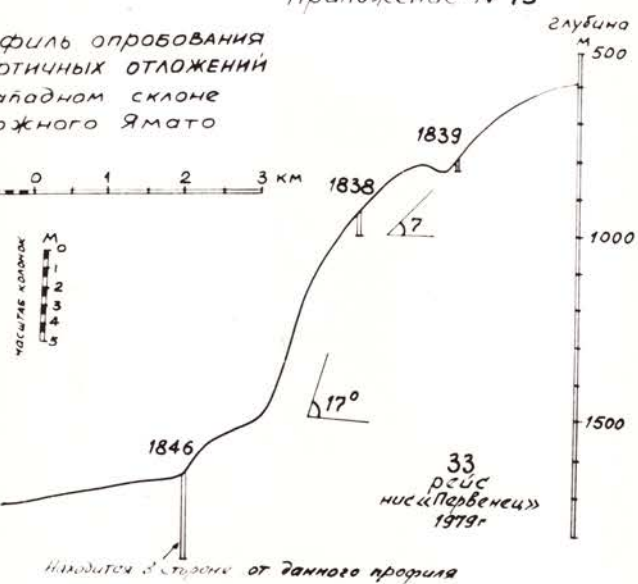
Приложение № 14

Профиль опробования  
четвертичных отложений  
на юго-западном склоне  
северного ямата

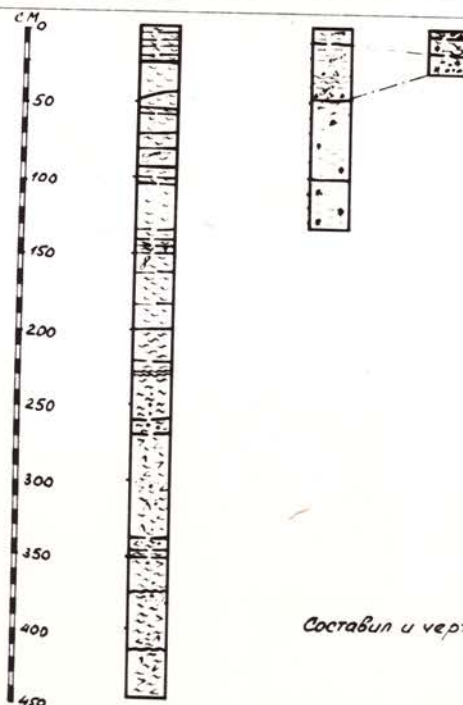


Приложение N 15

Профиль опробования  
четвертичных отложений  
на западном склоне  
южного Ямato



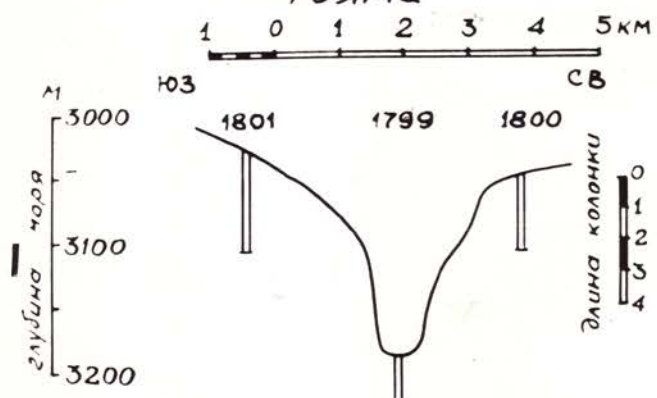
НОМЕР СТАНЦИИ	1846	1838	1839
ГЛУБИНА МОРЯ (м)	1650	940	810
ДЛИНА КЕРНОВ (см)	445	135	30



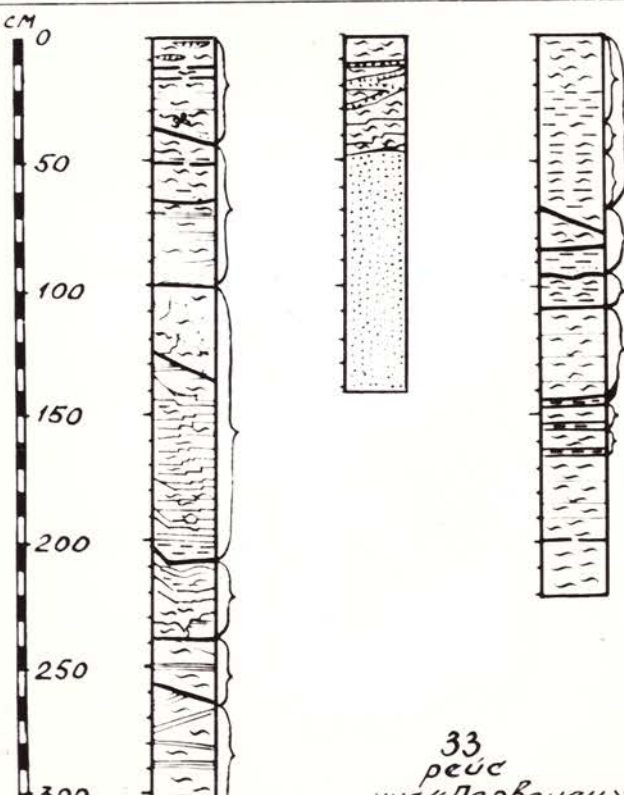
Составил и чертит Ю.И.Борсенев

Приложение №16

**Профиль  
опробования четвертичных  
отложений  
в северной части желоба  
Тояма**



Номер станции 1801	1799	1800
Службина моря(м) 3030	3190	3050
Длина колонки(м) 310	140	220



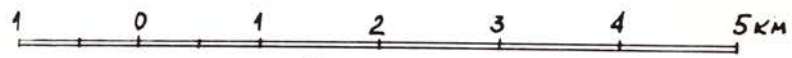
33  
рейс  
НИС «Первенец»  
1979 г.

Составил и чертит  
Ю.И. Береснев

Поперечные пересечения желоба  
Тояма

Приложение N 17

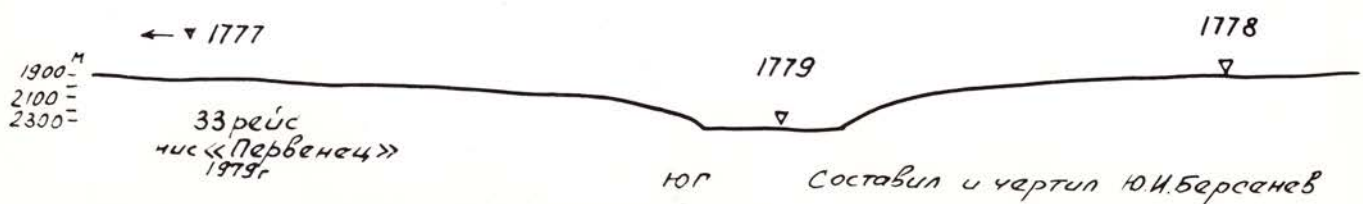
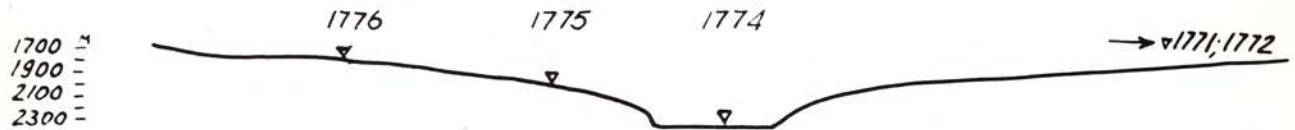
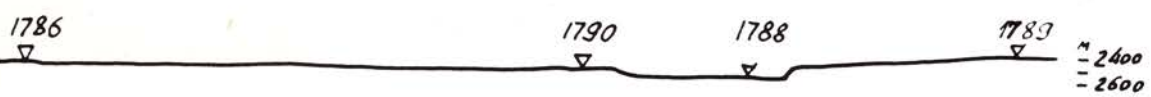
соотношения масштабов 1:1



Запад

Север

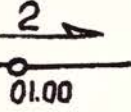
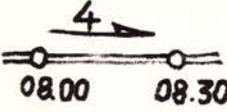
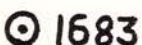
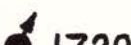
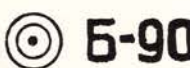
Восток



ЮГ Составил и чертил Ю.И.Берсенев

# УСЛОВНЫЕ ОБОЗНАЧЕНИЯ

для карт фактического материала, рейс 33  
нис „Первениц“

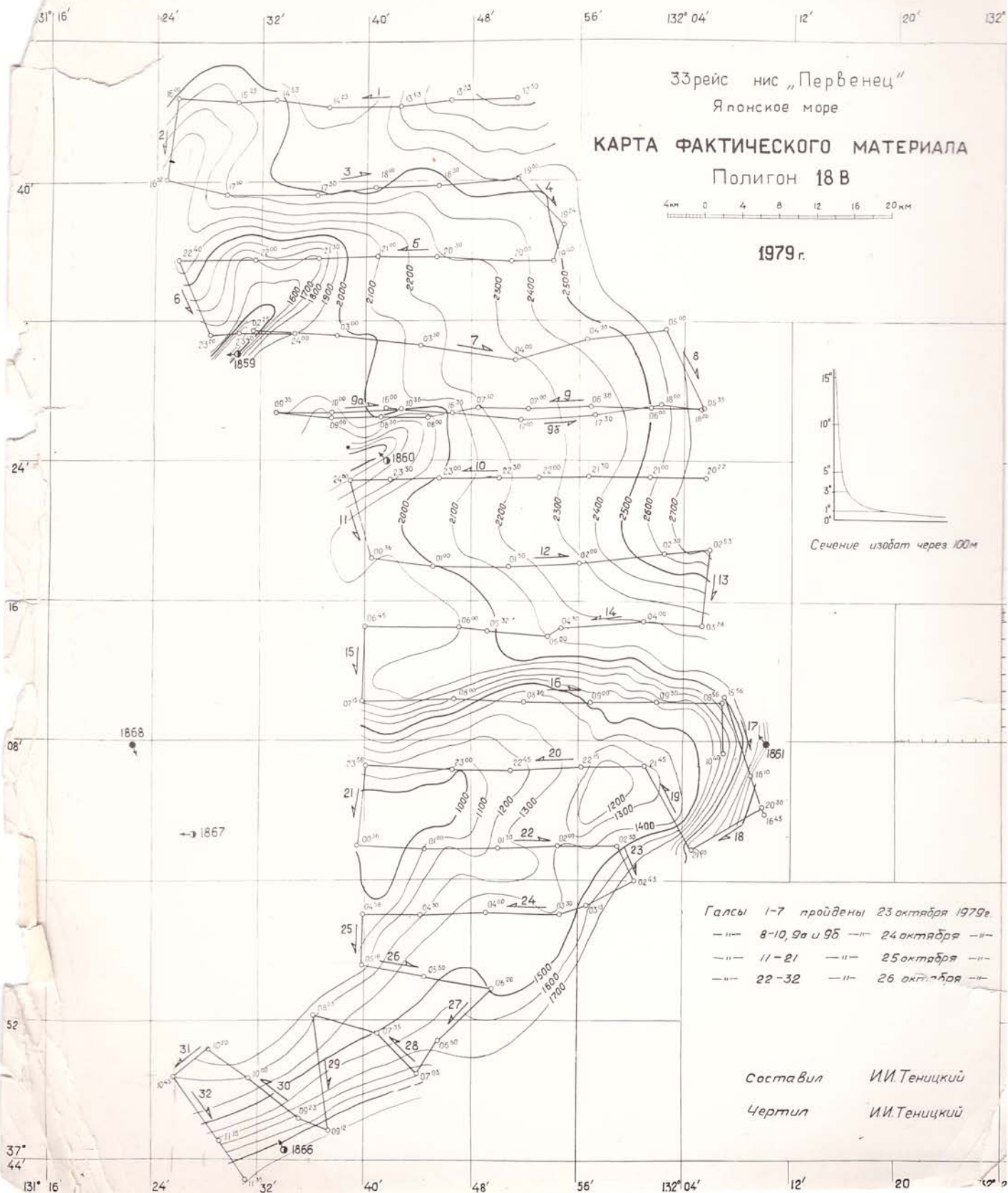
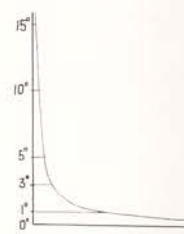
-  Галсы эхолотных промеров их направление, номер, время определения места судна
-  Профили НСП их направление, номер и время определения места судна
-  — 500 — Изобаты установленные и предполагаемые
-  Подводные скалы (останцы), не выражющиеся в масштабе карты
-  Обрывы и уступы и их высота
-  1683 Станции отбора проб донных осадков и их номер
-  1720 Станции драгирования, где подняты донетвертичные породы из коренных обнажений
-  то же из свалов
-  Станции драгирования, где подняты только гетвертичные отложения
-  Станции драгирования безрезультатные
- Определение места судна
- по РНС „Лоран-А“
- по счислению
- по РЛС „Дон“
-  Б-90 Буй и его номер

33 рейс НИС „Первенье“  
Японское море

КАРТА ФАКТИЧЕСКОГО МАТЕРИАЛА  
Полигон 18 В

4 км 0 4 8 12 16 20 км

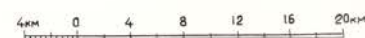
1979 г.



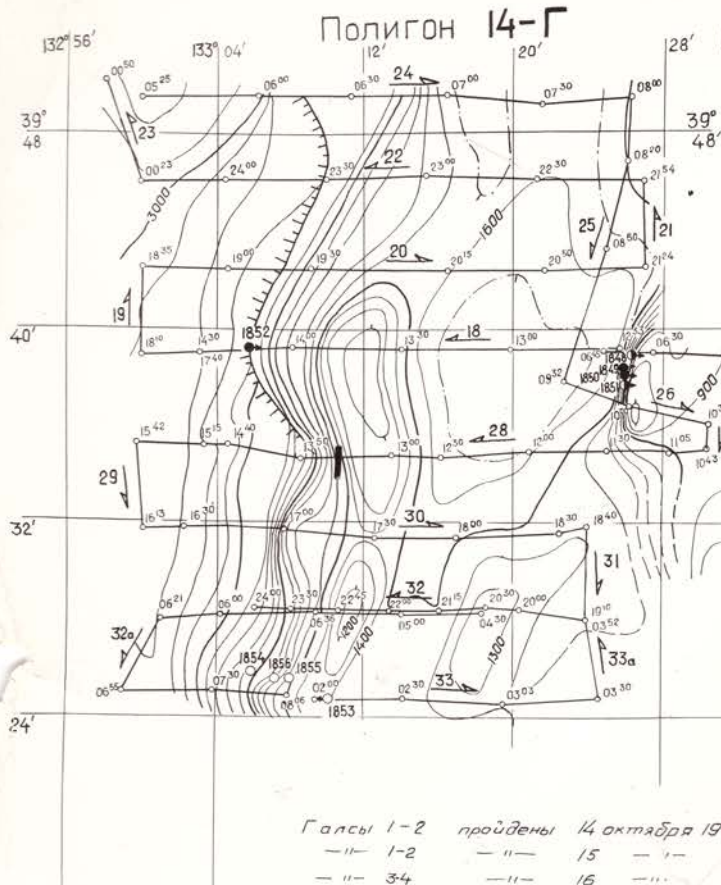
33 рейс „НИС „Первеньц“  
Японское море

## **КАРТА ФАКТИЧЕСКОГО МАТЕРИАЛА**

## Полигоны 14-Г, Д



1979г.

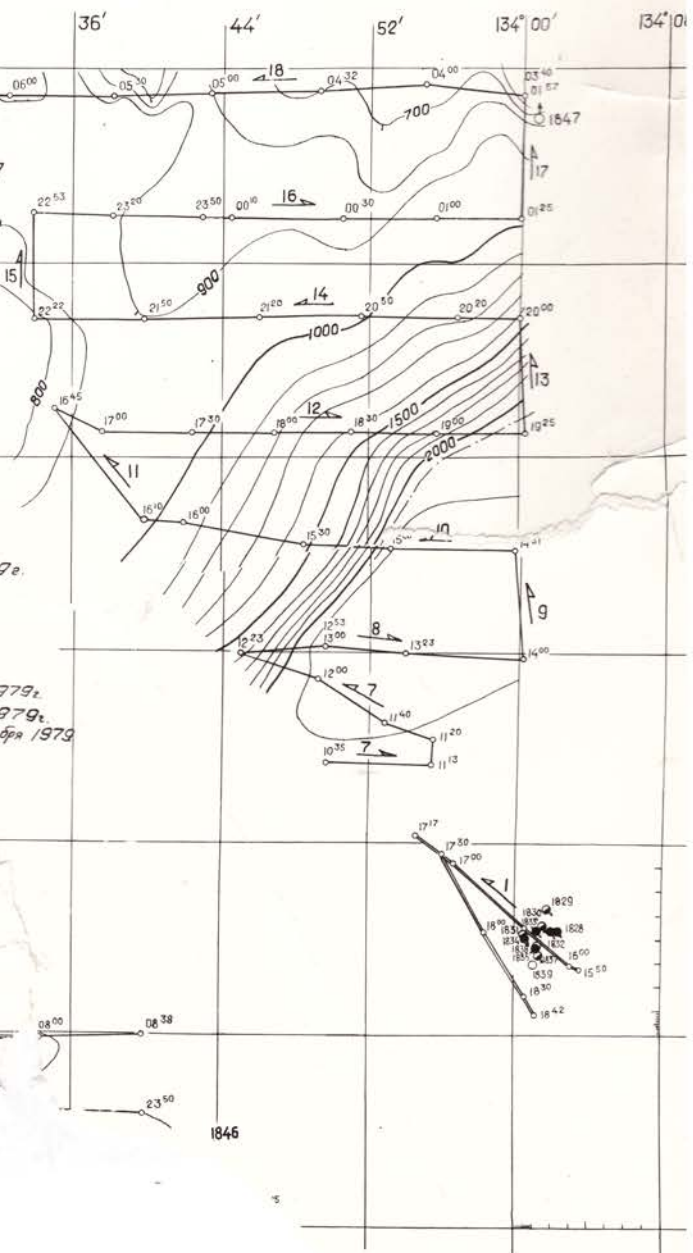
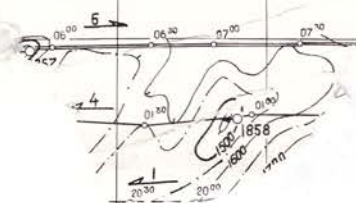
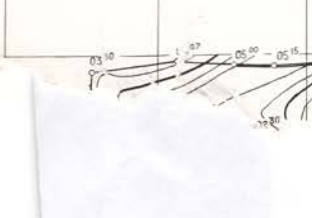
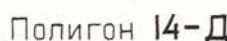


Галсы 1-2 пройдены 14 октября 1979 г.

— 11 — 1-2  
— 11 — 3-4  
— 11 — 5-16  
— 11 — 17-22

Голос 23 пройден 19 октября 1979г.  
Голосы 24-32 пройдены 20 октября 1979г.  
Голосы 33, 33<sub>а</sub>, 32, 32<sub>а</sub> и 33 пройдены 22 октября 1979г.

Создание изображения через 100 м



780

И.И. Теницкий

И.И. Теницкий